

საქართველოს ტექნიკური უნივერსიტეტის
ჰიდრომეტეოროლოგიის ინსტიტუტის
სამეცნიერო რეფერირებადი შრომათა კრებული
ტომი №128

საქართველოს ჰავა
7. კახეთი

**SCIENTIFIC REVIEWED PROCEEDINGS
OF THE INSTITUTE OF HYDROMETEOROLOGY
OF THE GEORGIAN TECHNICAL UNIVERSITY
VOL. №128**

Climate of Georgia
7. Kakheti

**НАУЧНЫЙ РЕФЕРИРУЕМЫЙ СБОРНИК ТРУДОВ
ИНСТИТУТА ГИДРОМЕТЕОРОЛОГИИ
ГРУЗИНСКОГО ТЕХНИЧЕСКОГО УНИВЕРСИТЕТА
ТОМ. №128**

Климат Грузии
7. Кахети

თბილისი – TBILISI - ТБИЛИСИ
2020

გამოცემა 1953 წლიდან.
Published since 1953.
Издается с 1953 года

დაფუძნებლები:
საქართველოს ტექნიკური უნივერსიტეტი,
ჰიდრომეტეოროლოგიის ინსტიტუტი,
საქ. მეცნიერებათა ეროვნული აკადემია,
საქ. სოფლის მეურნეობის მეცნიერებათა
აკადემია.

FOUNDERS:
Georgian Technical University,
Institute of Hydrometeorology,
Georgian National Academy of Sciences,
Georgian Academy of Agricultural Sciences

УЧРЕДИТЕЛИ:
Грузинский технический университет,
Институт гидрометеорологии,
Национальная академия наук Грузии,
Сельскохозяйственная академия наук Грузии

სარედაქციო კოლეგია თ.ცინცაძე (მთ. რედაქტორი), მთ. რედაქტორის მონაწილეები: გ.მელაძე, ს.გორგიჯანიძე, ე.ელიზბარაშვილი, ლ.ინწკირველი, მ.ტატიშვილი, მდივნები: ნ.კაპანაძე, ნ.არუთინიანი, წევრები: გალექსიძე, აბდ-ალლა გად (საუდის არაბეთი), ც.ბასილაშვილი, ნ.ბეგლარაშვილი, ნ.ბუაჩიძე გ.გრიგოლია, გ.გუნია, ხეგამბერდიევი (უზბეკეთი), ნ.დვალიშვილი, ჯ.ვანაძე, კ.ლაშაური (კანადა), შუნლინ ლიან (აშშ), რ.მაჰმუდოვი (აზერბაიჯანი), მ.მელაძე, ა.პარანიანი (რუსეთი), მ.სალუქვაძე, რ.სამუკაშვილი, ა.სურმავა, მ.ფიფია, სადჰან კუმარ გოშ (ინდოეთი), ლ.შავლიაშვილი, ლ.შენგელია, გ.ხერხეულიძე, ხ.ხვედელიძე, სარედაქციო საბჭო: გ.მელაძე (მთ. რედაქტორის მოადგილე), ნ.ბეგლარაშვილი, გ.გრიგოლია, ჯ.ვანაძე.

EDITORIAL BOARD T.Tsintsadze (Editor-in-Chief), Deputy EditorS-in-Chief: G.Meladze, S.Gorgijanidze, E.Elizbarashvili, L.Intskirveli, M.Tatishvili, SECRETARIES: N.Kapanadze, N.Arutiniani, MEMBERS: G.Aleksidze, Abd-Alla Gad (Saudi Arabia), Ts.Basilashvili, N.Beglarashvili, N. Buachidze, G.Grigolia, G.Gunia, Kh.Egamberdiev (Uzbekistan), N.Dvalishvili, J.Vachnadze, K.Lashauri (Canada), Shunlin Liang (USA), R.Mahmudov (Azerbaijan), M.Meladze, A.Paranina (Russia), M.Salukvadze, R.Samukashvili, A.Surmava, M.Pipia, Sadhan Kumar Ghosh (India), L.Shavliashvili, L.Shengelia, G.Kherkheulidze, Z.Khvedelidze, EDITORIAL COUNCIL: G.Meladze (DeputyEditor-in-Chief), N.Beglarashvili, G.Grigolia, J.Vachnadze, M.Salukvadze, Z.Khvedelidze

РЕДКОЛЛЕГИЯ Т.Н.Цинцадзе (Главный редактор), ЗАМ. ГЛАВНОГО РЕДАКТОРА Г.Г.Меладзе С.Н.Горджижанидзе, Э.Ш.Элизбарашвили, Л.Н.Инцкирвели, М.Р.Татишвили, СЕКРЕТАРИ: Н.И.Капанадзе, Н.Э.Арутюнян, ЧЛЕНЫ: Г.Алексидзе, Абд-Алла Гад (Саудовская Аравия), Ц.З.Басилашвили, Н.Г.Бегларашвили, Н.С.Буачидзе, Г.Л.Григолия, Г.С.Гунья, Х.Е.Эгамбердиев (Узбекистан), Н.Л.Двалишвили, Дж.И.Вачнадзе, К.Л.Лашаури (Канада), Шунлин Лиан (США), Р.Махмудов (Азербайджан), М.Г.Меладзе, А.Н.Паранина (Россия), М.П.Салуквадзе, Р.Д.Самукашвили, А.А.Сурмава, М.Г.Пипия, Садхан Кумар Гош (Индия), Л.У.Шавлиашвили, Л.Д.Шенгелия, Г.И.Херхулидзе, З.В.Хведелидзе, РЕДАКЦИОННЫЙ СОВЕТ: Г.Г.Меладзе (Зам. гл. редактора), Н.Г.Бегларашвили, Г.Л.Григолия, Дж.И.Вачнадзе, М.П.Салуквадзе, З.В.Хведелидзе.

ელექტრონული ვერსია
Electronic version
Электронная версия

<http://ecohydmnet.ge/publication-geo>
<http://dspace.nplg.gov.ge/handle/1234/82330>

გეოგრაფიის მეცნიერებათა დოქტორების
ე. ელიზბარაშვილის, რ. სამუკაშვილის,
სოფლის მეურნეობის მეცნიერებათა დოქტორის გ.მელაძის
და ფიზიკა-მათემატიკის მეცნიერებათა
კანდიდატის ჯ. ვაჩნაძის რედაქციით

Edited by Doctors of Geographical Sciences
E.Elizbarashvili, R.Samukashvili, Doctor of Agricultural Sciences G.Meladze
and Candidate of Physics and Mathematics J.Vachnadze

Под редакцией докторов географических наук
Э.Элизбарашвили, Р.Самукашвили, доктора сельскохозяйственных наук
Г.Меладзе и кандидата физ-мат. наук Дж.Вачнадзе

ISSN1512-0902	საქართველოს პაგა 7.კახეთი
---------------	---------------------------

ჰიდრომეტეოროლოგიის ინსტიტუტი

©

Institute of Hydrometeorology

2020

Институт гидрометеорологии

პროექტის ხელმძღვანელი: პროფესორი ე.ელიზბარაშვილი
ტექნიკური უზრუნველყოფა: ც.დიასამიძე

უაკ 551. 58

გამოკვლეულია კახეთის რეგიონის კლიმატის ფორმირების ძირითადი ფაქტორები: რელიეფი, რადიაციული ფაქტორები, ატმოსფეროს ცირკულაციური პროცესები; კლიმატის ძირითადი ელემენტების ტერიტორიული განაწილების კანონზომიერებანი: ჰაერის ტემპერატურა, ჰაერის სინოტივე, ატმოსფერული ნალექები, თოვლის საფარი, ქარი. შეფასებულია რეგიონის კლიმატური რესურსების პოტენციალი: საკურორტო რესურსები, ჰელიოენერგეტიკული რესურსები, ქარის ენერგეტიკული რესურსები. განსაკუთრებული ყურადღება ეთმობა აგროკლიმატურ რესურსებს და პროგნოზებს. განხილულია ამინდის საშიში მოვლენები: ძლიერი ქარები, ქარბუქი, ნისლი, ინტენსიური და თავსხმა ნალექები, სეტყვა, გვალვა, წაყინვები, ზვავები.

Рассмотрены основные факторы формирования климата Кახети, закономерности территориального распределения климатических элементов, климатические и агроклиматические ресурсы, комплексные климатические характеристики и опасные явления погоды. Предназначена для климатологов, агрономов и специалистов занимающихся выявлением и освоением природных ресурсов, планированием и проектированием гражданских и промышленных сооружений, линий связи, электропередач и трубопроводов.

The main factors of Kakheti Region's climate formation as well as territorial distribution of climatic elements, climatic and agroclimatic resources, complex climatic characteristics and the dangerous weather conditions are considered.

სარჩევი

	შესავალი (ე.ელიზბარაშვილი).....	7
	თავი I. კლიმატის ფორმირების ძირითადი ფაქტორები.....	9
1.1.	ფიზიკურ-გეოგრაფიული პირობები (რ.სამუკაშვილი, ც.დიასამიძე).....	9
1.2.	კლიმატის რადიაციული ფაქტორები (რ.სამუკაშვილი).....	11
1.3.	ატმოსფერული ჰაერის წნევა(რ.სამუკაშვილი).....	19
1.4.	ატმოსფეროს ცირკულაციური პროცესები (ჯ.ვანნაძე, რ.სამუკაშვილი, ზ.ჭავჭავანიძე).....	22
	თავი II.კლიმატის ძირითადი ელემენტების ტერიტორიული განაწილების კანონზომიერებანი.....	26
2.1.	ჰაერის ტემპერატურა (ე.ელიზბარაშვილი, ნ.ჭელიძე).....	26
2.2.	ჰაერის სინოტივე (ე.ელიზბარაშვილი, ნ.ჭელიძე).....	32
2.3.	ატმოსფერული ნალექები (ე.ელიზბარაშვილი, შ.ელიზბარაშვილი).....	35
2.4.	თოვლის საფარი (რ.სამუკაშვილი).....	41
2.5.	ქარი (რ.სამუკაშვილი).....	47
	თავი III. სააურორტო და ენერგეტიკული კლიმატური რისკის რისკის რისკები.....	54
3.1.	საკურორტო კლიმატური რესურსები (ე.ელიზბარაშვილი, ნ.ბერძენიშვილი).....	54
3.2.	კურორტი ახტალა (ე.ელიზბარაშვილი, ნ.ბერძენიშვილი)	60
3.3.	ჰელიოენერგეტიკული რესურსები (რ.სამუკაშვილი, ც.დიასამიძე).....	65
3.4.	ქარის ენერგეტიკული რესურსები (რ.სამუკაშვილი).....	68
	თავი IV აბროკლიმატური რისკის რისკები.....	76
4.1.	აგროკულტურების სითბოთი და ტენით უზრუნველყოფა (მ.მელაძე, გ.მელაძე).....	76
4.2.	აგროკლიმატური ზონები (გ.მელაძე, მ.მელაძე).....	84
4.3.	აგროკულტურებისათვის ამინდის არახელსაყრელი მოვლენები (მ.მელაძე, გ.მელაძე).....	90
4.4.	აგრომეტეოროლოგიური პროგნოზები(გ.მელაძე, მ.	97

	მელაძე).....	
	თავი V ამინდის საშიში მოვლენები.....	103
5.1.	ძლიერი ქარები (რ.სამუკაშვილი).....	103
5.2.	ქარბუქი (რ.სამუკაშვილი, ჯ.ვანნაძე).....	109+
5.3.	ნისლი (რ.სამუკაშვილი, ჯ.ვანნაძე, ც.დიასამიძე)....	112
5.4.	ძალიან ძლიერი ნისლი (ე.ელიზბარაშვილი).....	116
5.5.	ინტენსიური და უხვი ნალექები (ე.ელიზბარაშვილი, შ.ელიზბარაშვილი).....	119
5.6.	სეტყვა (მ.ფიფია).....	122
5.7.	გვალვა (ე.ელიზბარაშვილი, ვ.გორგიშელი).....	127
5.8.	წაყინვები (ჯ.ვანნაძე, ც.დიასამიძე, რ.სამუკაშვილი).....	132
5.9.	თოვლის ზვავები (მ.სალუქვაძე).....	139
5.10	ამინდის საშიში მოვლენების ერთდროული ჩამოყალიბება (ე.ელიზბარაშვილი).....	150
	ლიტერატურა.....	155

შესავალი

საქართველოს რეგიონალური მართვის პირობებში აუცილებელია, რომ თითოეულ რეგიონს გააჩნდეს თანამედროვე მეცნიერულ დონეზე შეფასებული კლიმატის და კლიმატური რესურსების სრული კადასტრი. ასეთი კადასტრი უნდა წარმოადგენდეს რეგიონების ხელმძღვანელების სამაგიდლო დოკუმენტს, რაც საფუძველი უნდა გახდეს რეგიონში მნიშვნელოვანი ტაქტიკური თუ სტრატეგიული დანიშნულების პროექტების დაგეგმვისა და განხორციელებისათვის.

სწორედ ამ მიზნით საქართველოს ჰიდრომეტეოროლოგიის ინსტიტუტში 2000 წლიდან დაიწყო საქართველოს ადმინისტრაციული რეგიონების კლიმატური და აგროკლიმატური რესურსების კვლევა. დღეისათვის უკვე გამოკვლეულია 6 რეგიონი და ჩატარებული კვლევების შედეგები გამოქვეყნებულია სერიით “საქართველოს ჰავა”:

1. აჭარა. ჰიდრომეტეოროლოგიის ინსტიტუტის შრომები, ტ. 110, 2003.

2. აფხაზეთი ჰიდრომეტეოროლოგიის ინსტიტუტის შრომები, ტ.112, 2006.

3. სამეგრელო-ზემო სვანეთი. ჰიდრომეტეოროლოგიის ინსტიტუტის შრომები, ტ.113, 2010

4. გურია. ჰიდრომეტეოროლოგიის ინსტიტუტის შრომები, ტ. 118, 2011.

5. შიდა ქართლი. ჰიდრომეტეოროლოგიის ინსტიტუტის შრომები, ტ. 122, 2016.

6. იმერეთი. ჰიდრომეტეოროლოგიის ინსტიტუტის შრომები, ტ. 126, 2019.

წინამდებარე ნაშრომი წარმოადგენს ამ სერიის მე-7 ტომს და ეძღვნება კახეთის რეგიონს. კვლევაში გამოყენებულია კახეთის რეგიონში არსებული მეტეოროლოგიური სადგურების დაკვირვებათა მონაცემები დაწყებული დღიდან მათი დაარსებისა დამთავრებული იმ დრომდე, როდემდეც ფუნქციონირებდა სადგური. დაკვირვებათა მონაცემების დამუშავებაში გამოიყენებოდა კლიმატოლოგიაში აპრობირებული მონაცემთა ინტერპოლაციის და ექსტრაპოლაციის მეთოდები.

ნაშრომი შესრულებულია ჰიდრომეტეოროლოგიის ინსტიტუტის სამეცნიერო სამუშაოთა თემატური გეგმის შესაბა-

მისად პროფესორ ე.ელიზბარაშვილის ხელმძღვანელობით. პასუხისმგებელი შემსრულებლებია გეოგრაფიის მეცნიერებათა დოქტორი რ.სამუკაშვილი, სოფლის მეურნეობის მეცნიერებათა დოქტორი, პროფესორი გ.მელაძე, ფიზიკა-მათემატიკის მეცნიერებათა აკადემიური დოქტორი ჯ.ვანნაძე, სოფლის მეურნეობის მეცნიერებათა აკადემიური დოქტორი მ.მელაძე.

ნაშრომისთვის მომზადებული ცხრილები და გრაფიკული მასალა შეასრულეს ე.ელიზბარაშვილმა, მ.მელაძემ და ც.დიასამიძემ, ფოტომასალა ეკუთვნის მ.სალუქვაძეს.

ნაშრომი განკუთვნილია კლიმატოლოგიისათვის, გეოგრაფიისათვის, აგრონომებისათვის, აგრომეტეოროლოგიისათვის, ენერგეტიკოსებისათვის, მედიცინის მუშაკთათვის და მკითხველთა ფართო წრისათვის, ვინც დაინტერესებულია კახეთის რეგიონის კლიმატური რესურსებით და მათი რაციონალურად გამოყენების პერსპექტივებით.

ის გამოადგება სპეციალისტებს, რომლებიც მუშაობენ ბუნებრივი რესურსების გამოვლენისა და ათვისების, სამოქალაქო და სამრეწველო ნაგებობების, კავშირგაბმულობის, ელექტროგადამცემი და მილსადენი ხაზების დაგეგმარების და პროექტირების დარგში და სხვ.

თავი I კლიმატის ფორმირების ძირითადი ფაქტორები

1.1. ფიზიკურ-გეოგრაფიული პირობები

კახეთს უკავია საქართველოს ტერიტორიის აღმოსავლეთი ნაწილი. მისი შემადგენელი ისტორიული ნაწილებია: გარე კახეთი, ერწო-თიანეთი, ქიზიყი, შიდა კახეთი და გაღმა მხარე (მდინარე ალაზნის სანაპიროს მარცხენა ნაწილი). კახეთის ტერიტორიის ფართობი 11803,7კმ-ია, რაც საქართველოს მთელი ტერიტორიის 17,1%-ს შეადგენს (მარუაშვილი, 1964: საქართველოს გეოგრაფია, 2000). კახეთს აღმოსავლეთიდან და სამხრეთიდან აზერბაიჯანი, ჩრდილოეთიდან რუსეთის ფედერაცია, დასავლეთიდან ქართლი და ფშავ-ხევსურეთი ესაზღვრება.

კახეთი ხასიათდება მრავალფეროვანი ბუნებრივი პირობებით, რაც განპირობებულია კახეთის კავკასიონის მთავარი წყალგამყოფი ქედის და სამხრეთის მიმართულებით გაშლილი მტკვარ-არაქსის დაბლობის ერთობლივი გავლენით.

კახეთის კავკასიონი კავკასიონის სამხრეთი ფერდობის უკიდურესი ნაწილია. მას მთიანი კახეთი, ჩრდილოეთი კახეთი, ანუ კახეთის კავკასიონი ეწოდება. კახეთის კავკასიონი ვრცელდება მწვერვალ დიდი ბორბალოდან (3234მ) მწვერვალ ტინოვროსომდე (3367მ), უმაღლესი წერტილია მწვერვალი შავი კლდე (3570მ). მისი ტერიტორია მოიცავს ალაზნის ზემო ნაწილის ხეობას (პანკისის ხეობა) და მისი მარჯვენა და მარცხენა შენაკადების აუზებს. კახეთის კავკასიონი კავკასიონის დასავლეთი და ცენტრალური ნაწილებისგან განსხვავებით ხასიათდება მათთან შედარებით დაბალი აბსოლუტური სიმაღლეებით. კახეთის კავკასიონის სამხრეთ განშტოებას წარმოადგენს კახეთის ქედი (სიგრძით 145კმ), რომელიც გამოეყოფა რა ქართლის ქედს მწვერვალ ბორბალოდან 5კმ-ის სამხრეთით ორი ნაწილისაგან შესდგება: ჩრდილოეთი ნაწილისგან ანუ საკუთრივ კახეთის ქედისაგან და გომბორის ქედისაგან, იგი ვრცელდება ქ. სიღნაღის მიდამოებამდე და თანდათან გადადის ივრის ზეგანში. გომბორის ქედი, რომელიც წარმოადგენს მდ. ივრისა და ალაზნის წყალგამყოფს ცივგომბორის ქედის სახელითაცაა ცნობილი, მისი უმაღლესი მწვერვალია მთა ცივი (1991მ).

კახეთის კავკასიონსა, გომბორის ქედსა და გარე კახეთის ზეგანს შორის გადაჭიმულია ალაზნის ვაკე, რომლის აბსოლუტური სიმაღლე მერყეობს 200-470მ-ის ფარგლებში. იგი დასერილია მთებიდან ჩამონადენი მდინარეებით. კახეთის ტერიტორიის სამხრეთით განლაგებულია ივრის ზეგანი ელდარის აკუმულაციურ ვაკესთან ერთად. ეს რეგიონი წარმოადგენს საქართველოს ყველაზე გვალვიან კუთხეს. იგი სამხრეთ კავკასიის ნახევრადუდაბნოების ზონის ნაწილია.

რელიეფის მორფოლოგიური თავისებურებების და აბსოლუტური სიმაღლეების გავლენით კახეთის ტერიტორიაზე ყალიბდება სხვადასხვა სახის ბუნებრივი სუბტროპიკული ლანდშაფტები, რომელთაგან აღსანიშნავია: დაბლობების ზომიერად ნოტიო და მშრალი, ზეგნების ზომიერად მშრალი, ბორცვიანი მთისწინეთის ნოტიო, მთიანი რაიონების ტყის მასივების გავრცელების ზონის ზომიერად ნოტიო, საშუალო და მაღალი მთის რაიონების სუბალპური და ალპური ლანდშაფტები.

ნალექების წლიური ჯამი შეადგენს: კახეთის სამხრეთ-აღმოსავლეთ არიდულ ზონაში საშუალოდ 300მმ-ს, მთის წინა ზონაში მერყეობს 600მმ-დან 1000მმ-მდე, კახეთის კავკასიონის ფერდობებზე და თხემურ ნაწილში კი 1500-1800მმ-ის ფარგლებშია.

კახეთის ჰიდროგრაფიული ქსელი, რომელიც განეკუთვნება მდინარე მტკვრის აუზს, წარმოდგენილია მდინარეებით იორით და ალაზანით, და მათი შენაკადებით. ორივე მდინარე კახეთის კავკასიონის სამხრეთ ფერდობზე იღებს სათავეს და ჩაედინება მინგეჩაურის წყალსაცავში.

კახეთის ტერიტორიაზე ტბებიდან აღსანიშნავია: ზელახელი, უჯირი, კრასნოგორსკი და ჭალა, მინერალური წყაროებიდან კი თორღვას თერმული აბანო. აქვეა ფსევდო-ვულკანური ტალახები, მაგალითად ახტალა და სხვ.

კახეთის ტერიტორიაზე გავრცელებულია ნიადაგების შემდეგი სახეობები: ალუვიური, კარბონატული (მდ. ალაზნის სანაპიროებზე), ყავისფერი და მუქყომრალი(ტყის მასივებში), წაბლა და შავმიწა რუხი მურა, აგრეთვე სტეპური (ელდარის ვაკეზე), წაბლა და შავმიწა სტეპური, ტყე-სტეპური ყავისფერი, აგრეთვე მლაშობი (ივრის ზეგანზე).

რელიეფის და კლიმატის თავისებურებების გავლენის შედეგად კახეთის ტერიტორიაზე ჩამოყალიბდა სპეციფიკური მცენარეული საფარი. ალაზნის ვაკეზე არსებულ ტყის მასივებში გვხვდება მუხა, დაფნა, ვერხვი, გარეული ვაზი, სურო და სხვ. ელდარის ვაკე უკავია ქსეროფიტულ მცენარეულ საფარს. ივრის ზეგანზე წარმოდგენილია ნახევრადუდაბნოს, სტეპებისა და ტყესტეპების მცენარეულობა.

დაბალ და შუამთის ზონებში 2200მ სიმაღლეებამდე გავრცელებულია წიფლის ტყის მასივები. მაღალი მთის (2000მ-ზე ზევით) გავრცელებულია ალპიური მდელოები. აღსანიშნავია, რომ აქაური ტყის მასივებში შემორჩენილია კოლხეთისა და ჰირკანის რელიქტური მცენარეულობის სახეები: ურთხელი, ძელქვა, წყავი, ბზა და სხვ. კულტურული მცენარეულობიდან კახეთის დაბლობ და მთისწინა ტერიტორიაზე დიდი ადგილი უკავია ვენახებს და ბაღებს. აგრეთვე მარცვლოვან კულტურებს (ხორბალი, ქერი, სიმინდი) და მზესუმზირას.

12. კლიმატის რადიაციული ფაქტორები

დედამიწის კლიმატის ფორმირების ძირითად ფაქტორებს შორის განსაკუთრებულ როლს თამაშობს მზის სხივური ენერჯია. ის აგრეთვე წარმოადგენს ატმოსფეროში, ჰიდროსფეროში და ლითოსფეროს ზედაპირულ ფენაში მიმდინარე პროცესების ერთერთ ძირითად მაფორმირებელ ფაქტორს. მის, როგორც ენერჯიის ეკოლოგიურად სუფთა წყაროს პრაქტიკულ ათვისებას ორგანული გენეზისის ენერგომატარებლებით ატმოსფეროს თანამედროვე მზარდი დაბინძურების პირობებში (რაც განაპირობებს სათბურის ეფექტს და გლობალური დათბობის პროცესს) დიდი მნიშვნელობა ენიჭება.

დაბლობი ტერიტორიის კლიმატის მაფორმირებელი რადიაციული ფაქტორების რაოდენობრივი შეფასების მიზნით გამოყენებული იქნა თელავში არსებული აქტინომეტრიული სადგურის მონაცემები (1953-1990 წ.). ეს სადგური განლაგებულია ცივკომბორის ქედის ფართო ფერდობზე, რომელიც თანდათანობით დაბლდება და გადადის ალაზნის ვენახებით დაფარულ ფართო ვაკეზე. სადგურის სიმაღლე ზღვის დონიდან 568 მეტრია. ამ სადგურზე სისტემატური დაკვირ-

ვებები მზის პირდაპირი S , ატმოსფეროს მიერ გაბნეული D და ჯამურ $Q=S/D$, აგრეთვე ქვეფენილი ზედაპირიდან არეკლილ მოკლეტალღიან რადიაციაზე R_g ტარდება 1953 წლიდან, ხოლო ქვეფენილი ზედაპირის რადიაციულ ბალანსზე 1954 წლიდან. გარდა ამისა, მზის ნათების ხანგრძლივობა ამ სადგურზე რეგისტრირდება 1932 წლიდან.

თელავის აქტინომეტრიული სადგურის დაკვირვებების მონაცემები ახასიათებს კახეთის დაბლობი ტერიტორიის კლიმატის რადიაციულ ფაქტორებს. გარდა ამისა კახეთის მთიანი და მაღალმთიანი რაიონების რადიაციული კლიმატის მახასიათებლების (S, S', D, Q, R_g) აგრეთვე ქვეფენილი ზედაპირის მიერ შთანქმეული Q_g რადიაციის, ქვეფენილი ზედაპირის ალბედოს A_g , ეფექტური გამოსხივების $E_{eff} = E_s - E_d$ (სადაც E_s და E_d არის ატმოსფეროს და ქვეფენილი ზედაპირის მიერ გამოსხივებული გრძელტალღიანი რადიაციები) და რადიაციული ბალანსის $B = Q_g - E_{eff}$ წლიური სვლის და მათი სიდიდეების ადგილის სიმაღლეზე დამოკიდებულების შეფასების მიზნით შესაძლებელია გამოყენებული იქნეს საქართველოს მთიანი და მაღალმთიანი აქტინომეტრიული სადგურების მრავალწლიური მონაცემები, რომელთაგან მაღალმთიანი სადგურები ყაზბეგი (3653მ) და ჯვრის უღელტეხილი (2395მ) განლაგებულია ცენტრალურ კავკასიონზე, სადგური წალკა მცირე კავკასიონზე (1457 მ). ამავე მიზნით შეიძლება გამოყენებული იქნეს ცენტრალური კავკასიონის ჩრდილოეთ ფერდობზე იალბუჯის რაიონში არსებული აქტინომეტრიული სადგურების მრავალწლიური დაკვირვებების მასალები. რის შედეგად კახეთის მთიანი ტერიტორიისათვის დრუბლიანობაზე არსებული დაკვირვებების მასალების შემთხვევაში შესაძლებელი ხდება დადგენილი იქნეს რადიაციული ბალანსისა და მისი მდგენელების ადგილის აბსოლუტურ სიმაღლეზე დამოკიდებულებების კანონზომიერებები. ამ მეთოდის გამოყენება კახეთის ტერიტორიისათვის რადიაციული ბალანსისა და მისი მდგენელების წლიური სვლისა და მაღლივი ცვლილებების დასადგენად დრუბლიანობის რეჟიმის გათვალისწინებით გამყარებულია იმით, რომ მოწმენდილი ცის შემთხვევაში რადიაციული ბალანსის მოკლეტალღიანი მდგენელების თვიური ჯამების საშუა-

ალო კვადრატული გადახრა მუდმივი რჩება 300-400კმ-ის მანძილზე და მათ სიდიდეზე გავლენას ვერ ახდენს ქვეფენილი ზედაპირის რადიაციული თვისებები (ალბედო). რადიაციული ბალანსი B, ფეკტური გამოსხივება E, ქვეფენილი ზედაპირის მიერ არეკლილი R_s და შთანთქმული Q_{Σ} რადიაცია წარმოადგენენ ალბედოს A ფუნქციებს და მათი ცვლილებების კანონზომიერებების დადგენისას გათვალისწინებული უნდა იქნეს სეზონური მაღალი ალბედოს მქონე თოვლის საფარის რეჟიმული მახასიათებლები (Пивоварова, 1977, Самукашвили, 1980). რაც შეეხება რადიაციული ბალანსის მოკლეტაღლიანი მდგენელების სიდიდის დამოკიდებულებას ადგილის განედზე, უნდა აღინიშნოს, რომ კახეთისათვის მისი ცვლილებების დიაპაზონი იმდენად მცირეა, რომ პრაქტიკულად შესამჩნევ გავლენას ვერ ახდენს ბალანსის მოკლეტაღლიანი მდგენელების სიდიდეზე მოწმენდილი ცის პირობებში. კახეთში კლიმატის რადიაციული მახასიათებლების ფორმირებაზე მნიშვნელოვან გავლენას ახდენს დრუბლიანობა, მზის ნათების ხანგრძლივობა, ადგილის აბსოლუტური სიმაღლე და ქვეფენილი ზედაპირის ფიზიკური თვისებები. ცხრილ 1.2.1-ში მოცემულია საერთო და ქვედა იარუსის დრუბლიანობის შემთხვევაში (Сивков, 1968; Будико, Берлянд, 1951) საშუალო თვიური და წლიური სიდიდეები, მოწმენდილი და მოდრუბლული დღეების რაოდენობა.

კახეთის დაბლობ რაიონებში (სადგურები: ნაფარეული, ყვარელი, თელავი, წინანდალი, ლაგოდეხი, გურჯაანი, წნორი, ალაზანი) საერთო დრუბლიანობის საშუალოწლიური სიდიდე მერყეობს 5,6-6,4 ბალის, ხოლო ქვედა იარუსის საშუალოწლიური სიდიდეები 3,7-5,2 ბალის საზღვრებში. საერთო დრუბლიანობის საშუალოთვიური სიდიდეები დაბლობ რაიონებში მაქსიმალურია ნოემბერ-მარტის თვეებში ისინი მერყეობენ 5,5 (XII, საგარეჯო)-7,5 (III, ლაგოდეხი) ბალის, ხოლო მინიმალურია ზაფხულის თვეებში და მერყეობენ 4,0 (VIII, საგარეჯო)-5,8 (VI, თელავი) ბალის საზღვრებში.

ქვედა იარუსის დრუბლიანობის საშუალოთვიური სიდიდეები მაქსიმალურია ნოემბერ-მარტის პერიოდში, მერყეობენ 3,5 (XI, იორმულანლო)- 6,0 (III, წინანდალი) ბალის საზღვრებში, მინიმალურია ზაფხულის თვეებში და მერყეობენ

2,6 (VIII, უდაბნო)- 4,1 (VI, ნაფარეული) ბალის საზღვრებში. მოწმენდილი დღეების რაოდენობა საერთო იარუსის ღრუბლიანობის შემთხვევაში (ა) სადგურებზე, ნაფარეული, ყვარელი, თელავი, წინანდალი, ლაგოდეხი, გურჯაანი, წნორი მერყეობს 43(თელავი)- 58(წნორი)-ის ფარგლებში. ალაზანზე ის აღწევს 69-ს, საგარეჯოში 74-ს, იორმულანლოში კი 74-ს. მოწმენდილი დღეების რაოდენობა ქვედა იარუსის ღრუბლიანობის შემთხვევაში კახეთის დაბლობ ტერიტორიაზე იცვლება საკმაოდ დიდ საზღვრებში: ნაფარეულში და წინანდალში შესაბამისად იგი შეადგენს 80-82-ს, წნორში და იორმულანლოში 115-116-ს, ყვარელში, თელავში, გურჯაანში, ელდარში, ალაზანზე 130-135-ს, საგარეჯოში და შირაქში 144-145-ს. საშუალო მთის სადგურებზე გომბორზე 88-ს, სიდნაღში 164-ს.

ცხრილი 1.2.1. საერთო და ქვედა იარუსის ღრუბლიანობისათვის მოწმენდილი, ნახევრადმოწმენდილი და მოღრუბლული ცის მდგომარეობის განმეორადობა (%) წელიწადი

სადგური	საერთო (ბალი)			ქვედა იარუსი (ბალი)		
	0-2	3-7	8-10	0-2	3-7	8-10
ომალო	34	19	17	58	10	32
ჯოყოლო	22	25	53	39	21	40
ნაფარეული	30	17	53	44	16	40
ახმეტა	31	23	46	46	26	28
ყვარელი	27	18	55	54	11	35
თელავი	27	23	50	54	19	27
წინანდალი	31	16	53	40	16	44
გომბორი	25	22	53	42	18	40
ლაგოდეხი	29	17	54	45	17	38
ზეგანი	29	28	43	49	22	29
გურჯაანი	30	21	49	54	14	32
საგარეჯო	38	16	46	59	9	32
წნორი	33	18	49	50	13	37
სიდნაღი	36	18	46	63	9	28
ალაზანი	34	19	47	53	16	31
წითელწყარო	22	20	52	49	18	33
შირაქი	34	21	45	56	15	29
ელდარი	30	23	47	51	13	36

მოდრუბლულ დღეთა რაოდენობა საერთო იარუსის ღრუბლიანობის შემთხვევაში წელიწადში საშუალოდ სადგურებზე ახმეტა, გურჯაანი, დედოფლის წყარო, თელავი, საგარეჯო, წნორი მერყეობს 102 (საგარეჯო)- 117 (დედოფლის წყარო) ფარგლებში. ყვარელში და ლაგოდეხში ის შეადგენს შესაბამისად 132-133 დღეს, შუამთაში (გომბორი)-127 დღეს. დღეთა აბსოლუტური მინიმუმი (95 დღე) აღინიშნება შირაქში.

მოდრუბლულ დღეთა რაოდენობა ქვედა იარუსის ღრუბლიანობის შემთხვევაში სადგურზე ახმეტა, გურჯაანი, დედოფლის წყარო, საგარეჯო, ყვარელი, შირაქი, წნორი მერყეობს 56 (ახმეტა)- 70 (წნორი) დღის ფარგლებში. ლაგოდეხში იგი აღწევს 32-ს, შუამთაში (გომბორი) შეადგენს 78-ს. ამ პარამეტრის აბსოლუტური მინიმუმი აღნიშნულია თელავში (48 დღე).

მზის ნათების ხანგრძლივობის მაქსიმუმი აღინიშნება თელავში (2316სთ) მინიმუმი- ნაფარეულში (2050სთ), მზის ნათების ფაქტიური ხანგრძლივობის შესაძლო ხანგრძლივობასთან შეფარდების სიდიდე მაქსიმალურია ახმეტაში (57%), მინიმალურია ნაფარეულში (52%), დანარჩენი სადგურებზე ეს პარამეტრი მერყეობს 54-56%-ის საზღვრებში.

უმზეო დღეთა რიცხვი მერყეობს 54-63-ის ფარგლებში მაქსიმუმით გურჯაანში (63 დღე), მინიმუმით ახმეტაში (54 დღე).

კახეთის ტერიტორიისათვის 18 სადგურის მრავალწლიური მონაცემებით საერთო ღრუბლიანობის შემთხვევაში მოწმენდილი, ნახევრადმოწმენდილი და მოდრუბლული ცის მდგომარეობის განმეორადობა წელიწადში შესაბამისად შეადგენს 30,1, 51,6 და 18,3%-ს.

ქვედა იარუსის ღრუბლიანობის შემთხვევაში ამ მახასიათებლების მნიშვნელობები შესაბამისად შეადგენს 50,3 33,9 და 15,8%-ს.

როგორც ცხრილ 1.2.2.-დან ჩანს, კახეთის ტერიტორიაზე (მთიანი ნაწილის გამოკლებით) მოწმენდილ დღეთა რაოდენობა საერთო ღრუბლიანობის პირობებში იცვლება 43(თელავი)-58(წნორი)-ის ფარგლებში, ქვედა იარუსის ღრუბლიან-

ობის პირობებში კი 103(ლაგოდეხი)-136(თელავი) ფარგლებში. მოღრუბლულ დღეთა რაოდენობა საერთო ღრუბლიანობის პირობებში იცვლება 108(ახმეტა)-133(ლაგოდეხი), ქვედა იარუსის ღრუბლიანობის პირობებში კი –82(ლაგოდეხი) დღის ფარგლებში.

როგორც ცნობილია, საქართველოს და კერძოდ კახეთის პირობებში ღრუბლიანობის ცალკეული იარუსებისა და სახეობებისათვის დაკვირვებების მასალები მათ ოპტიკურ თვისებებზე (შთანთქმველი, ამრეკლავი, გამშვები და გამოსხივების უნარიანობა) არ არსებობს, რაც საკვლელი რეგიონისათვის შეუძლებელს ხდის მის რადიაციულ კლიმატზე ღრუბლიანობის დეტალური გავლენის შეფასებას.

ცხრილი 1.2.2. მოწმენდილი N და მოღრუბლული n დღეთა რაოდენობა საერთო (ა) და ქვედა (ბ) იარუსის ღრუბლიანობის შემთხვევაში

N		სადგური					
		ახმეტა	დედოფლის წყარო	თელავი	ლაგოდეხი	ყვარელი	წნორი
N	ა	51	46	43	45	44	58
	ბ	106	116	136	103	134	116
n	ა	108	117	116	133	132	110
	ბ	56	62	48	82	67	70

კლიმატის რადიაციულ მახასიათებლებზე მოწმენდილი ცის პირობებში დიდ გავლენას ახდენს ატმოსფეროს ფიზიკური თვისებები, რომლებიც რაოდენობრივად ფასდება გამჭვირვალობის კოეფიციენტით P_2 და სიმღვრივის ფაქტორით T_2 . ჩვენს მიერ საქართველოს ტერიტორიისათვის ს. სიგკოვის მეთოდით (Сивков, 1968) გამოთვლილი იქნა P_2 და T_2 საშუალოთვიური მნიშვნელობები. კახეთის ტერიტორიისათვის ამ მახასიათებლების სიდიდეები დადგენილი იქნა ინტერპოლაციის მეთოდით. კახეთის დაბლობ ტერიტორიაზე P_2 -ის საშუალოთვიური სიდიდეები შეადგენენ შესაბამისად: იანვარში 76%, მარტში 75%, ივლისში 67%, ოქტომბერში% და T_2 -ის საშუალოთვიური მნიშვნელობები წელიწადში მერყეობენ შესაბამისად 67-76%-ის ფარგლებში. ადგილის აბსოლუტური სიმაღლის მატებისას გამჭვირვალობის კოეფ-

იცინების სიდიდე მატულობს, სიმღვრივის ფაქტორის სიდიდე კი კლებულობს.

მოწმენდილი ცის პირობებში მზის პირდაპირი რადიაციის ინტენსივობა მცირდება ატმოსფეროში მოლეკულარული გაბნევით, წყლის ორთქლის მიერ შთანთქმით, ატმოსფეროში არსებულ აეროზოლებზე გაბნევით და შთანთქმით.

მოწმენდილი ცის შემთხვევაში გაბნეული რადიაციის თვიური ჯამის Σ_{D} მაქსიმუმი აღინიშნება ივლისში 184.4 მჯ/მ, მინიმუმი დეკემბერში 2მჯ/მ. სხივისადმი მართობულ და ჰორიზონტალურ ზედაპირზე მზის პირდაპირი რადიაციის თვიური ჯამები Σ_{S} და $\Sigma_{\text{S'}}$ მაქსიმალურია შესაბამისად მაისში 1114.5მჯ/მ და ივნისში 779.3მჯ/მ, მათი მინიმალური მნიშვნელობები აღინიშნება დეკემბერში 670.4მჯ/მ 222.1მჯ/მ. ჯამური რადიაციის თვიური ჯამების Σ_{Q} მაქსიმუმი აღინიშნება ივნისში 951.1მჯ/მ, მინიმუმი დეკემბერში 280.8მჯ/მ. რადიაციული ბალანსის ამ მოკლევადიანი მდგენელების თვიური ჯამების წლიური სვლის თავისებურებები განპირობებულია მზის სიმაღლის წლიური სვლით, გარდა გაბნეული რადიაციის ჯამების წლიური სვლისა, რომლის მაქსიმუმი აღინიშნება არა ივნისში, როდესაც მზის სიმაღლე მაქსიმალურია, არამედ ივლისში, როდესაც ატმოსფეროს აეროზოლური გაჭუჭყიანება აღწევს თავის მაქსიმუმს.

ღრუბლიანობის საშუალო პირობებში რადიაციული ბალანსის და მისი მოკლევადიანი მდგენელების თვიური ჯამები ასევე მაქსიმალურია ივნისში და ივლისში (Σ_{D}), მინიმალურია-დეკემბერში.

არამდგრადი თოვლის საფარის გავლენის შედეგად ქვეყნილი ზედაპირის ალბედო მაქსიმალურია ზამთრის თვეებში (25-34%). წელიწადის დანარჩენ თვეებში ალბედოს სიდიდე იცვლება უმნიშვნელოდ: ივი მერყეობს 20-21%-ის საზღვრებში. რადიაციული ბალანსის თვიური ჯამის სიდიდე მაქსიმალურია ივნისში (402.2მჯ/მ), მინიმალურია დეკემბერში 8.3მჯ/მ. მოღრუბლულობის საშუალო პირობებშიც რადიაციული ბალანსისა და მისი მოკლევადიანი მდგენელების თვიური ჯამების წლიური სვლა განისაზღვრება არა

დრუბლიანობის, არამედ მზის სიმაღლის წლიური სვლის გავლენით.

მოწმენდილ ცასთან შედარებით დრუბლიანობის გავლენით რადიაციული ბალანსის მოკლევადლიანი მდგენელების წლიური ჯამების $\sum D$, $\sum S$, $\sum Q$ სიდიდე შესაბამისად მცირდება: 6529.7(ჯგ/მ), 341.5(ჯგ/მ), 2725.2(ჯგ/მ)-ით, ხოლო გაბნეული რადიაციის წლიური ჯამის $\sum D$ სიდიდე მატულობს 690.1მჯ/მ-ით. კახეთის დანარჩენი სადგურებისათვის, რომლებზეც აქტინომეტრიული დაკვირვებები არ სწარმოებს, ჯამური რადიაციის თვიური ჯამების სიდიდეები დრუბლიანობის საშუალო პირობებისათვის გამოთვლილი იქნა სითბური ბალანსის მდგენელების სიდიდეების (Будико, Берлянд, 1951)-ში მოცემული მეთოდიკით. ამ მეთოდიკის თანახმად $\sum Q_{\text{დ}}$ -ს სიდიდეები გამოითვლება სავინოვანგსტრემის ფორმულით:

$$\sum Q_{\text{დ}} = \sum Q_0 [1 - (1 - K)n] \quad (1.2.1)$$

რომელშიც დრუბლიანობის პირობებში ჯამური რადიაციის თვიური ჯამების სიდიდეები $\sum Q_{\text{დ}}$ გამოითვლება მიღებული წლიური ჯამების $\sum Q_0$ გამოყენებით. ფორმულაში (1.2.1) n წარმოადგენს საკვლევ სადგურზე საერთო იარუსის დრუბლიანობის საშუალო მრავალწლიურ მნიშვნელობებს მოცემულ თვეებში (ცხრილი 1.2.1). პარამეტრი K წარმოადგენს მთლიან დრუბლიანობის პირობებში ჯამური რადიაციის შეფარდებას მოწმენდილი ცის შემთხვევაში არსებულ შესაძლო ჯამურ რადიაციასთან. K -ს სიდიდეები კახეთის დაბლობი ტერიტორიის განედზე დამოკიდებულებით აღებულია ზემოთ აღნიშნულ მეთოდიკაში არსებული შესაბამისი ცხრილიდან. $\sum Q_{\text{დ}}$ და $\sum Q_{\text{დ}}$ ამ მეთოდიკით გამოთვლილი სიდიდეები მოცემულია ცხრილში 1.2.3.-ში. რ

ოგორც ცხრილ 1.2.3.-დან ჩანს, დრუბლიანობის საშუალო პირობებში კახეთის დაბლობ ტერიტორიაზე ჯამური რადიაციის წლიური ჯამების $\sum Q_{\text{დ}}$ სიდიდე მერყეობს 4531,6(უდაბნო)-5041,3 (იორმულანლო) მჯ/მ-ის საზღვრებში. წლიური ჯამების შედარებით მაღალი მნიშვნელობები აღინიშნება საგარეჯოში (4980,6მჯ/მ), ალაზანზე (4910,8მჯ/მ) და შირაქში (4944,9მჯ/მ), დაბალი მნიშვნელობები კი სადგურებზე ყვარელი (4535,6მჯ/მ) და ლაგოდეხი (4546,4მჯ/მ).

ცხრილი 1.2.3. ჯამური რადიაციის თვიური და წლიური ჯამების სიდიდე ($\Sigma_{თღ}$, $\Sigma_{წღ}$) ღრუბლიანობის საშუალო პირობებში, მჯ/მ²

სადგური	თ ვ მ				წელი
	I	IV	VII	X	
ყვარელი	184.3	416.1	616.7	314.4	4535.6
წინანდალი	197.8	442.1	598.0	345.3	4686.9
ლაგოდეხი	184.4	416.1	616.7	314.4	4546.4
გურჯაანი	194.4	440.1	635.4	324.7	4645.1
საგარეჯო	207.8	464.1	663.4	340.2	1980.6
იორმულანლო	207.8	456.1	682.1	365.9	5041.3
უდაბნო	201.1	416.1	626.0	340.2	4534.6
ალაზანი	197.8	464.1	654.1	340.2	4910.8
შირაქი	200.1	464.1	654.1	340.1	4944.9
ელდარი	197.8	432.1	644.7	329.9	4788.4
წნორი	194.4	440.1	644.7	329.8	4799.2
თელავი	194.1	432.1	616.7	314.4	4579.4

რადიაციული ბალანსის წლიური ჯამების სიდიდეები იმ სადგურებისათვის, სადაც აქტინომეტრიული დაკვირვებები არ წარმოებდა ჩვენს მიერ გამოთვლილი იქნა (Самукашвили, 1987) (1.2.2.) ფორმულით:

$$\Sigma_{წღ} = \Sigma_{თღ} (0.480 - 0.023H^2) \quad (1.2.1)$$

თელავისათვის რადიაციული ბალანსის წლიურმა ჯამმა გამოითვლების შედეგად შეადგინა 2165,9მჯ/მ, ღრუბლიანობის საშუალო პირობებში თელავის აქტინომეტრიულ სადგურზე დაკვირვებების შედეგად მიღებული რადიაციული ბალანსის წლიური ჯამი შეადგენს 2326,3მჯ/მ. ხოლო გამოთვლების შედეგად მიღებული წლიური ჯამი 2165,9 მჯ/მ-ს. ეს მცირე განსხვავება წლიური ჯამების სიდიდეებში (160,4მჯ/მ, ე.ი. 3,8კკალ/სმ) განაპირობა იმ გარემოებამ, რომ გამოთვლებში ღრუბლიანობის კოეფიციენტის K-ს სიდიდე სადგურის განედის შესაბამისად ავიღეთ 0,34-ის ტოლი, მაშინ როდესაც მას გააჩნია გარკვეული წლიური სვლა. კახეთის მთიანი რაიონებისათვის რადიაციული ბალანსის და მისი მდგენელების სიდიდეების გამოთვლა ვერ მოხერხდა ღრუბლიანობაზე დაკვირვებების არ არსებობის გამო.

1.3. ატმოსფერული ჰაერის წნევა

ატმოსფერული ჰაერის წნევის სიდიდე წარმოადგენს ადგილის აბსოლუტური სიმაღლის, ოროგრაფიის (მთიანი რე-

ლიეფის ელემენტების ორიენტაცია და დახრილობის კუთხე) და ატმოსფეროში მიმდინარე მაკროციკულაციური პროცესების (ციკლონები, ანტიციკლონები) ფუნქციას, გარდა ამისა დღე-ღამის მონაცვლეობის შედეგად ატმოსფერულ წნევას გააჩნია გარკვეული დღე-ღამური სვლა.

ადგილის აბსოლუტური სიმაღლის ზრდის შემთხვევაში ატმოსფერული წნევის სიდიდე კლებულობს, რაც განპირობებულია როგორც მისი სისქის, სიმკვრივის, ტენშემცველობის და აეროზოლებით დატუჭყიანების შემცირებით. მთიანი რაიონების რელიეფის ელემენტების რადიაციული და სითბური ბალანსის სიდიდის ფორმირებაზე დიდ გავლენას ახდენს მათი აბსოლუტური სიმაღლე, ორიენტაცია და დახრილობის კუთხე, რის შედეგად ფიქსირებულ აბსოლუტურ სიმაღლეზე ფორმირდება ატმოსფეროს წნევის ერთმანეთისაგან განსხვავებული სიდიდეები.

მთიან რაიონებში ატმოსფერული წნევის ვარდნა უარყოფითად მოქმედებს ადამიანის ორგანიზმში მიმდინარე ფიზიოლოგიურ პროცესებზე. იმ ფაქტორებიდან, რომლებიც დიდ სიმაღლეებზე ნეგატიურ გავლენას ახდენენ ადამიანის ორგანიზმზე განსაკუთრებით აღსანიშნავია ატმოსფეროში ჟანგბადის პარციალური წნევის ვარდნა. ზღვის დონეზე ჟანგბადის პარციალური წნევა შეადგენს ვერცხლისწყლის სვეტის 85მმ-ს. დიდ სიმაღლეებზე ჟანგბადის პარციალური წნევის ვარდნა ზღვის დონეზე არსებული მის წნევასთან შედარებით 12-14%-მდე ადამიანის ორგანიზმში იწვევს მწვავე ჰიპოქსიას (ჟანგბადის შიმშილს), რომლის დროსაც, ორგანიზმში აღინიშნება ტაქიკარდია (დროის ერთეულში გულის შეკუმშვის სიხშირის მკვეთრი ზრდა). ეს პროცესი შეიძლება დაიწყოს 2000-3000 მ-ის სიმაღლეზე და შეკუმშვის სიხშირემ განაგრძოს ზრდა სიმაღლის შემდგომი მატებისას, რომელსაც შეიძლება მოყვეს ცნობიერების დაკარგვა. დიდ სიმაღლეებზე ასევე აღსანიშნავია ადამიანის სისხლში ჰემოგლობინისა და ერითროციტების რაოდენობის ზრდა, თუ ერითროციტების რაოდენობა გაიზარდა ზღვის დონეზე არსებულ რაოდენობასთან შედარებით 60%-ით, იგი შეიძლება გახდეს ორგანიზმში სისხლის ნორმალური მიმოქცევის დარღვევის სერიოზულ მიზეზად და სხვ.

აღსანიშნავია, რომ მთიან რაიონებში ხანგრძლივი ცხოვრების პირობებში ადამიანის ორგანიზმი იძენს გარემოს შეცვლილ პირობებთან შეგუების (აკლიმატიზაციის) უნარს, რომლის შედეგად მას არა მარტო შეუძლია ამ პირობებში ცხოვრება, არამედ სასარგებლო საქმიანობის წარმოებაც (Биометеорология, 1965).

მთაგორიანი რელიეფის პირობებში ატმოსფერული წნევის სხვა კლიმატურ მახასიათებლებთან კავშირების დასადგენად მისი მნიშვნელობები დაყვანილი უნდა იქნეს ზღვის დონეზე ბარომეტრული ნიველირების მეთოდით, ე.ი. სპეციალური ფორმულით, რომლის გამარტივებულ ვარიანტს წარმოადგენს ბაბინეს ფორმულა:

$$\Delta Z = 16000(1 + 0.004t) \frac{P_0 - P_1}{P_0 + P_1} \quad (1.3.1)$$

რომელშიც t არის ჰაერის ფენის საშუალო ტემპერატურა სადგურის სიმაღლესა Z_1 და ზღვის დონეს Z_0 შორის. P_0 და P_1 - ჰაერის წნევა ზღვის დონეზე და სადგურის სიმაღლეზე (ჰაერის ფენის ქვედა და ზედა საზღვრებზე). ΔZ - სადგურის სიმაღლე ზღვის დონიდან.

კახეთის ტერიტორიისათვის ზღვის დონეზე მოყვანილი ატმოსფერული წნევის საშუალოთვიური (იანვარი, ივლისი) და წლიური სიდიდეები მოცემულია ცხრილ 1.3.1-ში.

როგორც ცხრილ 1.3.1-დან ჩანს, ზღვის დონეზე მიყვანილი ატმოსფერული წნევის სიდიდე იანვარში იცვლება 1022.8-1023.2 ჰპა-ის საზღვრებში ივლისში იგი მერყეობს 1008.7-1010.1 ჰპა-ის, ხოლო წელიწადში 1016.7-1017.7 ჰპა-ის საზღვრებში.

ცხრილი 1.3.1. ატმოსფერული წნევის საშუალოთვიური და წლიური სიდიდეები ჰპა

სადგური	H, მ	წნევა, ჰპა				
		I	VI	წელი	φ^0	λ^0
თელავი	542	1022.8	1009.4	1017.2	41 ⁰ 56'	45 ⁰ 29'
ლაგოდეხი	435	1023.2	1009.9	1017.7	41 ⁰ 49'	46 ⁰ 18'
საგარეჯო	802	1023.0	1009.5	1017.3	41 ⁰ 44'	45 ⁰ 20'
ყვარელი	449	1023.0	1010.1	1017.7	41 ⁰ 58'	45 ⁰ 50'
შირაქი	555	1023.2	1008.7	1016.7	41 ⁰ 24'	46 ⁰ 20'

ცხრილ 1.3.2.-ში მოყვანილია ატმოსფერული წნევის საშუალო წლიური მნიშვნელობები სადგურის სიმაღლეზე.

როგორც ცხრილ 1.3.2.-დან ჩანს, ატმოსფერული წნევის საშუალოწლიური მნიშვნელობების სიდიდე დამოკიდებულია სადგურის სიმაღლეზე, სადგურის აბსოლუტური სიმაღლის მატების სინქრონულად ატმოსფერული წნევის საშუალო წლიური მნიშვნელობები კლებულობა. მაგალითად წნორში, რომლის სიმაღლე შეადგენს 223 მეტრს წნევის საშუალო წლიური სიდიდე ტოლია 970ჰპა-ისა, ხოლო საგარეჯოში (H=802მ) იგი ეცემა 924ჰპა-მდე, ე.ი. წნევა მცირდება 46ჰპა-ით.

ცხრილი 1.3.2. ატმოსფერული წნევის საშუალო წლიური მნიშვნელობები სადგურის სიმაღლეზე, ჰპა

სადგური								
თელავი	ლაგოდეხი	საგარეჯო	გურჯაანი	უდაბნო	ყვარელი	შირაქი	წნორი	ასოლუტურის სიმაღლე
951.0	966.0	924.0	970.0	930.0	965.0	952.0	970.0	930.0
542	435	802	410	750	449	555	223	600

14. ატმოსფეროს ცირკულაციური პროცესები

კახეთის რეგიონს უკავია საქართველოს ტერიტორიის უკიდურესი აღმოსავლეთი ნაწილი. რეგიონი ხასიათდება რთული ოროგრაფიით, ჩრდილოეთით კავკასიონის ქედის მუდმივი თოვლით დაფარული მწვერვალებიდან შირაქის ველის ვაკე ნაწილამდე უკიდურეს სამხრეთში. მერიდიონალურად განლაგებული ქართლისა და კახეთის ქედები არ გამოირჩევა დიდი ასოლუტური სიმაღლეებით, მაგრამ მაინც განასაზღვრავს ამინდის მრავალფეროვნებას და მკვეთრ ცვლილებას ამ შედარებით მცირე ტერიტორიაზე.

გარდა სეზონების საყოველთაოდ ცნობილი მონაცვლეობისა ამინდის ცვლილებას რეგიონში განსაზღვრავს სინოპტიკური პროცესების მრავალფეროვნება, მათი ინტენსივობა, გადაადგილების სიჩქარე და მიმართულება. ძირითადი ბარიული ცენტრების გადანაცვლებების მიხედვით სინოპტიკური პროცესების მრავალფეროვნება საქართველოში შეიძლება დაიყოს 5 ძირითად ტიპად:

ზონალური ზემოქმედება დასავლეთის მდგენელით (ჰ);
 ზონალური ზემოქმედება აღმოსავლეთის მდგენელით ();
 მერიდიანული ზემოქმედება ჩრდილოეთის მდგენელით ();
 მერიდიანული ზემოქმედება სამხრეთის მდგენელით (მ);
 ანტიციკლონური მდგომარეობა ()

თვალსაჩინოებისათვის შეგვიძლია მოვიყვანოთ საშუალო დღეთა რიცხვი ცირკულაციის ტიპების მიხედვით აღმოსავლეთ საქართველოში (ცხრილი 14.1).

ცხრილი 14.1. საშუალო დღეთა რიცხვი ცირკულაციის ტიპების მიხედვით აღმოსავლეთ საქართველოში.

ცირკულაციის ტიპი	სეზონი				წელი
	ზამთარი	გაზაფხული	ზაფხული	შემოდგომა	
W	3	16	27	9	55
E	14	4	0	3	21
N	13	17	11	15	56
S	31	28	28	24	111
A	29	27	26	40	122

მოკლედ დავახასიათოთ მთავარი სინოპტიკური წარმონაქმნების გადაადგილების ძირითადი მახასიათებლები. როგორც დასახელებიდან ჩანს, დასავლეთის მიმართულების პროცესებისათვის დამახასიათებელია ჰაერის მასების უპირატესი გადაადგილება დასავლეთიდან აღმოსავლეთის მიმართულებით. მთავარი კავკასიონის ქედის საშუალო სიმაღლე შეიძლება 4კმ-მდე ვივარაუდოთ. იგი საიმედო დამცველია ჩრდილოეთიდან ჰაერის მასების გადაადგილებისა მთელი წლის განმავლობაში. ამ პროცესებისათვის დამახასიათებელია შავ ზღვაზე ჩრდილოეთიდან სამხრეთისკენ მაღლივი ღარის არსებობა. ევროპის ცენტრალურ რაიონებში ადგილი აქვს შედარებით მაღალი წნევის თხემის არსებობას. ამ დროს ამიერკავკასიის ტერიტორიაზე ადგილი აქვს ჰაერის მასების გადაადგილებას დასავლეთიდან გადმონაცვლებული ციკლონის ზურგში. ჰაერის ცივი მასები კავკასიონის ქედს შემოუვლის ჩრდილო-დასავლეთიდან, შავი ზღვის გავლენით თბება და გაჯერდება ნოტიო ჰაერით. სურამის ქედი ამ დროს წარმოადგენს ბუნებრივ დაბრკოლებას, აღმოსავლეთ საქართველოში მათი გავლენა შედარებით შემცირებულია. როგორც ცხრილი 14.1-დან შეიძლება დავასკვნათ, წლის ცივ პერიოდში მათი ალბათობა შედარებით მცირეა.

რაც შეეხება მეორე, ე.წ. E ტიპს, ამ დროს ამიერკავკასიაში ჰაერის ცივი მასების შემოჭრა მოსალოდნელია აღმოსავლეთიდან. ამ პროცესების დროს მაღლივ რუკებზე ღარი მიმართულია ჩრდილო-აღმოსავლეთიდან სამხრეთ-დასავლეთისაკენ, კასპიის ზღვის მიმართულებით. კასპიის ზღვის ტერიტორიაზე ადგილი აქვს ჰაერის გრილი მასების ადვექციას. ამ პროცესების დროს ხშირად ადგილი აქვს ციკლონური წარმონაქმნების გადაადგილებას შავი ზღვის მიმართულებით. ჰაერის ცივი მასები ვრცელდება მთელი აღმოსავლეთ საქართველოს ტერიტორიაზე. ჰაერის ცივი მასების გადაადგილებას თან სდევს ამინდის ე.წ. გაუარესება, ტემპერატურის დაცემა, მოდრუბლულობის ზრდა, ქარის სიჩქარის და ნალექების მატება და ა.შ. აქვე უნდა აღვნიშნოთ რომ ამ პროცესის ალბათობა მინიმალურია ყველა სეზონისათვის, გარდა ზამთრისა.

შედარებით დიდია საკვლევ ტერიტორიაზე ანტიციკლონური ველის (A) ალბათობა. ეს პროცესი თითქმის თანაბრად არის განაწილებული სეზონების მიხედვით და ყველა შემთხვევათა 33%-ს იკავებს. ამ პროცესის ალბათობას ხელს უწყობს ადგილობრივი ოროგრაფიის თავისებურება და სიტუაცია, როცა ადგილი აქვს დასავლეთიდან ან აღმოსავლეთიდან შემოჭრის საგრძნობ შესუსტებას. ანტიციკლონური მდგომარეობა ხასიათდება შედარებით გაზრდილი წნევით, ამინდის ერთგვაროვნებით დიდ ტერიტორიაზე, მოწმენდილი ცივ და სუსტი ქარის რეჟიმით. აღნიშნული პირობები ხელს უწყობს სოფლის მეურნეობის მრავალი დარგის აღმავლობას, საკურორტო სეზონის გაზრდას და ა.შ.

რაც შეეხება ე.წ. მერიდიანული პროცესების განმეორადობას აღმოსავლეთ საქართველოში, აქ საჭიროა აღინიშნოს, რომ სამხრეთის მიმართულების გადაადგილებები ყველა სეზონისათვის და წლის განმავლობაში თითქმის 2 ჯერ სჭარბობს ჩრდილოეთის პროცესების ალბათობას. ამ პროცესებისათვის დამახასიათებელია მაღლივი თერმობარიული ველის რუკებზე თხემისა და ღარის თითქმის მერიდიანული მიმართულება. ამავე დროს ძირითადი მაღლივი ღარი მიმართულია ბარენცის ზღვიდან შავი და კასპიის ზღვებისაკენ, ხოლო მძლავრი მაღლივი თხემი განლაგებულია ევრო-

პის თითქმის ცენტრში. ამ პროცესებს ახასიათებთ რიგი თავისებურება, მათ შორის სეზონურობა, შედარებით მეტი აქტიურობა თბილი პერიოდის დღის საათებში. ღამის საათებში აქტიურობა საგრძნობლად იკლებს და თითქმის არა აქვთ გავლენა ამინდის შესაძლო ცვალებადობაზე. წლის ცივ პერიოდში ადგილი აქვს მოღრუბლულობის ზრდას, ნალექების მატებას, ქარის სიჩქარის გაძლიერებას. რაც შეეხება წლის თბილ პერიოდს ამ დროს ამინდის გაუარესება არ არის გამორიცხული, მოსალოდნელია შიდამასიური პროცესების გააქტიურება, ელჭექი, სუსტი ნალექი, არ არის გამორიცხული სეტყვის ცალკეული შემთხვევები, წაყინვები და ა.შ.

ჩვენს მიერ განხილული ცირკულაციის ტიპები ბუნებაში იშვიათად გვხვდება გამოკვეთილად, ე.წ. “სუფთა” სახით. ადგილის რელიეფის თავისებურების, სეზონების თუ ატმოსფეროს ტიპების მონაცვლეობის შედეგად ადგილი აქვს მათ გაძლიერებას ან შესუსტებას. აღნიშნულ ტერიტორიაზე ამინდის მრავალფეროვნება დიდად არის დამოკიდებული ფრონტარულ თუ შიდამასიურ პროცესებთან. ფრონტალურად ითვლება პროცესი, როცა ატმოსფერული ფრონტი უახლოვდება ან გადაადგილდება საკვლევ ტერიტორიაზე. წინააღმდეგ შემთხვევაში სახეზეა შიდამასიური პროცესი (ცხრილი 1.4.2).

ცხრილი 1.4.2. დღეთა საშუალო რიცხვი აღმოსავლეთ საქართველოში ფრონტალური და შიდამასიური ამინდით.

ამინდის სახითი	სეზონი				წელი
	ზამთარი	გაზაფხული	ზაფხული	შემოდგომა	
ფრონტალური	28	30	22	24	104
შიდამასიური	62	62	70	67	261

როგორც ცხრილიდან ჩანს ადგილი აქვს შიდამასიური პროცესების ორჯერ და მეტად განმეორებადობას ფრონტალურთან შედარებით. ფრონტალური პროცესებისათვის უფრო დამახასიათებელია ტემპერატურის დაცემა, ქარის სიჩქარის, მოღრუბლულობის და ფარდობითი სინოტივის ზრდა; ნალექები მოსალოდნელია სხვადასხვა ინტენსივობით ფრონტის გადაადგილების მიმართულებისა და სეზონის მიხედვით. შიდამასიური პროცესებისათვის უფრო დამახასიათებელია ატმოსფერული წნევის ზრდა, სუსტი ქარი, მზიანი დღეების სიუხვე და ე.წ. “კარგი” ამინდის შენარჩუნება შედარებით მეტ დროში და დიდ ტერიტორიაზე.

**თაში II კლიმატის პირითაღი ელემენტების
ტერიტორიული ბანაწილების განონზომიერებანი**

2.1. ჰაერის ტემპერატურა

ჰაერის ტემპერატურა კლიმატის უმნიშვნელოვანესი ელემენტია, ამიტომ ადგილის ტემპერატურული რეჟიმი კლიმატის ძირითად თავისებურებებს გამოხატავს. კახეთის ტერიტორიაზე ტემპერატურის განაწილებას კონტრასტული ხასიათი აქვს, რაც რეგიონის ფიზიკურ-გეოგრაფიული მრავალფეროვნებით აიხსნება (ცხრილი 2.1.1).

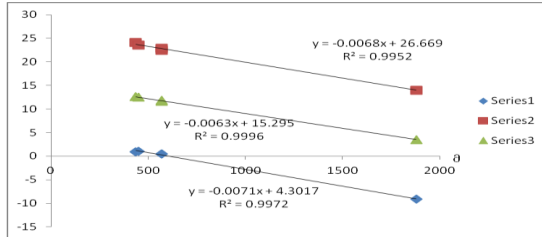
ცხრილი 2.1.1 ჰაერის ტემპერატურა °C

თ ვ ე												წელი
I	II	III	IV	V	VI	VII	VIII	IX	X	XI	XII	
თელავი												
0.5	1.9	5.7	11.1	16.0	19.6	22.9	23.0	18.5	13.1	7.0	2.5	11.8
ახმეტა												
0.5	1.8	5.7	11.0	15.8	19.3	22.4	22.4	18.3	13.0	7.1	2.5	11.6
გურჯაანი												
0.9	2.5	6.5	11.8	16.8	20.5	23.6	23.6	19.0	13.5	7.6	2.7	12.4
ყვარელი												
1.0	2.7	6.6	11.9	17.0	20.5	23.6	23.6	19.2	13.8	7.6	2.9	12.5
საგარეჯო												
-0.1	1.1	4.6	10.1	15.4	19.0	22.0	21.8	17.3	12.1	6.3	2.0	11.0
სინღალი												
0.2	1.3	4.2	9.9	15.1	19.0	22.3	22.5	17.9	12.4	6.1	2.5	11.1
ლაგოდეხი												
0.9	2.6	6.5	11.8	17.1	20.7	24.1	24.1	19.5	13.8	7.5	2.7	12.6
დედოფლისწყარო												
-1.5	0.1	3.2	9.1	14.5	18.3	21.7	21.7	17.0	11.3	5.0	0.5	10.1

ცხრილი 2.1.1-ის თანახმად კახეთში ყველაზე ცივი თვე ყველგან იანვარია, ყველაზე თბილი თვეები-ივლისი-აგვისტოა, ხოლო შემოდგომა გაზაფხულზე თბილია. ტემპერატურის ცვლილების მთავარი ფაქტორი ადგილის სიმაღლეა. ნათქვამს კარგად ადასტურებს ნახ. 2.1.1-ზე წარმოდგენილი დამოკიდებულებებიც.

წარმოდგენილი ნახ.2.1.1.-დან და შესაბამისი განტოლებებიდან ჩანს, რომ ტემპერატურა სიმაღლის მიხედვით წრფივად კლებულობს. ტემპერატურის ვერტიკალური გრადიენტი ივლისისა და საშუალო წლიური ტემპერატურებისათვის ყოველ 100მ სიმაღლეზე 0.6⁰-ს, ხოლო იანვრის ტემპერატურისათვის 0.7⁰- შეადგენს. ამავე ნახ.-ზე წარმოდგენილი დე-

ტერმინაციის კოეფიციენტი გვიჩვენებს, თუ რამდენია ადგილის სიმაღლის წველილი ტემპერატურის ცვლილებაში. როგორც დეტერმინაციის კოეფიციენტის მნიშვნელობები გვიჩვენებს, ადგილის სიმაღლის წველილი ტემპერატურის ცვლილებაში კახეთის რეგიონში დაგამწვევტია და 100 %-ს უახლოვდება.



ნახ.2.1.1.ჰაერის ტემპერატურის ცვლილება სიმაღლის მიხედვით კახეთის კავკასიონზე და შესაბამისი აღმწერი ფუნქციები: 1-იანვარი; 2-ივლისი; 3-წელი (R^2 -დეტერმინაციის კოეფიციენტი)

მიღებული განტოლებების მაღალი საიმედოობიდან გამომდინარე შეგვიძლია საკმაო სიზუსტით ვიმსჯელოთ სხვადასხვა სიმაღლითი სარტყლის ტემპერატურულ რეჟიმზე. ამ განტოლებებით გამოთვლილი ტემპერატურის მნიშვნელობები სტანდარტული სიმაღლეებისათვის წარმოდგენილია ცხრილში 2.1.2.

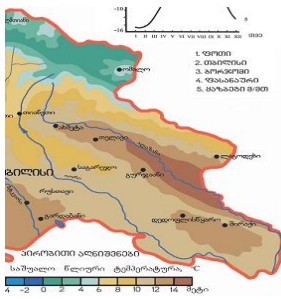
ცხრილი 2.1.2. განტოლებებით გამოთვლილი ტემპერატურის მნიშვნელობები სტანდარტული სიმაღლეებისათვის $^{\circ}C$

პერიოდი	სტანდარტული სიმაღლე, მ					
	500	1000	1500	2000	2500	3000
იანვარი	0.8	-2.7	-6.2	-9.7	-13.2	-16.7
ივლისი	23.7	20.7	17.7	14.7	11.7	8.7
წელი	12.3	9.3	6.3	3.3	0.3	-2.7

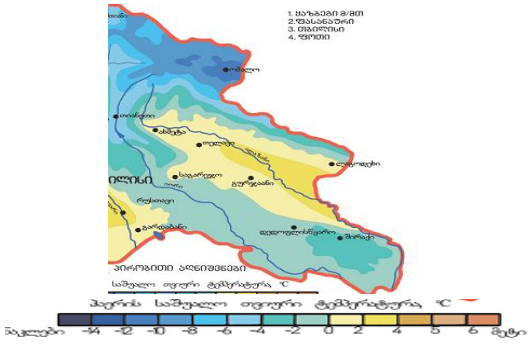
როგორც ცხრილიდან ჩანს იანვარში კახეთის ბარში საშუალო ტემპერატურა დადებითია, დაბალი მთის ზონის ზედა საზღვარზე (1000 მ) ტემპერატურა მინუს 2.5-3⁰-მდე კლებულობს, საშუალო მთის ზონის ქვედა სარტყელში (1000-1500 მ) იანვრის ტემპერატურა დაახლოებით მინუს 2.7-6.2⁰ ფარ-

გლებში იცვლება, ხოლო ამავე ზონის ზედა სარტყელში (2000 მ სიმაღლეზე) მინუს 10⁰-მდე ეცემა. მაღალმთიან ზონაში იანვრის საშუალო ტემპერატურა მინუს 10⁰-ზე დაბლა ეცემა და შესაძლოა მინუს 15-20⁰-მდე მიაღწიოს. ივლისის თვის ტემპერატურა ყველა სიმაღლეებზე დადებითია, ის ბარში აღემატება 23⁰-ს, დაბალმთიანი ზონის ზედა საზღვარზე 21⁰-ს შეადგენს, საშუალო მთის ზონის ქვედა სარტყელში 18-21⁰-ს შეადგენს, ხოლო ზედა სარტყელში ეცემა 15⁰-მდე. მაღალმთიან ზონაში ივლისის თვის ტემპერატურა 10-15⁰-ზე დაბალია. საშუალო წლიური ტემპერატურა მაღალმთიან ზონაში უარყოფითი ხდება, მანამდე დადებითია. ბარში აღემატება 12⁰-ს, დაბალმთიან ზონაში ეცემა 10⁰-მდე, საშუალო მთის ზონის ქვედა სარტყელში კლებულობს ნ, ხოლო ზედა სარტყელში 3⁰-მდე.

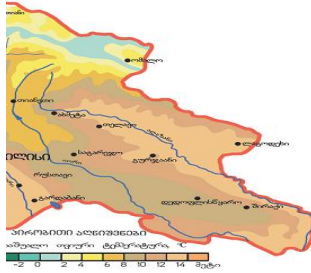
კახეთის რეგიონის ტერიტორიის ტემპერატურული რეჟიმი კარგად აისახება ნახ. 2.1.2.-2.1.6-ზე წარმოდგენილ იზოთერმების რუკებზე, რომლებიც შედგენილია სეზონების ცენტრალური თვეებისათვის და საშუალო წლიური ტემპერატურისათვის (საქართველოს კლიმატური და აგროკლიმატური ატლასი, 2011).



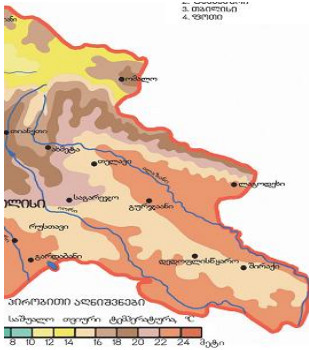
ნახ. 2.1.2. ჰაერის ტემპერატურა (საშუალო წლიური)



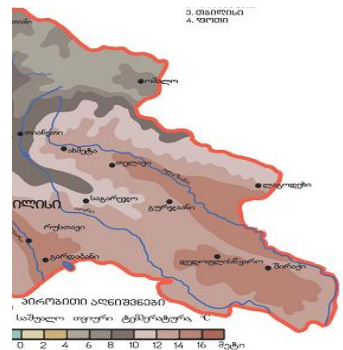
ნახ. 2.1.3. ჰაერის ტემპერატურა (იანვარი)



ნახ 2.1.4. ჰაერის ტემპერატურა (აპრილი)



ნახ. 2.1.5. ჰაერის ტემპერატურა (ივლისი)



ნახ. 2.1.6. ჰაერის ტემპერატურა (ოქტომბერი)

აღნიშნული რუკები საშუალებას გვაძლევს ავხსნათ ჰაერის სეზონური და წლიური ტემპერატურების განაწილების გეოგრაფიული კანონზომიერებები კახეთის რეგიონში.

ნახ.2.1.2-დან ჩანს, რომ ჰაერის საშუალო წლიური ტემპერატურა კახეთის ტერიტორიაზე ძირითადად დადებითია, 0-დან 16⁰-მდე იცვლება. უდიდესი ტემპერატურები აღინიშნება ალაზნის ველზე, ხოლო უმცირესი-კავკასიონის მაღალმთიან ზონაში. იორის ზეგანზე ტემპერატურა 10-14⁰-ია, გომბორის ქედზე 6-8⁰. ჰაერის ტემპერატურის ცვლილების ასეთი კანონზომიერებები ძირითადად შენარჩუნებულია ყველა თვესა და სეზონში, განსხვავებულია მხოლოდ ტემპერატურის რაოდენობრივი მაჩვენებლები. ნახ. 2.1.3-ის თანახმად იანვრის საშუალო თვიური ტემპერატურა კახეთის ტერიტორიაზე -12⁰C-დან 4⁰ C -მდე ფარგლებში მერყეობს. უდიდესი ტემპერატურები აგრეთვე ალაზნის ველზე აღინიშნება,

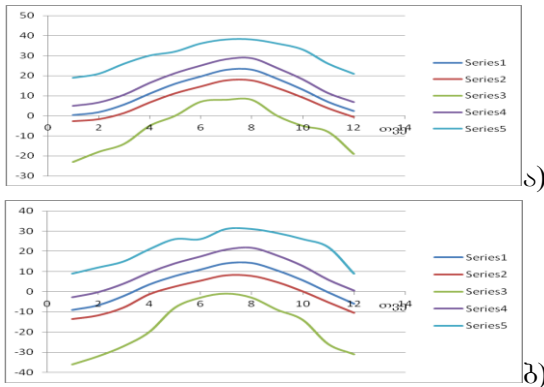
კავკასიონის მაღალმთიან ზონაში კი -12°C -მდე ეცემა. იორის ზეგანზე და გომბორის ქედზე იანვრის ტემპერატურა უარყოფითია და მინუს 4° -მდე ჩადის. აპრილში კახეთის მთელ ტერიტორიაზე დადებითი ტემპერატურა დაიკვირვება და იგი 0° -დან 14° -მდე მერყეობს. ამ შემთხვევაშიც ყველაზე მაღალი ტემპერატურა ალაზნის ველზე აღინიშნება, ხოლო ყველაზე დაბალი ტემპერატურა კი კავკასიონის მაღალმთიან ზონაში. იორის ზეგანზე ტემპერატურა $8-10^{\circ}$ -ს შეადგენს, ხოლო გომბორის ქედზე $6-8^{\circ}$ -მდე ეცემა.

ივლისის თვეში ჰაერის საშუალო ტემპერატურა 14° -დან 24° -მდე იცვლება, მაქსიმუმით აგრეთვე ალაზნის ველზე და მინიმუმით კავკასიონზე. იორის ზეგანზე ტემპერატურა შეადგენს $20-22^{\circ}$ -ს, ხოლო გომბორის ქედზე $18-20^{\circ}$ -ია. ოქტომბრის თვის ტემპერატურა 4° და 16° -ფარგლებში მერყეობს. ამ თვეშიც შენარჩუნებულია ძირითადი გეოგრაფიული კანონზომიერება—ტემპერატურის თანდათანობითი დაცემა ალაზნის ველიდან კავკასიონის მიმართულებით, ადგილის სიმაღლის ზრდასთან ერთად. იორის ზეგანზე ჰაერის ტემპერატურა შეადგენს $12-14^{\circ}$ -ს, ხოლო გომბორის ქედზე ეცემა $8-10^{\circ}$ -მდე. ტემპერატურის წლიური სვლა ხასიათდება მინიმუმით იანვარში, ხოლო მაქსიმუმით ივლის-აგვისტოში. ასეთივე სვლა აქვს ტემპერატურის ექსტრემალურ მახასიათებლებს—აბსოლუტურ მინიმუმს და მაქსიმუმს, საშუალო მინიმუმს და მაქსიმუმს. ეს კარგად ჩანს ნახ. 2.1.7-დან სადაც წარმოდგენილია ჰაერის ტემპერატურის საშუალო და ექსტრემალური მნიშვნელობების წლიური სვლა ორ განსხვავებულ ფიზიკურ-გეოგრაფიულ პირობებში: თელავში(568 მ ზღვის დონედან) და ომალოში(1880 მ).

როგორც ნახ. 2.1.7-დან ჩანს, ექსტრემალურ ტემპერატურათა მნიშვნელობანი რეგიონში საკმაოდ დიდ დიაპაზონში მერყეობს. რეგიონში აბსოლუტური მაქსიმალური ტემპერატურების წლიური სიდიდეები ბარში 40° -მდე აღწევს, ხოლო მაღალმთიან ზონაში 30° -მდე ჩამოდის. აბსოლუტური მინიმალური ტემპერატურა ბარში მინუს $20-25^{\circ}$ -ს შეადგენს, ხოლო მაღალმთიან ზონაში მინუს 40° -ზე დაბლა ჩადის. ამავდროულად ნახ.-დან გამომდინარეობს, რომ ბარში ტემპერატურის აბსოლუტური მინიმუმი ზაფხულის თვეებში დადებითია, ხოლო

მთიან ზონაში ეს მაჩვენებელი უარყოფითია მთელი წლის განმავლობაში.

თუ დღის განმავლობაში ტემპერატურა აღემატება 25⁰-ს, მაშინ მას ცხელ დღედ მიიჩნევენ, ხოლო თუ მინიმალური ტემპერატურა აღემატება 20⁰-ს მას ტროპიკულ დამეს უწოდებენ. ასეთი დღეების და დამეების პირობებში ადამიანი გრძნობს დისკომფორტს, ხოლო თუ კი ამავე დროს ჰაერის სინოტივე მაღალია, ადამიანი გრძნობს დახუთულობას. ეს უარყოფით გავლენას ახდენს ადამიანის ჯანმრთელობაზე, შრომასა და დასვენებაზე და შეუძლია გამოიწვიოს სტრესული სითბური დატვირთვა, რისი მოხსნაც შეუძლებელია ჰიგიენური და სამშენებლო ღონისძიებების სრული კომპლექსის გათვალისწინებითაც კი. ცხელი დღეები და ტროპიკული დამეები კახეთში მხოლოდ ბარში და დაბალმთიან ზონაში გვხვდება. ცხრილში 2.1.3 წარმოდგენილია ასეთი დღეების და დამეების რაოდენობა თელავისა და შირაქისათვის.



ნახ. 2.1.7. ჰაერის ტემპერატურის საშუალო და ექსტრემალური მნიშვნელობების წლიური სვლა თელავში (ა) და ომალოში (ბ): 1-საშუალო; 2-საშუალო მინიმუმი; 3- აბსოლუტური მინიმუმი; 4-საშუალო მაქსიმუმი; 5-აბსოლუტური მაქსიმუმი

ცხრილიდან ჩანს, რომ ცხელი დღეები თელავში იწყება მარტიდან და გრძელდება ნოემბრის ჩათვლით, თუმცა მარტსა და ნოემბერში მათი აღბათობა ძალიან მცირეა. ივნისში ცხელი დღეების რაოდენობა 17-ს აღემატება, ივლის-აგვისტოში 27 დღეს აღემატება, სექტემბერში საშუალოდ 13

დღეს შეადგენს, ხოლო ოქტომბერში 2 დღეზე ნაკლებია. მთელი წლის განმავლობაში თელავში ცხელ დღეთა რიცხვი 95-მდე აღწევს.

ცხრილი 2.1.3. ცხელი დღეების (1) და ტროპიკული ღამეების (2) რაოდენობა

პუნქტი	თვეები								
	III	IV	V	VI	VII	VIII	IX	X	XI
თელავი(1)	0.04	1.2	6.3	17.2	27.2	27.3	13.3	1.6	0.03
შირაქი(1)	-	1.3	7	18.7	28.4	28.2	15.5	2.6	-
თელავი(2)	-	-	-	0.5	6.3	6.0	0.3	-	-
შირაქი(2)	-	-	-	-	1.3	1.2	0.1	-	-

შირაქში ცხელი დღეები უფრო ხანმოკლე დროის განმავლობაში მყარდება-აპრილიდან ოქტომბრის ჩათვლით, თუმცა აქ უფრო ინტენსიურ ხასიათს ატარებს. ივლის-აგვისტოში მათი რიცხვი 28 დღეს აღემატება, ხოლო წლის განმავლობაში 102 დღეს შეადგენს. ასეთი განსხვავება გამოწვეულია შირაქის ჰავის არიდული ხასიათით.

ამავე ცხრილიდან ჩანს, რომ ტროპიკული ღამეები თელავში ივნისიდან სექტემბრის ჩათვლით, ხოლო შირაქში- ივლისიდან სექტემბრის ჩათვლით მყარდება. თელავში ტროპიკულ ღამეთა წლიური რიცხვი 13-მდე აღწევს, ხოლო შირაქში- 3-ზე ნაკლებია, რაც აგრეთვე კლიმატის არიდულობით აიხსნება.

2.2. ჰაერის სინოტივე

სინოტივე აგრეთვე კლიმატის ერთ-ერთი უმნიშვნელოვანესი ელემენტია. მისი ძირითადი მახასიათებლებია წყლის ორთქლის პარციალური წნევა და ჰაერის შეფარდებითი სინოტივე.

წყლის ორთქლის პარციალური წნევა, ჰაერის ტემპერატურის მსგავსად, წლიურ სვლაში უმცირეს მნიშვნელობებს ზამთარში, ხოლო უდიდესს – ზაფხულში აღწევს. ამასთანავე სიმაღლის ზრდით პარციალური წნევაც აგრეთვე კანონზომიერად კლებულობს (ცხრილი 2.2.1).

ცხრილიდან ჩანს, რომ წლის განმავლობაში პარციალური წნევის საშუალო წლიური მნიშვნელობა რეგიონის ტერიტორიაზე იცვლება დაახლოებით 9-დან 11-12 ჰპა-მდე

ფარგლებში და უდიდესია ლაგოდეხის, ყვარლის და გურჯაანის რაიონებში, ხოლო უმცირესი საგარეჯოს რაიონშია. ამრიგად, პარციალური წნევის საშუალო წლიური მნიშვნელობის ამპლიტუდა კახეთის ტერიტორიაზე არ არის დიდი და შეადგენს მხოლოდ 2-3 კპა-ს.

ცხრილი 2.2.1. ჰაერის წყლის ორთქლის პარციალური წნევა (კპა)

თ ვ კ												წელი
I	II	III	IV	V	VI	VII	VIII	IX	X	XI	XII	
თელავი												
4.8	5.0	6.0	8.9	12.9	15.4	17.5	16.5	14.2	10.7	7.8	5.6	10.4
ახმეტა												
4.8	5.1	6.0	8.8	12.7	15.4	17.7	16.9	14.2	10.6	7.8	5.6	10.5
გურჯაანი												
5.4	5.6	6.7	10.0	14.2	16.8	19.0	18.0	15.6	11.8	8.6	6.1	11.5
ყვარელი												
5.4	5.6	6.7	9.7	13.7	16.3	18.9	18.0	15.4	11.6	8.6	6.2	11.3
საგარეჯო												
4.6	4.7	5.6	8.3	12.0	14.6	16.9	16.0	13.6	10.1	7.1	5.2	9.9
სინღაღი												
4.9	5.2	6.2	9.1	13.1	15.4	17.7	16.7	14.4	11.4	8.0	5.7	10.6
ლაგოდეხი												
5.6	5.8	6.8	9.9	14.0	16.3	18.6	17.8	15.5	12.0	8.8	6.4	11.5
დედოფლისწყარო												
4.7	5.0	5.9	8.8	12.6	14.7	17.2	16.5	14.2	11.0	7.9	5.6	10.3

იანვარში წყლის ორთქლის პარციალური წნევა უმცირესია და მერყეობს 4-დან 6 კპა-ფარგლებში. გაზაფხულიდან პარციალური წნევა იზრდება და მაქსიმუმს ივლისში აღწევს, როდესაც ის ძირითადად 17-19 კპა ფარგლებში იცვლება. ზაფხულის შემდეგ პარციალური წნევა მონოტონურად ეცემა. ადგილის სიმაღლის ზრდასთან ერთად პარციალური წნევა მცირდება. საშუალო წლიური მნიშვნელობისათვის დამახასიათებელი მაქსიმუმის და მინიმუმის დადგომის ადგილები შენარჩუნებულია თვეების მიხედვითაც.

ჰაერის სინოტივის აგრეთვე მნიშვნელოვანი მახასიათებელია შეფარდებითი სინოტივე. ის წარმოადგენს ჰაერში შემავალი წყლის ორთქლის პარციალური წნევის შეფარდებას გაჯერებული წყლის ორთქლის პარციალურ წნე-

ვასთან იმავე ტემპერატურაზე და გამოისახება პროცენტებში (%). ეს პარამეტრი ასევე წარმოადგენს კლიმატის ცვალებად ელემენტს. დამოკიდებულია ჰაერის ტემპერატურაზე, ცირკულარულ პროცესებზე, ღრუბლიანობაზე, ქარის რეჟიმზე, ოროგრაფიაზე და ა.შ. შეფარდებით სინოტივეს აგრეთვე ახასიათებს სეზონური სვლა, თუმცა მნიშვნელოვნად დამოკიდებულია ადგილობრივ პირობებზე (ცხრილი 2.2.2.).

ცხრილი 2.2.2 ჰაერის შეფარდებითი სინოტივე (%)

სადგური	თ ვ ე												წელი
	I	II	III	IV	V	VI	VII	VIII	IX	X	XI	XII	
თელავი	71	69	69	66	70	67	62	60	68	73	76	72	69
ახმეტა	70	69	68	67	69	68	66	64	69	73	74	72	69
გურჯაანი	76	73	72	72	72	68	65	64	72	78	80	78	72
ყვარელი,	78	73	72	70	70	66	65	64	72	77	80	80	72
საგარეჯო	71	69	69	68	69	66	64	63	70	75	76	72	69
სიდნაღი	74	75	74	74	74	68	65	63	72	79	80	74	73
ლაგოდეხი	80	75	73	70	71	66	62	60	69	78	82	82	72
დედოფლის წყარო	80	79	80	75	74	68	65	64	74	82	86	83	76

როგორც ცხრილიდან ჩანს შეფარდებითი სინოტივი საშუალო წლიური მნიშვნელობა 69-76 % და მეტ ფარგლებში მერყეობს. წლიურ სვლაში მაქსიმუმი ზამთარში, დეკემბერში ან იანვარში, ხოლო მინიმუმი ზაფხულის თვეებში, ძირითადად აგვისტოში აღინიშნება.

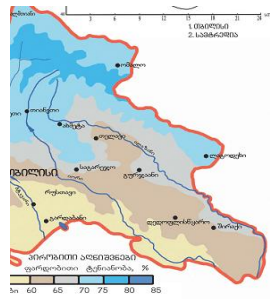
დეტალურ ინფორმაციას შეფარდებითი სინოტივის ტერიტორიული განაწილების შესახებ ზამთრის და ზაფხულის სეზონების ცენტრალურ თვეებში გვაძლევს ნახ.2.2.1 და ნახ.2.2.2- ზე წარმოდგენილი რუკები (საქართველოს კლიმატური და აგროკლიმატური ატლასი, 2011).

როგორც ნახ. 2.2.1-დან ჩანს ჰაერის შეფარდებითი სინოტივე იანვრის თვეში კახეთის მთელ ტერიტორიაზე დიდ ფარგლებში არ იცვლება. ტერიტორიის უდიდეს ნაწილზე ის 75-80%-ს შეადგენს. ივრის ზეგანზე სინოტივე აღემატება 80%-ს, ხოლო მდინარე იორის შუაწელში, საგარეჯოს რაიონში და აგრეთვე ახმეტის რაიონის ტერიტორიაზე ის უმცირესია და 70-75%-ს შეადგენს.

ნახ. 2.2.2-ის თანახმად ივლისში შეფარდებითი სინოტივე უფრო დიდ ფარგლებში იცვლება. მაქსიმუმს (75-80%) ამჟამად კავკასიონის მაღალმთიან ზონაში აღწევს, ხოლო მინიმუმი (60%-ზე ნაკლები) მდინარე იორის ქვემო წელში მყარდება. ივლისის ზეგანზე, მდინარეების ალაზნის და იორის შუაწელში შეფარდებითი სინოტივე 60-65%-ს, ხოლო მთებში ძირითადად 70-75%-ს შეადგენს.



ნახ. 2.2.1. ჰაერის შეფარდებითი სინოტივე (%). იანვარი



ნახ. 2.2.2. ჰაერის შეფარდებითი სინოტივე (%). ივლისი

შეფარდებითი სინოტივის დღე-ღამურ სვლაში უმცირესი მნიშვნელობა შუადღისას აღინიშნება, რაც ტემპერატურის შეადარებით მაღალი ფონით აიხსნება, უდიდესი მნიშვნელობა კი შუადღით ფიქსირდება.

ჰაერის სინოტივის მნიშვნელოვანი მახასიათებელია დღეთა რიცხვი სინოტივის სხვადასხვა მნიშვნელობით. როდესაც შეფარდებითი სინოტივე ნაკლებია 30%-ზე, მას მშრალ დღეს უწოდებენ. ასეთი დღეთა რიცხვი რეგიონის ტერიტორიაზე წელიწადში დაახლოებით 10-30-ია. შედარებით მეტია ნოტიო დღეთა რიცხვი, როდესაც შეფარდებითი სინოტივე $\geq 80\%$. ასეთი დღეები შეადგენს 55-70-ს (ცხრილი 2.2.3).

2.3. ატმოსფერული ნალექები

ატმოსფერული ნალექები აგრეთვე კლიმატის ერთერთ მნიშვნელოვან ელემენტს წარმოადგენს. ის ტემპერატურასთან ერთად განსაზღვრავს ეკონომიკის დარგების, განსა-

კუთრებით კი სოფლის მეურნეობის განვითარების ძირითად მიმართულებებს.

ცხრილი 2.2.3 მშრალი (შეფარდებითი სინოტივე $\leq 30\%$) და ნოტიო ($\geq 80\%$) დღეთა რიცხვი

სადგური, დღეთა რიცხვი		თ ვ ე											წელი	
		I	II	III	IV	V	VI	VII	VIII	IX	X	XI		XII
თელავი	მშრალი (30%)	1.1	1.8	3.6	3.6	1.5	1.8	2.7	4.9	2.0	1.5	0.8	1.0	26.3
	ნოტიო (80%)	7.9	6.2	6.3	4.4	3.9	2.0	1.5	1.5	3.2	5.2	7.8	8.8	58.7
გურჯაანი	მშრალი (30%)	0.6	0.8	1.6	1.0	0.5	1.0	1.4	3.0	0.8	0.4	0.3	0.4	11.8
	ნოტიო (8 0%)	10.4	7.4	6.4	4.7	3.7	2.1	1.4	1.3	3.0	5.5	9.0	11.5	66.4
ლაგოდეხი	მშრალი (30%)	0.2	0.8	1.8	1.7	0.8	1.0	1.6	2.7	0.9	0.5	0.2	0.2	12.4
	ნოტიო (80%)	11.3	8.0	6.3	4.6	3.7	2.1	1.8	1.4	3.9	5.6	9.2	11.5	69.4

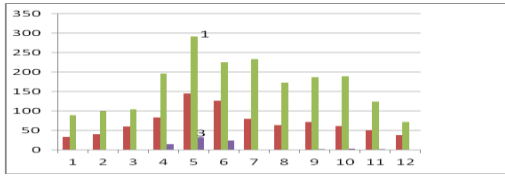
ატმოსფერული ნალექები ხასიათდება სხვადასხვა მახასიათებლით- ნალექთა ჯამით, სხვადასხვა გრადაციის ნალექიან დღეთა რიცხვით, ნალექების ხანგრძლივობით, ინტენსივობით და სხვ., თუმცა ყველაზე სრულად ადგილის კლიმატურ თავისებურებებს სხვადასხვა პერიოდის განმავლობაში მოსული ნალექების ჯამები ახასიათებს. ცხრილში 2.3.1. წარმოდგენილია ატმოსფერული ნალექების თვიური და წლიური ჯამების მნიშვნელობები რეგიონის მთავარ პუნქტებში.

ცხრილი 2.3.1 ატმოსფერული ნალექების თვიური და წლიური ჯამები, მმ

სადგური	თ ვ ე												წელი
	I	II	III	IV	V	VI	VII	VIII	IX	X	XI	XII	
თელავი	33	40	60	83	145	126	80	64	72	68	51	38	860
ახმეტა,	43	51	64	86	123	118	72	59	66	74	63	38	857
გურჯაანი	32	44	66	80	134	101	69	54	77	73	51	33	804
ყვარელი	40	46	70	105	181	159	103	81	90	86	63	46	1070
საგარეჯო	38	52	71	87	133	116	79	46	68	76	63	36	865
ხილნაღი	33	39	55	77	137	119	77	59	68	65	48	34	811
ლაგოდეხი	42	51	80	102	150	130	86	81	122	105	83	44	1076
დედოფლის წყარო	26	31	44	62	109	96	61	49	54	51	38	27	648

როგორც ცხრილი 2.3.1-დან ჩანს, კახეთის ტერიტორიაზე წლის განმავლობაში უდიდესი ნალექი გაზაფხულზე და ზაფხულის დასაწყისში, ხოლო უმცირესი ზამთარში მოდის. ნალექების წლიური სველა ხასიათდება მაქსიმუმით მაისში და მინიმუმით დეკემბერში ან იანვარში. მაისში თვიური ნალექების ჯამი 100-190 მმ-ს შეადგენს. ივნისი უფრო ნალექიანია აპრილთან შედარებით. მინიმალური თვიური ნალექები დეკემბერ-იანვარში 26-46 მმ-ს შეადგენს. ნალექების წლიურ სველაში ძირითადად სექტემბერში აღინიშნება სუსტად გამოსატყული მეორადი მაქსიმუმი, გამონაკლისი ახმეტაა, სადაც მეორადი მაქსიმუმი ოქტომბერში მყარდება. მეორადი მაქსიმუმი თითქმის ორჯერ ნაკლებია ძირითად მაქსიმუმზე, გამონაკლისი ლაგოდეხია, სადაც განსხვავება ძირითად და მეორად მაქსიმუმებს შორის მხოლოდ 28 მმ-ია (ძირითადი მაქსიმუმი 150 მმ, მეორადი მაქსიმუმი 122 მმ). ამავე დროს ლაგოდეხში ოქტომბრის ნალექები აღემატება აპრილის ნალექებს, რაც არცერთ პუნქტში არ აღინიშნება.

ზემოთ საუბარი იყო ნალექების საშუალო მრავალწლიურ მნიშვნელობებზე, თუმცა ცალკეულ წლებში ნალექების ჯამები დიდ ფარგლებში მერყეობს. მაგალითისათვის ნახ. 2.3.1-ზე წარმოდგენილია ნალექების თვიური ჯამების უდიდესი, საშუალო და უმცირესი მნიშვნელობების ჰისტოგრამები თელავისთვის.



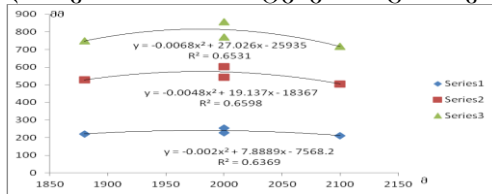
ნახ. 2.3.1. ატმოსფერული ნალექების წლიური სველა თელავში: 1-უდიდესი; 2-საშუალო და 3-უმცირესი მნიშვნელობები

როგორც ნახ. 2.3.1-დან ჩანს ზოგიერთ თვეში მთელი თვის განმავლობაში შესაძლებელია ნალექი საერთოდ არ მოვიდეს. თელავისათვის ასეთებია იანვარი, ივლისი, აგვისტო და დეკემბერი. თებერვალ-მარტში მისულმა ნალექების თვიური ჯამების უმცირესი მნიშვნელობა მხოლოდ 1 მმ-ს შეადგენს, ხოლო სექტემბერ-ნოემბერში მოსული ნალექების

უმცირესი თვიური ჯამები არ აღემატება 3 მმ-ს. ამავე დროს ცალკეულ წლებში შესაძლებელია მოვიდეს ნალექების ისეთი რაოდენობა, რომ ჯამში რამოდენიმეჯერ აღემატებოდეს ნალექების თვიურ ნორმას. ასეა თითქმის ყველა თვეს.

ნალექების ტერიტორიული გადანაწილების ერთერთ მთავარი ფაქტორი რელიეფია და უმთავრესად ადგილის სიმაღლე. ნახ. 2.3.2-ზე წარმოდგენილია ნალექების ჯამების სიმაღლის მიხედვით ცვლილების მრუდები მთათუშეთისათვის, შესაბამისი აღმწერი ფუნქციები და დეტერმინაციის კოეფიციენტები.

სწორედ დეტერმინაციის კოეფიციენტები გვიდასტურებს, რომ ადგილის სიმაღლის ხვედრითი წილი ნალექთა ჯამის ცვლილებაში საკმაო მაღალია და 64-66%-ს შეადგენს. ნახ, 2.3.2-დან ჩანს, რომ ნალექების ცვლილება სიმაღლის მიხედვით კარგად შეესაბამება ნალექების ვერტიკალური განაწილების ცნობილ მოდელს, რომელიც დამახასიათებელია მთათა სისტემების უმრავლესობისათვის. ამ მოდელის თანახმად მთებში ნალექები სიმაღლის ზრდასთან ერთად თავდაპირველად მატულობს, ხოლო გარკვეული სიმაღლის შემდეგ მცირდება. ნალექების ზრდის კრიტიკული სიმაღლე სხვადასხვა მთათა სისტემებში განსხვავებულია.

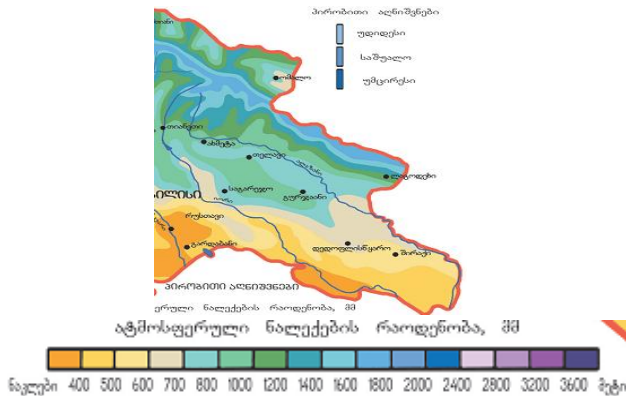


ნახ. 2.3.2. ატმოსფერული ნალექების ჯამების ცვლილება სიმაღლის მიხედვით მთათუშეთში და შესაბამისი აღმწერი ფუნქციები: 1-წლის ცივი პერიოდი; 2-წლის თბილი პერიოდი; 3-წელი (R^2 -დეტერმინაციის კოეფიციენტი) N

არსებული გამოკვლევების თანახმად ეს სიმაღლე დასავლეთ კავკასიონზე 2500-3000 მეტრს, ცენტრალურ კავკასიონზე-2400-2800მ, ხოლო აღმოსავლეთ კავკასიონზე- 2000-2500მ-ს შეადგენს. ჩვენ შემთხვევაში, მთათუშეთში ნალექები მატულობს დაახლოებით 2000მ სიმაღლემდე, ხოლო შემ-

დეგ კლებულობს. უდიდესი ნალექები, რაც შეესაბამება 2000მ სიმაღლეს დაახლოებით შეადგენს: წლის ცივი პერიოდში- 250მმ-ს, წლის თბილ პერიოდში- 550-600მმ-ს, ხოლო წლიური ნალექები- 800-850მმ-ს.

ატმოსფერული ნალექების ტერიტორიული განაწილების კანონზომიერებები კარგად ჩანს ნახ. 2.3.3-ზე წარმოდგენილი იზოჰიეტების რუკიდან (საქართველოს კლიმატური და აგროკლიმატური ატლასი, 2011).



ნახ. 2.3.3. ატმოსფერული ნალექების წლიური ჯამები (მმ)

ნახ. 2.3.3.-ს თანახმად, კახეთის ტერიტორიაზე მოსული ნალექების წლიური ჯამები მერყეობს 300-400-დან 1800-2000მმ-მდე. უმცირესი ნალექები მოდის ივრის ზეგანის უკიდურეს სამხრეთ ნაწილში, ნახევრადუდაბნოების ზონაში. ალაზნის ვაკეზე ნალექები შეადგენს 700-800მმ-ს, გომბორის ქედზე იზრდება 1000მმ-მდე, ხოლო მთებში უფრო მეტი ნალექები მოდის. ნალექების უდიდესი რაოდენობა აღინიშნება კავკასიონის მაღალმთიან ზონაში.

ნალექების წლიური ჯამების განაწილების ასეთი კანონზომიერება შენარჩუნებულია ნალექების სეზონური ჯამებისთვისაც, თუმცა წლის თბილი პერიოდის ნალექები ორჯერ და უფრო მეტჯერ აღემატება წლის ცივი პერიოდის ნალექებს

ცხრილში 2.3.2 რეგიონისათვის დამახასიათებელი 3 პუნქტისათვის წარმოდგენილია ატმოსფერული ნალექების

მნიშვნელოვანი მახასიათებლები-დღეთა რიცხვი ნალექებით, ხოლო საგარეჯოსთვის- აგრეთვე ნალექების ხანგრძლივობა. სამწუხაროდ კახეთის სხვა პუნქტებისათვის მონაცემები ნალექების ხანგრძლივობის შესახებ შესაბამის ცნობარებში არ მოიპოვება.

ცხრილი 2.3.2 ნალექებიან დღეთა რიცხვი და ნალექების ხანგრძლივობა

სადგური, მახასიათებლები		თ კ კ												წელი
		I	II	III	IV	V	VI	VII	VIII	IX	X	XI	XII	
თელავი	დღეთა რიცხვი	7.6	8.0	10.9	12.5	16.5	13.4	9.5	8.7	8.8	9.7	8.7	7.0	121
საგარეჯო	დღეთა რიცხვი	9.1	10.2	12.8	13.5	15.9	12.8	9.8	7.7	9.6	10.5	10.7	8.6	131
სენაკი	ხანგრძლივობა, სთ	86	93	123	86	61	42	27	22	45	65	84	73	807
	დღეთა რიცხვი	9.5	9.6	12.8	13.5	15.2	12.7	9.6	8.5	10.4	11.7	10.7	9.2	133

ცხრილიდან ჩანს, რომ ნალექიან დღეთა რიცხვი კახეთის რეგიონში საშუალოდ 120-135 დღეს შეადგებს, მაშინ როდესაც იმერეთისათვის ეს მაჩვენებელი 150-180 დღეს შორის მერყეობს. ნალექებიან დღეთა რიცხვის წლიური სვლა ნაწილობრივ შეესაბამება ნალექების ჯამების წლიური სვლას. მისი მთავარი მაქსიმუმი მაისშია, თუმცა მინიმუმი აგვისტოში, შესაძლია იანვარში. ნალექებიან დღეთა რიცხვის მეორე მაქსიმუმი შესაძლოა დამყარდეს შემოდგომაზე ოქტომბერში, ან ნოემბერში.

ნალექების ხანგრძლივობის ტერიტორიულ განაწილების დასახასიათებლად სათანადო დამადასტურებელი ინფორმაცია ძალიან მწირია, თუმცა საგარეჯოსთვის ცხრილში წარმოდგენილი მონაცემებიდან ჩანს, რომ ნალექების მაქსიმალური ხანგრძლივობა მარტში, ხოლო მინიმალური ივლის-აგვისტოში აღინიშნება. ამავე დროს ნოემბრის თვე-

ში მის წლიურ სვლაში აღინიშნება მეორე, სუსტად გამოხატული მინიმუმი.

2.4. თოვლის საფარი

თოვლის საფარის რეჟიმული მახასიათებლების (საშუალო დეკადური და მაქსიმალური სიმაღლე, არსებობის ხანგრძლივობა, გაჩენის და გაქრობის თარიღები, სიმკვრივე, წონა და წყლიანობა, თოვლის საფარის ხანგრძლივობა და ინტენსივობა, მდგრადი და არამდგრადი თოვლის საფარი ზამთრების არსებობის ალბათობა, დიდთოვლიანი, საშუალოთოვლიანი და მცირეთოვლიანი ზამთრების განმეორადობა და სხვ.) შესწავლას აქვს დიდი მნიშვნელობა ადამიანის სამეურნეო საქმიანობისათვის. მაგალითად, სოფლის მეურნეობის მემცენარეობის დარგში, იგი ხელს უწყობს საშემოდგომო მარცვლოვანი კულტურების ნორმალურ განვითარებას, იცავს მათ ყინვებისაგან ზამთრის პერიოდში, ნიადაგში ზრდის ტენიანობას, რაც დადებითად მოქმედებს მარცვლოვანი კულტურების მოსავლიანობაზე. გაზაფხულზე თოვლის დნობის პერიოდში იგი ზრდის მთის მდინარეების ჩამონადენს, რაც დადებითად მოქმედებს ჰიდროელექტროსადგურების მიერ გამოიმუშავებული ელექტროენერჯის რაოდენობაზე. თანამედროვე პირობებში მთიანი რეგიონების ინტენსიური ათვისების პერიოდში თოვლის საფარის არსებობის მახასიათებლების ცოდნა აუცილებელია სახალხო მეურნეობის ისეთი დარგებისათვის, როგორცაა სამთო ტურიზმი, სამთო-სათხილამურო სპორტი და ალპინიზმი. როგორც ცნობილია ამ დარგების რეკრეაციული ინფრასტრუქტურის ობიექტები (საცხოვრებელი, ადმინისტრაციული და სასპორტო კულტურული შენობები, საბაგირო გზები, ელექტროგადამცემი ხაზები და სხვ.) ძირითადად განლაგებულია ზღვის დონიდან 2000 მეტრზე მაღლა, ე.ი. მდგრადი თოვლის საფარის ზონაში, რომელიც ხასიათდება უხვთოვლიანობით და ხშირ შემთხვევაში ოროგრაფიის ელემენტების ისეთი მახასიათებლებით, რომლებიც ხელს უწყობენ თოვლის ზვავების წარმოქმნას, რასაც მოაქვს დიდი მატერიული ზარალი და საფრთხეს უქმნიან ტურისტების და მომსახურე პერსონალის სიცოცხლეს.

ზვავსაშიშროება მდგრადი თოვლის საფარის ზონაში, წარმოადგენს აქტიურ პრობლემას და სასპორტო-რეკრეაციუ-

ლი ინფრასტრუქტურის ობიექტების დაგეგმარებისა და მშენებლობის პროცესში მისი პროფილაქტიკური ღონისძიებები აუცილებლად უნდა იქნეს გათვალისწინებული.

აღსანიშნავია ის გარემოებაც, რომ სასპორტო-რეკრეაციული ინფრასტრუქტურის დაგეგმარების და მშენებლობის საკითხი მდგრადი თოვლის საფარის ზონაში ლიმიტირებულია თოვლის საფარის არსებობის ხანგრძლივობით და სიმაღლის იმ შემთხვევაში, თუ მრავალწლიური დაკვირვებების მონაცემებით, მოცემულ რაიონში მდგრადი ტოვლის საფარის არსებობის ხანგრძლივობა სამ თვეზე, ხოლო მისი მაქსიმალური სიმაღლე 30სმ-ზე ნაკლებია, მაშინ რაიონი ამ პრობლემის რეალიზაციისათვის ითვლება უპერსპექტივოდ.

თოვლის საფარის არსებობის ხანგრძლივობის მიხედვით კახეთის ტერიტორიაზე გამოიყოფა ორი ზონა: არამდგრადი და მდგრადი თოვლის საფარი. არამდგრადი თოვლის საფარის ზონა აღინიშნება დაბლობ რაიონებში 700-800მ სიმაღლეებამდე. ზამთრის განმავლობაში ამ რაიონებში თოვლის საფარი შეიძლება რამდენჯერმე გაჩნდეს და გაქრეს. დაიკვირვება ზამთრებიც თოვლის საფარის გარეშე. განსაკუთრებით მკაცრი და თოვლიანი ზამთრის შემთხვევაში, როგორც გამონაკლისი, არამდგრადი თოვლის საფარის ზონაში შესაძლოა გაჩნდეს მდგრადი თოვლის საფარი ერთი თვით ან მეტი ხანგრძლივობით. არამდგრადი თოვლის საფარის საშუალო დეკადური სიმაღლე ამ ზონაში მერყეობს 3-8სმ-ის ფარგლებში.

თელავის სადგურის მონაცემებით, არამდგრადი თოვლის საფარის მაქსიმალური დეკადური სიმაღლეების უზრუნველყოფა შეადგენს 2სმ-სათვის 90%-ს, 10სმ-თვის 50%-ს, 30სმ-თვის-5%-ს. სადგურ გომბორის მონაცემებით მდგრადი თოვლის საფარის მაქსიმალური დეკადური სიმაღლეების 3,10,40, 80სმ უზრუნველყოფა შესაბამისად შეადგენს 95, 75, 25, 5%-ს საშუალო კვადრატული გადახრის და ვარიაციის კოეფიციენტის სიდიდეები თოვლის საფარის დეკადური საშუალო სიმაღლეების შემთხვევაში შესაბამისად მერყეობენ 10-30 და 0.3-0.7-ის ფარგლებში (Климат и климатические ресурсы Грузии, 1971; [52]),

თოვის ხანგრძლივობა სადგურების თელავისა და ლაგოდეხის მონაცემებით ტოლია 140 და 210 საათისა, რაც შესაბა-

მისად ნაღებების ყველა სახის (თხევადი და მყარი) საერთო ხანგრძლივობის 18 და 16%-ს შეადგენს. საერთოდ კი მყარი ნაღებების მოსვლის ხანგრძლივობა წელიწადის განმავლობაში მერყეობს 41-220 საათის ფარგლებში, რაც შეადგენს მყარი და თხევადი ნაღებების მოსვლის საერთო ხანგრძლივობის 12-20%-ს. ადგილის სიმაღლის მატებისას 1000 მეტრამდე, მყარი ნაღებების მოსვლის ხანგრძლივობა იზრდება 200 საათამდე, უფრო ზევით კი -500 საათამდე და მეტად.

ცხრილი 2.4.1. თოვლის საფარის მრავალწლიური მახასიათებლები

სადგური	H, მ	თოვლის საფარის წონა, კგ/მ ²	თოვლის საფარის დიკადური სიმაღლი უდიდესი საშუალო,	თოვლის საფარის დღეთა რაოდენობა	თოვლის საფარში წყლის მარაგი
გომბორი	1085	0.62	28	74	60
გურჯაანი	410	0.50	8	40	
დედოფლის წყარო	800	0.50	17	45	64
თელავი	568	0.50	12	47	
ლაგოდეხი	362	0.50	13	32	
საგარეჯო	802	0.50	14	41	50
უდაბნო	750	0.50	8	22	
ომალო	1885	1.10	50	213	210
ყვარელი	440	0.50	10	35	
შირაქი	555	0.50	8	28	41
წნორი	294	0.50	5	9	

საკვლევ ტერიტორიაზე მდგრადი თოვლის საფარი ჩნდება იმ შემთხვევაში, როდესაც ჰაერის საშუალო დღე-ღამური ტემპერატურა მყარად ეცემა 0⁰-ზე დაბლა. ლაგოდეხის სადგურის მონაცემებით თოვლის საფარის გაჩენის საშუალო თარიღია 29/XII, გაქრობის საშუალო თარიღი/III. ყველაზე ადრეული და

გვიანი თარიღები კი 23/XII და 12/IV (Климат и климатические ресурсы Грузии, 1971). ზამთრის წინა პერიოდში მდგრადი თოვლის საფარის გაჩენამდე შესაძლოა თოვლის საფარის რამდენჯერმე გაჩენა და გაქრობა.

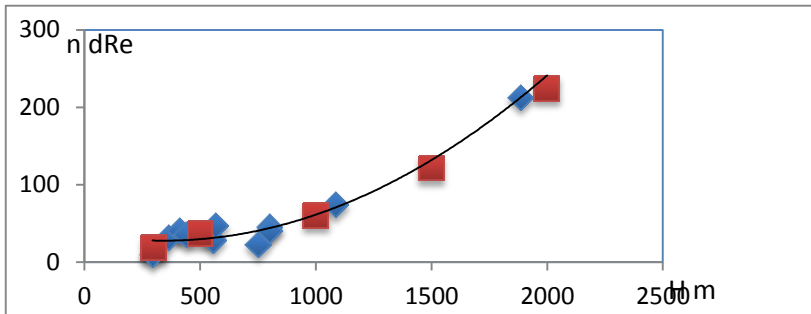
უთოვლო ზამთრების განმეორადობა ტერიტორიაზე აღინიშნება 800-1000მ სიმაღლეებამდე. უთოვლო ზამთრების განმეორადობა ალაზნის ველზე (200-400მ) შეადგენს 15-17%-ს, წინამთის რაიონებში კი (400-600მ)—1-4%-ს ზამთრების განმეორადობა მდგრადი თოვლის საფარით შეადგენს: ალაზნის ველზე 5-8%-ს, წინა მთაში-26%-ს. 600-100მ სიმაღლეებზე და ზევით 26%-დან 100%-მდე.

კახეთის დაბლობ ტერიტორიაზე თოვლის საფარის სიმაღლის უდიდესი საშუალო დეკადების მიხედვით მერყეობს 5-დან (წნორი) 14სმ-მდე (საგარეჯო), დედოფლის წყაროში იგი შეადგენს 17-ს, გომბორზე 28სმ-ს. თოვლის საფარით დღეების რაოდენობა მერყეობს 9 (წნორი)—47-ის (თელავი) ფარგლებში.

გომბორზე იგი შეადგენს 74 დღეს. წყლის მარაგი თოვლის საფარში მერყეობს 41მმ-დან (შირაქი) 64მმ-მდე (დედოფლის წყარო). გომბორზე იგი ტოლია 60მმ-ისა. თოვლის საფარის წონა 9 სადგურის მონაცემებით (294-802მ) ტოლია 0.50 კპა/მ-ისა, გომბორზე იგი აღწევს 0.62კპა/მ-ს (საქართველოს სამეცნიერო გამოყენებითი კლიმატური ცნობარი, 2004). თოვლის საფარის გაჩენის საშუალო თარიღებია თელავში და შირაქში 16/XII და 21/XII, ყველაზე ადრეული თარიღები კი 28/X და 30/X. ამავე სადგურებზე თოვლის საფარის გაქრობის საშუალო თარიღებია 14/III და 15/III, ყველაზე გვიანი თარიღები კი 21/IV და 18/IV. თოვლის საფარით დღეების რაოდენობა კი ამ სადგურებზე შეადგენს შესაბამისად 47 და 28 დღეს. სადგურ თელავში თოვლის საფარის საშუალო დეკადური სიმაღლე ზამთარში შეადგენს 12სმ-ს, მაქსიმალური-36სმ-ს, შირაქში კი შესაბამისად 8 და 38სმ-ს. (Научно-прикладной справочник, 1990).

თოვლის საფარით დღეების რაოდენობის დამოკიდებულება ადგილის აბსოლუტურ სიმაღლეზე H (მ) მოცემულია ნახ. 2.4.1.-ზე. დამოკიდებულება $N=f(H)$ ანალიზურად წარმოიდგინება მანვენებლიანი ტიპის განტოლებით $N=ab^H$, ამ ტიპის განტოლების გამოყენება დაკავშირებულია მის გალოგარითმებას-

თან, რის შედეგად იგი ტრანსფორმირდება წრფივ განტოლებად $\lg N = \lg a + H \lg b$.



ნახ. 2.4.1. თოვლის საფარით დღეების რაოდენობის (n) დამოკიდებულება ადგილის აბსოლუტურ სიმაღლეზე (H). რომბები-დაკვირვებების მონაცემებით, კვადრატები-გამოთვლილია ფორმულით

რეგრესიის საწყისი განტოლების ლოგარითმული გარდაქმნა აადვილებს ა და ბ პარამეტრების გამოთვლას და ამოწმებს გამოყენებული განტოლების მიზანშეწონილობას. სათანადო გამოთვლების შედეგად დადგინდა, რომ ამ დამოკიდებულებას აქვს შემდეგი ანალოზური სახე:

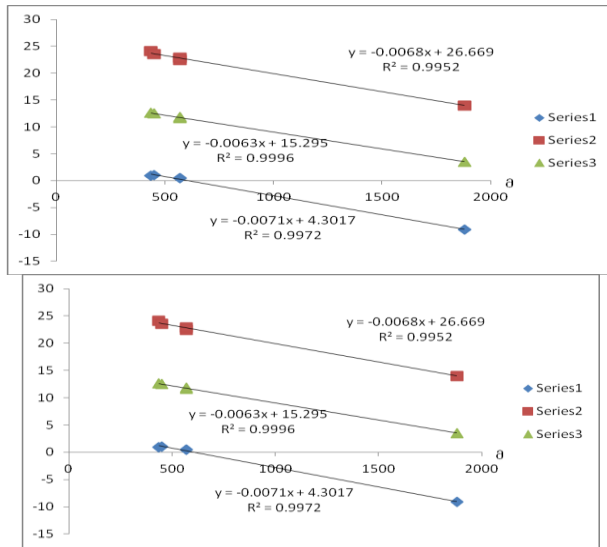
$$\lg N = 0,2720H + 1,0000 \quad (2.4.1)$$

თოვლის საფარით დღეების რაოდენობის გამოთვლისას ფორმულაში ადგილის აბსოლუტური სიმაღლის მნიშვნელობების (0,25;0,5;1,0;1,5;2,0კმ) ნაცვლად უნდა ჩაისვას მათი შესაბამისი ციფრები ნატურალური მწკრივიდან (1,2,3,4,5). როგორც ნახ. 2.4.1-დან ჩანს, თოვლის საფარით დღეების რაოდენობა საშუალოდ შეადგენს 0,25კმ სიმაღლეზე 20-ს, 0,5კმ-ზე-ს, 1,0კმ-ზე-ს, 1,5კმ-ზე-ს, 2კმ-ზე-დღეს.

ნახ. 2.4.2.-ზე მოცემულია თოვლის სფარის წონის დამოკიდებულება ადგილის აბსოლუტურ სიმაღლეზე.

როგორც ნახ.2.4.2. გვიჩვენებს თოვლის საფარის წონა (კგ/მ) 0,25-0,75კმ-ის სიმაღლეებზე იცვლება უმნიშვნელოდ (მატულობს 0,45კგ/მ-დან 0,50კგ-მ-მდე, 0,75კმ-ზე ზევით აღინიშნება თოვლის საფარის წონის მკვეთრი ზრდა: იგი შეადგენს

1,0კმ სიმაღლეზე 0,60კპ/მ-ს, 1,5კმ-ზე-0,80 კპ/მ-ს, 2,0კმ-ზე,07 კპ/მ-ს.



ნახ. 2.4.2. თოვლის საფარის წონის დამოკიდებულება ადგილის აბსოლუტურ სიმაღლეზე (H).

ნახ. 2.4.3.-ზე მოცემულია თოვლის საფარის დეკადური სიმაღლეების უდიდესი საშუალო მნიშვნელობების (\bar{h}) დამოკიდებულება აბსოლუტურ სიმაღლეზე რაც ანალიზურად წარმოდგინება შემდეგი სახით:

$$\lg \bar{h}_{max} = 0,2544 + 0,4854 \tag{2.4.2}$$

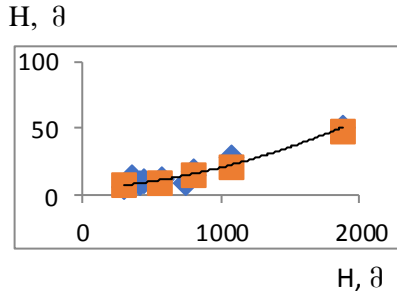
2.4.3.-ნახაზზე კვადრატებით აღნიშნულია დამოკიდებულება 2.4.2.-ით გამოთვლილი \bar{h}_{max} -ის მნიშვნელობები.

როგორც ნახ. 2.4.3-დან ჩანს, დამთხვევა ემპირიულ და ფორმულა 2.4.2.-ით გამოთვლილი \bar{h}_{max} -ის მნიშვნელობებს შორის დამაკმაყოფილებელია თოვლის საფარში წყლის მარაგის κ (მმ) დამოკიდებულება ადგილის აბსოლუტურ სიმაღლეზე (Hკმ) მოცემულია ნახ. 2.4.4.-ზე.

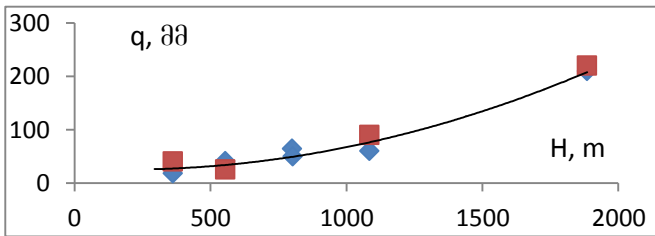
ეს დამოკიდებულება ანალიზურად წამოიღვინება შემდეგი ფორმულის სახით:

$$\lg q = 0,3288H + 0,7285 \tag{2.4.3.}$$

როგორც ნახ.2.4.4.დან ჩანს, ემპირიული მონაცემებით და დამოკიდებულება 2.4.3.-ით გამოთვლილი წყლის მარაგი თოვლის საფარში შეადგენს შესაბამისად 0,25კმ-ზე 10 და 12მმ-ს, 0,5კმ-ზე 25 და 24მმ-ს, 1,0კმ-ზე 63 და 57მმ-ს, 1,5კმ-ზე 113 და 121მმ-ს, 2კმ-ზე 210 და 215მმ-ს. ფორმულა 2.4.3.-ით გამოთვლილი წყლის მატრავის სიდიდეები ნახ.2.4.4. აღნიშნულია ჯვრებით.



ნახ.2.4.3. თოვლის საფარის დეკადური სიმაღლის უდიდესი საშუალო მნიშვნელობების დამოკიდებულება ადგილის აბსოლუტურ სიმაღლეზე. რომბები-ემპირიული მონაცემები, კვადრატები-2.4.2. ფორმულით გამოთვლილი სიდიდეები.



ნახ. 2.4.4. თოვლის საფარში წყლის მარაგის სიდიდს დამოკიდებულება ადგილის აბსოლუტურ სიმაღლეზე $q=f(H)$. რომბები- დაკვირვებების მონაცემებით, კვადრატები- გამოთვლილი 2.4.3. ფორმულით.

ემპირიული და ფორმულა 2.4.3.-ით გამოთვლილი წყლის მარაგის სიდიდეები ახლოა ერთმანეთთან. დამოკიდებულებების $q=f(H)$ გრაფიკული და ანალიზური სახეებით იმ სიმაღლეებისათვის, სადაც არ წარმოებს დაკვირვებები სტაციონარულ ან საველე პირობებში თოვლის საფარზე, შესაძლოა გა-

მოითვალოს თოვლის საფარში წყლის მარაგის სიდიდეები, სადაც განსაკუთრებული მნიშვნელობა აქვს მთის მდინარეების ჩამონადენის პროგნოზში გაზაფხულზე თოვლის საფარის დნობის პერიოდში.

2/5 ქარი

კახეთის ტერიტორიაზე ქარის რეჟიმის განმსაზღვრელი ფაქტორებია ზოგად ცირკულაციური პროცესები, მისი გეოგრაფიული მდებარეობა და რელიეფის თავისებურებები. თავისი გეოგრაფიული მდებარეობის შედეგად იგი იმყოფება ზომიერი და სუბტროპიკული განედებისათვის დამახასიათებელი დასავლეთის მიმართულების ცირკულაციის გავლენის ქვეშ. მაგრამ საქართველოს რელიეფის რთული ოროგრაფიის ელემენტების (დახრილობა, ვაკეები, ზეგნები, ტერასები, ხეობები, ქედები) მექანიკურ შედეგად ატმოსფეროს დაბალ ფენებში აღინიშნება ადგილობრივი ქარების გაჩენა მათთვის დამახასიათებელი საერთო ცირკულაციისაგან სრულად განსხვავებული სიჩქარეებით და მიმართულებებით. გარდა ამისა, მთიანი რელიეფის ელემენტების მზის სხივური ენერგიით არათანაბარი გათბობა განსაზღვრავს მათ რადიაციულ და სითბური ბალანსების სიდიდეებში დიდ სიჭრელეს, რაც განაპირობებს ლოკალური თერმული გენეზისის სხვადასხვა სიჩქარეების და მიმართულებების ქარების წარმოშობას (მთა-ხეობების, ფერდობების ქარები და სხვ.)

ქარის საშუალო წლიური სიჩქარე მაქსიმალურია თელავში და უდაბნოში (2,1-2,5მ/წმ), მინიმალურია ლაგოდეხში 0,5მ/წმ, დედოფლის წყაროში და გურჯაანში იგი შესაბამისად შეადგენს 1,6-1,7მ/წმ-ს. ყვარელში, წნორში და გურჯაანში იგი მერყეობს 0,9-1,0-1,7მ/წმ-ის ფარგლებში. ქარის სიჩქარის საშუალო თვიური სიდიდეები სადგურებზე: გურჯაანი, ყვარელი, შირაქი, წნორი, მაქსიმალურია გაზაფხულის თვეებში, საგარეჯოში მთელი წლის განმავლობაში (აგვისტოში იგი შეადგენს 1,5მ/წმ-ს) იგი მერყეობს 1,7-1,8მ/წმ-ის ფარგლებში. ლაგოდეხში ქარის სიჩქარის საშუალოთვიური სიდიდეები წელიწადის განმავლობაში იცვლებიან უმნიშვნელოდ 0,3-0,5მ/წმ-ის ფარგლებში, ივლისის გამოკლებით, როდესაც იგი აღწევს 1,1მ/წმ-ს.

ქარის საშუალოთვიური უდიდესი და უმცირესი სიჩქარეები დასიკვირვება იანვარში და ივლისში. იანვარში ქარის საშუალოთვიური სიჩქარის მაქსიმუმი V_{max} აღინიშნება უდაბნოში და საგარეჯოში შესაბამისად 5,5 და 4,6მ/წმ. მინიმუმი ლაგოდესში და წნორში: 0,2-0,3მ/წმ. ივლისში სიჩქარის მაქსიმუმი აღინიშნება შირაქში და უდაბნოში 4,0 და 5,9მ/წმ, მინიმუმი კი – დედოფლის წყაროში, ლაგოდესში და წნორში 0,5მ/წმ.

ქარის უდიდესი სიჩქარე, შესაძლებელი 1,5,10,15,20წწ ერთხელ მოცემულია ცხრილ 2.5.1-ში.

ცხრილი 2.5.1. ქარის უდიდესი სიჩქარე, შესაძლებელი 1,5,10,15,20წწ ერთხელ, მ/წმ

პუნქტი	წ ე ლ ი				
	1	2	3	4	5
გომბორი	18	22	24	24	25
გურჯაანი	16	19	21	22	22
დედოფლის წყარო	23	28	30	32	33
თელავი	17	21	23	24	23
ლაგოდესი	19	23	24	25	26
საგარეჯო	19	23	25	26	27
უდაბნო	33	37	39	40	41
ყვარელი	21	26	29	31	32
შირაქი	18	22	24	24	25
წნორი	18	23	24	26	27

ცხრილ 2.5.1-ში მოცემული ქარის უდიდესი სიჩქარეების აღბათობა როგორც წესი, იგი გაითვალისწინება სამშენებლო ნორმატივებში ინფრასტრუქტურის სხვადასხვა და დანიშნულების ობიექტების მშენებლობის დროს და მათ ექსპლუატაციის პროცესში ძლიერი ქარებისაგან დამანგრეველი შედეგების პროფილაქტიკის მიზნით.

ქარის მიმართულებისა და შტილის განმეორადობა მოცემულია ცხრილ 2.5.2-ში.

როგორც ცხრილ 2.5.2-დან ჩანს, კახეთის ტერიტორიაზე ხშირად ქარების მიმართულების განმსაზღვრელი ფაქტორია რელიეფი. მაგალითად, სადგურ საგარეჯოში, იორის ხეობის და გომბორის ქედის გავლენით მთელი წელიწადის განმავლობაში გაბატონებულია ჩრდილო-დასავლეთის (34%) და ჩრდილოეთის მიმართულების (26%) ქარები. ლაგოდესში

და ყვარელში ქარების მიმართულებას ძირითადად განსაზღვრავენ მთავარი კავკასიონის ქედის სამხრეთი ფერდობები. ლაგოდეხში ჩრდილოეთის და ჩრდილო-აღმოსავლეთის მიმართულების ქარები განმეორადობა აღწევს 20 და 43%-ს, ყვარელში კი შესაბამისად 28(ჩ) და 16%-ს(ჩად) დედოფლის წყაროში ამავე მიმართულების ქარების განმეორადობა შეადგენს 15(ჩ) და 40%-ს(ჩად). გურჯაანში და თელავში მაქსიმალური განმეორადობით ხასიათდებიან სამხრეთ-დასავლეთის (33 და 22%) და დასავლეთის (17 და 19%) მიმართულების ქარები. შტილების განმეორადობა მაქსიმალურია სადგურებზე გომბორი (60%) და წნორი (63%). შირაქში იგი შეადგენს 53%-ს, ყვარელში კი 43%-ს. შტილების რაოდენობის აბსოლუტური მინიმუმი აღინიშნება გურჯაანში სულ 8%.

ცხრილი 2.5.2. ქარის მიმართულებისა და შტილის განმეორადობა, %

სადგური	რ უ მ ბ ი								
	ჩ	ჩად	აღ	სად	ს	სდ	დ	ჩდ	შტილი
გომბორი	15	5	9	12	13	9	13	24	60
გურჯაანი	5	8	12	9	7	33	18	8	8
თელავი	4	6	16	10	12	22	19	11	23
ლაგოდეხი	20	43	4	8	7	9	6	3	37
საგარეჯო	26	5	8	12	5	4	6	34	18
უდაბნო	1	6	28	7	1	1	13	43	33
შირაქი	28	16	4	10	15	8	8	11	43
წნორი	7	10	17	8	4	9	16	29	63
დედოფლის წყარო	15	40	11	8	8	8	5	5	26

დამოკიდებულება $N=f(V)$ ანალიზურად შეიძლება წარმოდგენილი იქნეს პირველი რიგის ჰიპერბოლას განტოლებით

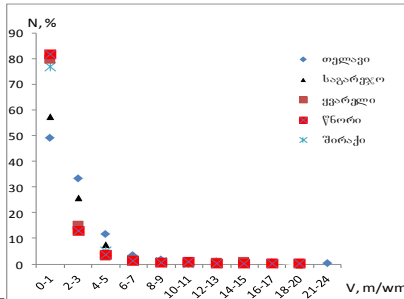
$$N = a + bV + \frac{c}{V} \quad (2.5.1.)$$

რომელშიც a და b პარამეტრების მნიშვნელობები, როგორც ნახ 2.5.1-დან ჩანს, ამ სადგურებისათვის ახლოა ერთმანეთთან.

პარაბოლას განტოლებას ამ სადგურებისათვის აქვს შემდეგი სახე:

$$N = -57,0 + 7,45V + \frac{81,23}{V} \quad (2.5.2.)$$

ნახ.2.5.1.-ზე მოცემულია ქარების სიჩქარის განმეორადობა % გრადაციების მიხედვით სადგურებზე: თელავი, საგარეჯო, წნორი და შირაქი.



ნახ. 2.5.1. ქარების სიჩქარის განმეორადობა გრადაციების მიხედვით

სხვადასხვა სიჩქარის ქარის განმეორადობის გათვალისწინებას არსებითი მნიშვნელობა აქვს მაღალი ძაბვის ელექტროსადგურების ხაზების, საბაგრო გზების, მაღლივი შენობების სხვადასხვა სახეობის ტრანსპორტის (სახმელეთო, საზღვაო,საჰაერო)ექსპლოატაციის და ტერიტორიის ქარის ენერგეტიკული რესურსებით შეფასების დროს. გრადაციების მიხედვით ქარის სიჩქარის ალბათობა (% შემთხვევათა საერთო რიცხვიდან) მოცემულია ცხრილ 2.5.3.-ში.

ცხრილი 2.5.3. გრადაციების მიხედვით ქარის სიჩქარის ალბათობა %, [52]

V მ/წმ										
0-1	2-3	4-5	6-7	8-9	10-11	12-13	14-15	16-17	18-20	21-24
თელავი										
48.8	33.0	11.6	3.4	1.5	0.2	0.8	0.1	0.5	0.1	0.01
ყვარელი										
79.7	14.9	2.8	1.4	0.6	0.03	0.4	0.9	0.1	0.1	
საგარეჯო										
57.6	25.9	7.8	3.7	1.8	0.7	0.9	0.5	0.9	0.00	
წნორი										
81.5	12.8	3.5	1.1	0.5	0.8	0.2	0.04	0.2	0.1	
შირაქი										
76.9	15.3	5.1	1.7	0.8	0.08	0.2	0.1	0.01		

აღბათობა 0-1მ/წმ გრადაციისათვის მაქსიმალურია წნორში, ყვარელსა და შირაქში (შესაბამისად 81.5, 79.7, 769%), მინიმალურია - თელავში-48.8%. 2-3 მ/წმ-ის შემთხვევაში (3მ/წმ სიჩქარიდან მუშაობას იწყებენ ქარის ენერგეტიკული მსუბუქი ძრავები) ქარის სიჩქარის აღბათობა მაქსიმალურია თელავში და საგარეჯოში 33.0 და 25.9%, მინიმალურია წნორში, ყვარელში და შერაქში შესაბამისად 12.8, 14.9 და 15.3% ქარის სიჩქარის აღბათობა 8-9 მ/წმ გრადაციის შემთხვევისათვის ხუთივე სადგურზე მერყეობს 0.5 (წნორი)-1.8%-ის ფარგლებში (საგარეჯო), რაც შეეხება გრადაციის 10-11 მ/წმ მისთვის ქარის სიჩქარის აღბათობა ყველა სადგურზე ნაკლებია 1%-ზე და მერყეობს 0.08 (შირაქი)-0.8% (წნორი) ფარგლები. დღეღამის სხვადასხვა საათებში (1,7,13,19სთ) ქარის საშუალო თვიური და წლიური სიჩქარები (მ/წმ) მოცემულია ცხრილ 2.5.4-ში.

სადგურებში: ყვარელი, თელავი, გურჯაანი, საგარეჯო, შირაქი ქარის საშუალო წლიური სიჩქარე მაქსიმალური 13 სთ-ზე მერყეობს 1.6 (ყვარელი)-2.9 (თელავი) მ/წმ-ის ფარგლებში. ყველა სადგურზე ქარის საშუალო წლიური სიჩქარის მინიმუმ აღინიშნება 7 საათზე. მერყეობს 0.7 (ყვარელი)-1.9 (საგარეჯო) მ/წმ-ის ფარგლებში. სადგურ ლაგოდეხში ქარის საშუალოწლიური სიჩქარის მაქსიმუმი აღინიშნება 19 საათზე (1.4 მ/წმ) საგარეჯოში დაფიქსირებულია სიჩქარის მეორე მაქსიმუმი (2.4მ/წმ) პირველ საათზე.

ცხრილი 2.5.4. ქარის საშუალოწლიური სიჩქარე დღეღამის სხვადასხვა საათებში (1,7,13,19სთ), მ/წმ

საათები	სადგური						
	ყვარელი	თელავი	გურჯაანი	საგარეჯო	ხეგანი	შირაქი	ლაგოდეხი
1	1.0	2.3	1.8	2.4	1.6	0.9	1.1
7	0.7	1.0	1.2	1.9	1.3	0.8	0.8
13	1.6	2.9	1.9	2.4	1.4	2.1	1.1
19	1.2	2.6	1.8	2.3	1.3	1.1	1.4

კახეთის ტერიტორიაზე მთა-ხეობის ქარები აღინიშნება მთელი წლის განმავლობაში. როგორც ცნობილია [41] მთა-ხეობების ქარების წარმოშობის ძირითადი მიზეზია მთის ფერდობების არათანაბარი გათბობა. დღის განმავლობაში უფრო ინტენსიურად თბება ხეობის ფსკერი და ფერდობების დაბალი ნაწილები, რის შედეგად აღინიშნება გამთბა-

რი, ჰაერის მოძრაობა ფერდობებზე ზევით (ხეობის ქარი), ღამით კი ჰაერის დიდ სიმაღლეებზე გაცივების შედეგად ჩამოედინება ფერდობებზე ქვევით (მთის ქარი). კახეთის კავკასიონის მაღალი და შუა მთის ზონებში მთა-ხეობების ქარები დაიკვირვება 3000 მეტრ სიმაღლემდე. ამ ნიშნულის ზემოთ ამ განედებისათვის დამახასიათებელია ცირკულაციის გაველენის შედეგად გაბატონებული დასავლეთის მიმართულების ქარები.

კახეთის დაბლობ რაიონებში მთა-ხეობების ქარები დაიკვირვება თითქმის მთელი წელიწადი. მდ.ალაზნის აუზში ხეობების ქარებს აქვს უმეტესად აღმოსავლეთის რუშბების მიმართულება, ხოლო მთის ქარებს მიმართულება. კახეთის კავკასიონის სამხრეთ ფერდობებზე მკვეთრად არის გამოხატული მთა-ხეობების ჩრდილოეთის და სამხრეთის მიმართულების ქარები.

წელიწადში საშუალოდ დღეღამის სხვადასხვა საათებში ქარის მიმართულების განმეორადობის მაქსიმალური მნიშვნელობების და შტილების ანალიზი [55] გვიჩვენებს, რომ დღის 7საათზე მაქსიმალური მნიშვნელობები აღინიშნება ყვარელში ჩრდილოეთის და ჩრდილო-აღმოსავლეთის მიმართულებებზე (32 და 35%), თელავში სამხრეთდასავლეთის და სამხრეთის მიმართულებებზე (24 და 28%), ლაგოდეხში ჩრდილოეთის და ჩრდილო-აღმოსავლეთის მიმართულებებზე (29 და 47%), წნორში-დასავლეთის და ჩრდილო-დასავლეთის მიმართულებებზე (22 და 35%), შირაქში-აღმოსავლეთის, სამხრეთ-აღმოსავლეთის და ჩრდილო-დასავლეთის მიმართულებებზე (12, 18 და 19%). დღე-ღამის სხვადასხვა საათებში (7,13,19სთ) ქარის მიმართულების მაქსიმალური განმეორადობა (%) და შტილების რაოდენობა წელიწადში მრავალწლიური მინაცემებით მოცემულია ცხრილ 2.5.5-ში. ცხრილი 2.5.5 დღე-ღამის სხვადასხვა საათებში ქარის მიმართულების მაქსიმალური განმეორადობა (%) და შტილების რაოდენობა საშუალოდ წელიწადში [55]

სადგური	დ რ ო											
	1სთ			7სთ		13სთ			19სთ			
ყვარელი	ჩ	ჩად	ჩდ	ჩ	ჩად	სად	ს	სდ	დ	ჩ	ჩად	ჩდ
		44	19	15	32	35	16	38	20	13	35	19
თელავი	ს	ჩდ		ჩდ	დ	ად	სად			დ	სდ	

	17	36	20	24	28	35	12			28	31	27
ლაგოდები	ჩ	ჩაღ		ჩ	ჩაღ	ს	სღ	საღ		ჩაღ	ჩაღ	
	23	63		29	47	22	29	17		47	58	
წნორი	ღ	ჩღ			ჩღ	ჩ	ჩაღ	ჩღ	აღ	ჩღ	ღ	ჩღ
	26	30		22	35	12	16	26	21	35	18	25
შირაქი	აღ	საღ	ჩღ	აღ	საღ	ჩ	ჩღ			საღ	საღ	ჩღ
	23	14	16	18	18	19	22			18	16	19

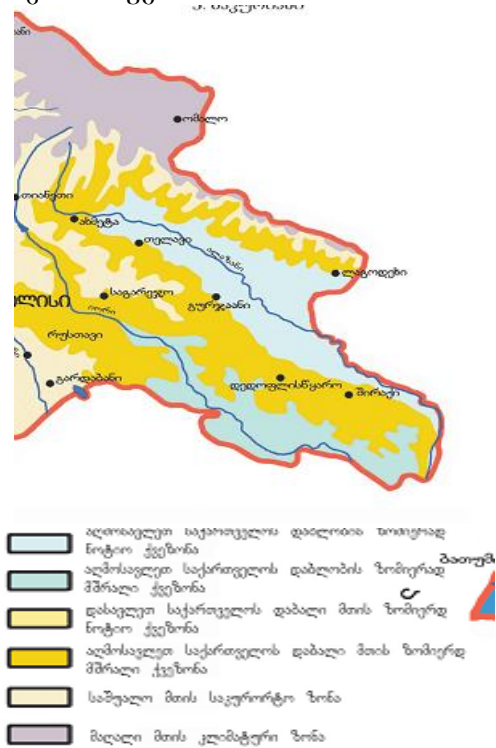
შტილების მრავალწლიური საშუალო რაოდენობა შეადგენს 1საათზე ყვარელში 50, თელავში 27, ლაგოდებში 42, წნორში 71, შირაქში 68-ს, 13საათზე შესაბამისად 71, 14, 29,42,20-ს, 7საათზე—58,29,46,72,65-ს, 19საათზე—45,21,29,67,56-ს. შტილების მაქსიმუმით გამოირჩევიან წნორი და შირაქი, მინიმუმით.

თავი III საკურორტო და ენერგეტიკული კლიმატური რესურსები

3.1. საკურორტო კლიმატური რესურსები

კლიმატური რესურსების მნიშვნელოვანი სახეობაა საკურორტო კლიმატური რესურსები. კახეთის რეგიონი საკმაოდ მდიდარია საკურორტო კლიმატური რესურსებით. კურორტები და საკურორტო ადგილები განსხვავებულ საკურორტო ზონებშია განლაგებული (ნახ. 3.1.1). თითოეულ მათგანს თავისი პროფილი და თვისებები გააჩნია (Э.Ш.Элиზбарашвили, Н.Ш.Гонгладзе, 1980; საქართველოს კლიმატური და აგროკლიმატური ატლასი. თბილისი, 2011).

ნახ. 3.1.1-ზე წარმოდგენილია კახეთის რეგიონების საკურორტო ზონების რუკა.



ნახ. 3.1.1. საკურორტო ზონები

ნახ. 3.1.1-დან ჩანს, რომ კახეთის რეგიონი მოიცავს 4 საკურორტო ქვეზონას: აღმოსავლეთ საქართველოს დაბლობის ზომიერად ნოტიო ქვეზონას, აღმოსავლეთ საქართველოს დაბლობის ზომიერად მშრალ ქვეზონას, აღმოსავლეთ საქართველოს დაბალი მთის ზომიერად მშრალ ქვეზონას და საშუალო მთის საკურორტო ზონას.

ცხრილი 3.1.1. აღმოსავლეთ საქართველოს ზომიერად ნოტიო დაბლობის ქვეზონის (ალაზნის ველი) საკურორტო რესურსები, საკურორტო რაიონები

სახელწოდება	პროფილი	მნიშვნელობა
ახტალა, 400 მ	კლიმატური	კურორტი
ოქტომბერი, 380 მ		კურორტი
შაქრიანი, 350 მ		კურორტი
თათრების ახტალა, 500 მ		საკურადგილ
ლაგოდეხი, 460 მ		საკურადგილ
კაბალქესი, 350 მ	კლიმატური	საკურადგილ

აღმოსავლეთ საქართველოს ზომიერად ნოტიო დაბლობის ქვეზონა ხასიათდება რბილი უთოვლო ზამთრით და ძალიან თბილი ზომიერად ნოტიო ზაფხულით. იანვრის თვის საშუალო ტემპერატურა მინუს 1-დან პლიუს 1⁰-ს, ივლის-აგვისტოს - 23-26⁰, ხოლო საშუალო წლიური ტემპერატურა 11-13⁰ ფარგლებშია. ჰაერის ტემპერატურის აბსოლუტური მინიმუმი მინუს 25-30⁰-ს, ხოლო აბსოლუტური მაქსიმუმი 38-40⁰-ს შეადგენს. ნალექების წლიური ჯამები 600-800 მმ ფარგლებში მერყეობს. გაბატონებულია მთა-ბარის ხასიათის ქარები. ქვეზონისათვის დამახასიათებელია მზიანი, ზომიერად ნოტიო ამინდები. აღნიშნული ქვეზონის საკურორტო რესურსები წარმოდგენილია ცხრილში 3.1.1. ცხრილიდან ჩანს, რომ ქვეზონაში ჭარბობს ბალნეოლოგიური პროფილის კურორტები და საკურორტო ადგილები, ამიტომ მისი კლიმატოთერაპიული მნიშვნელობა არც თუ ისე დიდია (ე.ელიზბარაშვილი, 2007; Э.Ш.Элишба).

რაშვილი, Н.Ш. Гонгладзе. Климатография курортов Грузии. Тбилиси, 1980).

აღმოსავლეთ საქართველოს ზომიერად მშრალი დაბლობის ქვეზონა ხასიათდება აგრეთვე რბილი უთოვლო ზამთრით და ძალიან თბილი ზომიერად მშრალი ზაფხულით. იანვრის თვის საშუალო ტემპერატურა მინუს 1-დან პლიუს 2⁰, ივლისის-23-25⁰, ხოლო საშუალო წლიური ტემპერატურა 11-13⁰ ფარგლებშია. ჰაერის ტემპერატურის აბსოლუტური მინიმუმი საშუალოდ მინუს 25⁰-ის ტოლია, ხოლო აბსოლუტური მაქსიმუმი 38-40⁰-ს შეადგენს. ნალექების წლიური ჯამები 400-500 მმ ფარგლებში მერყეობს. წლის განმავლობაში გაბატონებულია მზიანი, ზომიერად ნოტიო და აგრეთვე მზიანი, ძალიან ცხელი და ძალიან მშრალი ამინდები. აღნიშნულ საკურორტო ქვეზონას კახეთის რეგიონში მცირე ტერიტორია უკავია მდინარე იორის ქვემო წელში და იორის ზეგანის უკიდურეს სამხრეთ ნაწილში. კახეთის ფარგლებში მას არც ბალნეოლოგიური და არც კლიმატური საკურორტო რესურსები არ გააჩნია.

დაბალი მთის ზომიერად მშრალი ქვეზონა ხასიათდება ზომიერი მშრალი, რბილი მცირეთოვლიანი ზამთრით და თბილი ზომიერად მშრალი ზაფხულით. იანვრის თვის საშუალო ტემპერატურა მინუს 3-დან პლიუს 1⁰ ივლის-აგვისტოს -18-23⁰, ხოლო საშუალო წლიური ტემპერატურა 7-8⁰ ფარგლებშია. ჰაერის ტემპერატურის აბსოლუტური მინიმუმი მინუს 25-35⁰-ს, ხოლო აბსოლუტური მაქსიმუმი 34-38⁰-ს შეადგენს. ნალექების წლიური ჯამები 600-800 მმ ფარგლებში მერყეობს. წლის თბილი პერიოდის განმავლობაში გაბატონებულია მზიანი, ზომიერად ნოტიო ამინდები, ხოლო წლის ცივ პერიოდში ყველაზე ხშირია ცივი და ყინვიანი ამინდები.

ცხრილში 3.12 წარმოდგენილია დაბალი მთის ზომიერად მშრალი ქვეზონის საკურორტო რესურსები.

როგორც ცხრილიდან ჩანს, აქ კლიმატური პროფილის კურორტები და საკურორტო ადგილები ჭარბობს (ფხოველი, უდაბნო, სვიანა, ხადორი), მათ შორის აღსანიშნავია არხილოს-კალო. ის ხასიათდება მზის სხივების სიუხვით და სიმშრალით, და ერთადერთი ნეფროლოგიური პროფილის კურორტია საქართველოში. აღსანიშნავია აგრეთვე ისეთი სა-

ხელგანთქმული ბალნეოლოგიური კურორტი როგორცაა უჯარმა. პერსპექტიულია ბალნეოლოგიური კურორტი უჯარმა.

ცხრილი 3.1.2. აღმოსავლეთ საქართველოს დაბალი მთის ზომიერად მშრალი ქვეზონის (კახეთის) საკურორტო რესურსები

სახელწოდებ	ადგილის სიმაღლე, მ	პროფილი	მნიშვნელობა
არხილოს კალო	670	კლიმატური	კურორტი
უჯარმა	800	ბალნეოლოგიური	კურორტი
ფიქალები	950	ბალნ-კლიმ.	საკურ.ადგილი
ფხოველი	750	კლიმატური	საკურ.ადგილი
უდაბნო	720	კლიმატური	საკურ.ადგილი
სვიანა	950	კლიმატური	საკურ.ადგილი
ხადორი	850	კლიმატური	საკურ.ადგილი

საშუალო მთის საკურორტო ზონის ქვედა სარტყელი მოიცავს 1000-1500მ სიმაღლეთა დიაპაზონს. ზონა ხასიათდება ზომიერად რბილი თოვლიანი ზამთრით და ზომიერად თბილი, ზომიერად მშრალი ზაფხულით. იანვრის თვის საშუალო ტემპერატურა მინუს 8-2⁰ – ია, ივლის-აგვისტოს -15-19⁰, ხოლო საშუალო წლიური ტემპერატურა 6-8⁰ ფარგლებშია.

ჰაერის ტემპერატურის აბსოლუტური მინიმუმი მინუს 25-35⁰-ს, ხოლო აბსოლუტური მაქსიმუმი 34-38⁰-ს შეადგენს. ნალექების წლიური ჯამები 500-2000 მმ ფარგლებში მერყეობს. წლის თბილი პერიოდის განმავლობაში გაბატონებულია მზიანი, ზომიერად ნოტიო ამინდები, ხოლო წლის ცივ პერიოდში ყველაზე ხშირია მზიანი ცივი და ზომიერად ყინვიანი ამინდები. ზონის საკურორტო რესურსები წარმოდგენილია ცხრილში 3.1.3.

ცხრილი 3.1.3. საშუალო მთის საკურორტო ზონის ქვედა სარტყელის კავკასიონის რაიონი, კახეთის საკურორტო რესურსები

სახელწოდება	ადგილის სიმაღლე, მ	პროფილი	მნიშვნელობა
თეთრი წყლები	1170	ბალნეო-კლიმატ.	კურორტი
ართანა	1180	კლიმატური	საკურ.ადგილი
შუამთა	1050	კლიმატური	საკურ.ადგილი
გომბორი	1070	კლიმატური	საკურ.ადგილი

ცხრილიდან ჩანს, რომ საკურორტო ზონაში ძირითადად კლიმატური საკურორტო ადგილებია-ართანა, შუამთა, გომბორი და აგრეთვე ბალნეოკლიმატური კურორტი თეთრწყლები. საშუალო მთის საკურორტო ზონის ქვედა სარტყელში ჰავა ხასიათდება მაღალი თერაპიული თვისებებით და შეიძლება გამოყენებულ იქნას ძირითადად სასუნთქი ორგანოების დაავადებათა სამკურნალოდ.

საშუალო მთის საკურორტო ზონის ზედა სარტყელი მოიცავს 1500-2000მ სიმაღლეთა დიაპაზონს. ამ კრიტიკული სიმაღლის მაღლა საკურორტო რესურსები არ არის აღრიცხული. ზონა ხასიათდება ზომიერად რბილი ზამთრით, მდგრადი თოვლის საფარით და ზომიერად თბილი, ზომიერად მშრალი ზაფხულით. იანვრის თვის საშუალო ტემპერატურა მინუს 10-3⁰-ია, ივლის-აგვისტოს -10-15⁰, ხოლო საშუალო წლიური ტემპერატურა 0-5⁰ ფარგლებშია. ჰაერის ტემპერატურის აბსოლუტური მინიმუმი მინუს 25-35⁰-ს, ხოლო აბსოლუტური მაქსიმუმი 32-37⁰-ს შეადგენს. ნალექების წლიური ჯამები 1200-1800მმ ფარგლებში მერყობს. წლის თბილი პერიოდის განმავლობაში გაბატონებულია მზიანი, ზომიერად ნოტიო და წვიმიანი ამინდები, ხოლო წლის ცივ პერიოდში ყველაზე ხშირია მზიანი ცივი და ყინვიანი ამინდები.

ზონის ზედა სარტყლის საკურორტო რესურსები წარმოდგენილია ცხრილში 3.14. ცხრილის თანახმად, ისევე როგორც ამავე ზონის ქვედა სარტყელში ძირითადად ჭარბობს კლიმატური საკურორტო რესურსები. ასეთებია საკურორტო ადგილები მანავის ცივი და ომალო, ხოლო კურორტები თორღვას აბანო და და ცივი-კოლა ორ პროფილიანია, მათ შორის კლიმატურიც.

ცხრილი 3.14. საშუალო მთის საკურორტო ზონის ზედა სარტყელის საკურორტო რესურსები

სასეღწოდება სიმაღლე	პროფილი	მნიშვნელობა
თორღვას აბანო1650	ბალნეო-კლიმატ.	კურორტი
ცივი-კოდა1550	კლიმატო-ბალნ.	კურორტი
მანავის ცივი1640	კლიმატური	საკურ.ადგილი
ომალლო1300	კლიმატური	საკურ.ადგილი

საშუალო მთის საკურორტო ზონის ზედა სარტყელის ჰავა აგრეთვე ხასიათდება მაღალი თერაპიული თვისებებით და შეიძლება გამოყენებულ იქნას ძირითადად სასუნთქი ორგანოების დაავადებათა სამკურნალოდ.

3.2. კურორტი ახტალა

ახტალა ბალნეოლოგიური კურორტია, მისი ძირითადი სამკურნალო ფაქტორია ფსევდოფულკანური ტალახი, რომელსაც იყენებენ აბაზანებისათვის, აპლიკაციებისა და ტამპონებისათვის. კურორტის სამკურნალო თვისებები ნაჩვენებია მოძრაობის ორგანოთა ქრონიკული დაავადებებისათვის, პერიფერიული ნერვული სისტემის და გინეკოლოგიური დაავადებებისათვის სამკურნალოდ.

ახტალას სანიტარული დაცვის ზონების ტერიტორია მზის სხივური ენერჯის საკმაო რაოდენობას დეზულობს. მზის ნათების წლიური ხანგრძლივობა 2154 საათს შეადგენს.

წლის განმავლობაში მზის ნათება ყველაზე ხანგრძლივია ზაფხულის თვეებში, ივნისში შეადგენს 260სთ-ს, ივლისში 284სთ-ს, ხოლო აგვისტოში-277სთ-ს. გაზაფხულის თვეებში მზის ნათების ხანგრძლივობა მერყეობს დაახლოებით 140-220 საათის ფარგლებში, შემოდგომაზე 110-21 სთ-ფარგლებშია, ხოლო მინიმუმს ზამთარში აღწევს და დეკემბერში 97 საათს შეადგენს.

უმზეო დღეთა წლიური რიცხვი 63-ია. ყველაზე ხშირი უმზეო დღეები დეკემბერშია და 11 დღეს შეადგენს, იანვარში და თებერვალში შეადგენს 9-9 დღეს, მარტში და ნოემბერში-8-8ს. უმზეო დღეთა რიცხვი მინიმალურია ზაფხულში და არ აღემატება 1-2 დღეს.

ალაზნის დაბლობისათვის დამახასიათებელია მთა-ბარის ქარები, რაც განსაკუთრებით ზაფხულშია გამოსატყ-

ლი და განპირობებულია მთის ქედებისა და ალაზნის ვე-
ლის უთანაბრო გათბობით.

ქარის გაბატონებული მიმართულებაა სამხრეთ-დასავ-
ლეთის, მისი საშუალო წლიური განმეორადობაა 33%, მაქ-
სიმუმს აღწევს შემოდგომაზე -37-39%, ხოლო მინიმალური
გაზაფხულზე (ცხრილი 3.2.1).

ყველაზე იშვიათია ჩრდილოეთის და სამხრეთის ქარე-
ბი, რომელთა წლიური განმეორადობა მხოლოდ 6-7%-ია.
შტილი წლის განმავლობაში საშუალოდ 8% შემთხვევაში
აღინიშნება.

ახტალის მიდამოებში სუსტი ქარი იცის, მისი საშუა-
ლო წლიური სიჩქარე 1.7 მ/წმ-ია. სიჩქარის საშუალო თვიუ-
რი მნიშვნელობები იცვლება 1.5-1.9მ/წმ ფარგლებში. მაქსი-
მუმი მოდის გაზაფხულის დასაწყისში, ხოლო მინიმუმი დე-
კემბერში, თუმცა გამოკვეთილი წლიური სვლა ქარის სიჩ-
ქარეს არ გააჩნია.

ცხრილი 3.2.1. ქარის მიმართულების და შტილის
(სიწყნარის) განმეორადობა (%)

მიმარ- თულება	თვე												წელი
	I	II	III	IV	V	VI	VII	VIII	IX	X	XI	XII	
ჩ	6	4	5	4	7	6	5	5	5	3	4	4	5
ჩა	8	7	8	9	8	9	10	9	8	7	7	8	8
ა	8	11	20	15	13	11	12	10	11	10	15	10	12
სა	8	10	9	11	10	9	8	6	7	10	9	8	9
ს	5	5	6	6	9	6	8	9	8	6	8	7	7
სდ	34	34	29	32	28	28	30	36	39	39	37	37	33
დ	19	19	15	16	18	19	18	18	17	18	14	19	18
ჩდ	12	11	8	7	7	10	9	7	5	7	6	7	8
შტ.	9	9	6	8	7	9	10	8	6	6	7	8	8

ძლიერი ქარი, როდესაც მისი სიჩქარე 15მ/წმ-ს აღწევს
ძალზე იშვიათია. წლის განმავლობაში საშუალოდ შესაძ-
ლებელია 5 ასეთი დღე, იშვიათად 10 დღე.

ქარის სიჩქარის დღე-ღამური სვლა გამოსატყუელია თით-
ქმის მთელი წლის განმავლობაში, მაქსიმალური სიჩქარეები

უფრო ხშირად დაიკვირვება დღის მეორე ნახევარში, მინიმალური–დილისა და ღამის საათებში.

როგორც ცხრილიდან ჩანს ახტალაში ჰაერის საშუალო წლიური ტემპერატურა 13.8⁰-ს შეადგენს. ყველაზე ცივი თვე იანვარია, თუმცა ჰაერის საშუალო თვიური ტემპერატურა დადებითია. საშუალო მინიმალური ტემპერატურა - 1.9⁰-ს შეადგენს, აბსოლუტური მინიმუმი კი მინუს 22⁰-მდე ეცემა. იანვარში ტემპერატურის საშუალო მაქსიმუმი 5⁰-ია, ხოლო აბსოლუტური მაქსიმუმი 20⁰-ს აღწევს. დეკემბერი და თებერვალი იანვარზე შედარებით თბილი თვეებია.

ყველაზე თბილი თვეებია ივლისი და აგვისტო, მათი საშუალო თვიური ტემპერატურა უდრის 23.6⁰-ს. ტემპერატურის აბსოლუტური მაქსიმუმი 40⁰-ს აღწევს, აბსოლუტური მინიმუმი ზაფხულის თვეებში 6-8⁰-ია დაფიქსირებული.

გარდამავალი სეზონები თბილია. შემოდგომა გაზაფხულზე თბილია. შემოდგომით საშუალო თვიური ტემპერატურა 8-19⁰ ფარგლებში მერყეობს. ტემპერატურის აბსოლუტური მაქსიმუმი სექტემბერში 37⁰-ს აღწევს, ხოლო აბსოლუტური მინიმუმი ნოემბერში მინუს 8⁰-მდე ეცემა. გაზაფხულზე ჰაერის საშუალო თვიური ტემპერატურა მარტიდან მაისამდე 6-დან 17⁰-მდე მატულობს. ტემპერატურის აბსოლუტური მაქსიმუმი მაისში 33⁰-ს შეადგენს, ხოლო აბსოლუტური მინიმუმი მარტში აგრეთვე მინუს 13⁰-მდე ეცემა.

ცხრილი 3.2.2. ჰაერის ტემპერატურა ⁰C

თვე												წელი	
I	II	III	IV	V	VI	VII	VIII	IX	X	XI	XII		
საშუალო													
0.9	2.5	6.5	11.8	16.8	20.5	23.6	23.6	19.0	13.5	7.6	2.7	12.4	
საშ.მინიმუმი													
-1.9	-0.8	2.3	7.3	12.0	15.4	18.3	18.3	14.5	9.8	4.4	0	8.3	
აბსოლ. მინიმუმი													
-22	-17	-13	-4	1	6	8	8	1	-5	-8	-18	22	
საშ. მაქსიმუმი													
5.0	7.0	11.4	17.1	22.3	26.3	29.4	29.8	24.9	18.9	11.9	6.7	17.6	
აბსოლ. მაქსიმუმი													
20	22	25	30	33	36	39	40	37	32	25	23	38	

ჰაერის შეფარდებითი სინოტივე მთელი წლის განმავლობაში საკმაოდ მაღალია, მისი საშუალო წლიური მნიშვნელობა 72%-ს შეადგენს. წლიურ სვლაში მაქსიმუმი აღინიშნება ნოემბერში და 80%-ს შეადგენს. მინიმუმი მყარდება ზაფხულში, კერძოდ ივლისში 65%, ხოლო აგვისტოში 64%-ია. ზამთრის თვეებში შეფარდებითი სინოტივე მაღალია და 73-78% ფარგლებში მერყეობს.

ძალიან იშვიათია მშრალ დღეთა რიცხვი, როდესაც ჰაერის შეფარდებითი სინოტივე არ აღემატება 30%-ს. წლის განმავლობაში ასეთ დღეთა რიცხვი საშუალოდ 12-მდე აღწევს. წლის ცივი პერიოდის განმავლობაში მშრალ დღეთა რიცხვი თვეში საშუალოდ ერთს არ აღემატება, აგვისტოში კი 3 დღეს შეადგენს.

ნოტიო დღეთა რიცხვი, როდესაც ჰაერის შეფარდებითი სინოტივე არანაკლები 80%-ს ტოლია 66-ს აღემატება. ყველაზე ხშირად ასეთი დღეები ზამთრის თვეებში აღინიშნება და თვეში 9-12 დღეს შეადგენს, ზაფხულში ასეთი დღეთა რიცხვი თვეში მხოლოდ 1-2-ია.

წლის განმავლობაში საერთო დრუბლიანობა 6.0, ხოლო ქვედა იარუსის დრუბლიანობა 4.0 ბალია. დრუბლიანობა ხასიათდება მაქსიმუმით გაზაფხულზე (მარტი) და მინიმუმით ზაფხულში (აგვისტო).

ნალექების წლიური ჯამი აბტალის სანიტარული დაცვის ზონების ტერიტორიის ფარგლებში დაახლოებით 800მმ-ს უდრის. წლიურ სვლაში მაქსიმუმი მაისში აღინიშნება და 124მმ-ს შეადგენს. ნალექების ჯამი მნიშვნელოვანია აგრეთვე ივნისში (101მმ), ხოლო ზაფხულის მეორე ნახევარში იკლებს და მეორადი მინიმუმი აგვისტოში დგება (54მმ). ნალექების ძირითადი მინიმუმი კი ზამთარში აღინიშნება, იანვარში შეადგენს 32მმ-ს, დეკემბერში-33,-ს და თებერვალში-44მმ-ს (ცხრილი 3.2.3).

ნალექიან დღეთა რიცხვი წლის განმავლობაში 116-ს შეადგენს. ყველაზე ხშირი ნალექიანი დღეები მაისშია (15 დღე), ხოლო ნალექიანი დღეები მინიმალურია დეკემბერიანვარში და აგვისტოშია (7 დღე).

ინტენსიური ნალექი, როდესაც მისი ჯამი არანაკლებ 20 მმ-ის ტოლია წლის განმავლობაში მოდის 9 დღის განმავლობაში. ასეთი დღეთა რაოდენობა გაზაფხულზე და

ზაფხულის დასაწყისში 1-2-ს შეადგენს, ხოლო დანარჩენ თვეებში დღეთა რიცხვი ასეთი ნაღველებით საშუალოდ ერთზე ნაკლებია. უხვი ნალექი, როდესაც მისი ჯამი არანაკლებ 30 მმ-ის ტოლია წლის განმავლობაში მხოლოდ 4 დღის განმავლობაში აღინიშნება.

ცხრილი 3.2.3. ატმოსფერული ნალექების მახასიათებლები

თვე												წელი
I	II	III	IV	V	VI	VII	VIII	IX	X	XI	XII	
საშუალო, მმ												
32	44	66	80	124	101	69	54	77	73	51	33	804
დღელამური მაქსიმუმი, მმ												
34	40	40	45	67	84	65	64	68	57	43	41	84
საშუალო დღეთა რიცხვი												
7.2	8.3	11.2	12.3	14.6	11.9	8.7	6.7	8.8	9.5	9.3	7.5	116
დღეთა რიცხვი ინტენსიური ნალექით												
0.2	0.3	0.6	0.7	1.5	1.5	1.0	0.8	0.9	0.9	0.4	0.2	9

ნალექები თოვლის სახით იშვიათია, და ძირითადად მოდის დეკემბრის მესამე დეკადიდან მარტის პირველი დეკადამდე.

ატმოსფეროს განსაკუთრებული მოვლენებიდან აღინიშნება ნისლი, ელჭექი და სეტყვა.

ჩამოთვლილ ატმოსფერული მოვლენებიდან ყველაზე ხშირია ელჭექი (41 დღე წელიწადში). ელჭექი იშვიათია წლის ცივი პერიოდის განმავლობაში და საშუალოდ თვეში ერთ დღესაც კი არ აღწევს. აპრილიდან აქტიურდება ელჭექის პროცესები და დღეთა რიცხვი ელჭექით მაისსა და ივნისში 10-10 დღეს შეადგენს.

წლის განმავლობაში აღინიშნება საშუალოდ 31 ნისლიანი დღე. ნისლი ხშირია ზამთარში და თვეში 4-6 დღეა, გაზაფხულსა და შემოდგომაზე 1-4 დღეს შეადგენს, ხოლო ზაფხულში ძალიან იშვიათია.

სეტყვა არ მოდის ძალიან ხშირად, წელიწადში საშუალოდ 2 დღეს არ აღემატება, თუმცა ძალიან დიდი ზიანი მოაქვს. ყველაზე ხშირია მაისში და ივნისში. წლის თბილი პერიოდის დანარჩენ თვეებში მისი აღბათობა ძალიან მცირეა, ხოლო ზამთარში საერთოდ არ აღინიშნება.

ამინდის ძირითადი ტიპები საშუალებას იძლევა წლის სეზონები დახასიათდეს ამინდების მიხედვით.

ზამთრის სეზონის განმავლობაში გაბატონებულია ღრუბლიანი ამინდები, რომელთა განმეორადობაც 45%-მდე აღწევს. აქედან დაახლოებით ნახევარი მცირე ღრუბლიანობით ხასიათდება. ხშირია მზიანი ყინვიანი ამინდები, რომელთა განმეორადობაც დაახლოებით 30-35%-ს შეადგენს. დაახლოებით 5-10% სისხირით აღინიშნება მოღრუბლული უნაღვექო, ნაღვექიანი და მზიანი, ზომიერად ნოტიო და ნოტიო ამინდები.

გაზაფხულის დასაწყისში აგრეთვე აღინიშნება მზიანი ყინვიანი ამინდები, რომელთა განმეორადობაც შედარებით ნაკლებია და 10-15%-ს არ აღემატება. მარტში 40%-მდე იზრდება ღრუბლიანი ამინდების სისხირე, აგრეთვე მატულობს მზიანი, ზომიერად ნოტიო და ნოტიო ამინდების განმეორადობა. წარმოიქმნება მზიანი მშრალი ამინდები, რომელთა განმეორადობაც გაზაფხულის დასასრულს 20%-მდე აღწევს.

ზაფხულში მატულობს ძალიან ცხელი და მშრალი ამინდების სისხირე და შეადგენს ივნისში 30%-ს, ივლისში-40%-ს, ხოლო აგვისტოს თვეში მათი განმეორადობა 50%-ს აღწევს. წარმოიქმნება ძალიან ცხელი და ძალიან მშრალი ამინდები, რომელთა განმეორადობა აგვისტოში 10%-ს აღემატება. 10%-მდე შეადგენს წვიმიანი ამინდების სისხირე.

შემოდგომა თბილია, 55-60%-მდე მატულობს მზიანი, ზომიერად ნოტიო და ნოტიო ამინდების, ხოლო 15%-მდე მატულობს ნაღვექიანი ამინდების განმეორადობა.

3.3. ჰელიოენერგეტიკული რესურსები

საქართველოს ჰელიოენერგეტიკული რესურსების და მათი ტერიტორიული განაწილების თავისებურებები პირველად დადგენილი იქნა 1959 წელს გ.მელიას მიერ (Мелия, 1959). ანალოგიური კვლევა საქართველოს აქტინომეტრიული სადგურების ქსელის მონაცემებზე დაყრდნობით ჩატარდა ი. ცუცქირიძის მიერ (Цуцкиридзе, 1961). აღნიშნული კვლევების შედეგად დადგინდა, რომ საქართველოს გააჩნია მნიშვნელოვანი ჰელიოენერგეტიკული პოტენციალი, რომლის ჩართვამ სახალ-

ხო მეურნეობის რიგ დარგებში შესაძლოა მოგვეცეს საგრძნობი ეკონომიური ეფექტი.

მომდევნო პერიოდში საქართველოს ჰელიოენერგეტიკული პოტენციალის კომპლექსური შეფასება და მისი ტერიტორიული განაწილების რუკა მოცემული იქნა მონოგრაფიაში [53]. ამ ნაშრომში გაანალიზებულია მზის პირდაპირ და ჯამურ რადიაციის, აგრეთვე მზის ნათების ხანგრძლივობის მნიშვნელოვნად გაზრდილი ხანგრძლივობის (1953-1985წწ) რიგები. გარდა ამისა, დაკვირვებების ინფორმაცია დამუშავებულია სტატისტიკური და ალბათური ანალიზის მეთოდის გამოყენებით, რამაც მნიშვნელოვნად გაზარდა აღნიშნული მახასიათებლების სივრცულ-დროითი განაწილების და კადასტრული შეფასებების სიზუსტე.

აღნიშნულ მონოგრაფიაში საქართველოს და კერძოდ კახეთის ტერიტორიის ჰელიოენერგეტიკული რესურსების დონით კომპლექსურ დარაიონებას საფუძველად დაედო ისეთი რეპრეზენტატიული მახასიათებლები, როგორცაა ჯამური და ჰორიზონტალურ ზედაპირზე მზის პირდაპირი რადიაციის დღეღამური (I,VII), თვიური (I,VII), სეზონური (V-IX) და წლიური ჯამები (მჯ/მ), საერთო ღრუბლიანობით მოწმენდილი დღეების რაოდენობა წელიწადში, ჰაერის საშუალო თვიური ტემპერატურა.

იმ ხუთი ჰელიოენერგეტიკული ზონიდან, რომლებიც მოცემულია ჰელიოენერგეტიკული რესურსების ტერიტორიული განაწილების რუკაზე კახეთის ტერიტორია მოქცეულია ჰელიორესურსებით მაქსიმალურად უზრუნველყოფილ პირველ და ნაწილობრივ მეორე ზონებში. (სიღნაღის, თელავის, გურჯაანის და დედოფლის წყაროს რაიონები). ამ რაიონებში არსებობს ჰელიოენერგეტიკული პოტენციალის მაღალი დონე და ყველა ტიპის (დიდი, საშუალო და მცირე სიმძლავრის) ჰელიოსისტემების ექსპლუატაციის სტაბილური პირობები.

პირველ ზონაში ჯამური რადიაციის წლიური ჯამის სიდიდე მერყეობს 5000-6000მჯ/მ-ის ფარგლებში, ჰორიზონტალურ ზედაპირზე მზის პირდაპირი რადიაციის ჯამი წელიწადის თბილ პერიოდში (V-IX) მერყეობს 1900-2000მჯ/მ-ის საზღვრებში, მზის ნათების ხანგრძლივობა კი-1300 საათის საზღვრებში წელიწადში მოწმენდილი დღეების რიცხვი კი 65-80-ის საზღვრებში.

იანვარში ჰორიზონტალურ ზედაპირზე მზის პირდაპირი რადიაციის ჯამი მერყეობს დღელამეში 3-4, თვეში 100-130, სეზონზე (V-IX) 1900-2000, წელიწადში 3000მჯ/მ-ის საზღვრებში. ამავე თვეში ჯამური რადიაციის ჯამი შესაბამისად მერყეობს დღელამეში 6-8, თვეში 180-250, წელიწადში 5000-6000მჯ/მ-ის ფარგლებში. მზის ნათების ხანგრძლივობა იცვლება დღელამეში 3-4, თვეში 130-140, სეზონზე (V-IX) 1250-1300, წელიწადში 2200-2500 საათის ფარგლებში.

ივლისში ჰორიზონტალურ ზედაპირზე მზის პირდაპირი რადიაციის ჯამი იცვლება დღელამეში 14-16, თვეში 450-500, სეზონზე (V-IX) 1900-2000, წელიწადში 3000 მჯ/მ-ის ფარგლებში. ამავე თვეში ჯამური რადიაციის ჯამი მერყეობს დღელამეში 20-25, თვეში 650-750, წელიწადში 5000-6000 მჯ/მ-ის საზღვრებში. მზის ნათების ხანგრძლივობა იცვლება დღელამეში 9-10, თვეში 290-320, სეზონზე (V-IX) 1250-1300, წელიწადში 2200-2500 საათის ფარგლებში. ამ ზონაში არსებობს ნებისმიერი ტიპის ჰელიოსისტემების ექსპლოატაციის ყველაზე ოპტიმალური პირობები.

მეორე ზონაში ჯამური რადიაციის წლიური ჯამები მერყეობს 5000-6000მჯ/მ-ის საზღვრებში, ხოლო ჰორიზონტალურ ზედაპირზე მზის პირდაპირი რადიაციის ჯამები წელიწადის თბილ პერიოდში (V-IX) 1800-1900მჯ/მ-ის ფარგლებში. მზის ნათების ხანგრძლივობა ივლისში, რომელიც ≥ 250 სთ, შეადგენს შესაძლო ხანგრძლივობის 60-80%-ს, წელიწადში მოწმენდილ დღეთა რიცხვი მერყეობს 55-დან 65-მდე.

იანვარში მზის პირდაპირი რადიაციის ჯამი ჰორიზონტალურ ზედაპირზე იცვლება დღელამეში 2-3, თვეში 70-90, სეზონზე (V-IX) 1800-1900, წელიწადში 2800-2900 მჯ/მ-ის ფარგლებში. ჯამური რადიაციის ჯამი კი შესაბამისად დღელამეში 5-6, თვეში 160-180, წელიწადში 4900-5000 მჯ/მ-ის ფარგლებში. მზის ნათების ხანგრძლივობა მერყეობს დღელამეში 3-4, თვეში 100-120, სეზონზე (V-IX) 1200-1250, წელიწადში 2200-2400 საათის საზღვრებში.

ივლისში ჰორიზონტალურ ზედაპირზე მზის პირდაპირი რადიაციის ჯამი მერყეობს დღელამეში 13-14, თვეში 400-450, სეზონზე (V-IX) 1800-1900, წელიწადში 2800-2900 მჯ/მ-ის ფარგლებში. ჯამური რადიაციის ჯამი ივლისში მერყეობს დღელამეში 20-23, თვეში 650-700, წელიწადში 4900-5000 მჯ/მ-ის საზ-

ღვრებში. მზის ნათების ხანგრძლივობა მერყეობს დღეღამეში 8-10, თვეში 270-290, სეზონზე (V-IX) 1200-1250, წელიწადში 2200-2400 საათის ფარგლებში. 250 საათის ტოილ ან მეტი ნათების ხანგრძლივობის ალბათობა ამ თვეში მერყეობს 60-80%-ის ფარგლებში. ამ ზონაში არსებობს ყველა პირობა, რომლებიც უზრუნველყოფენ ჰელიოსისტემების სტაბილურ ექსპლოატაციას.

საქართველოს კლიმატურ და აგროკლიმატურ ატლასში (2011) მოცემულია საქართველოს და კერძოდ კახეთის ტერიტორიაზე ჰელიოენერგეტიკული რესურსების განაწილების რუკა (რ. სამუკაშვილი). რუკის შედგენისას გამოყენებული იქნა საქართველოს აქტინომეტრიული სადგურების ქსელზე დაკვირვებების მთელი პერიოდის (1953-1990წწ) ინფორმაცია. მასში გამოყენებული დაკვირვებების ინფორმაციის ხანგრძლივობა 5 წლით მეტია ვიდრე სვანიძის და სხვ. მონოგრაფიაში (Сванидзе и др. 1987) გამოყენებული დაკვირვებების მასალების ხანგრძლივობა. ინფორმაციის პერიოდის გაგრძელებამ ხუთი წლით რაიმე საგრძნობი კორექტივები ჰელიორესურსების განაწილების ახალ რუკაზე არ შეიტანა. კახეთის რეგიონი კვლავ აღმოჩნდა ჰელიორესურსების განაწილების პირველ და ნაწილობრივ მეორე ზონაში. ახალ დარაიონებაში საქართველოს ტერიტორიაზე ისევე როგორც ძველში ჰელიოენერგეტიკული რესურსების განაწილების რუკაზე აგრეთვე გამოყოფილია ხუთი ზონა, რომლების ჰელიოენერგეტიკული მახასიათებლების მნიშვნელობები ერთმანეთს ემთხვევა.

34. ქარის ენერგეტიკული რესურსები

ქარის ენერჯიას, როგორც ენერგეტიკულად სუფთას, აღდგენად და ამოუწურავი ენერჯიის ერთ-ერთ სახეობას, ჰიდროენერჯიასა და ჰელიოენერჯიასთან ერთად მნიშვნელოვანი წვლილის შეტანა შეუძლია. სითბოს ორგანული გენეზისის წყაროების მიერ დაბინძურებულად გარემოს გაჯანსაღებაში და სათბობის ენერგეტიკულ ბალანსში საქართველოს ქარის ენერჯიის პრაქტიკული გამოყენების პრობლემის შესწავლა იწყება XX საუკუნის 50-იანი წლებიდან, 1959 წელს გამოქვეყნდა გ. მელიას ნაშრომი (Мелия, 1959), რომელშიც შეფასებულია საქართველოს ქარის ენერგეტიკული რესურსები, ამავე წელს გამოქვეყნებულ მეორე ნაშრომში (Сухишвили, 1959),

რომელშიც გაანალიზებულია კოლხეთის დაბლობის და შავი ზღვის, სანაპირო ზოლის ქარის რეჟიმული მახასიათებლები და ენერგორესურსები. 1968 გამოცემულ კლიმატურ ცნობარში (Справочник) მოცემულია საქართველოს ტერიტორიაზე ქარის რეჟიმული მახასიათებლები: ქარის საშუალოთვიური და წლიური სიჩქარე, ქარის საშუალოთვიური და წლიური სიჩქარე დღეღამის სხვადასხვა საათებში, ქარის სიჩქარის ალბათობა გრადაციების მიხედვით, ძლიერი ქარები (15მ/წმების საშუალო და მაქსიმალური წელიწადში დღეღამური სვლაა სხვ.) 1971 წელს ჰიდრომეტეოროლოგიის ინსტიტუტის კოლექტივის ნაშრომში გაანალიზებულია საქართველოს კლიმატი და რესურსები საქართველოს ტერიტორიისათვის საშუალოთვიური საშუალო წლიური სიჩქარეების საფუძველზე დაკონკრეტებულია დანადგარების გამოყენების პერსპექტიული რაიონები და მოცემულია ქარის ენერგორესურსების განაწილების სქემატური რუკა. 1987 წელს გამოქვეყნებულ ფუნდამენტურ ნაშრომში [53], romelSic grineviCis (Гриневиц, 1963, 1966) შრომებში გაანალიზებული ქარის ენერგორესურსების კადასტრული შესწავლის და შეფასების მეთოდის გამოყენებით დადგენილია ქარის ენერგოდანადგარების ექსპლოატაციის რეჟიმული მახასიათებლების კანონზომიერებები საქართველოს ტერიტორიაზე და მოცემულია ქარის ენერგორესურსების დონით მისი სქემატური დარაიონება. 2004 წელს გამოცემულ “საქართველოს ქარის ენერგეტიკულ ატლასში” (2004წ) გაანალიზებულია საქართველოს მეტეოროლოგიური სადგურების ქსელზე (165 მეტეოსადგური) არსებული მრავალწლიური დაკვირვების მონაცემები და 8 პერსპექტიულ მოედანზე დამონტაჟებულ მაღლივ მეტეოანძებზე მიღებული მოკლე ვადიანი (2-5 წელი) ინფორმაცია. ატლასში მოცემულია ქარის რეჟიმული მახასიათებლებისა და ენერგეტიკული პოტენციალის მოდელირება, რომელშიც გათვალისწინებულია რელიეფის დამრდილველი დაბრკოლებებისა და ქვეფენილი ზედაპირის უსწორმასწორობის (სიხისტის) გავლენა ქარის სიჩქარეებზე და მიმართულებაზე. დადგენილია, რომ ქარის საშუალო სიჩქარე წარმოადგენს ქარის კადასტრის იმ მნიშვნელოვან მახასიათებელს, რომელიც აუცილებელია ქარის ენერგეტიკული პოტენციალის გამოყენების პერსპექტიულობის შეფასების

თვალსაზრისით. ცხრილ 3.4.1.-ში მოცემულია ქარის საშუალოთვიური და წლიური სიჩქარეები კახეთის ტერიტორიის რამდენიმე პუნქტისათვის.

როგორც ცხრილ 3.4.1.-დან ჩანს, კახეთის დაბლობ ტერიტორიაზე ქარის სიჩქარის საშუალოწლიური სიდიდეები მაქსიმალურია სიღნაღში (2.0მ/წმ), თელავში (2.1მ/წმ), ნაფარეულში (1.9მ/წმ), ელდარში (2.3მ/წმ) და იორმუდანლოში (2.6 მ/წმ, აბსოლუტური მაქსიმუმი). ქარის სიჩქარის საშუალოთვიური და საშუალოწლიური სიჩქარეების მინიმუმით ხასიათდება სადგური ლაგოდეხი. აქ ქარის საშუალოთვიური სიჩქარის მნიშვნელობა მერყეობს 0.3-0.5მ/წმ-ის ფარგლებში (ივლისის თვის გამოკლებით, ივლისში იგი შეადგენს 1.1მ/წმ-ს), ხოლო საშუალოწლიური სიჩქარის სიდიდე ტოლია 0.5მ/წმ-ისა.

ცხრილი 3.4.1. ქარის სიჩქარის საშუალოთვიური და წლიური სიდიდეები (მ/წმ). [55]: საქართველოს სამეცნიერო კლიმატური ცნობარი, 2004)

სადგური	თ მ კ												წელი
	I	II	III	IV	V	VI	VII	VIII	IX	X	XI	XII	
სიღნაღი	2.3	2.5	2.2	2.0	2.0	2.0	1.7	1.7	1.8	1.9	1.8	1.6	2.0
გურჯაანი	0.8	1.0	1.1	1.2	1.2	1.1	1.0	1.0	0.9	0.9	0.8	0.8	1.0
დედოფლის წყარო	1.7	1.8	1.6	2.0	1.7	1.5	1.4	1.4	1.4	1.4	1.4	1.5	1.6
თელავი	2.0	2.3	2.5	2.6	2.3	2.3	2.0	2.0	2.0	2.1	1.9	1.8	2.1
ლაგოდეხი	0.3	0.4	0.5	0.5	0.5	0.5	1.1	0.4	0.4	0.4	0.3	0.3	0.5
საგარეჯო	1.8	1.8	1.7	1.8	1.7	1.8	1.6	1.5	1.7	1.7	1.7	1.9	1.7
ყვარელი	0.8	0.9	1.2	1.3	1.2	1.2	1.0	0.9	1.0	0.9	0.8	0.8	0.9
შირაქი	1.2	1.5	2.6	1.6	1.5	1.5	1.6	1.5	1.4	1.2	1.1	1.0	1.4
წნორი	0.6	0.8	1.0	1.2	1.0	1.0	0.9	0.8	0.7	0.6	0.6	0.5	0.9
ნაფარეული	1.7	2.0	2.4	2.4	2.1	2.2	1.9	1.8	1.7	1.8	1.5	1.3	1.9
ალაზანი	1.4	1.6	1.8	1.6	1.5	1.6	1.4	1.5	1.3	1.3	1.1	1.2	1.4
ელდარი	2.5	2.6	2.4	2.5	2.4	2.3	2.2	2.1	2.0	2.3	2.1	2.2	2.3
იორმუდანლო	2.7	3.5	3.3	3.2	2.8	2.4	2.2	2.0	2.2	2.5	2.6	2.3	2.6

ცხრილ 3.4.2.-ში მოცემულია იანვრისა და ივლისის თვეებისათვის ქარის საშუალოწლიური \bar{v} , უდიდესი v_{max} და უმცირესი v_{min} სიჩქარე (მ/წმ).

ქარის უდიდესი სიჩქარის v_{max} აბსოლუტური მაქსიმუმი აღინიშნა იანვარში საგარეჯოში (4.6მ/წმ), ივლისში კი—

შირაქში (4,0მ/წმ), უმცირესი სიჩქარის v_{min} აბსოლუტური მინიმუმი, ლაგოდესშიდა წნორში (0,5მ/წმ).

ქარის სიჩქარის საშუალოთვიური და საშუალოწლიური მნიშვნელობების გარდა ქარის ენერგეტიკული კადასტრის ძირითადი მახასიათებელია ქარის აქტიური და არააქტიური სიჩქარეების სიდიდე მისი ხანგრძლივობისა და

ცხრილი 3.4.2. ქარის საშუალოწლიური \bar{v} , უდიდესი v_{max} და უმცირესი v_{min} სიჩქარე (მ/წმ). (საქართველოს სამეცნიერო-გამოყენებითი კლიმატური ცნობარი, 2004).

სადგური	იანვარი			ივლისი		
	\bar{v}	v_{max}	v_{min}	\bar{v}	v_{max}	v_{min}
გურჯაანი	1.0	3.8	0.8	1.0	2.7	1.2
დედოფლის წყარო	1.6	2.6	0.7	1.6	3.3	0.5
თელავი	2.1	3.3	0.7	2.1	3.2	1.1
ლაგოდეხი	0.5	1.8	0.2	0.5	3.4	0.5
საგარეჯო	1.7	4.6	0.4	1.7	2.7	1.2
ყვარელი	0.9	2.3	0.4	0.9	1.4	0.6
შირაქი	1.4	2.2	0.4	1.4	4.0	0.7
წნორი	0.9	1.3	0.3	0.9	1.7	0.5

განმეორადობის ალბათობა ქარის სხვადასხვა სიჩქარეების (0-2, ≥ 3 , ≥ 5 , ≥ 8 და ≥ 10 მ/წმ) განმეორადობა წელიწადში კახეთის სადგურებისათვის მოცემულია ცხრილ 3.4.3.-ში.

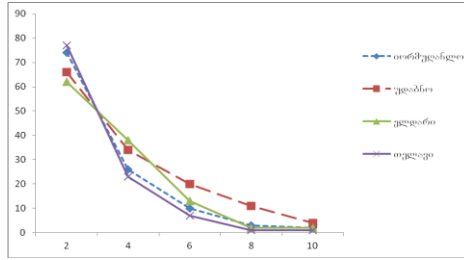
ცხრილი 3.4.3. ქარის აქტიური ($v \geq 3, 5, 8, 10$ მ/წმ) და არააქტიური ($v = 0-2$ მ/წმ) სიჩქარეების განმეორადობა (%) წელიწადში (ე. სუხიშვილი 1987წ)

სადგური	v მ/წმ				
	0-2	≥ 3	≥ 5	≥ 8	≥ 10
იორმულანლო	74	26	10	3	2
უდაბნო	66	34	20	11	4
ელდარი	62	38	13	2	2
თელავი	77	23	7	1	1

დამოკიდებულება $P=f(V)$, სადა V არის ქარის არააქტიური და აქტიური სიჩქარე $V(0, 2, 3, 5, 8, 10$ მ/წმ), P კი ამ სიჩქარეების განმეორადობა წელიწადში (%) გრაფიკულად წარმოდგენილია ნახ.3.4.1.-ზე. დამოკიდებულება $P=f(V)$ ანალიზურად წარმოიდგინება პირველი რიგის ჰიპერბოლას

განტოლებით $P=a+\frac{b}{V}$. სადგური თელავისათვის რეგრესიის განტოლებას აქვს შემდეგი სახე:

$$P=5.08+\frac{88.10}{V} \quad (3.4.1)$$



ნახ. 3.4.1. ქარის აქტიური და არააქტიური სიჩქარეების $V(მ/წმ)$, განმეორადობა ($P\%$) წელიწადში.

ამ განტოლებით გამოთვლილი P -ს მნიშვნელობები ნახ. 3.4.1-ზე დატანილი წრფეების სახით, როგორც ნახ. 3.4.1-დან ჩანს, დაკვირვებების მონაცემები დამაკმაყოფილებლად ემთხვევიან განტოლებით გამოთვლილ P -ს სიდიდეებს. სადგურებისათვის ელდარი, უდაბნო და იორმუდანლო განტოლებას აქვს შემდეგი სახე:

$$P=-2.0+\frac{90.5}{V} \quad (3.4.2)$$

როგორც ცნობილია, ქარის საშუალო სიჩქარის ქვედა საზღვრად მიღებულია 3-3,5მ/წმ სიჩქარე, რომლის დროსაც ქარის ნელი სელის ძრავები იწყებენ მუშაობას. რაც შეეხება ქარის ძრავებს ჩქარი სვლით, ისინი იწყებენ მუშაობას 4.5-5მ/წმ-ის სიჩქარის ქარის დროს, როგორც ცხრილი 3.4.3-დან ჩანს, ქარის საშუალო სიჩქარის წლიური განმეორადობა (3მ/წმ და მეტი) კახეთის ტერიტორიაზე იცვლება 23%-დან 38%-მდე. ამასთან ერთად განმეორადობის მაქსიმალური მნიშვნელობები 34-38% აღინიშნება უდაბნოში და ელდარში, მინიმალური (23-26%)-შესაბამისად თელავში და იორმუდანლოში. 5მ/წმ ან მეტი სიჩქარის შემთხვევაში განმეორადობა მაქსიმალურია ისევ უდაბნოში (20%) და ელდარში (13%), მინიმალური თელავში (7%) და იორმუდანლოში (10%). 8 და 10მ/წმ-ის ქარის სიჩქარეების შემთხვევაში მხოლოდ უდაბნოში აღინიშნება 11%-ის ტოლი ალბათობით. დანარჩენ

სადგურებზე კი ალბათობა მერყეობს 1-4%-ის ფარგლებში. ქარის სიჩქარეების ($v \geq 3\text{მ/წმ}$) საერთო ხანგრძლივობა განსახილველ ტერიტორიაზე მერყეობს 0-3000 სთ-ის ნაწილებში დაა 2000საათზე პერიფერიულ ნაწილში და 2000 სთ-ზე პერიფერი ტერიტორიის ქარის ენერგეტიკული რესურსებით შეფასებაში დიდი მნიშვნელობა აქვს ქარის საშუალო სიჩქარეების უწყვეტ ხანგრძლივობას. ანსახილველ ტერიტორიაზე ქარის სიჩქარეების ($v \geq 3\text{მ/წმ}$) საერთო ხანგრძლივობა წელიწადში განსახილველ რეგიონში მერყეობს 2000-3000სთ-ის ფარგლებში ცენტრალურ ნაწილებში და ნაკლებია 2000საათზე პერიფერიულ ნაწილში.

ცხრილ 3.4.4.-ში მოცემულია სეზონების მიხედვით ქარის საშუალო სიჩქარეების ($v \geq 3\text{მ/წმ}$, $v \geq 5\text{მ/წმ}$) განმეორადობა (%) და საერთო ხანგრძლივობა (სთ).

ცხრილი 3.4.4. სეზონების მიხედვით ქარის საშუალო სიჩქარეების ($v \geq 3\text{მ/წმ}$, $v \geq 5\text{მ/წმ}$) განმეორადობა (%) და საერთო ხანგრძლივობა (სთ) (ე. სუხიშვილი, 1987წ)

სადგური	ზამთარი		გაზაფხული		ზაფხული		შემოდგომა	
	$v \geq 3$	$v \geq 5$	$v \geq 3$	$v \geq 5$	$v \geq 3$	$v \geq 5$	$v \geq 3$	$v \geq 5$
იორმულანდო	30	18	39	22	38	14	29	15
უდაბნო	30	19	37	22	17	20	32	10
ელდარი	38	15	41	14	40	12	33	11
თელავი	18	9	28	9	23	5	23	6
ქარის საშუალო სიჩქარეების საერთო ხანგრძლივობა (სთ) ქარის სიჩქარე. მ/წმ ზამთარი								
	$v \geq 3$	$v \geq 4$	$v \geq 5$	$v \geq 6$	$v \geq 7$	$v \geq 8$	$v \geq 9$	$v \geq 10$
იორმულანდო	541	327	307	238	226	177	169	110
უდაბნო	553	446	357	299	257	214	190	170
ელდარი	730	341	248	124	98	56	43	21
თელავი	271	141	90	51	36	26	20	16
გაზაფხული								
იორმულანდო	794	442	44	257	242	177	157	109
უდაბნო	744	590	440	402	326	227	182	148
ელდარი	838	323	229	108	82	45	32	23
თელავი	470	216	131	50	42	22	12	7
ზაფხული								
იორმულანდო	564	277	246	138	120	77	75	43
უდაბნო	726	500	381	284	218	160	112	87

ელდარი	785	270	167	62	41	13	9	40
თელავი	342	142	68	28	17	8	2	1
შემოდგომა								
იორმულანლო	506	301	282	204	197	137	131	85
უდაბნო	607	446	349	290	238	186	151	122
ცხრილი 3.4.4-ის გაგრძელება								
ელდარი	604	555	185	90	69	36	31	18
თელავი	351	128	82	47	28	18	11	6

სეზონების მიხედვით ქარის სამუშაო ($v \geq 3მ/წმ$) და არა-აქტიური ($v = 0 \dots 2მ/წმ$) სინქარეების საერთო ხანგრძლივობის (სთ) განმეორადობა (%) წელიწადში საერთო ხანგრძლივობაზე დამოკიდებულებით მოცემულია ცხრილ 3.4.5.-ში.

ცხრილი 3.4.5. სეზონებისათვის ქარის სამუშაო ($v \geq 3მ/წმ$) და არააქტიური ($v = 0 \dots 2მ/წმ$) სინქარეების საერთო ხანგრძლივობის (სთ) განმეორადობა (%) წელიწადში საერთო ხანგრძლივობაზე დამოკიდებულებით. (ე. სუხიშვილი, 1987წ)

სადგური	ზამთარი	გაზაფხული	ზაფხული	შემოდგომა	წელიწადი
	ქარის სამუშაო სინქარეები ($v \geq 3მ/წმ$)				
იორმულანლო	23	33	23	21	100
უდაბნო	21	28	28	23	100
ელდარი	25	28	27	20	100
თელავი	19	33	24	24	100
	ქარის არააქტიური სინქარეები ($v = 0 \dots 2მ/წმ$)				
იორმულანლო	25	22	26	27	100
უდაბნო	26	24	24	26	100
ელდარი	25	24	22	29	100
თელავი	26	23	25	26	100

როგორც ცხრილ 3.4.5.-დან ჩანს სადგურ თელავში ქარის სამუშაო სინქარეების განმეორადობა მაქსიმალურია გაზაფხულზე (33%) და მინიმალურია ზამთარში (19%), ზაფხულში და შემოდგომაზე განმეორადობა შეადგენს 24%-ს. ელდარში სამუშაო სინქარეების განმეორადობა წელიწადის

სამ სეზონზე (ზამთარი, გაზაფხული, ზაფხული) ახლოა ერთმანეთთან (იცვლება 25-28%-ის ფარგლებში). ზამთარში მისი სიდიდე არ აღემატება 20%-ს.

იორმულანლოში განმეორადობის მაქსიმუმი აღნიშნულია გაზაფხულზე (33%), მინიმუმი (21%), უდაბნოში მთელი წლის განმავლობაში განმეორადობის სიდიდეები მცირედ განსხვავდებიან ერთმანეთისაგან: განმეორადობა იცვლება 21(ზამთარი)-28%-ის ფარგლებში (გაზაფხული, ზაფხული).

როგორც აღნიშნულია [53]-ში კახეთის რეგიონი ხასიათდება ქარის კომპლექსური ენერგეტიკული რესურსებით დარაიონების შემდეგი მაჩვენებლებით: ქარის საშუალო წლიური სიჩქარე მერყეობს 2,5-4,0მ/წმ-ის (უდაბნო, იორმულანლო, ელდარი) და 2,5-3,0მ/წმ-ის საზღვრებში (თელავი) ქარის სამუშაო სიჩქარეების საერთო რაოდენობა ($v \geq 3$ მ/წმ) შეადგენს 00-2950საათს, იორმულანლო ელდარიდა 0-1800 საათს (თელავი). $v \geq 5$ მ/წმ-ის ქარის სამუშაო სიჩქარის შემთხვევაში მახასიათებელი შესაბამისად მერყეობს 1500 (უდაბნო, იორმულანლო ელდარი 70-740 საათის საზღვრებში თელავის არააქტიური სიჩქარეების შემთხვევაში $= 0 \dots 2$ მამათებელი სიდიდე მერყეობს 5800-6350 (უდაბნო, იორმულანლო, ელდარი) და 6900-7300 საათის (თელავი) საზღვრებში. ქარის სამუშაო სიჩქარეების ($v = 0 \dots 2$ მ/წმ) საშუალო უწყვეტი ხანგრძლივობა შესაბამისად მერყეობს 13-15 (უდაბნო, იორმულანლო, ელდარი) და 10-20 საათის ფარგლებში. ქარის არააქტიური სიჩქარეების ($v = 0 \dots 2$ მ/წმ) საშუალო უწყვეტი ხანგრძლივობა კი მერყეობს 20-28 (უდაბნო, იორმულანლო, ელდარი) და 27-35 (თელავი) საათის ფარგლებში.

ამრიგად, ამ რაიონში ქარის ენერგეტიკული მახასიათებლები ვერ უზრუნველყოფენ ქარის ენერგეტიკული დანადგარების ნორმალურ ექსპლოატაციას, საგარეჯოს რაიონის გარდა, რომელიც განლაგებულია ივრის ზეგანზე, სადაც შესაძლებელია ნელსვლიანი ქარის დანადგარების ნაწილობრივი გამოყენება. საგარეჯოს რაიონში ქარის საშუალოწლიური სიჩქარე შეადგენს 2,3-3,9მ/წმ-ს. ქარის სამუშაო სიჩქარეების ($v \geq 3$ მ/წმ ≥ 5 მ/წმ) საერთო ხანგრძლივობა შესაბამისად მერყეობს 2400-2950 და 800-980 საათის ფარგლებში.

შიარისშაოარისუალოხანგრძლივობაარადემატებასათს
არააქტიური სიჩქარეების ($v=0 \dots 2მ/წმ$) საშუალო უწყვეტი
ხანგრძლივობა კი შეადგენს 17 საათს.

თავი IV აბროკლიმატური რესურსები

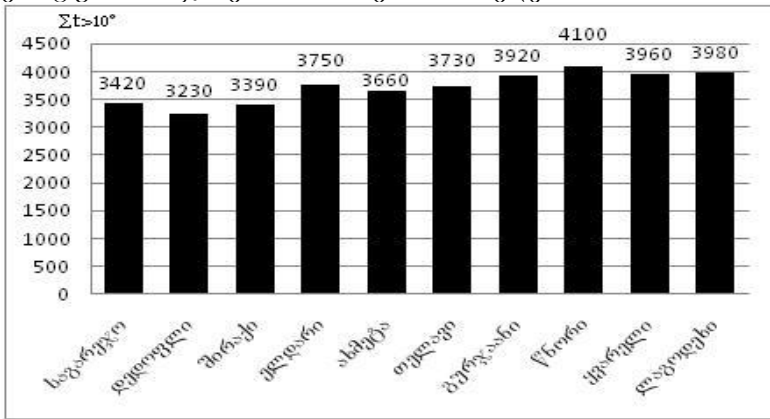
4.1. აგროკულტურების სითბოთი და ტენით უზრუნველყოფა

კახეთი მნიშვნელოვანი რეგიონია სოფლის მეურნეობის წარმოების თვალსაზრისით. არსებული ნიადაგურ-კლიმატური პირობები საშუალებას იძლევა მივიღოთ დიდი რაოდენობით მარცვლეული კულტურების, ასევე საშემოდგომო და საგაზაფხულო ხორბლის, ქერის, სიმინდის მოსავლი. აღნიშნულ ტერიტორიაზე წარმატებით მოყავთ სამეურნეო მნიშვნელობის ვაზის სხვადასხვა ჯიშები. აგროკლიმატური პირობები ხელს უწყობს ეთერზეთოვანი და ზეთოვანი ტექნიკური კულტურების წარმატებით განვითარებას. ხელსაყრელი პირობებია მეხილეობის, მებოსტნეობის, ბაღჩეულის, აგრეთვე მეცხოველეობის, მეფრინველეობის, მებაბრეშუმეობის დარგების განვითარებისათვის. თუმცა კახეთის ტერიტორიის გარკვეული ნაწილი განიცდის ტენის დეფიციტს, ასევე სითბური რეჟიმი ვერ უზრუნველყოფს აგროკულტურების ნორმალურ ზრდა-განვითარებას, რის გამოც მოსავალი და მისი ხარისხი დაბალია. ამიტომ მნიშვნელოვანია რეგიონის ტერიტორიაზე აგროკლიმატური მახასიათებლების შეფასება. რომლის მიხედვით, უნდა განისაზღვროს ძირითადად რომელი მიმართულების ფერმერული მეურნეობა წარმოინდგება პრიორიტეტულად [მელაძე მ., 2006].

სითბო, აგროკულტურების ზრდა-განვითარების და პროდუქტიულობის განმსაზღვრელი ძირითადი ფაქტორია. ტერიტორიაზე, სადაც სითბური რეჟიმი ნაკლებია, სითბოს მოყვარული კულტურები შეფერხებით ვითარდებიან, მათი მოსავალი და ხარისხი დაბალია. სავეგეტაციო პერიოდში თერმული პირობების შეფასებისათვის გამოყენებული აქტიური ტემპერატურათა ჯამი ($\geq 10^{\circ}\text{C}$) უკანასკნელი პერიოდის ცალკეულ წლებში არსებითად განსხვავდება საშუალო მრავალწლიურისაგან ($300-400^{\circ}\text{C}$ და მეტი).

მოცემულ რეგიონში შემოდგომის ჰაერის საშუალო ტემპერატურები, არ არის შემაფერხებელი მარცვლეულის, ვახის, ხეხილოვანების და სხვა კულტურების მოსავლის სიმწიფის დასრულების და მათი დროულად აღებისათვის. ზოგიერთი სითბოსმოყვარული კულტურები - ვახი, ეთერზეთოვანი ტექნიკური და სხვა ვეგეტაციას იწყებენ ჰაერის საშუალო დღეღამური ტემპერატურის 10°C-ის ზევით გადასვლის თარიღიდან. გაზაფხულზე, აღნიშნულ ტემპერატურას უკავშირდება ზოგიერთი ბოსტნეული კულტურის ჩითილების გადარგვა, ასევე გაზაფხულის აგროტექნიკური ღონისძიებების ჩატარება. ჰაერის საშუალო დღეღამური ტემპერატურის 10°C-ის ზევით გადასვლის (დადგომის) თარიღი ახმეტაში და თელავში დაიკვირვება 9.IV, გურჯაანში და ყვარელში 5.IV, ლაგოდეხში 6.IV, სიღნაღში 10.IV, საგარეჯოში 16.IV, დელოფლისწყაროში 20.IV.

ნახაზზე 4.1.1 მოცემულია კახეთის რეგიონში აქტიურ ტემპერატურათა ჯამები რაიონების მიხედვით.



ნახ. 4.1.1 აქტიურ ტემპერატურათა ჯამები (>10°C) თბილ პერიოდში

სავეგეტაციო პერიოდში, აგროკულტურების სითბოთი უზრუნველყოფის განსაზღვრისათვის რეგიონის რაიონების მიხედვით შედგენილია რეგრესიის განტოლებები:

$$\text{თელავი } \Sigma T = -12.3n + 4222, \quad (4.1.1)$$

$$\text{გურჯაანი } \Sigma T = -13.7n + 4413, \quad (4.1.2)$$

ლაგოდები $\Sigma T = -14.1n + 4510$, (4.1.3)

საგარეჯო $\Sigma T = -9.7n + 3904$, (4.1.4)

დედოფლისწყარო $\Sigma T = -8.9n + 3648$, (4.1.5)

წნორი $\Sigma T = -13.6n + 4590$, (4.1.6).

მოცემულ განტოლებებში ΣT -საპროგნოზო (საწინასწარ-მეტყველო) ტემპერატურის ჯამია ჰაერის საშუალო დღელამური ტემპერატურის 10° -ის ზევით გადასვლის თარიღიდან, n -დღეთა რიცხვი 1 მარტიდან ჰაერის ტემპერატურის 10° -ის ზევით გადასვლის თარიღამდე.

რაიონების მიხედვით, განტოლებებით შეიძლება შეფასდეს მიმდინარე წელს ტემპერატურის ჯამით უზრუნველყოფა. საპროგნოზო ტემპერატურის ჯამი, თუ აღმოჩნდა $300-400^{\circ}\text{C}$ -ით მეტი, რაიონის საშუალო ტემპერატურის ჯამზე (ნიადაგში ტენის საკმარისი რაოდენობის შემთხვევაში), ასეთ პირობებში მოსალოდნელია უხვი, ხარისხიანი, მოსავალის მიღება და პირიქით [მელაძე გ., მელაძე მ., 2010].

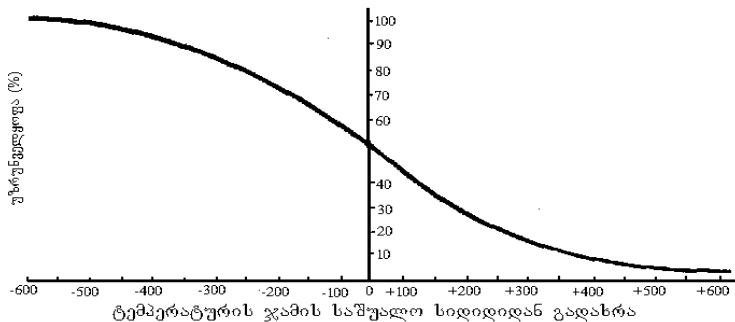
მაგალითისათვის, მოგვყავს ტემპერატურის ჯამის უზრუნველყოფის პროგნოზი საგარეჯოს რაიონში. დაუშვათ, 10°C -ის ზევით ჰაერის საშუალო დღელამური ტემპერატურა (გაზაფხულზე) გადავიდა 20 მარტს. ე.ი. 1 მარტიდან დღეთა რიცხვი (n) იქნება 20, რომლის ჩასმით განტოლებაში (2) n -ის ნაცვლად და გაანგარიშებით მივიღებთ მოსალოდნელი ტემპერატურის ჯამს 4139°C , რაც 219°C -ით მეტი აღმოჩნდება გურჯაანის რაიონის მრავალწლიური ტემპერატურის ჯამთან (3920°) შედარებით. გაზაფხულზე, თუ ტემპერატურა 10°C -ის ზევით გადავა 10 აპრილს, მაშინ დღეთა რიცხვი (n) 1 მარტიდან იქნება 41 დღე. ანალოგიური მოქმედებით, მიიღება ტემპერატურის ჯამი 3851°C , რაც 69°C -ით ნაკლებია მრავალწლიური ტემპერატურის ჯამთან შედარებით.

აგროკულტურების თერმული პირობების შეფასებისათვის მიღებული ჰაერის საშუალო დღელამური ტემპერატურის 10°C -ის ზევით ტემპერატურის ჯამი [Меладзе Г.Г., Тутарашвили М.У. Меладзе М.Г., 2009], ცალკეულ წლებში იცვლება $400-500^{\circ}\text{C}$ და მეტით. ამიტომ მოცემულ რაიონში აგროკულტურის საჭირო ტემპერატურის ჯამით უზრუნველყოფის დასადგენად, უნდა განისაზღვროს მოცემული კულტუ-

რისათვის საჭირო ტემპერატურის ჯამის განმეორადობის შემთხვევა ყოველ ათ და მეტ წელში.

აღნიშნული უზრუნველყოფის განსაზღვრისათვის შედგენილია რაიონებისათვის ტემპერატურის ჯამის ($\geq 10^{\circ}\text{C}$) უზრუნველყოფის მრუდი (ნახაზი 4.1.2).

ნახაზის აბსცისთა ღერძზე აღნიშნულია ტემპერატურათა ჯამის საშუალო სიდიდიდან გადახრა (0-დან), ხოლო ორდინატის ღერძზე მოცემულია ტემპერატურის ჯამის უზრუნველყოფა პროცენტებში. ამ უკანასკნელის განსაზღვრისათვის, საჭიროა მოცემულ რაიონში არსებული ჰაერის ტემპერატურის ჯამის ცოდნა (ნახ. 4.1.2).



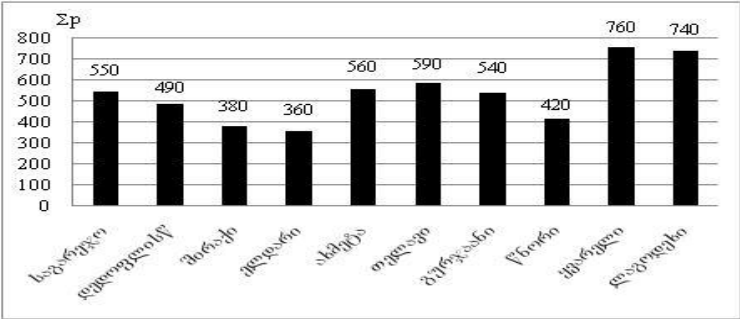
ნახ. 4.1.2. აქტიურ ტემპერატურათა ჯამის ($\geq 10^{\circ}\text{C}$) უზრუნველყოფის მრუდი

ტემპერატურის ჯამთან ერთად მნიშვნელოვან, შეუცვლელ ფაქტორს წარმოადგენს ატმოსფერული ნალექები, რაც ნიადაგში ტენის მარაგს ქმნის. ამიტომ მცენარეების ტენით უზრუნველყოფა ძირითადად დამოკიდებულია მოსული ნალექების რაოდენობაზე.

მცენარეების მოთხოვნილება ტენიანობაზე, მისი განვითარების სხვადასხვა ფაზაში განსხვავებულია. აქედან გამომდინარე, ტენიანობის პირობების შეფასებისათვის მნიშვნელოვანია მცენარეთა ფაზების განვითარების პერიოდში ტენით უზრუნველყოფის განსაზღვრა, რადგან მასზეა დამოკიდებული კულტურების ზრდა-განვითარება და მოსვლის მიღება. ცალკეულ შემთხვევებში, ტერიტორიაზე ადგილი აქვს ნალექების არათანაბარ განაწილებას, რის შედეგად მცენარეები სათანადოდ არ არიან ტენით უზრუნველყოფი-

ლი. საკვლევ ტერიტორიაზე, სადაც გაშენებულია მარცვლეული, ვაზი და სხვა კულტურები, სავეგეტაციო პერიოდში ზოგჯერ განიცდიან ტენის დეფიციტს, განსაკუთრებით აქტიური ვეგეტაციის პერიოდში (VII-VIII). კახეთის ტერიტორიაზე ყველაზე მეტად ტენით უზრუნველყოფილია ვაზის კულტურა, ვეგეტაციის პირველ პერიოდში (კვირტების გახსნიდან ყვავილობის დასასრულამდე). ამ ფაზებს შორის საშუალოდ მშრალ და ტენიან წლებში ვაზი არ საჭიროებს მორწყვას, განსაკუთრებული უნაღველობის შემთხვევის გარდა. იგი ეხება კახეთის შედარებით მშრალ ზონას (ჰიდროთერმული კოეფიციენტი 0.5-1.0), რომელიც მოიცავს მდ. ალაზნის ქვემო ნაწილს, შირაქის ვაკეს და მდ. იორის სამხრეთ-აღმოსავლეთ ნაწილს. ვაზის ვეგეტაციის მეორე პერიოდი (ყვავილობის დასასრული-სიმწიფის დასაწყისი) წარმოადგენს გადაშვევტ ეტაპს, რადგან იგი ემთხვევა გვალვების პერიოდს. ამიტომ აღნიშნულ პერიოდში, საჭიროა 3-4 ჯერ მორწყვითი ღონისძიების ჩატარება, რაც მაღალი მოსავლის შენარჩუნების გარანტიას იძლევა. აღნიშნული ღონისძიება უნდა ჩატარდეს ძლიერ მშრალ ზონაში (როცა ჰიდროთერმული კოეფიციენტი 0.5-ზე ნაკლებია), რომელიც მოიცავს მდ. ალაზნის ქვემო დინების მარჯვენა სანაპიროს, შირაქის ვაკეს და საგარეჯოს რაიონის სამხრეთ-აღმოსავლეთ ნაწილს.

ნახაზზე 4.13 მოცემულია ატმოსფერული ნალექების ჯამები კახეთის რეგიონისათვის.



ნახ. 4.13 ატმოსფერული ნალექების ჯამები (მმ) თბილ პერიოდში

სავეგეტაციო პერიოდში აგროკულტურების ნალექებით უზრუნველყოფისათვის მნიშვნელოვანია ატმოსფერული ნალექების 10 და 90%-ით უზრუნველყოფის შეფასება, სეზონების მიხედვით, რომელიც მოყვანილია ცხრილში 4.1.1.

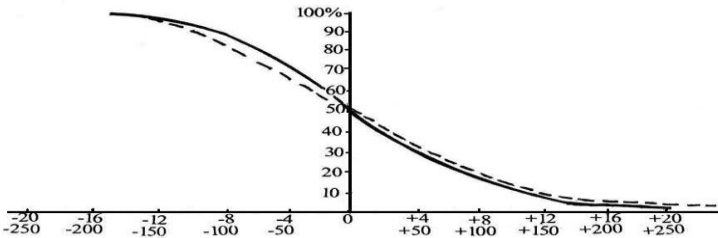
ცხრილის მიხედვით, კახეთის ივრის ზეგანზე 10%-ით ატმოსფერული ნალექების უზრუნველყოფა გაზაფხულზე-აპრილის თვეში შეადგენს დაახლოებით 90-150 მმ, ხოლო მაისში 150-210 მმ. გაზაფხულზე 10%-ით ნალექების უზრუნველყოფა შედარებით უკეთესია შიგნით კახეთის ბარის ტერიტორიაზე. ასე, მაგალითად, აპრილის თვეში იგი შეადგენს დაახლოებით 100-180 მმ, მაისში 120-280 მმ, შემოდგომის თვეებში აღნიშნული პროცენტით ნალექების უზრუნველყოფა მოცემულ ტერიტორიაზე შედარებით ნაკლებია. რაც შეეხება 90%-ით ატმოსფერული ნალექების უზრუნველყოფას კახეთის რაიონებში, გაზაფხულის სეზონზე-მაისის თვეში და ზაფხულის დასაწყისში-ივნისის თვეში, ყველაზე მეტია წლის სხვა სეზონებთან შედარებით.

ცხრილი 4.1.1 ატმოსფერული ნალექებით უზრუნველყოფა (მმ) თბილ პერიოდში 10%-ით

მეტეოპუნქტი	თ ვ ე ე ბ ი						
	IV	V	VI	VII	VIII	IX	X
საგარეჯო	152	208	200	144	98	124	149
დედოფ. წყარო	104	178	167	113	98	92	99
შირაქი	87	149	135	97	82	92	83
ელდარი	87	149	135	97	82	77	83
ახმეტა	152	119	200	128	115	108	132
თელავი	135	238	217	144	115	108	132
გურჯაანი	135	193	167	128	115	140	132
წნორი	104	164	135	113	82	108	99
ყვარელი	184	282	268	175	147	156	165
ლაგოდეხი	168	238	217	169	145	203	198
90%-ით							
საგარეჯო	35	60	49	24	11	20	26
დედოფ. წყარო	21	48	39	15	11	11	12
შირაქი	17	37	29	10	6	11	8
ელდარი	17	37	29	10	6	7	8
ახმეტა	35	55	49	20	16	16	20
თელავი	30	71	54	24	16	16	20

გურჯანი	30	54	39	20	16	25	20
წნორი	21	43	29	15	6	16	12
ყვარელი	45	88	69	33	15	29	20
ლაგოდეხი	40	71	54	29	27	43	38

მოცემული რეგიონის რაიონებისათვის, მრავალწლიური მეტეოროლოგიური დაკვირვებათა მასალების ანალიზისა და დამუშავების საფუძველზე, შედგენილია სავეგეტაციო პერიოდში ≥ 5 მმ ნალექიან დღეთა რიცხვის განმეორადობის მრუდი (ნახაზი 4.14), რომელზეც შეიძლება განისაზღვროს მითითებული ნალექიან დღეთა რიცხვის განმეორადობა მცენარის ნებისმიერი ფაზისათვის ყოველ ათ და მეტ წელში.



ნახ. 4.14 — სავეგეტაციო პერიოდში ≥ 5 მმ ნალექიან დღეთა რიცხვის უზრუნველყოფის (%) მრუდი;
 ----- სავეგეტაციო პერიოდში ≤ 800 მმ ნალექების ჯამის უზრუნველყოფის (%) მრუდი

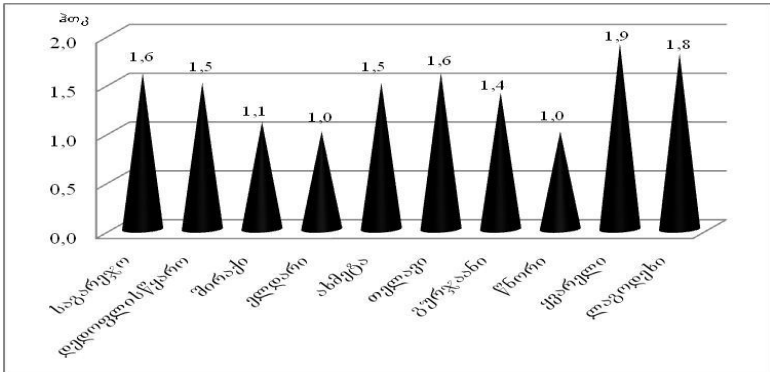
მოცემულ ნომოგრამაზე განსაზღვრით გავიგებთ, თუ რამდენია ≥ 5 მმ ნალექიანი დღე მაგალითად, მცენარის ყვავილობის ფაზაში და როგორ აკმაყოფილებს იგი მის ნორმალურ განვითარებას. როცა მოცემულ ფაზაში ნალექიან დღეთა რიცხვი ≥ 5 მმ-ია, ან საერთოდ არ აღინიშნება ან იქნება 1-2, შეიძლება იგი არ იყოს საკმარისი. ასეთ შემთხვევაში საჭიროა ნიადაგის გაფხვიერება (კულტივაცია), ან მორწყვა ყვავილების და ნასკვების შენარჩუნებისათვის. განსაზღვრისათვის საჭიროა ვიცოდეთ თბილ პერიოდში კახეთის რეგიონში შემავალი რაიონების ≥ 5 მმ ნალექიან საშუალო დღეთა რიცხვები.

სავეგეტაციო პერიოდში ატმოსფერული ნალექების შეფასებისათვის, ასევე შედგენილია ≤ 800 მმ ატმოსფერული ნალექების ჯამის უზრუნველყოფის ნომოგრამა (ნახაზი

4.1.4). მოცემული ნომოგრამის მიხედვით, შეიძლება განისაზღვროს კახეთის რეგიონის ნებისმიერი რაიონისათვის ნალექების ჯამი სხვადასხვა სიდიდით (მმ). განსაზღვრისათვის, უნდა ვიცოდეთ თბილი პერიოდის (IV-X) ნალექების ჯამი (ნახაზი 4.1.3).

აქტიურ ტემპერატურათა ($>10^{\circ}\text{C}$) და ატმოსფერული ნალექების ჯამების საფუძველზე გამოთვლილი იქნა ჰიდროთერმული კოეფიციენტი (ჰტკ), რომელიც ნიადაგში წყლის ბალანსის მაჩვენებელია (ნახაზი 4.1.5).

აქტიური ვეგეტაციის პერიოდში - ზაფხულში, განსაკუთრებით ივლის-აგვისტოს თვეებში კახეთის მთელი ტერიტორია ნაკლებად არის უზრუნველყოფილი საჭირო ნალექებით. ხშირია შემთხვევები, როცა აგროკულტურები განიცდიან ნიადაგის ტენის დეფიციტს. ამიტომ ნიადაგის ტენით უზრუნველყოფისათვის საჭიროა აგროტექნიკური ღონისძიებების გამოყენ



ნახ. 4.1.5 ჰიდროთერმული კოეფიციენტის მაჩვენებლები რაიონების მიხედვით

ნიადაგის პროდუქტიულ ტენს (მმ) მცენარეთა ფესვთა სისტემის განლაგებაში (0-100 სმ) დიდი მნიშვნელობა აქვს, განსაკუთრებით აქტიური ვეგეტაციის პერიოდში (VI-VIII). ცხრილში 4.1.2 მოყვანილია სავეგეტაციო პერიოდში ტენის მარაგის მრავალწლიური დაკვირვებათა მონაცემები.

ცხრილიდან ჩანს, რომ ერთწლიანი კულტურები (საშემოდგომო ხორბალი, სიმინდი) ვეგეტაციის დაწყების და სიმწიფის პერიოდებში საკმაოდ არიან უზრუნველყოფილი ნიადაგის პროდუქტიული ტენის მარაგით. ასევე ნორმალურ პირობებშია, ნიადაგის ტენის მარაგით ვაზის კულტურა. იგი ნაკლებადაა უზრუნველყოფილი თელავის რაიონში. თუმცა, ნიადაგის 0-50 სმ ფენაში დამაკმაყოფილებლად უნდა ჩაითვალოს.

ზემოაღნიშნულიდან გამომდინარე, კახეთის რეგიონში, ადგილობრივი აგროკლიმატური პირობები დიდი რაოდენობით მარცვლეულის (საშემოდგომო და საგაზაფხულო ხორბლის, ქერის, სიმინდის და სხვა) მიღების შესაძლებლობას იძლევა. ხელსაყრელი პირობებია ვაზის სხვადასხვა ჯიშების, ეთერზეთოვანი და ზეთოვანი ტექნიკური კულტურების, მეხილეობის, მებოსტნეობის და სხვა დარგების განვითარებისათვის.

ცხრილი 4.1.2 სავეგეტაციო პერიოდში ტენის (მმ) მარაგის უზრუნველყოფა

მეტეო-პუნქტი	კულტურა	ნიადაგის ფენა (სმ)	ვეგეტაციის დაწყებისას ტენის მარაგი	სიმწიფისას ტენის მარაგი
ლაგოდეხი	საშემოდ. ხორბალი	0-50	106	95
ყვარელი		0-50	106	100
დედოფ.წყარო		0-80	107	105
შირაქი		0-80	117	88
საგარეჯო	სიმინდი	0-70	142	98
ყვარელი	ვაზი	0-100	245	172
თელავი		0-50	71	58
გურჯაანი		0-100	196	152
საგარეჯო		0-100	142	104

4.2. აგროკლიმატური ზონები

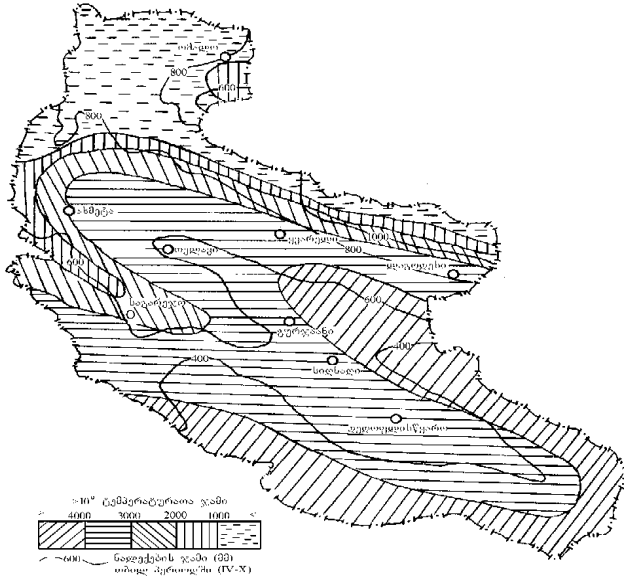
ფერმერული მეურნეობებისათვის განსაკუთრებული მნიშვნელობა აქვს აგროკლიმატური რესურსების შეფასებას, რადგან ის განსაზღვრავს აგროკულტურების სწორ განლა-

გებას და განვითარების შესაძლებლობას. ამიტომ კახეთის რეგიონში საჭიროა აგროკულტურების განლაგება აგროკლიმატური ფაქტორებისადმი მოთხოვნილების გათვალისწინებით, ძირითადად სითბური რეჟიმის შესაბამისად. აღნიშნულთან დაკავშირებით, აგროკლიმატური მახასიათებლებიდან გამომდინარე, ჰაერის საშუალო დღეღამური ტემპერატურის ($\geq 10^\circ$) და ატმოსფერული ნალექების ჯამების მიხედვით, შედგენილია კახეთის რეგიონის აგროკლიმატური რუკა (ნახაზი 4.2.1), სადაც გამოყოფილია 5 ზონა. მოცემულ ზონებში მითითებულია (იზოჰიეტებით) ატმოსფერული ნალექების რაოდენობა, რომელიც გვიჩვენებს გამოყოფილი ზონების ატმოსფერული ნალექებით უზრუნველყოფას (მელაძე გ., მელაძე მ., 2014).

I-ზონა მოიცავს დედოფლისწყაროს, სიღნაღის და გურჯაანის ჩრდილოეთ და ჩრდილო-აღმოსავლეთ ნაწილს, ლაგოდეხის სამხრეთ-დასავლეთ და ყვარელის სამხრეთ ნაწილს. ზონა ზღვის დონიდან მდებარეობს 300 მ-დან 450 მ სიმაღლემდე. აქტიურ ტემპერატურათა ჯამი 4000°C -ზე მეტია, ატმოსფერული ნალექების ჯამი თბილ პერიოდში შეადგენს 300-400 მმ. მოცემულ ზონაში შეიძლება მარცვლეულის (საშემოდგომო ხორბალი, სიმინდი და სხვა), ბოსტნეულის, შაქრის ჭარხლის, ეთერზეთოვანი და სხვა კულტურების წარმოება. აგრეთვე შესაძლებელია ვაზის, საადრეო და საგვიანო ჯიშების წარმოება. პერსპექტიულია მეხილეობის განვითარება. ზონა ნაკლებად არის ტენით უზრუნველყოფილი, ამიტომ სასოფლო-სამეურნეო კულტურების პროდუქტიულობისათვის, საჭიროა ნიადაგის მორწყვა 2-ჯერ მაინც, აქტიური ვეგეტაციის პერიოდში (VII-VIII). ბოლო წაყინვები დაიკვირვება 24.III-2.IV, პირველი წაყინვები 15.XI-25.XI, უყინვო პერიოდი შეადგენს 245-226 დღეს.

II-ზონა მოიცავს თელავის, გურჯაანის, სიღნაღის დედოფლისწყაროს, ყვარელის და ლაგოდეხის რაიონებს, ნაწილობრივ ახმეტის რაიონის ტერიტორიას. ზონა მდებარეობს 400 მ-დან 800 მ სიმაღლემდე (ზღ. დონიდან). ტემპერატურის ჯამი 3000°C და მეტია, ატმოსფერული ნალექების ჯამი თბილ პერიოდში შეადგენს 450-550 მმ. მოცემულ ზონაში შესაძლებელია მარცვლეულის, ვაზის ყველა ჯიშის

(საადრეო, საგვიანო), ხეხილოვანების, ტექნიკური ეთერზე-
 თოვანი და სხვა კულტურების წარმოება. გარანტირებული
 მოსავლის მისაღებად აუცილებელია ჩატარდეს კულტურე-
 ბის დამატებით წყლით უზრუნველყოფის ღონისძიებები.
 ბოლო წაყინვები დაიკვირვება 28.III-9.IV, პირველი წაყინვე-
 ბი 5.XI-22.XI, უყინვო პერიოდის დღეთა რიცხვი შეადგენს
 238-209 დღეს.



ნახ. 4.2.1 კახეთის რეგიონის აგროკლიმატური ზონები

III-ზონა მოიცავს შედარებით მცირე ტერიტორიას. ვრცელდება ყვარლისა და ლაგოდეხის რაიონების ჩრდი-
 ლოეთით. ზონა მდებარეობს 500-დან 900 მ სიმაღლემდე
 (ზღ. დონიდან). აქტიურ ტემპერატურათა ჯამი შეადგენს
 2000°C-ზე მეტს. ატმოსფერული ნალექების ჯამი თბილ პე-
 რიოდში შეადგენს 550-650 მმ, ჩრდილოეთით ამავე პერიოდ-
 ში 800 მმ-მდე (ყვარელი, ლაგოდეხი). ზონის აგროკლიმა-
 ტური პირობები ხელსაყრელია მემარცვლეობის (საშემოდ-
 გომო ხორბალი, ქერი, ჭვავი, შვრია) მევენახეობის (საად-
 რეო ჯიშები), მეხილეობის, მებოსტნეობის, მეცხოველეობის
 საკვები ძირხვევნების („კუუზიკუ“, „ესკო“), სათიბ-საძოვრე-

ბის განვითარებისათვის. ბოლო წაყინვები მოცემულ ზონაში დაიკვირვება საშუალოდ 6.IV-17.IV, პირველი წაყინვები დაიკვირვება საშუალოდ 23.X-30.X. უყინვო პერიოდის ხანგრძლივობა შეადგენს 222 დღეს.

IV-ზონა ვრცელდება ახმეტის სამხრეთ-დასავლეთით და ჩრდილოეთით, ასევე ვრცელდება ყვარლის და ლაგოდეხის რაიონების ჩრდილოეთით. ზონა მდებარეობს 600 მ-დან 1000 მ სიმაღლემდე (ზღ. დონიდან). აქტიურ ტემპერატურათა ჯამში 1000°C-ზე მეტია. ატმოსფერული ნალექები თბილ პერიოდში შეადგენს 650-700 მმ. მოცემული ზონაში აქტიურ ტემპერატურათა ჯამის სიმცირის გამო, შესაძლებელია მხოლოდ მეხილეობის (საადრეო ჯიშები), მებოსტნეობის, ხორბლეულიდან შვრიის და ქერის წარმოება. შესაძლებელია მეცხოველეობის საკვები ძირხველების, სათიბ-საძოვრების განვითარება. ბოლო წაყინვები დაიკვირვება 9.IV-20.IV, პირველი წაყინვები 21.X-29.X. უყინვო პერიოდის ხანგრძლივობა შეადგენს 221-183 დღეს.

V-ზონა ვრცელდება შედარებით დიდ ტერიტორიაზე. იგი ვრცელდება ახმეტის რაიონის ჩრდილოეთ და ვიწრო ზოლით ყვარლის და ლაგოდეხის ჩრდილოეთ ნაწილში. ზონა მდებარეობს 700 მ-დან 2000 მ სიმაღლემდე, რეგიონის ჩრდილოეთით (ზღ. დონიდან).

აქტიურ ტემპერატურათა ჯამში 1000°C-ზე ნაკლებია. ატმოსფერული ნალექების წლიური ჯამი 800-1000 მმ შეადგენს. თბილ პერიოდში ნალექების ჯამი 700 მმ-მდეა (ომალო), ხოლო ყვარლის და ლაგოდეხის ჩრდილოეთი 800 მმ და მეტი. ბოლო წაყინვები დაიკვირვება 14.V (ომალო), პირველი წაყინვები 5.X (ომალო). უყინვო პერიოდის ხანგრძლივობა შეადგენს 143 დღეს (ომალო).

მოცემულ ზონაში აქტიურ ტემპერატურათა ჯამის მანევრებლბები აშკარად მცირეა, მრავალი სახის აგროკულტურების წარმოებისათვის. აღნიშნულ ზონაში შესაძლებელია ბოსტნეული კულტურების წარმოება. ასევე მეცხოველეობის საკვები ძირხვენა კულტურების და სათიბ-საძოვრების განვითარება.

გამოყოფილი აგროკლიმატური ზონების მიხედვით, აგროკლიმატური პარამეტრების გათვალისწინება შესაძლებ-

ლობას იძლევა ფერმერებმა აწარმოონ აგროკულტურები, მათთვის ხელსაყრელ პირობებში, რაც მაღალხარისხიანი და უხვი მოსავლის მიღების წინაპირობაა.

თესვის ვადები. კახეთის რეგიონის აგროკლიმატური რესურსების ანალიზიდან გამომდინარე, ცხრილში 4.2.1 მოცემულია ზოგიერთი აგროკულტურის თესვისა და ძირითად ფაზათა დადგომის ვადები.

ცხრილი 4.2.1 აგროკულტურების თესვისა და ძირითად ფაზათა დადგომის ვადები

კულტურა	საშემოდგომო ხორბალი	სიმინდი	მხესუმზირა	კარტოფილი
ჯიში	„ბეზოსტაია-1“	„აჯამეთის თეთრი“, „ნახევარკილა თეთრი“	„იიმკ-1646“	„ღორხი“
თესვა	ოქტომბრის II დეკადის დასაწყისი	აპრილის III დეკადის დასაწყისი	აპრილის I დეკადის დასაწყისი	აპრილის II დეკადის შუა რიცხვები
აღმოცენება	ოქტომბრის III დეკადის ბოლო	მაისის II დეკადის დასაწყისი	აპრილის III დეკადის ბოლო	მაისის II დეკადის შუა რიცხვები
დაბუჩქება	დეკემბრის II დეკადის დასაწყისი	–	–	–
ვეგეტაციის განახლება	მარტის I დეკადის ბოლო	–	–	–
ცვილისებრი სიმწიფე	ივნისის III დეკადა	სექტემბრის I დეკ. დასაწ. II დეკ. შუა რიცხვები	აგვისტოს III დეკადის დასაწყისი	აგვისტოს III დეკადის შუა რიცხვ. (ფონების ჰკნობა)

მარცვლეული კულტურებიდან საშემოდგომო ხორბალს ახასიათებს გარკვეული თავისებურებანი. იგი უნდა დაითესოს ხელსაყრელ აგრომეტეოროლოგიურ პირობებში-შემოდგომაზე, რაც უზრუნველყოფს მის დროულ და მასიურ აღმოცენებას. ასეთ შემთხვევაში, ზამთარის პერიოდის დადგომისათვის მცენარეებს უნდა ჰქონდეს 4-6 ზრდასრული ფოთოლი. აღნიშნულ ფაზაში მცენარეებს ექნებათ საკმარისი კარგად განვითარებული მიწისზედა ნაწილი და ფესვთა სისტემა, რომლებიც შეიცავენ საჭირო რაოდენობით პლასტიკურ ნივთიერებებს, რაც მცენარეებს ეხმარება გამოზამთრებაში. წინააღმდეგ შემთხვევაში, შემოდგომაზე თუ მცე-

ნარეები განუვითარებელია (1-2ფოთოლი) ან ზედმეტად განვითარებულია (8-9ფოთოლი), მაშინ ისინი არამდგრადი არიან ზამთრის პირობებისადმი. ადრე დათესილ საშემოდგომო ხორბალს მეტად უნვითარდება ნაზარდები, რის გამოც უქვეითდება ყინვაგამძლეობა, ცუდად იზამთრებს, რაც ამცირებს მოსავალს (1.0-1.2 ტ/ჰა). მოსავალს ამცირებს აგრეთვე გვიანი თესვა, რადგან მცენარეები ზამთრის პირობებში შედიან სუსტად განვითარებულნი და ცუდად იზამთრებენ. გამომდინარე აქედან ხორბლის ნათესების ნაწილი იღუპება, პლანტაციები მეჩხერდება და გაზაფხულზე ვეგეტაციის დაწყებისას დარჩენილი ნათესები ნორმალურად ვერ ვითარდებიან. ამიტომ საშემოდგომო ხორბლის კულტურის თესვის ოპტიმალური ვადების დადგენას პრაქტიკული მნიშვნელობა აქვს საწარმოო თვალსაზრისით.

შემოდგომაზე, მოცემული კულტურის წარმოების რაიონებში, ოპტიმალური თესვის ვადების დაცვის გარეშე, სასოფლო-სამეურნეო სავარგულების ფართობების საერთო რაოდენობიდან ითესება დაახლოებით 50-60%, რაც გავლენას ახდენს მცენარეების გამოზამთრებასა და მოსავალზე.

დადგენილია საშემოდგომო ხორბლის კულტურის თესვის ოპტიმალური ვადები. კერძოდ, ჰაერის საშუალო დღეღამური ტემპერატურის 15°C-ის ქვევით გადასვლის თარიღის დადგომიდან 10 დღის გასვლის შემდეგ, ამ დროს ტემპერატურა (16-17°C) ნიადაგის 5 სმ სიღრმეში სრულიად უზრუნველყოფს ჩათესილი თესვების გაღივებას და ერთდროულ აღმოცენებას, ასევე მიწისზედა ნაწილების განვითარებას. ჰაერის ტემპერატურის 15°C-ის ქვევით გადასვლის თარიღიდან 10 დღის შემდეგ, შესაძლებელია კონკრეტულ ვადაში ჩატარდეს აღნიშნული ღონისძიება (თესვა).

საშემოდგომო ხორბლის კულტურის თესვის კონკრეტული ვადების დადგენისათვის მოცემულია რეგრესიის განტოლება:

$$U = -0.0368h + 84.457 \quad (4.2.1.)$$

განტოლებაში U ჰაერის ტემპერატურის 15°C-ის ქვევით გადასვლის თარიღია (ანუ დღეთა რიცხვი 1 აგვისტოდან ტემპერატურის 15°C-ის ქვევით გადასვლის თარიღამდე), h- ზღვის დონიდან სიმაღლე.

მაგალითისათვის, შეიძლება განისაზღვროს დედოფლის-
წყაროს რაიონში ტემპერატურის 15°C -ის ქვევით გადასვლის
თარიღი. მოცემული რაიონი ზღვის დონიდან 800 მ სიმაღ-
ლეზე მდებარეობს. ამ რიცხვის ჩასმით განტოლებაში h -ის
მაგივრად და მათემატიკური მოქმედების შესრულებით მი-
იღება 24 დღეთა რიცხვი. მიღებული დღეთა რიცხვი გადა-
ითვლება 1 აგვისტოდან და 15°C -ის ქვევით გადასვლის თა-
რილის დადგომა იქნება 24 სექტემბერს. ამ თარიღიდან 10
დღის შემდეგ რეკომენდებულია საშემოდგომო ხორბლის
ჩათესვა ნიადაგში.

4.3. აგროკულტურებისათვის ამინდის არახელსაყრელი მოვლე- ნები

აგროკულტურებისათვის საშიში მეტეოროლოგიური მოვ-
ლენებიდან არახელსაყრელია წაყინვები, რომელსაც დიდი
ეკონომიკური ზარალის მოტანა შეუძლია. გაზაფხულის
გვიანი და შემოდგომის ადრეული წაყინვები, რომელიც შე-
იძლება ხშირად განმეორდეს, აზიანებს აგროკულტურების
(ვაზი, ბოსტნეული, ბაღჩეული, თამბაქოს ჩითილები და
სხვა) ყვავილებს, ახალგაზრდა, ნორჩ ყლორტებს და ფოთ-
ლებს. ამიტომ, საჭიროა გათვალისწინებული იქნას მოსა-
ლოდნელი წაყინვები და ეფექტურად იქნას გამოყენებული
წაყინვების წინააღმდეგ ბრძოლის ღონისძიებები (კვამლის
გამოყენება, ნიადაგის მორწყვით ნამის წერტილის აწვევა და
ა.შ.), რომლებიც ხელს უწყობს ტემპერატურის მომატებას.

გაზაფხულის და შემოდგომის წაყინვების ინტენსიურობ-
ის ცვლილებაზე გავლენას ახდენს რელიეფი. მაგალითად,
მთის მწვერვალებზე და ზედა ფერდობების ნაწილზე წაყინ-
ვების ინტენსიურობა იცვლება -2° -მდე, ბორცვიან ადგილებ-
ში -1.5°C , -4°C -მდე, მთის ხეობებში -2°C , -5°C -მდე, ხოლო ქვა-
ბულ ადგილებში -4°C , -6°C -მდე.

გაზაფხულზე, ჰაერის წაყინვებთან შედარებით, ნიადაგის
ზედაპირზე წაყინვები შეიძლება შეწყდეს 7-10, ხოლო ზო-
გიერთ ადგილებში 15 და მეტი დღით გვიან. დაბლობ ადგი-
ლებში წაყინვები წყდება გვიან, ვიდრე ღია და შემადლე-
ბულ ადგილებში.

შემოდგომის წაყინებისაგან აგროკულტურები ნაკლები ხარისხით ზიანდებიან, რადგან ასეთი წაყინვები ემთხვევა ვეგეტაციის დასრულებას. შემოდგომის ნაადრევი წაყინვებისაგან (-2°C , -4°C) შეიძლება დაზიანდეს ბალახეული (პომიდორის ნაყოფები, კიტრი), ზოგიერთი ბოსტნეული კულტურა და სხვა.

კახეთის რეგიონში წაყინვების განმეორადობა არც, თუ ისე იშვიათია. ივრის ზეგანზე (გარე კახეთი) ბოლო წაყინვები მოსალოდნელია საშუალოდ 4-9.IV, გამონაკლისია შირაქი, სადაც უკანასკნელი წაყინვები დაიკვირვება შედარებით გვიან, საშუალოდ 27.IV, ხოლო ყველაზე ადრე აღნიშნულია 9.IV, ყველაზე გვიან 22.V. რაც შეეხება პირველ წაყინვებს ივრის ზეგანზე, დაიკვირვება საშუალოდ 4-15.XI. იგი შირაქში აღინიშნება საშუალოდ 20.X, ყველაზე ადრე 19.IX, ხოლო ყველაზე გვიან 17.XI, დედოფლისწყაროში დაიკვირვება საშუალოდ 5.XI.

შიგა კახეთის ბარზე ბოლო წაყინვები შედარებით ადრე წყდება 24-30.III, ყველაზე ადრე წყდება 15-20.II, ხოლო ყველაზე გვიან 10-18.IV. გურჯაანში წყდება საშუალოდ 24.III, ყვარელში 26.III, თელავში 30.III, ლაგოდეხში 25.III. პირველი წაყინვები შიგნით კახეთის ბარზე მოსალოდნელია 13-25.XI, ყველაზე გვიან 5.XII-დან 25.XII-მდე. გურჯაანში დაიკვირვება საშუალოდ 25.XI, ყვარელში 21.XI, თელავში 19.XI, ლაგოდეხში 23.XI.

მოცემულ რეგიონში უყინვო პერიოდის ხანგრძლივობა (დღე) ყველაზე მეტია გურჯაანში და ლაგოდეხში 245-242 დღე, შესაბამისად, თელავში და ყვარელში 233-239 დღე, შესაბამისად, ყველაზე ნაკლები 222-209 დღე საგარეჯოსა და დედოფლისწყაროში, შესაბამისად. გამომდინარე აქედან, რეგიონის ტერიტორიაზე უყინვო პერიოდის ხანგრძლივობის მერყეობა, რაიონების მიხედვით ეს სხვაობა გურჯაანსა და საგარეჯოს შორის შეადგენს 23 დღეს, ლაგოდეხსა და დედოფლისწყაროს შორის 33 დღეს. მაშასადამე განხილული რაიონები უყინვო პერიოდის ხანგრძლივობით დიდად არ განსხვავდებიან ერთმანეთისაგან, რაც სავეგეტაციო პერიოდში სრულიად აკმაყოფილებს აგროკულტურების ზრდა-განვითარებას და მაღალ პროდუქტიულობას [მელაძე გ., თუთარაშვილი მ., მელაძე მ., 2007].

რეგიონის რაიონებში ზღვის დონიდან სხვადასხვა სიმაღლეებზე, წაყინვების თარიღების დადგომის განსაზღვრისათვის, მრავალწლიური მეტეოროლოგიური დაკვირვებათა მასალების ანალიზისა და სტატისტიკის მათემატიკური მეთოდების გამოყენებით, დამუშავებულია და გამოვლენილია მჭიდრო კორელაციური კავშირები წაყინვების თარიღებსა და ზღვის დონიდან სიმაღლეებს შორის (ვერტიკალური ზონალობის მიხედვით). დამყარებული კორელაციური კავშირები შეადგენს: $r=-0.75-0.95$. ამ კავშირებიდან გამომდინარე შედგენილია რეგრესიის განტოლებები:

$$n=0.027h+52 \quad (4.3.1.) \text{ ბოლო წაყინვებისათვის,}$$

$$n=-0.018h+100 \quad (4.3.2.) \text{ პირველი წაყინვებისათვის.}$$

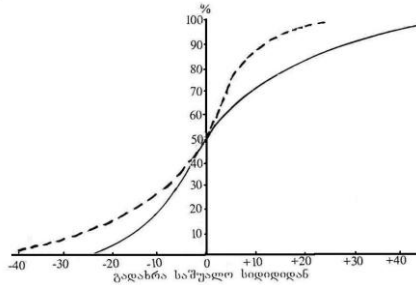
განტოლებებში n -წაყინვების თარიღია (დღეთა რიცხვი 1-თებერვლიდან ბოლო წაყინვების თარიღის დადგომამდე, ხოლო 1-აგვისტოდან პირველი წაყინვების თარიღის დადგომამდე), h -ადგილის სიმაღლე ზღვის დონიდან (მ-ში). განტოლებების გამოყენება მარტივია. იგი სოფლის მეურნეობის სპეციალისტებმა, ფერმერებმა და სხვა დაინტერესებულმა პირებმა შეიძლება გამოიყენონ რეგიონის ტერიტორიის ნებისმიერ სიმაღლეზე წაყინვების (ბოლო და პირველი) დადგომის თარიღების განსაზღვრისათვის.

რეგიონში შემავალი რაიონებისათვის, შედგენილია მოსალოდნელი წაყინვების (ბოლო და პირველი) ალბათობის თარიღის განსაზღვრის მრუდები (ნახაზი 4.3.1).

მრუდზე წაყინვების განსაზღვრისათვის, საჭიროა რაიონების მიხედვით წაყინვების საშუალო თარიღების ცოდნა. ასევე, შეიძლება გამოყენებული იქნას ბოლო და პირველი წაყინვების განსაზღვრის განტოლებებიდან (4.3.1.), (4.3.2.), მიღებული თარიღები.

დაუშვათ, გვაინტერესებს ბოლო წაყინვის თარიღი 25.IV და მისი ალბათობა პროცენტებში. ამისათვის ნახაზის (4.3.1) აბსცისთა ღერძზე 0-დან მარჯვნივ, სადაც აღნიშნულია +10 გადახრა ანუ სხვაობა 15 აპრილსა და 25 აპრილს შორის (+10), აღვმართავთ მართობს ბოლო წაყინვის მრუდის გადაკვეთამდე, რომლის წერტილში ჰორიზონტალურად მარცხნივ, ორდინატის ღერძზე ვპოულობთ 70% ალბათობას. ეს ნიშნავს, რომ ბოლო წაყინვა აღნიშნული პროცენტით მოსა-

ლოდნელია 25 აპრილს. ანალოგიურად, განისაზღვრება პირველი წაყინვების მოსალოდნელი თარიღები.



ნახ. 4.3.1 ბოლო (-) და პირველი (-----) წაყინვების ალბათობის მრუდები (%)

რეგიონის ტერიტორიის აგროკლიმატური რესურსების შეფასებისა და მისი ეფექტურად გამოყენების მიზნით შესაძლებელია განისაზღვროს უყინვო პერიოდის ხანგრძლივობა (დღე), რომელიც მჭიდრო კორელაციურ კავშირშია ზღვის დონიდან სიმაღლესთან ($r=-0.91$). ამ კავშირიდან გამომდინარე, შედგენილია რეგრესიის განტოლება უყინვო პერიოდის ხანგრძლივობის განსაზღვრისათვის:

$$n=0.046h+229 \quad (4.3.3.)$$

განტოლებაში n უყინვო პერიოდის ხანგრძლივობაა (დღეებში), h -ზღვის დონიდან ადგილის სიმაღლე (მ-ში).

რეგრესიის განტოლებით უყინვო პერიოდის ხანგრძლივობა, შესაძლებელია განისაზღვროს რეგიონის ნებისმიერ ტერიტორიაზე და სიმაღლეზე.

მოცემული განტოლებებით (4.3.1.,4.3.2.,4.3.3.) განისაზღვრება წაყინვების დადგომის თარიღები და გამოვლინდება მოცემულ ტერიტორიაზე წაყინვის საშიში ადგილები. ასევე, შესაძლებელია უყინვო პერიოდის ხანგრძლივობის (დღეებში) განსაზღვრა და ტერიტორიის შეფასება შესაბამისი აგროკულტურების გასაფრცელებლად.

საშიში მეტეოროლოგიური მოვლენებიდან გასათვალისწინებელია ძლიერი ქარები (≥ 15 მ/წმ და მეტი), რომელიც უარყოფითად მოქმედებს მცენარეებზე, აზიანებს მათ მექანიკურად, ახდენს ნათესების სწრაფად გამოქარვას, აძლიერებს ნიადაგიდან ტენის აორთქლებას და ა.შ.

სოფლის მეურნეობისათვის ზომიერი ქარი (4-5 მ/წმ) მნიშვნელოვანი აგროკლიმატური რესურსია. კერძოდ, გაზაფხულზე მნიშვნელოვან როლს ასრულებს აგროკულტურების ყვავილების დამტკვერიანების პროცესში, პლანტაციებიდან ჭარბი ტენის დროულად აორთქლებაში.

ცხრილში 4.3.1 მოყვანილია კახეთის რეგიონში შემავალი რაიონებისათვის, თბილ პერიოდში ძლიერ ქარიან (≥ 15 მ/წმ) დღეთა რიცხვი.

ცხრილი 4.3.1 ძლიერ ქარიან (≥ 15 მ/წმ) დღეთა რიცხვი სავეგეტაციო პერიოდში

მეტეო-პუნქტი	IV	V	VI	VII	VIII	IX	X
თელავი	1.4	0.9	0.8	0.4	0.4	0.8	1.8
ყვარელი	3.0	3.0	4.2	1.5	2.1	2.4	2.3
ლაგოდეხი	0.5	1.1	0.7	0.4	0.3	0.4	0.2
საგარეჯო	1.0	1.3	0.5	0.6	0.6	0.8	1.6
შირაქი	0.5	0.3	0.1	0.2	0.2	0.1	0.2
ახმეტა	1.1	0.5	0.4	0.2	0.6	0.7	0.5

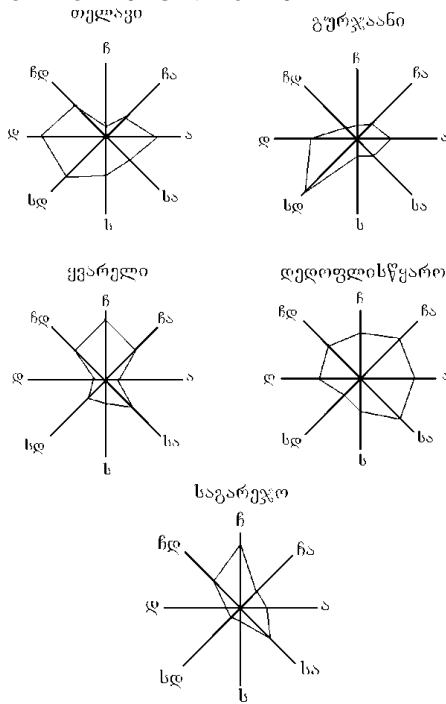
ცხრილის ანალიზი გვიჩვენებს, რომ ივრის ზეგანზე საგარეჯოს მეტეოროლოგიური პუნქტის მონაცემებით, თბილ პერიოდში ძლიერ ქარიან (≥ 15 მ/წმ) დღეთა რიცხვი შეადგენს 6.4, თელავში 6.5, ყველაზე მეტია ყვარელში 18.5, ხოლო ყველაზე ნაკლები შირაქში 1.6. თვეების მიხედვით, ძლიერ ქარიან (≥ 15 მ/წმ) დღეთა რიცხვი მეტია ყვარელში, ხოლო ნაკლები შირაქში.

კახეთის რეგიონის ტერიტორიაზე, ძირითადად ადგილი აქვს მთა-ბარის ქარებს, რომლებიც დამოკიდებულია ფიზიკურ-გეოგრაფიულ პირობებზე. მაგალითად, ქარი გააქტიურებას იწყებს ყველგან, დაახლოებით 10-20 საათზე და წყვეტს ქროლას 16-18 საათზე. დღელამის დანარჩენ დროში ქარიან მთის ქარები. აღნიშნული ქარები აშკარად გამოხატულია გაზაფხულზე და ზაფხულში.

ზემოგანხილულიდან გამომდინარე, ძლიერ ქარიან ტერიტორიებზე საჭიროა გაშენდეს ქარსაფარი ზოლები, რომლებიც შეასუსტებენ მათ მოქმედებას.

ნახაზზე 4.3.2 მოყვანილია გაბატონებული ქარების განმეორადობის მიმართულებები თბილ პერიოდში.

ნახაზიდან ჩანს, რომ გაბატონებული ქარების მიმართულებების განმეორადობა რაიონების მიხედვით განსხვავებულია. კერძოდ, თელავის რაიონის ტერიტორიაზე ძირითადად გაბატონებულია სამხრეთ-დასავლეთის და დასავლეთის ქარები, გურჯაანში აშკარად გამოკვეთილია სამხრეთ-დასავლეთის მიმართულების გაბატონებული ქარი, ყვარელში და საგარეჯოში ჩრდილოეთის მიმართულების ქარები, ხოლო დედოფლისწყაროში თითქმის ერთნაირად დაიკვირვება ჩრდილო-აღმოსავლეთის, აღმოსავლეთის და სამხრეთ-აღმოსავლეთის გაბატონებული ქარების მიმართულებები.



ნახ. 4.3.2 ქარების მიმართულების განმეორადობა (%)
თბილ პერიოდში

სოფლის მეურნეობისათვის ამინდის ყველაზე სახიფათო მეტეოროლოგიურ მოვლენას სექცვა წარმოადგენს. იგი აგროკულტურებს (მარცვლეული, ბოსტნეული, ბალჩეული, ვაზი, ხეხილოვანები და სხვა) მნიშვნელოვან ზიანს აყენებს - ამტვრევს ნორჩ ყლორტებს, ტოტებს, ნაყოფებს, აზიანებს

ფოთლებს და სხვა. სეტყვის შედეგად დაზიანებული მცენარის ნაყოფები და სხვა ორგანოები ნაკლებად რეზისტენტულია დაავადებებისა და მავნებლების მიმართ, რაც ძლიერ ამცირებს მოსავალს და მის ხარისხს.

კახეთის რეგიონის ტერიტორიაზე სეტყვიანობის მოვლენა არ არის იშვიათობა. ამიტომ ფერმერებისა და კერძო სექტორის მიწათმოქმედთათვის, გასათვალისწინებელია სეტყვიან დღეთა რიცხვის ცოდნა. მაგალითად, კახეთში გაზაფხულის დასაწყისში (მარტი) სეტყვიანობის მოვლენები იშვიათია. იგი გახშირებას იწყებს თანდათან და გაზაფხულის სეზონზე სეტყვიან დღეთა რიცხვის საერთო რაოდენობამ შეიძლება 5-6 დღე შეადგინოს. სეტყვის მოვლენები ზაფხულშიც დაიკვირვება, თუმცა ნაკლებად (3-4-ჯერ), შემოდგომაზე კიდევ უფრო ნაკლებია (2-3 შემთხვევა). კახეთში სეტყვას დიდი ზარალი მოაქვს სოფლის მეურნეობისათვის. აღნიშნულ რეგიონში სეტყვა ძირითადად დაიკვირვება აპრილიდან სექტემბრის ჩათვლით, ცალკეულ შემთხვევებს აღვილი აქვს მარტის და ოქტომბრის თვეებში. სეტყვიანობის დღეთა მეტი რიცხვია მაის-ივნისში, მაქსიმუმი კი მოდის მაისში, კახეთის თითქმის ყველა რაიონში. ამ დროს მოსალოდნელია დაახლოებით 60% ვაზის დაზიანება კვირტების გახსნისა და ყვავილობის ფაზის პერიოდში.

კახეთის რეგიონში, რაიონების მიხედვით 10 წუთზე ნაკლები ხანგრძლივობის სეტყვა, სეტყვიანობის ყველა შემთხვევის 50-80% შეადგენს, 11-დან 20 წუთამდე ხანგრძლივობის 20-40%, ხოლო 30 წუთამდე 5-10% (დედოფლისწყარო, საგარეჯო, სიღნაღი). მნიშვნელოვანია, აგრეთვე რეგიონის ტერიტორიაზე სეტყვის მოსვლის დღელამური მსვლელობის განმეორადობა (%-ში), საათების მიხედვით. დღელამეში ყველაზე მეტი სეტყვის მოსვლის შემთხვევათა რიცხვი დაიკვირვება 12 საათიდან 21 საათამდე (80%-დან თითქმის 100%-მდე), მინიმუმი 21-დან 12 საათამდე, რაც აიხსნება ატმოსფეროს ჰაერის მასების არასაკმარისი გათბობით და მის შედეგად კონვექტიური აღმავალი დენების არარსებობით.

აღნიშნული მონაცემები, სასურველია გაითვალისწინონ ფერმერებმა და კერძო სექტორის მიწათმოქმედმა პირებმა, რათა დაიცვან განსაკუთრებით გაზაფხულზე ვაზი და სხვა კულტურები, შედარებით მცირე ფართობებზე სეტყვის ზე-

მოქმედებისაგან. შესაძლებლობის ფარგლებში უნდა გამოიყენონ ბაღეებით გადახურვის მეთოდი.

აგროკულტურებისათვის არახელსაყრელ მოვლენას წარმოადგენს, აგრეთვე გვაღვა. იგი ცხელი ზაფხულის პირობებში, იშვიათი და მეტად მცირე დღელამური ნალექებისას (5 მმ-მდე) ქმნის არასაკმარისი ტენიანობის პირობებს, განსაკუთრებით ერთწლიანი კულტურების ზრდა-განვითარებისათვის, ასევე უარყოფით გავლენას ახდენს მრავალწლიან კულტურებზე. მცენარეები განსაკუთრებულ მოთხოვნას უყენებენ ნიადაგის ტენს. აღნიშნულთან დაკავშირებით ცხრილში 4.3.2 მოყვანილია გვაღვიან დღეთა რიცხვი თბილ პერიოდში.

ცხრილი 4.3.2 სავეგეტაციო პერიოდში გვაღვების მახასიათებლები

მეტეო-პუნქტი	გვაღვის ტიპები	საშუალო დღეთა რიცხვი გვაღვებით			
		საშუალო	ყველაზე მეტი	ყველაზე ნაკლები	ალბათ. (%)
თელავი	სუსტი	39	62	12	100
	საშ.	11	33	0	95
	ინტენსიური	2	10	0	60
	ძლიერ	0.1	1	0	5
შირაქი	სუსტი	46	73	16	100
	საშ.	12	45	2	100
	ინტენსიური	2	8	0	55
	ძლიერ	0	0	0	0

ცხრილის მიხედვით, სუსტი და საშუალო ინტენსივობით გვაღვები რეგიონის ტერიტორიაზე ყოველწლიურადაა მოსალოდნელი, მაგრამ არის შემთხვევა, როცა ინტენსიური გვაღვა აღინიშნება 2 დღე. ცხდაია, აღნიშნული გვაღვების შემთხვევები არ არის კატასტროფიული, მაგრამ იგი გასათვალისწინებელია კულტურების ნორმალური ზრდა-განვითარებისა და მოსავლის შენარჩუნებისათვის. კერძოდ, უნდა განხორციელდეს ნიადაგის მორწყვა და კულტივაცია.

4.4 აგრომეტეოროლოგიური პროგნოზები

აგრომეტეოროლოგიური პროგნოზები საშუალებას იძლევა ეფექტურად იქნას გამოყენებული ამინდის პირობები, ოპტიმალურ ვადებში ჩატარდეს შესაბამისი აგროტექნიკური ღონისძიებები. პროგნოზების შედგენისათვის საჭიროა ინ-

ფორმაცია მონაცემებზე, ე.ი. საწყის მახასიათებლებზე (პრექტორებზე). ძირითადი დაკვირვებები შემდეგ მახასიათებლებზეა: ჰაერის ტემპერატურა, ატმოსფერული ნალექები, ნიადაგის პროდუქტიული ტენი (0-20, 0-30სმ სიღრმეზე), მცენარეთა საშუალო სიმაღლე და სხვა. აღნიშნული მახასიათებლები გამოიყენება პროგნოზის შედგენისათვის.

აგრომეტეოროლოგიური პროგნოზების შედგენისას ვალისწინებული უნდა იქნას აგროკულტურების სხვადასხვა ფაზის განვითარებისას, გარემო ფაქტორებისადმი მოთხოვნილება. მაგალითად, საშემოდგომო ხორბლისათვის კრიტიკული პერიოდია მიღში გამოსვლის ფაზიდან-ყვავილობის ფაზამდე, რომელიც ემთხვევა აპრილ-მაისის თვეებს და დაკავშირებულია ტენზე მცენარეების დიდ მოთხოვნილებასთან. რადგან ამ პერიოდში მიმდინარეობს ყვავილებისა და თავთავების ფორმირება. კახეთის რეგიონში, ატმოსფერული ნალექების მოსვლა ემთხვევა აღნიშნული მცენარეთა ფაზების პერიოდს. ამიტომ, საშემოდგომო ხორბლის მოსავლის საპროგნოზოდ უნდა გამოვიყენოთ აპრილ-მაისის ატმოსფერული ნალექების ჯამი (მმ), ≥ 5 მმ ნალექიან დღეთა რიცხვი და ნიადაგში პროდუქტიული ტენის მარაგი (0-20სმ სიღრმეზე). მოგვყავს საშემოდგომო ხორბლის კულტურის საპროგნოზო განტოლება:

$$U=0.28x+0.02y+0.12z+0.41, (4.4.1)$$

სადაც U-საპროგნოზო მოსავალია (ტ/ჰა), x-ნიადაგში (0-20 სმ სიღრმეზე) პროდუქტიული ტენის მარაგის ჯამი (მმ-ში), y-ატმოსფერული ნალექების ჯამი (მმ), z- ≥ 5 მმ ატმოსფერული ნალექების დღეთა რიცხვი.

აღნიშნულ ფაქტორებზე (პრექტორებზე) აპრილ-მაისის თვეების არსებული მონაცემების განტოლებაში (4.4.1) ჩასმით განისაზღვრება საპროგნოზო მოსავალი. რეგიონისათვის განტოლების საშუალო კვადრატული ცდომილებაა $S_u = \pm 0.3$ (ტ/ჰა), საერთო მრავლობითი კორელაციის კოეფიციენტი $R=0.71$. პროგნოზი უნდა შედგეს ივნისის პირველ პენტადაში. პროგნოზის წინასწარობა 1-1.5 თვეა.

მოცემული პროგნოზის მეთოდი მოგვცემს მოსალოდნელი მოსავლის ზუსტი გაანგარიშების სრულ გარანტიას, თუ პროგნოზის შედგენამდე, პირველ რიგში გათვალისწინე-

ბულია საშემოდგომო ხორბლის გამოზამთრების შემდეგ მცენარეების საერთო მდგომარეობა, ნიადაგში სასუქის დროულად შეტანა და სხვა.

სიმინდის კულტურის მოსავლის განსაზღვრისათვის გამოიყენება შემდეგი საპროგნოზო განტოლება:

$$U=4.438x-0.626y-5.052z+158.532 \quad (4.4.2.)$$

სადაც U -საპროგნოზო მოსავალია (ტ/ჰა), x -VI-VII თვეებში ატმოსფერული ნალექების ჯამი (მმ), $y \geq 5$ მმ ნალექიან დღეთა რიცხვი (იმავე პერიოდში), z -ნიადაგის 20სმ სიღრმეზე პროდუქტიული ტენიანობის ჯამი (მმ), VI-VII თვეების პერიოდში. მითითებულ ფაქტორებზე (პრედიქტორებზე) მონაცემების აღება ემთხვევა სიმინდის სამი ფოთლის ფაზიდან საგველას ცოცხის ფაზამდე პერიოდს. საერთო მრავლობითი კორელაციის კოეფიციენტი $R=0.85$. რეგრესიის განტოლების დასაშვები ცდომილება შეადგენს $S_u = \pm 0.25$ (ტ/ჰა). პროგნოზი შედგება აგვისტოს პირველ პენტადაში, მისი წინასწარობა 1.5-2 თვეა.

კარტოფილის კულტურის საპროგნოზო მოსავლის განსაზღვრისათვის მოცემულია რეგრესიის განტოლება (4.4.3.).

$$U=0.2x+2.02y+46, \quad (4.4.3.)$$

განტოლებაში (4.4.2.) U - მოსალოდნელი მოსავალია (ტ/ჰა), x - ივნის-ივლისის თვეების ნალექების ჯამი (მმ), $y \geq 10$ მმ ნალექიან დღეთა რიცხვი (იმავე პერიოდში). განტოლების საშუალო კვადრატული ცდომილება $S_u = \pm 1.0$ (ტ/ჰა), საერთო მრავლობითი კორელაციის კოეფიციენტი $R=0.71$. პროგნოზი შედგება აგვისტოს პირველ პენტადაში. პროგნოზის წინასწარობა 1.5-2 თვეა.

კახეთის რეგიონში მზესუმზირას კულტურა, სადაც ნიადაგურ-კლიმატური პირობები ხელს უწყობს მის ნორმალურ ზრდა-განვითარებას და მაღალი მოსავლის მიღებას (1.4-1.6 ტ/ჰა), შეიძლება ფართოდ გავრცელდეს საწარმოო მიზნით. ცალკეულ წლებში, არახელსაყრელი ამინდის პირობების გამო მოსალოდნელია მოსავლის ძალზე შემცირება. მზესუმზირას ფორმირებაში დიდი როლი აქვს ნიადაგის ტენს. სავეგეტაციო პერიოდში მცენარე არათანაბრად ხარჯავს წყალს. ყვავილობის ფაზა ემთხვევა ივნის-ივლისის თვეებს. გვალვების შემთხვევაში, მის საწყის ეტაპზე ჩასა-

ხული ყვავილების დიდი ნაწილი, განსაკუთრებით კალათის ცენტრალურ ნაწილში არ ყვავილობს. ასეთ შემთხვევაში, საჭიროა მორწყვის და კულტივაციის ჩატარება, რათა მცენარეები სათანადო ტენით იქნას უზრუნველყოფილი.

მზესუმზირასათვის საყვავილეების წარმოქმნისა და ყვავილობის პერიოდი წარმოადგენს მოსავლისათვის გადამწყვეტ ეტაპს. აღნიშნული პერიოდი ემთხვევა ივნის-ივლისის თვეებს, რაც გათვალისწინებულია მზესუმზირას მოსავლის საპროგნოზო განტოლებაში:

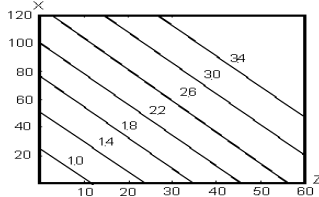
$$U=0.21x+2.12y+1.868z+45 \quad (4.4.4.)$$

სადაც U-საპროგნოზო მოსავალია, x-ატმოსფერული ნალექების ჯამი (მმ), y - ≥ 5 მმ ნალექიან დღეთა რიცხვი, z - ნიადაგში (0-30 სმ სიღრმეზე) პროდუქტიული ტენის მარაგის ჯამი (მმ). აღნიშნული ფაქტორების მიხედვით, ივნის-ივლისის თვის მონაცემების განტოლებაში (4.4.3.) ჩასმით განისაზღვრება მოსალოდნელი მოსავალი (ტ/ჰა).

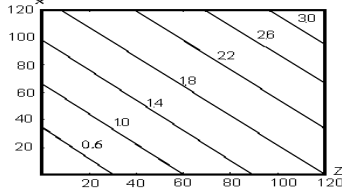
რეგრესიის განტოლებებით (4.4.1.), (4.4.2.) აგებულია საშემოდგომო ხორბლის [მელაძე გ., მელაძე მ., თუთარაშვილი მ.] და სიმინდის კულტურის მოსავლის განსაზღვრის ნომოგრამები. რომლებიც სწრაფად და მარტივად იძლევიან მოსავლის განსაზღვრის საშუალებას, სათანადო მონაცემების (პრედიქტორების) საფუძველზე (ნახაზი 4.4.1, 4.4.2).

ნომოგრამებზე გამოსახულია მხოლოდ სამი ცვლადი სიდიდის კავშირები. აქედან გამომდინარე, ნომოგრამები აგებულია სამი ცვლადი სიდიდისათვის (მოსავლის U, ატმოსფერული ნალექების-x და მცენარეთა სიმაღლის-z, რომელიც ეხება საშემოდგომო ხორბალს, y-ის მუდმივობისას. სიმინდის კულტურას ნაცვლად მცენარეთა სიმაღლისა ეხება ნიადაგის 20სმ სიღრმეში პროდუქტიული ტენის მარაგი, y-ის მუდმივობისას. მეოთხე სიდიდე-y, როგორც მუდმივი გაიანგარიშება შესაბამისი განტოლების შესწორებით, რომელიც უნდა იყოს გათვალისწინებული მოსავლის (U) საბოლოო განსაზღვრისას. მაშასადამე, ნომოგრამები აგებულია U, x, z-ის გაანგარიშებისათვის, y-ის მუდმივობისას. მოყვანილი მასალების მიხედვით, საშემოდგომო ხორბლისათვის y-ის ≥ 5 მმ ატმოსფერული ნალექების დღეთა რიცხვის საშუალო არითმეტიკულია 8, სიმინდისათვის-5.

ნომოგრამებზე დატანილია შესაბამისი კულტურების მოსავლის-U სიდიდეები გრადაციებით. მოსავლის საბოლოო გაანგარიშებისათვის, შედგენილია ≥ 5 მმ ნალექიან დღეთა რიცხვის შესაბამისად მოსავლის (ტ/ჰა) შესწორებები (ცხრილი 4.4.1).



ნახ. 4.4.1 საშემოდგომო ხორბლის მოსავლის (ტ/ჰა) დამოკიდებულება ატმოსფერულ ნალექებზე-x (მმ) და მცენარის სიმაღლეზე-z (სმ), IV-V თვეებში



ნახ. 4.4.2 სიმინდის კულტურის მოსავლის (ტ/ჰა) დამოკიდებულება ატმოსფერულ ნალექებზე-x (მმ) და ნიადაგის (20სმ სიღრმეში) პროდუქტიულ ტენზე-z (მმ), VI-VII თვეებში

ცხრილი 4.4.1 განსაზღვრული მოსავლის შესწორებები (ტ/ჰა)

საშემოდგომო ხორბალი								
5 მმ ნალექიან დღეთა რიცხვი								
4	5	6	7	8	9	10	11	12
გადახრა (ტ/ჰა)								
-0.38	-0.28	-0.19	-0.9	0	0.9	0.19	0.28	0.38
სიმინდი								
≥ 5 მმ ნალექიან დღეთა რიცხვი								
1	2	3	4	5	6	7	8	9
გადახრა (ტ/ჰა)								
-0.25	-0.19	-0.12	-0.06	0	0.06	0.12	0.19	0.25

მაგალითისათვის, მოყვანილია შესაბამისი ნომოგრამიდან (ნახაზი 4.4.2.) სიმინდის კულტურის მოსავლის (ტ/ჰა) განსაზღვრის წესი. დაუშვათ, VI-VII თვეებში მოსულმა ნა-

ღეჭებმა შეადგინა 60მმ, პროდუქტიული ტენის მარაგმა ნი-
ადაგის 20სმ სიღრმეზე - 70მმ, ხოლო ≥ 5 მმ ატმოსფერული
ნალექების დღეთა რიცხვმა 6 დღე, რომელიც 1 დღით მე-
ტია მუდმივაზე ($y=5$). მიღებული მონაცემები (ატმოსფერული
ნალექების და პროდუქტიული ტენის) დაიტანება ნომოგრამაზე და გადაკვეთის წერტილში ვიპოვით 1.9ტ/ჰა. ცხრილში
4.4.1 (განსაზღვრული მოსავლის შესწორებები), სადაც აღ-
ნიშნულია ≥ 5 მმ დღეთა რიცხვი 6, რომელსაც შეესაბამება
გადახრა 0.06ტ/ჰა, დაემატება 1.9ტ/ჰა და მიიღება დაზუსტე-
ბული მოსავალი 1.96ტ/ჰა. იმ შემთხვევაში, თუ ≥ 5 მმ ატმოს-
ფერული ნალექების დღეთა რიცხვი იქნება ნაკლები (4
დღე) მუდმივაზე ($y=5$), მაშინ დააკლდება შესაბამისი 0.06
ტ/ჰა და ზუსტი მოსავალი იქნება 1.84ტ/ჰა-ზე.

თაზი V ამინდის საშიში მოვლენები

5.1. ძლიერი ქარები

ძლიერი ქარების ($v \geq 15$ მ/წმ) რეჟიმული თავისებურებების შესწავლის მიზანით მათზე დაკვირვებები ტარდება რელიეფის სხვადასხვა ელემენტებზე (ხეობებში, ფერდობებზე, ღია მწვერვალებზე და სხვა). კახეთის რეგიონის ძლიერი ქარების დახასიათებისათვის გამოყენებული იქნა მეტეოსადგურებზე ქარების მიმართულებასა და სინქარეზე 70 წლის ხანგრძლივობების დაკვირვებების მასალები.

ძლიერ ქარებზე დაკვირვებების მასალების ანალიზის შედეგად მუშავდება სპეციალური რეკომენდაციები, რომლებსაც დიდი პრაქტიკული მნიშვნელობა აქვს სახალხო მეურნეობის რიგ დარგებში (ქარისმიერ დატვირთვის პარამეტრების გაანგარიშება ინფრასტრუქტურის სხვადასხვა ობიექტზე, ზღვისა და წყალსაცავების სანაპიროზე ტალღების მაქსიმალური სიმაღლის დადგენა, აეროპორტებში საფრენი ბილიკების ოპტიმალური ორიენტაციის შერჩევა ქარის ენერგეტიკული ძრავების მონტაჟისათვის ხელსაყრელი ადგილების დადგენა და სხვ.

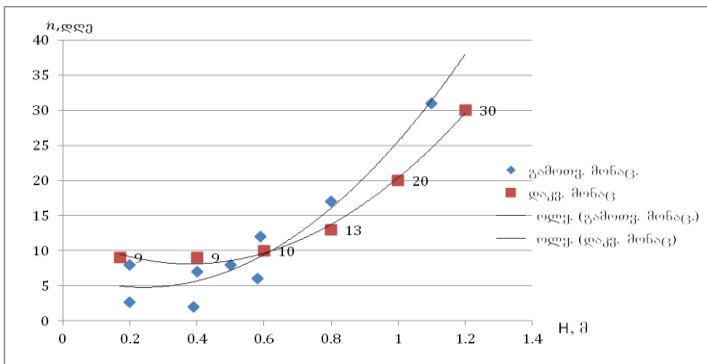
კახეთის ტერიტორიაზე განლაგებული 11 პუნქტისათვის დღეების საშუალო და მაქსიმალური რაოდენობა ძლიერი ქარებით მოცემულია ცხრილ 5.1.1.-ში [55]; საქართველოს სამეცნიერო-გამოყენებითი კლიმატოლოგიური ცნობარი, 2004), როგორც ცხრილიდან ჩანს, ძლიერი ქარებით დღეების საშუალო რაოდენობა წელიწადში მინიმალურია ჯოყოლოში (4 დღე), ლაგოდეხში (4 დღე), ზეგანში (4 დღე) და შირაქში (5 დღე), ნაფარეულში, ახმეტაში და ალაზანზე იგი მერყეობს 9-10 დღის ფარგლებში. დღეების რაოდენობის აბსოლუტური მაქსიმუმი აღნიშნულია თიანეთში (32 დღე), მეორე ადგილზეა ყვარელი (26 დღე), მესამე (19 დღე).

დღეების მაქსიმალური რაოდენობა წელიწადში ძლიერი ქარებით აღწევს თიანეთში 74-ს, ყვარელში 46-ს, საგარეჯოში, თელავში და ნაფარეულში შესაბამისად 35,37 და 39-ს. ამ დახასიათებლის მინიმალური მნიშვნელობები ზეგანში, ლაგოდეხში და ჯოყოლოში შესაბამისად შეადგენს 10, 10 და 13-ს.

წელიწადში ძლიერი ქარებით დღეების საშუალო \bar{n} რაოდენობის ადგილის აბსოლუტურ სიმაღლეზე დამოკიდებულების გრაფიკული სახე მოცემულია ნახ. 5.1.1.-ზე. როგორც ნახ.5.1.1.-დან ჩანს, \bar{n} -ის სიმაღლეზე დამოკიდებულება ანალიზურად შეიძლება წარმოდგენილი იყოს მაჩვენებლიანი ფუნქციის სახით, რადგანაც არგუმენტის და დამოკიდებულის ცვლადის ლოგარითმები ლაგდებიან წრფეზე კოორდინატების სიბრტყეში.

ცხრილი 5.1.1. სხვადასხვა ალბათობის ქარის უდიდესი სიჩქარეები (მ/წმ)

სადგური	ქარის სიჩქარე (მ/წმ) შესაძლო ერთხელ				
	წელიწადში				
	1	5	10	15	20
უოეოლო	12	16	17	19	20
თიანეთი	25	31	33	34	35
ახმეტა	23	29	33	34	35
თელავი	23	29	32	33	34
ლაგოდეხი	11	14	16	17	18
გურჯაანი	20	29	34	37	39
საგარეჯო	27	33	36	38	40
წნორი	21	28	33	35	37
შირაქი	19	23	25	26	26



ნახ. 5.1.1. ძლიერი ქარებით დღეების საშუალო რაოდენობის დამოკიდებულება ადგილის აბსოლუტურ სიმაღლეზე.

დამოკიდებულება 9 სადგურისათვის თიანეთისა და ყვარელის გამოკლებით $n=f(H)$, ანალიზურად წარმოიდგინება

მაჩვენებლიანი $\bar{n}=ab^{Hh}$ ფუნქციის სახით, ანუ $\lg\bar{n}=\lg a+H\lg b$.
 გამოთვლების თანახმად $\lg a=0.4970$, $\lg b=0.1676$ საიდანაც
 ვღებულობთ:

$$\lg\bar{n}=0.4970+0.1676H \quad (5.1.1.)$$

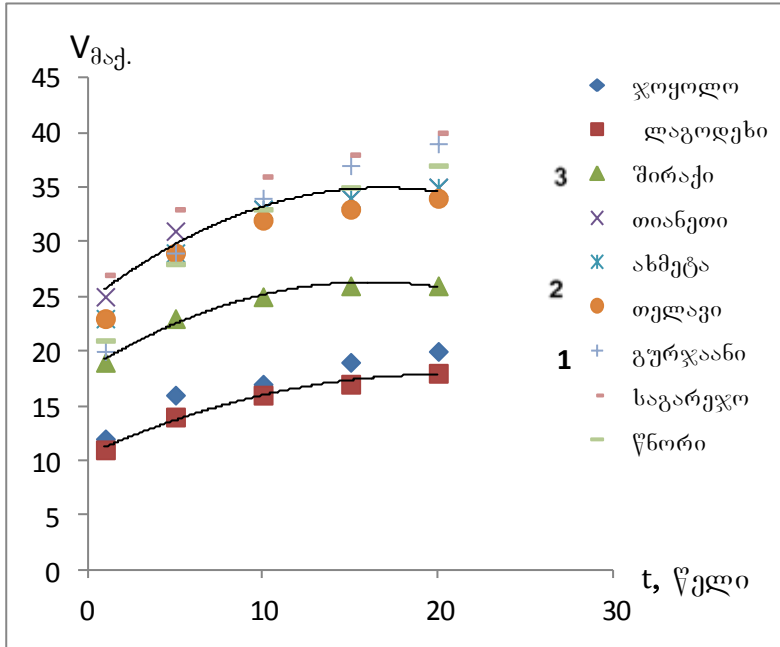
ჩავსვამთ რა (5.1.1.) განტოლებაში აბსოლუტური სიმაღლის
 მმაგივრად მის მნიშვნელობებს, გამოსახულს ნატურალური
 მწკრივის რიცხვებით (1,2,...6) ვპოულობთ $\lg\bar{n}_H$, შემდეგ ლო-
 გარიტმების ცხრილით \bar{n}_H -ის მნიშვნელობებს. როგორც ნახ.

5.1.1.-დან ჩანს დაკვირვებებით მიღებული და განტოლებით
 გამოთვლილი დღეების საშუალო რიცხვი შესაბამისი სიმა-
 ლეებისათვის დამაკმაყოფილებლად ემთხვევა ერთმანეთს.

სადგურზე ჯოყოლო და ლაგოდები ერთი და იგივე
 ალბათობის ქარის უდიდესი სიჩქარეები ახლოა ერთმანეთ-
 თან. (მერყეობენ 11-20მ/წმ-ის საზღვრებში). სადგურებზე ახ-
 მეტა, წნორი, თელავი და გურჯაანი ეს მახასიათებლები
 ასევე ახლოა ერთმანეთთან: განსხვავება ფიქსირებული ალ-
 ბათობის სიჩქარეებში არ აღემატება 2-3მ/წმ-ს. ამ სადგუ-
 რებზე 20 წლის განმავლობაში სიჩქარეები იცვლებიან 20(1
 წელი) –39(20 წელი) მ/წმ-ის საზღვრებში. კახეთის ტერიტო-
 რიაზე ქარის უდიდესი სიჩქარეების მინიმალური მნიშვნე-
 ლობები დაფიქსირებულია სადგურ ჯოყოლოზე: 20წლის
 განმავლობაში ისინი იცვლებიან 12მ/წმ-დან (1 წელი) –20
 მ/წმ-მდე (20 წელი). წნორში და გურჯაანში იდენტური ალ-
 ბათობის ქარის უდიდესი სიჩქარეები ახლოა ერთმანეთთან:
 მათ შორის განსხვავება მერყეობს 1-2მ/წმ-ის ფარგლებში.
 20 წლის განმავლობაში სიჩქარეები იცვლებიან 20-39მ/წმ-ის
 ფარგლებში.

დამოკიდებულების $v_{\max}=f(n)$, სადაც v_{\max} რის ქარის
 შესაძლო მაქსიმალური სიჩქარე 1,5,10,15 და 20 წელიწადში,
 n-კი დროის ინტერვალი ერთი და იგივე ოცი წლის ჩა-
 თვლით, გრაფიკული სახე წარმოდგენილია ნახ.5.1.2.-ზე, რო-
 გორც გრაფიკიდან ჩანს, კახეთის ტერიტორიაზე განლა-
 გებული ყველა 9 პუნქტისათვის, მათ სიმაღლეებში განს-
 ხვავებების მიუხედავად, ეს დამოკიდებულება ანალიზურად
 შეიძლება წარმოდგენილი იქნეს მეორე რიგის პარაბოლის
 სახით: $v_{\max}=a+bn+cn^2$, რომელშიც კოეფიციენტებს a,b,c სად-

გურებისათვის ჯოყოლო, ლაგოდეხი (1 მრუდი), შირაქი (2 მრუდი) და თიანეთი, ახმეტა, თელავი, გურჯაანი, საგარეჯო, წნორი (3 მრუდი) ექნება ერთმანეთისაგან განსხვავებული მნიშვნელობები.



ნახ.5.1.2. ქარის მაქსიმალური სიჩქარე შესაძლო ერთხელ 1.5.10.15 და 20 წლის განმავლობაში 1-ჯოყოლო და ლაგოდეხი, 2-შირაქი, 3-თიანეთი, ახმეტა, თელავი, გურჯაანი, საგარეჯო, წნორი.

ნახ.5.1.2.-ზე წერტილებით და კვადრატებით აღნიშნულია დაკვირვებების მონაცემები, ჯვრებით რეგრესიის განტოლებით (5.1.2.) გამოთვლილი v_{max} -ის მნიშვნელობები სადგურებისათვის ჯოყოლო და ლაგოდეხი.

სადგურებისათვის ჯოყოლო და ლაგოდეხი დამოკიდებულიებას $v_{max}=f(n)$ აქვს შემდეგი ანალიზური სახე:

$$v_{max}=10.0+0.50H+0.01H^2 \quad (5.1.2.)$$

ნახ.5.1.2-ით და რეგრესიის განტოლება (5.1.2.)-ით შესაძლებელია დადგინდეს ქარის უდიდესი სიჩქარის v_{max} სი-

დიდე ნებისმიერი წლისათვის ერთიდან ოცი წლის ჩათვლით. დაკვირვებების მონაცემების ანალიზიდან ჩანს, რომ ძლიერი ქარების არსებობის ალბათობა მაქსიმალური იმ რუმბებისათვის, რომლებზეც აღინიშნება ქარების მაქსიმალური განმეორადობა და პირიქით.

სხვადასხვა მიმართულების ძლიერი ქარების ($v_{\max} \geq 15$ მ/წმ) ალბათობების მნიშვნელობები მოცემულია ცხრილ 5.1.2.-ში.

ცხრილი 5.1.2. ქარის მაქსიმალური v_1 და დაქროლების v_2 სიჩქარე მ/წმ

v	ო მ კ												წელი
	I	II	III	IV	V	VI	VII	VIII	IX	X	XI	XII	
თელავი													
v_1	20	24	20	18	20	17	17	17	18	24	24	24	24
v_2	28	32	26	24	-	21	20	-	19	28	-	26	31
შირაქი													
v_1	24	20	24	21	20	20	19	17	20	20	24	20	24
v_2	28	28	28	24	-	-	-	21	28	25	28	28	28

როგორც ცხრილ 5.1.2.-დან ჩანს, ყვარელში ძლიერი ქარების ალბათობა (14-17მ/წმ) აპრილში ჩრდილო-ქაღმოსავლეთიდან შეადგენს 0.06%, დასავლეთიდან 0.2%-ს, ჩრდილო-აღმოსავლეთიდან 0.1%-ს, ივლისში სამხრეთ-აღმოსავლეთის ქარების ალბათობა ტოლია 0.03%-ისა, ჩრდილო-აღმოსავლეთისა კი 0.07%-ისა, ოქტომბერში დასავლეთის მიმართულების ქარების ალბათობა შეადგენს 0.03%-ს, ჩრდილო-დასავლეთის (18-20მ/წმ) – 0.03%-ს.

თელავში ყვარელთან შედარებით ძლიერი ქარების ალბათობა მეტია. იანვარში ამ სადგურზე ძლიერი ქარების (14-17მ/წმ) ალბათობა შეადგენს 0.03%-ს (ჩ,სა), ხოლო 18-20მ/წმ-ის (სდ, დ, ჩდ-ის მიმართულების) ამ თვეებში შესაბამისად ტოლია 0.03, 0.8 და 0.03%-ისა 0.1(სდ), 0.5(დ) და 0.1(ჩდ)-ისა, ივლისში ამავე სიჩქარის ქარების ალბათობა შეადგენს 0.03 (დ,ჩდ) %. ოქტომბერში 14-17მ/წმ-ის სიჩქარის ქარების ალბათობა შეადგენს 0.03(ა,სა)-ს, ხოლო 18-20მ/წმ-

ის სიჩქარის ქარების ალბათობა ტოლია 0.04(ს), 0.08(სდ), 0.05(დ) და 0.03(ხდ) %-ისა. საგარეჯოში 14-17მ/წმ სიჩქარის ქარებს იანვარში აქვს 0.1%-ის ალბათობა (ხდ), ხოლო 18-20მ/წმ სიჩქარის (ხდ) ქარებს 0.03%. ამ სადგურზე აპრილში, ივლისში და ოქტომბერში 18-20მ/წმ-ის სიჩქარის ჩრდილო-დასავლეთის მიმართულების ქარებს აქვს 0.1, 0.03 და 0.09% ალბათობა.

სადგურ წნორში ძლიერ ქარებს აქვს მხოლოდ სამხრეთ-დასავლეთის, დასავლეთისა და ჩრდილო-დასავლეთის მიმართულებები. გარდა ოქტომბრის თვისა, რომელშიც (14-17მ/წმ სიჩქარის) ჩრდილო-დასავლეთის მიმართულებების ქარებს სიჩქარით 14-17მ/წმ იანვარში აქვს 0.03% ალბათობა, ხოლო აპრილში-20მ/წმ სიჩქარის ქარებს 0.06% ალბათობა.

დასავლეთის მიმართულების 18-20მ/წმ სიჩქარის ქარებს იანვარში და აპრილში აქვს 0.03% ალბათობა, ხოლო 14-17მ/წმ-ის სიჩქარის ქარებს – ივლისში და ოქტომბერში აქვს შესაბამისად 0.03-0.04% ალბათობა. ჩრდილო-დასავლეთის მიმართულებების 18-20მ/წმ სიჩქარის ქარების ალბათობა იანვარში და აპრილში შეადგენს 0.02-0.1%-ს, ხოლო 14-17მ/წმ სიჩქარის ქარების ალბათობა ამ სადგურზე შეადგენს 0.07%-ს.

შირაქში ძლიერი ქარები სიჩქარეებით 18-20 და 21-24მ/წმ აღინიშნება ოქტომბერში-20მ/წმ 0.03% (ჩ), იანვარში-20მ/წმ-0.06% (სდ), 18-20მ/წმ სიჩქარის ქარების ალბათობა შეადგენს შესაბამისად 0.3, 0.07, და 0.07%-ს.

როგორც ცხრილ 5.1.2.-დან ჩანს, საკვლევ რეგიონში ძლიერი ქარების ალბათობა მაქსიმალურია წელიწადის ცივ და მინიმალურია თბილ პერიოდში. მაგალითად, თელავში სამხრეთ-დასავლეთის, დასავლეთისა და ჩრდილო-დასავლეთის მიმართულებებიც ქარები სიჩქარეებით 18-20მ/წმ აღინიშნება იანვარში და ოქტომბერში, მაშინ როდესაც ივლისში ამ სადგურზე აღნიშნული სიჩქარის ქარს ადგილი აქვს სადგურებში წნორი და შირაქი: ამ სადგურებზე ივლისში დაფიქსირდა მხოლოდ დასავლეთის (წნორი) და ჩრდილოეთის (შირაქი) მიმართულების 14-17მ/წმ სიჩქარის ქარები შედაბამისად 0.04 და 0.03% ალბათობით.

როგორც დაკვირვებების მონაცემების ანალიზი გვიჩვენებს ცხრილი 5.1.2. (Научно-прикладной справочник, 1990),

დღეების საშუალო რაოდენობა, ქარის სიჩქარით რომელიც ტოლია ან აღემატება მოცემულ მნიშვნელობას. სადგურ თელავში შეადგენს წელიწადში, 11-ს ($v \geq 15$ მ/წმ) და 2-ს ($v \geq 20$ მ/წმ). შირაქში ამ სიჩქარეებისათვის და 0მ/წმ) შესაბამისად ტოლია 6 და 2-ის თელავში არის სალური სიჩქარე (ფლიუგერით) და დაქროლვისე (ფლიუგერით წელიწადში საშუალოდ 4მწმა 32მწმ შირაქში კი 24მ/წმ და 28მ/წმ-ს.

როგორც ცხრილ 5.1.2.-დან ჩანს, თელავში ქარის მაქსიმალური სიჩქარე წელიწადში იცვლება 17-20მ/წმ-ის, დაქროლვის სიჩქარე კი 19-32მ/წმ-ის ფარგლებში შირაქში ეს მახასიათებლები შესაბამისად იცვლებიან 17-24 და 21-28მ/წმ-ის ფარგლებში.

ქარები, რომლის სიჩქარე აღემატება 30მ/წმ-ს ცნობილია გრიგალური ქარების სახელწოდებით. მონოგრაფიაში (Э. Ш. Элизбарашвили, М. Э. Элизбарашвили, 2012) მოცემულია გრიგალური ქარების მაქსიმალური სიჩქარის სივრცული განაწილების გეოინფორმაციული რუკა, რომელზედაც დადგენილია გრიგალური ქარების სხვადასხვა ინტენსივობის სამი ზონა ($v_{max}=33-42$ მ/წმ, 43-48მ/წმ და 50-58მ/წმ) ამ რუკაზე კახეთის ტერიტორია განეკუთნება პირველ ზონას ($v_{max}=33-42$ მ/წმ) გრიგალური ქარების მოქმედების მინიმალური უარყოფითი ეფექტით. აღსანიშნავია ის გარემოება, რომ ქარების მაქსიმალური სიჩქარეების სიდიდე არსებითად არის დამოკიდებული დაკვირვებების პერიოდის ხანგრძლივობაზე. მაგალითად, ქარის მაქსიმალური სიჩქარე (მ/წმ) შესაძლო 5, 20 და 50 წელიწადში (v_5, v_{20}, v_{50}) სადგურებზე თელავი შეადგენს 21, 25 და 27მ/წმ-ს, ხოლო ლაგოდეხში 23, 26 და 29მ/წმ-ს (Сванидзе, Гагуა, Сухишвили, 1987). თანახმად ცნობარისა თელავში ქარის მაქსიმალური სიჩქარე შესაძლო 5 და 20 წელიწადის განმავლობაში ტოლია 23 და 25 მ/წმ-ისა, ხოლო ლაგოდეხში შესაბამისად 23 და 26მ/წმ-ისა (Научно-прикладной справочник, 1990).

5.2. ქარბუქი

ქარბუქი წარმოადგენს საშიშ მეტეოროლოგიურ მოვლენას, იგი ხელს უშლის ეკონომიკის მთელი რიგი დარგების

ნორმალურ ფუნქციონირებას. მაგალითად, რკინიგზებზე და ავტომაგისტრალებზე ქარბუქის შედეგად წარმოქმნილი ნამქერების მიერ ფერხდება სახმელეთო ტრანსპორტის ყველა სახეობის ნორმალური ექსპლოატაცია. ქარბუქი საფრენი ზოლების მინანქრვით და ჰორიზონტალური ხილვადობის გაუარესებით არღვევს ავიაციის ნორმალური მუშაობის გრაფიკს. ქარბუქს აგრეთვე ზიანი მოაქვს სოფლის მეურნეობის მემცენარეობის და მეცხოველეობის დარგებისათვის. როგორც ცნობილია, თოვლის საფარი იცავს საშემოდგომო ნათესებს გაყინვისაგან იგი ხელს უწყობს, საშემოდგომო ხორბლის ფესვთა სისტემის ნორმალურ განვითარებას, ზამთრის პერიოდში მის მიერ საკვები ნივთიერების გადამუშავებას და ათვისებას არეგულირებს ფესვებში მიმდინარე ბიოქიმიურ პროცესებს, რაც დადებით გავლენას ახდენს ნათესების მოსავლიანობაზე. მაგრამ ქარბუქის შემთხვევაში ადგილი აქვს აგრეთვე საშემოდგომო ხორბლით დაკავებულ ტერიტორიაზე თოვლის საფარის ნორმალური განაწილების რღვევის, ხშირ შემთხვევაში თოვლის საფარისაგან თავისუფალი (მოტიტვლებული) ფართობების გაჩენით, რასაც თან სდევს ამ კულტურის გაყინვა-განადგურება. ზამთრის საძოვრებზე ქარბუქის შედეგად თოვლის საფარის გადანაწილების და ნამქერების წარმოქმნის პროცესი ხელს უშლის პირუტყვის ნორმალურ გამოზამთრებას. მთიან და მაღალმთიან რაიონებში, სადაც ადგილის სიმაღლის მატებისას აღინიშნება ქარბუქიან დღეთა რიცხვის მკვეთრი ზრდა (განსაკუთრებით მის თხემურ ნაწილში, სადაც ძირითადად განლაგებულია ზვავების კერები), ქარბუქის შემთხვევაში ხდება თოვლის მადის გადანაწილება რელიეფის ელემენტებზე და მისი ლოკალური აკუმულაცია პოტენციალურად ზვავწარმოქმნელი ფაქტორის-ლავგარდინდების (კარნიზების) წარმოქმნით, რომლებიც აძლიერებენ რაიონის ზვავსაშისროებას.

იმ სინოპტიკური პროცესებიდან, რომლებთანაც დაკავშირებულია ქარბუქის მოვლენები, მთავარ როლს თამაშობენ ციკლონები. ყველაზე ძლიერი ქარბუქების წარმოქმნა დაკავშირებულია ღრმა ციკლონებთან. მთიან რაიონებში ქარბუქების ინტენსივობაზე დიდ გავლენას ახდენს ადგი-

ლის აბსოლუტური სიმაღლე და რელიეფის თავისებურებები, რელიეფის უარყოფითი ელემენტების გავლენით ქარბუქის ინტენსივობა ეცემა და პირიქით – დადებით ელემენტებზე (თხემებზე) მატულობს. გარდა რელიეფისა, ქარბუქის ინტენსივობა დამოკიდებულია აგრეთვე თოვლის ფიზიკურ თვისებებზე. კახეთის ტერიტორიაზე ქარბუქიან დღეთა საშუალო \bar{n} და მაქსიმალური რაოდენობა n_{\max} თვეში და წელიწადის ცივ პერიოდში მოცემულია ცხრილ 5.2.1.-ში, აქვე მოცემულია ქარახვეტიან დღეების საშუალო რაოდენობა თვეში \bar{m} და წელიწადის ცივ პერიოდში.

ცხრილი 5.2.1. ქარბუქიან დღეთა საშუალო \bar{n} და მაქსიმალური n_{\max} რაოდენობა, ქარახვეტიან დღეთა საშუალო რაოდენობა \bar{m} [55].

სადგური	თ ვ ე								
		X	XI	XII	I	II	III	IV	
თიანეთი	\bar{n}	0.03	0.2	0.3	0.1	1	0.9	0.2	3
	n_{\max}	1	2	2	8	6	3	2	12
	\bar{m}			0.03	0.2	0.3	0.03		0.6
ზეგანი	\bar{n}			1			1		2
	n_{\max}			1			1		2
	\bar{m}						0.05		0.05
საგარეჯო	\bar{n}		0.07	0.1	0.2	0.4	0.2	0.03	1
	n_{\max}		2	2	2	2	2	1	7
	\bar{m}				0.03				0.03

როგორც ცხრილ 5.2.1.-დან ჩანს, ქარახვეტიან დღეთა საშუალო რაოდენობა წელიწადში საკვლევ ტერიტორიაზე იცვლება 1-3-ის ფარგლებში, ქარბუქიან დღეთა მაქსიმალური რაოდენობა საგარეჯოში შეადგენს 7-ს, ზეგანზე 2-ს, თიანეთში 12-ს. ქარახვეტიან დღეთა რიცცხვი კი მერყეობს 0.02 (საგარეჯო) -0.6 (თიანეთი)-ის საზღვრებში.

ქარბუქის საშუალო ხანგრძლივობა თვეში და წელიწადში აგრეთვე ქარბუქის საშუალო ხანგრძლივობა ქარბუქიან დღეთა მრავალწლიური მონაცემებით მოცემულია ცხრილ 5.2.2.-ში.

ქარბუქის მაქსიმალური ხანგრძლივობა თიანეთში და საგარეჯოში აღინიშნება იანვარში: შესაბამისად 9.1 და 14

საათს, მინიმალური–ნოემბერში და აპრილში (0.1-0.2სთ) საგარეჯოში და 1.6-1.5სთ თიანეთში.

ცხრილი 5.2.2. ქარბუქის საშ. ხანგრძლივობა (სთ) და ქარბუქის საშ. ხანგრძლივობა ქარბუქიან დღეში \bar{t} (სთ) [55]

სადგური	ო კ ე								t (სთ)
	X	XI	XII	I	II	III	IV	წელი	
თიანეთი	0.04	1.6	1.6	9.1	8.5	4.4	1.5	26.7	8.9
საგარეჯო		0.1	0.04	1.4	1.1	0.4	0.2	3.2	3.2

ცხრილი 5.2.3. ქარბუქის ხანგრძლივობა დღეღამის სხვადასხვა დროს (სთ)

სადგური	t (სთ)	ო კ ე							წელი
		X	XI	XII	I	II	III	IV	
თიანეთი	18-24	0.03	0.09	0.3	2.4	2.4	1.1	0.6	6.5
	24-6	0.01	0.1	0.2	2.3	1.8	0.8	0.5	5.7
	6-12		0.6	0.6	1.7	1.7	0.9		5.5
	12-18		0.8	0.5	2.7	2.6	1.6	0.4	8.6
საგარეჯო	18-24		0.04	0.04	0.5	0.2	0.2	0.1	1.1
	24-6		0.05		0.3	0.2	0.01	0.1	0.7
	6-12				0.2	0.3	0.1		0.6
	12-18		0.03		0.4	0.4	0.1		0.9

5.3. ნისლი

ნისლი წარმოადგენს საშიშ მეტეოროლოგიურ მოვლენას. იგი ამცირებს მხედველობის სიშორეს, რაც აფერხებს ტრანსპორტის ყველა სახეობის (სახმელეთო,საჰაერო, საზღვაო) ნორმალურ ფუნქციონირებას. ნისლი უარყოფითად მოქმედებს ცოცხალ ორგანიზმებში და კერძოდ ადამიანში მიმდინარე თერმორეგულაციის პირობებზე. არსებობს ნისლის შიდამასიური (ადვექციური, რადიციული) და ფრონტალური სახეობები. მთიან რეგიონებში ადგილი აქვს ადვექციური ნისლის ნაირსახეობას ნისლს. უნდა აღინიშნოს, რომ მათი მიკროფიზიკური მახასიათებლების იდენტიურობის შედეგად ნისლის ცალკეულ სახეობებს შორის დიდი განსხვავებები არ არსებობს. აღსანიშნავია ისიც, რომ ტერიტორიაზე ნისლის განაწილების თავისებურებებზე გარდა ატმოსფეროს ცირკულაციური პროცესებისა დიდ გავლენას

ახდენს ადგილის ფიზიკურ-გეოგრაფიული პირობები (აბსოლუტური სიმაღლე, რელიეფის შემადგენელი ელემენტების ფორმა და სხვ).

კახეთის ტერიტორიაზე ნისლიან დღეთა საშუალო \bar{n} და მაქსიმალური n_{max} რაოდენობა მრავალწლიური დაკვირვებების მონაცემებით მოცემულია ცხრილ 5.3.1.-ში [55] საქართველოს სამეცნიერო-გამოყენებითი კლიმატური ცნობარი თბილისი, 2004).

როგორც ცხრილ 5.3.1.-დან ჩანს, ნისლიან დღეთა საშუალო რაოდენობა წელიწადში \bar{n} მერყეობს 18(ყვარელი) –85 (დედოფლისწყარო)-ის ფარგლებში, შედარებით მეტი ნისლიანობა აღინიშნება საგარეჯოში (61 დღე) და უდაბნოში (67 დღე). სადგურებზე თელავი და გომბორი ნისლიან დღეთა საშუალო რაოდენობა წელიწადში შესაბამისად ტოლია 42 დ 49-ისა. დანარჩენ სადგურებზე ეს მაჩვენებელი მერყეობს 20-36 დღის ფარგლებში.

ცხრილი 5.3.1. ნისლიან დღეთა საშუალო \bar{n} და მაქსიმალური n_{max} რაოდენობა

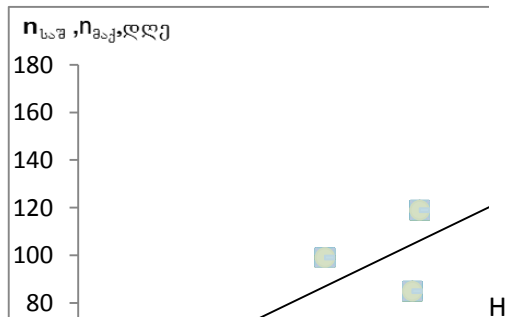
სადგური	თ ვ კ												წელი
	I	II	III	IV	V	VI	VII	VIII	IX	X	XI	XII	
\bar{n}													
ახმეტა	4	3	4	2	1	1	0.4	0.5	1	2	4	4	27
გურჯაანი	6	4	4	2	0.8	0.5	0.3	0.2	1	2	4	6	31
დედოფ.წყარო	12	10	12	10	4	2	2	2	3	7	9	12	85
თელავი	7	5	6	4	2	1	0.6	0.7	1	3	5	7	42
ლაგოდეხი	5	3	2	1	0.7	0.4	0.4	0.2	0.7	1	2	6	22
საგარეჯო	9	8	9	6	2	1	0.5	0.7	3	5	8	9	61
უდაბნო	9	8	11	8	2	1	0.3	0.6	3	6	8	10	67
ყვარელი	4	2	1	0.5	2	0.8	0.03	0.04	0.07	0.4	2	6	18
შირაქი	7	5	4	2	0.6	0.2	0.2	0.1	0.4	3	5	8	36
წნორი	5	2	2	0.7	0.7	0.2	0.07	0.1	0.2	0.6	2	6	20
გომბორი	6	6	6	5	2	2	1	1	3	5	7	5	49
n_{max}													
ახმეტა	19	14	15	11	7	10	4	5	7	7	11	9	119
გომბორი	12	18	16	16	7	9	16	11	9	14	14	10	152
გურჯაანი	13	10	13	7	3	2	2	3	5	10	11	15	99

ცხრილი 5.3.1-ის გაგრძელება													
საგარეჯო	17	16	21	16	7	4	6	4	11	13	17	20	152
ალაზანი	9	7	4	4	1	2	2	-	1	9	11	14	64
უდაბნო	17	16	21	16	7	4	6	4	11	13	17	20	151
ყვარელი	10	8	4	4	2	-	1	-	2	2	10	15	58
შირაქი	15	12	10	8	3	1	1	2	2	9	16	16	85
წნორი	13	6	10	9	7	2	2	2	3	4	5	16	66

ნისლიან დღეთა აბსოლუტური მაქსიმუმი წელიწადში სადგურებზე: უდაბნო, საგარეჯო და გომბორი მერყეობს 151-152-ის ფარგლებში. ნისლიან დღეთა აბსოლუტური მინიმუმი წელიწადში დაფიქსირებულია ყვარელში (58 დღე), ალაზანზე (64 დღე) და წნორში (66 დღე). დანარჩენ სადგურებზე ეს მაჩვენებელი მერყეობს 85(შირაქი) -119 (ახმეტაში)-ის საზღვრებში. დამოკიდებულებები $\bar{n}=f(H)$ და $n_{max}=f(H)$ ანალიზურად წარმოდგინება წრფივი ფუნქციის სახით: (ნახ. 5.3.1)

$$\bar{n}=90H-10 \quad (5.3.1.)$$

$$n_{max}=90H+20 \quad (5.3.2.)$$



ნახ. 5.3.1. ნისლიან დღეთა საშუალო \bar{n} და

მაქსიმალური n_{max} რაოდენობის დამოკიდებულება ადგილის აბსოლუტურ სიმაღლრზე H, წელიწადი.

წელიწადში ნისლიანი დღეების განმეორადობა აღინიშნება ყვარელში 11-20 დღე (36%), თელავში (41-45 დღე (23%), გომბორზე 41-45, 51-55 და 61-70 დღე (შესაბამისად 16%), ლაგოდეხში 16-20 (35%), გურჯაანში 31-35 დღე (28%), საგარეჯო 56-70 დღე (16%), წნორში 26-30 დღე (23%), ალაზანზე

21-25 დღე (22%), შირაქში 36-40 დღე (39%), თიანეთში 26-30 დღე (28%).

როგორც ცხრილ 5.3.2-დან ჩანს, თევების მიხედვით ნისლეების საშუალო ხანგრძლივობის აბსოლუტური მაქსიმუმი აღინიშნება თელავში იანვარში (56,7სთ), ლაგოდეხში-დეკემბერში (49,0სთ), საგარეჯოში-იანვარში (84,5სთ), წნორში-დეკემბერში (55,4სთ). ნისლეების საშუალო ხანგრძლივობის აბსოლუტურ მინიმუმს ყველა სადგურზე ადგილი აქვს ზაფხულის თვეებში თიანეთში ის შეადგენს 1,7სთ (VIII), თელავში 1,1სთ (VII), ლაგოდეხში 0,4სთ (VIII), საგარეჯოში 1,2სთ (VII), წნორში 0,1სთ (VII), სიღნაღში 10,9სთ (IV), შირაქში 0,2სთ (VI, VIII).

ყველა სადგურისაგან განსხვავებით, ამ მაჩვენებლის აბსოლუტურ მინიმუმს სიღნაღში ადგილი აქვს აპრილში. წელიწადში ნისლეების საშუალო ხანგრძლივობით პირველ ადგილზეა სიღნაღი (794,1სთ), მეორეზე-საგარეჯო (794,1სთ) (486,8სთ), მესამე-თელავი (238,8სთ). ამ მაჩვენებლის აბსოლუტური მინიმუმი აღინიშნულია წნორში (103,7სთ). ნისლეების განმეორადობა დღეში მაქსიმალურია წელიწადის ცივ (X-III) პერიოდში (მერყეობს 5,4-10,4%-ის ფარგლებში) და მინიმალურია თბილ (IV-IX) პერიოდში (მერყეობს (1,7-5,8%-ის ფარგლებში).

ცხრილი 5.3.2. ნისლეების საშუალო ხანგრძლივობა (სთ).

თვე	სადგური						
	თიანეთი	თელავი	ლაგოდეხი	საგარეჯო	წნორი	სიღნაღი	შირაქი
I	20.8	56.7	34.2	84.5	28.4	110.6	52.9
II	15.8	35.9	13.0	64.2	9.1	97.0	26.7
III	17.2	31.9	8.9	76.1	5.0	121.0	15.2
IV	5.6	13.0	3.4	41.1	1.3	10.9	6.3
V	6.6	4.5	1.5	9.0	0.4	41.9	0.8
VI	1.5	1.2	1.3	4.7	0.8	27.3	0.2
VII	2.5	1.1	0.6	1.2	0.1	18.4	0.3
VIII	1.7	1.6	0.4	2.8	0.4	19.7	0.2
IX	3.7	1.8	2.2	16.4	0.4	50.6	0.9

ცხრილი 5.3.2-ის გაგრძელება							
X	10.5	13.2	2.6	42.2	1.7	84.2	10.3
XI	22.5	24.2	11.2	69.4	5.9	10.8	13.8
XII	21.4	50.7	49.0	75.2	50.2	104.4	55.4
X-III	132.4	212.6	118.9	411.6	100.3	625.3	174.3
IV-IX	29.5	26.2	9.4	75.2	3.4	168.8	8.7
წელი	161.3	238.8	128.3	486.8	103.7	794.1	183.0
ნისლის განმეორადობა დღეში							
X-III	6.4	6.4	6.3	8.6	5.6	10.4	5.4
IV-IX	4.9	2.9	3.1	5.8	1.7	4.8	2.2
წელი	5.8	5.7	5.8	8.0	5.2	8.4	5.1

ნისლების ხანგრძლივობა ყველა სადგურზე წელიწადში მაქსიმალურია ექვსიდან თერთმეტ საათამდე თელავში იგი შეადგენს 79,4 საათს, საგარეჯოში-160,9 საათს, შირაქში კი 69,3 საათს. მეორე ადგილზე ნისლების ხანგრძლივობა ღამის საათებში (24-6სთ): თელავში იგი შეადგენს 70,8სთ, საგარეჯოში 128,9სთ, შირაქში-63,7 საათს. ნისლების ხანგრძლივობის მინიმუმი წელიწადში აღინიშნება თელავში და საგარეჯოში 18-24 საათის ინტერვალში (შესაბამისად 16 და 94,4სთ), შირაქში კი 12-18 საათის ინტერვალში (16,3სთ). ნისლების ხანგრძლივობა მაქსიმალურია წელიწადის ცივ (X-III) პერიოდში და მინიმალურია—თბილ (IV-IX) პერიოდში. აღსანიშნავია, რომ ნისლების ხანგრძლივობა წელიწადის ცივ პერიოდში (დაკვირვების დროს ოთხივე ინტერვალისათვის) მის ხანგრძლივობასთან შედარებით წელიწადის თბილ პერიოდში საშუალოდ მეტია თელავში 11,7-ჯერ, საგარეჯოში 7,8-ჯერ, შირაქში 30,2-ჯერ.

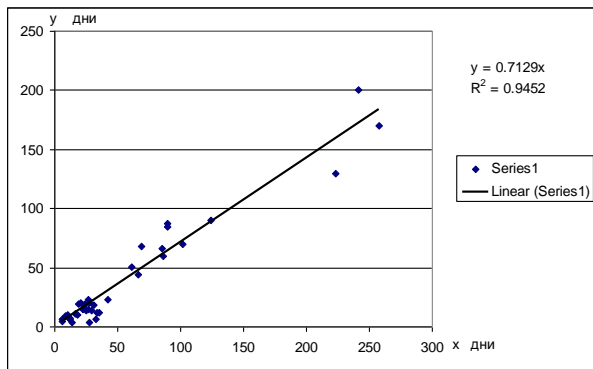
5.4. ძალიან ძლიერი ნისლი

განსაკუთრებით საყურადღებოა ე.წ. ძალიან ძლიერი ნისლი, როდესაც მხედველობის არე არ აღემატება 50 მეტრს (Э.Ш.Элизбарашвили, Варазанашвили, и др, 2012). ასეთი ნისლის ხვედრითი წილი ნისლების საერთო დღეთა რიცხვში საკმაოდ დიდია და 70%-ს აღემატება, რაც მნიშვნელოვნად მეტია სხვა რეგიონების შესაბამის მახასიათებლებზე. მაგალითისათვის ავღნიშნავთ, რომ ძალიან ძლიერი ნისლის ხვედრითი წილი

ნისლების საერთო რაოდენობაში უკრაინაში არ აღემატება 8%-ს, ხოლო არქტიკაში მხოლოდ 6-7%-ია (Элизбарашвили Э.Ш., Элизбарашвили М.Э., 2012).

ნახ.5.4.1-ზე, სადაც წარმოდგენილია ძალიან ძლიერი ნისლების დღეთა რიცხვის დამოკიდებულება ნისლიან დღეთა საერთო რიცხვზე, კარგად ჩანს მათ შორის მჭიდრო დამოკიდებულების არსებობა. კორელაციის კოეფიციენტი აღემატება 0.97-ს.

ცხრილში 5.4.1. წარმოდგენილია მონაცემები ძალიან ძლიერი ნისლის დღეთა რიცხვის, საშუალო და უდიდესი ხანგრძლივობის შესახებ. ცხრილიდან ჩანს, რომ ძალიან ძლიერი ნისლის დღეთა რიცხვი უდიდესია დედოფლისწყაროში და 66 დღეს შეადგენს. ნისლიან დღეთა რიცხვი რამდენადმე ნაკლებია საგარეჯოში (51 დღე), ხოლო მინიმალურია გურჯაანში (18 დღე). ძალიან ძლიერი ნისლის საშუალო ხანგრძლივობა უდიდესი თელავსა და საგარეჯოშია (6-7 სთ), ხოლო უმცირესი- აგრეთვე გურჯაანშია (3 სთ). ნისლის უდიდესი ხანგრძლივობა ყველგან 24 საათია. მთლიანობაში კახეთის ტერიტორია დიდი რისკის ქვეშ იმყოფება, რადგანაც ძალიან ძლიერი ნისლი შეიძლება გაგრძელდეს მთელი დღეღამის განმავლობაში

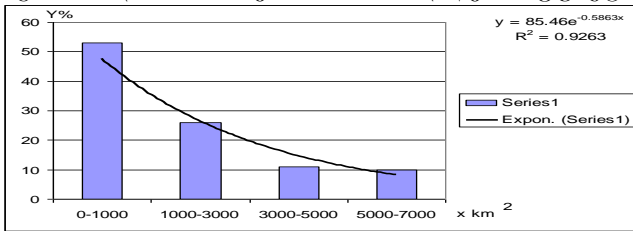


ნახ. 5.4.1. ძალიან ძლიერი ნისლების დღეთა რიცხვის(y) დამოკიდებულება ნისლიან დღეთა საერთო რიცხვზე(x), და შესაბამისი რეგრესიის განტოლება: R^2 - კორელაციური ფარდობაა

ცხრილი 5.4.1. ძალიან ძლიერი ნისლის დღეთა რიცხვი, და საშუალო და უდიდესი ხანგრძლივობა (Элиზбарაშვილი Э.Ш., Элиზбарაშვილი М.Э. , 2012)

პუნქტი	დღეთა რიცხვი	საშუალო/უდიდესი ხანგრძლივობა, (სთ)
გურჯაანი	18	3/24
დედოფლის წყარო	66	4/24
თელავი	23	6/24
საგარეჯო	51	7/24

ძალიან ძლიერი ნისლის გავრცელების არეალები დიდ საზღვრებში მერყეობს- რამოდენიმე ერთეულიდან ათასეულ კვადრატულ კილომეტრ ფართობამდე. ნახ. 5.4.2-ზე წარმოდგენილია ძალიან ძლიერი ნისლების არეალის ემპირიული ჰისტოგრამა და მისი შესაბამისი აღმწერი ფუნქცია.



ნახ. 5.4.2 ძალიან ძლიერი ნისლების არეალის ემპირიული ჰისტოგრამა და მისი შესაბამისი აღმწერი ფუნქცია: R^2 -კორელაციური ფარდობაა

ნისლის გავრცელება მნიშვნელოვან ტერიტორიაზე განპირობებულია იმ ატმოსფერული პროცესებით, რომლებიც ფორმირდება ამიერკავკასიაში და დამახასიათებელია მთლიანად საქართველოსთვის. მათ მიეკუთვნება ადგილობრივი-რადიაციური და ფრონტალური წარმოშობის ნისლები. ისინი ატარებენ გლობალურ ხასიათს და მოიცავენ რამოდენიმე ათას კვადრატულ კილომეტრ ტერიტორიებს. ამავე დროს უფრო ალბათურია ლოკალური ნისლები, რომელთა არეალი შემოისაზღვრება რამოდენიმე ათეული კვადრატული კილომეტრის ფართობით. ნისლის არეალის შემცირება აიხსნება ამ პროცესებზე ადგილობრივი ოროგრაფიული პირობების

გავლენით. ეს რელიეფის ფორმის გავლენით განპირობებული ოროგრაფიული ნისლია

როგორც ნახ. 5.4.2-დან ჩანს ძალიან ძლიერი ნისლის გავრცელების ფართობის განმეორადობის განაწილება კარგად აღიწერება შემდეგი სახის ექსპონენციალური ფუნქციით:

$$y=85,46 \exp(-0,5863x), \quad (5.4.1)$$

სადაც, x - ნისლის გავრცელების ფართობია კვ. კილომეტრებში, ხოლო y – განმეორადობაა %-ში.

ამ ფორმულის გამოყენებით შესაძლებელია გამოვიანგარიშოთ ნისლის არეალის თეორიული ალბათობა.

ძალიან ძლიერი ნისლი განსაკუთრებით უარყოფითად მოქმედებს ავტოტრანსპორტის მოძრაობაზე, ამიტომ ძალზე მნიშვნელოვანია ვიცოდეთ ნისლის ფორმირების პირობები და პარამეტრები ძირითადი ავტომაგისტრალების გასწვრივ. ასეთი სპეციალური გამოკვლევის შედეგად დადგინდა ძირითადი მაგისტრალების ყველაზე სახიფათო უბნები სეზონების გათვალისწინებით (Э.Ш.Элизнарашвили, Т.К.Зубишашвили, 2007). კახეთის რეგიონში ასეთი სახიფათო მონაკვეთებია ნინოწმინდა-ბადიაური, თელავი-გომბორი და თელავი- ასმეტა.

5.5. ინტენსიური და უხვი ატმოსფერული ნალექები

ინტენსიური ეწოდება ნალექებს, როდესაც დღეღამის განმავლობაში მოსული მათი რაოდენობა აღემატება 20 მმ-ს, ხოლო უხვი ეწოდება ნალექებს, როდესაც მათი დღე-ღამური ჯამები აღემატება 30მმ-ს. ასეთი ნალექები ამინდის საშიშ მოვლენად მიიჩნევა, რადგანაც შესაძლოა სტიქიური მოვლენების განვითარება გამოიწვიოს, მათ შორის წყალდიდობა, წყალმოვარდნა, დატბორვა, ღვარცოფი და სხვ, და ამით დიდი მატერიალური ზარალი მიაყენოს ქვეყნის ეკონომიკას.

მიუხედავად იმისა, რომ კახეთი, დასავლეთ საქართველოს რეგიონებისაგან განსხვავებით, არ გამოირჩევა ნალექების სიუხვით, ინტენსიურ და უხვ ნალექებს ხშირად დიდი ზიანი მოაქვს. ისინი ძირითადად გამოწვეულია ფრონტალური პროცესებით და ხშირად კატასტროფულ ხასიათს ატარებენ, იწვევენ რა წყალდიდობებს და წყალმოვარდნებს. გე-

ნეტიკური თვალსაზრისით უხვი ნალექები შეიძლება იყოს როგორც ფრონტალური, ისე კონვექციური ხასიათის. შესაბამისად ფრონტალური წარმოშობის ნალექები უფრო ხანგრძლივია, ვიდრე კონვექციური წარმოშობის ნალექები.

ცხრილში 5.5.1 წარმოდგენილია ინტენსიურ და უხვნალექიან დღეთა რიცხვის საშუალო თვიური და წლიური მნიშვნელობები კახეთის 3 პუნქტისათვის, რომლებიც ახასიათებენ რეგიონის განსხვავებულ ფიზიკურ-გეოგრაფიულ პირობებს.

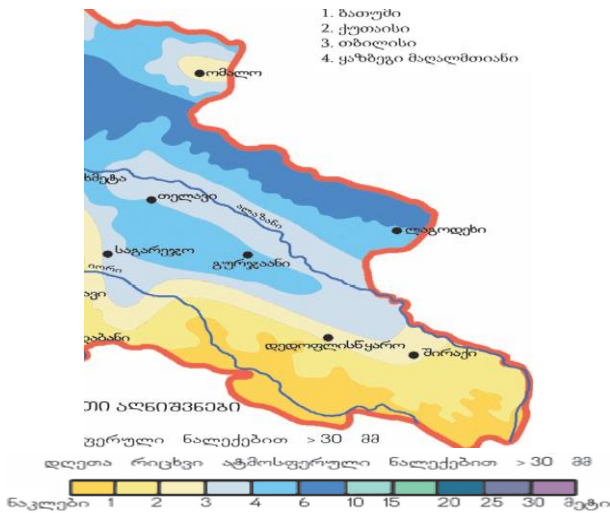
ცხრილი 5.5.1. დღეთა რიცხვი ინტენსიური და უხვი ნალექებით

თ ვ ე												წელი	
I	II	III	IV	V	VI	VII	VIII	IX	X	XI	XII		
თელავი													
ინტენსიური													
0.1	0.2	0.3	0.7	1.8	1.8	1.2	0.8	0.7	0.9	0.4	0.2	9	
უხვი													
0.04	0.04	0.1	0.3	0.5	0.9	0.6	0.4	0.3	0.4	0.1	0.1	4	
საგარეჯო													
ინტენსიური													
0.07	0.3	0.3	0.9	1.8	1.6	0.9	0.4	0.8	1.0	0.4	0.2	9	
უხვი													
0	0.03	0.2	0.2	0.7	0.8	0.5	0.2	0.3	0.5	0.1	0.03	4	
ლაგოდეხი													
ინტენსიური													
0.2	0.3	0.6	1.1	2.0	2.0	1.4	1.1	1.8	1.7	0.9	0.3	13	
უხვი													
0.03	0.1	0.1	0.3	1.0	1.1	0.7	0.7	0.9	1.0	0.4	0.1	6	

როგორც ცხრილიდან ჩანს ინტენსიურ და უხვნალექიან დღეთა რიცხვის წლიური სვლა მსგავსია ნალექების ჯამების წლიური სვლისა. ამ შემთხვევაშიც მაქსიმუმი ძირითადად მაისშია, თუმცა შესაძლოა ივნისშიც, და შეადგენს თვეში დაახლოებით 2 დღეს ინტენსიური და ერთ დღეს უხვი ნალექებით. ხოლო მინიმუმი იანვარში აღინიშნება. წლიურ სვლაში, აგრეთვე ნალექების ჯამების მსგავსად, შემოდგომით ვლინდება მეორადი, შედარებით სუსტად გამოხატუ-

ლი, მაქსიმუმი, და შეადგენს თვეში 1-2 დღეს ინტენსიური და ერთ დღემდე უხვი ნალექებით.

როგორც ცხრილიდან ჩანს, მთელი წლის განმავლობაში ინტენსიურ ნალექებიან დღეთა რიცხვი 9-13-ს, ხოლო უხვნალექიან დღეთა რიცხვი 4-6-ს შეადგენს. უფრო დეტალურ ინფორმაციას უხვნალექიან დღეთა რიცხვის კახეთის ტერიტორიაზე განაწილების შესახებ იძლევა ნახ.5.5.1-ზე წარმოდგენილი გეოინფორმაციული რუკა.



ნახ. 5.5.1. დღეთა რიცხვი უხვი ნალექებით წელიწადში

რუკიდან ჩანს, რომ კახეთის ტერიტორიაზე უხვ ნალექიან დღეთა რიცხვი წლის განმავლობაში იცვლება ერთიდან (შესაძლოა 0) 6 და უფრო მეტ დღემდე. მათი უმცირესი შემთხვევები აღინიშნება ივრის ზეგანის უკიდურეს სამხრეთ ნაწილში და მდინარე იორის ქვემო წელში. უხვი ნალექები განსაკუთრებით ხშირია კავკასიონის მაღალმთიან ზონაში, სადაც მერყეობს 6-10 დღეს შორის, გომბორის ქედზე შეადგენს 4-6 დღეს, ხოლო ალაზნის ველებზე-3-ს.

ხშირად ერთ დღელამეში მოსული ნალექების ჯამი აღემატება ინტენსიური და უხვი ნალექებისათვის დადგენილ კრიტერიუმებს- 20 და 30 მმ-ს (იხ.ცხრილი 5.5.2).

ცხრილი 5.5.2-დან ჩანს, რომ ნალექების აბსოლუტური მაქსიმუმი რამოდენიმეჯერ აღემატება ინტენსიური და უხვი ნალექების კრიტერიუმებს. კერძოდ, ნალექების დღედამურმა მაქსიმუმმა თელავში 116 მმ, საგარეჯოში-102 მმ, ხოლო ლაგოდეხში თითქმის 150 მმ შეადგინა. აგრეთვე საკმაოდ მაღალია და აღემატება უხვი ნალექების კრიტერიუმს საშუალო დღედამური მაქსიმუმები (51-77 მმ).

ცხრილი 5.5.2 ნალექების დღედამური მაქსიმუმების მახასიათებლები. მმ.

პუნქტი	აბსოლუტური მაქსიმუმი	საშუალო მაქსიმუმი	მოსალოდნელი 100 წელიწადში ერთხელ
თელავი	116	55	128
ყვარელი	99	60	112
გურჯაანი	84	52	91
საგარეჯო	102	51	109
ლაგოდეხი	148	77	150

ცხრილის თანახმად საუკუნეში ერთხელ მაინც მოსალოდნელი დღედამური ნალექების ჯამებიც საკმაოდ მაღალია და აღწევს ყვარელში 112, თელავში-128, ხოლო ლაგოდეხში-150 მმ-ს.

5.6. სეტყვა

სეტყვა მიეკუთვნება სტიქიურ მეტეოროლოგიურ მოვლენათა რიცხვს. ხშირად მისი მოსვლა კატასტროფულ ხასიათს ატარებს და საგანგებო სიტუაციის შექმნის მიზეზი ხდება. ასეთ დროს სეტყვას შეუძლია მნიშვნელოვანი ზარალი მიაყენოს ქვეყნის ეკონომიკას, განსაკუთრებით სოფლის მეურნეობას, მოვლენის არეალში არსებულ იმფრასტრუქტურასა და ტრანსპორტს, საფრთხე შეუქმნას ადამიანის ჯანმრთელობას.

საქართველოში სეტყვიანობის კლიმატოლოგიის ყველა ძირითადი საკითხი-სეტყვიან დღეთა რიცხვი, ინტენსივობა, ხანგრძლივობა, არეალები, ნალექების რაოდენობა და ინტენსივობა, მრავალწლიური ცვალებადობა, შეჯამებულია 2014 წელს (ელიზბარაშვილი ე. შ.; ამირანაშვილი ა.გ.; ვარაზანაშვილი ო.შ.; ცერეთელი ნ.ს.; ელიზბარაშვილი მ.ე.; ელიზბარაშვილი შ.ე.; პიპია მ.გ. 2014).

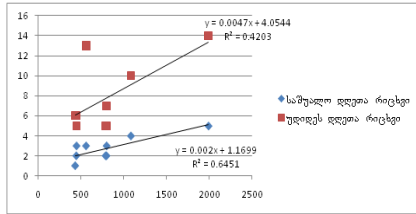
კახეთის პირობებში სეტყვა წარმოიქმნება ფრონტალური ან შიდამასური პროცესების შედეგად. პირველ შემთხვევაში, რომელიც განპირობებულია ცივი და ოკლუზიის ფრონტების შემოჭრით, სეტყვა ვრცელდება დიდ ფართობზე და ხშირად აჭარბებს 50 კმ ტერიტორიას. მეორე შემთხვევაში, პროცესი ვითარდება ერთგვაროვან ჰაერის მასაში კონვექციური პროცესების შედეგად. ამ შემთხვევაში სეტყვა ვრცელდება მცირე ფართობზე. შიდამასური პროცესის დროს სეტყვის ხანგრძლივობა არ აღემატება 10-15 წუთს.

კახეთში სეტყვის გამანადგურებელი შედეგების შესახებ საკმაოდ მასალაა დაგროვილი. ჯერ კიდევ 1877 წელს გაზეთი “ივერია” წერდა, რომ ამა წლის 4 ივლისს კახეთში, გურჯაანის, ვეჯინის და ბაკურციხის ტერიტორიებზე მოვიდა მტრედის კვერცხის ზომის სეტყვა, რამაც მთლიანად განადგურა ნათესები და ვენახები. 1953 წლის 19 ივნისს საგარეჯოში მოსულმა სეტყვამ შექმნა 5-7 სმ სისქის საფარი. დაზიანდა ვენახები და ბაღები. სეტყვის მარცვლის ზომები აღემატებოდა კაკლის ზომებს. სტიქიური მოვლენა განვითარდა 2012 წლის 19 ივლისს თელავში. გრიგალურ ქარს მოჰყვა ძლიერი სეტყვა, განადგურდა ვენახები, ბაღები, ნათესები, შენობა-ნაგებობები. ზარალმა 30 მლნ. აშშ დოლარს გადააჭარბა.

სეტყვიან დღეთა რიცხვთა განაწილებაზე მნიშვნელოვან გავლენას ახდენს ზღვის დონიდან ადგილის სიმაღლე. ჩრდილოეთ კავკასიის მთიანეთში ადგილის სიმაღლის ზრდა 500მ-დან 2500მ-მდე იწვევს სეტყვიან დღეთა საშუალო რიცხვის 2-3 ჯერ ზრდას, ხოლო სიმაღლის კიდევ უფრო ზრდის შემთხვევაში სეტყვიან დღეთა საშუალო რიცხვი არ იცვლება და 3000მ სიმაღლიდან საერთოდ წყდება. კავკასიონის სამხრეთ ფერდობის ცენტრალურ ნაწილში სეტყვიან დღეთა საშუალო რიცხვის ზრდა გრძელდება 2500-2800 მ სიმაღლემდე, შემდეგ კი მცირდება. სეტყვიან დღეთა რიცხვის ცვლილება სიმაღლის მიხედვით კახეთის რეგიონში წარმოდგენილია ნახ. 5.6.1-ზე.

როგორც ნახ.5.6.1-დან ჩანს სეტყვიან დღეთა რიცხვი სიმაღლის მიხედვით წრფივად იზრდება 2000მ სიმაღლემდე. სამწუხაროდ ამ სიმაღლის ზემოდ კახეთში მეტეოროლოგი-

ური სადგური არ ფუნქციონირებს. ამიტომ ძნელია ვიმსჯელოთ სექვიანობის ცვლილების ხასიათზე მაღალმთიან ზონაში, თუმცა შეგვიძლია ვივარაუდოთ, რომ როგორც კავკასიის სხვა რეგიონებში, სექვიან დღეთა რიცხვმა მაქსიმუმს აქაც შეიძლება დაახლოებით 2500მ სიმაღლეზე მიადწიოს, ხოლო შემდეგ შემცირდეს.

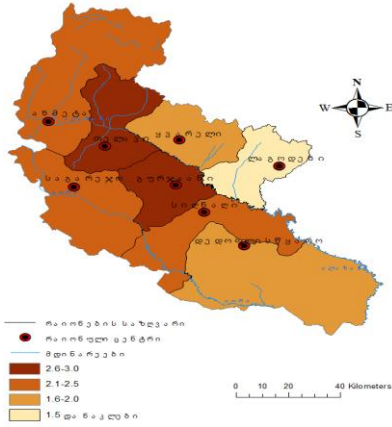


ნახ.5.6.1. სექვიან დღეთა რიცხვის ცვლილება სიმაღლის მიხედვით შესაბამისი კვდრატული ფუნქციები და დეტერმინაციის კოეფიციენტი (R^2)

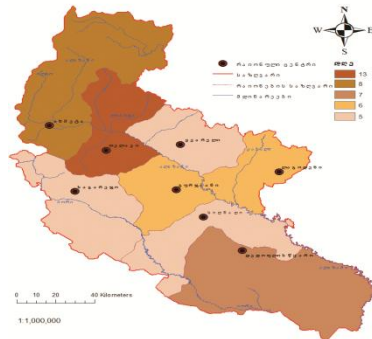
ნახ.5.6.1-ზე წარმოდგენილია აგრეთვე წრფივი რეგრესიის განტოლებები, რომლებიც აღწერენ სექვიან დღეთა რიცხვის განაწილებას და დეტერმინაციის კოეფიციენტები (R^2). დეტერმინაციის კოეფიციენტების მნიშვნელობების შესაბამისად ადგილის სიმაღლის წვლილი სექვიან დღეთა საშუალო რიცხვის ცვლილებაში 64%-ს შეადგენს, ხოლო მისსივე წვლილი სექვიან დღეთა უდიდესი რიცხვის ცვლილებაში მხოლოდ 42%-ია.

კახეთში, სექცვა ძირითადად წლის თბილ პერიოდში მოდის და მოიცავს IV-X თვეების პერიოდს. სექცვის პროცესები განსაკუთრებით აქტიურია გაზაფხულზე და ზაფხულის დასაწყისში, როდესაც იქმნება ხელსაყრელი პირობები კონვექციური ღრუბლების განვითარებისთვის. სექვიან დღეთა საშუალო რიცხვი მაქსიმუმს ძირითადად მაის-ივნისში აღწევს.

ნახ.5.6.2-ზე და ნახ.5.6.3-ზე წარმოდგენილია სექვიან დღეთა საშუალო და უდიდესი რიცხვების გეოინფორმაციული რუკები კახეთისთვის მუნიციპალური რაიონების საზღვრების ფარგლებში.



ნახ. 5.6.2. სეტყვიან დღეთა საშუალო წლიური რიცხვის განაწილება რაიონების მიხედვით.

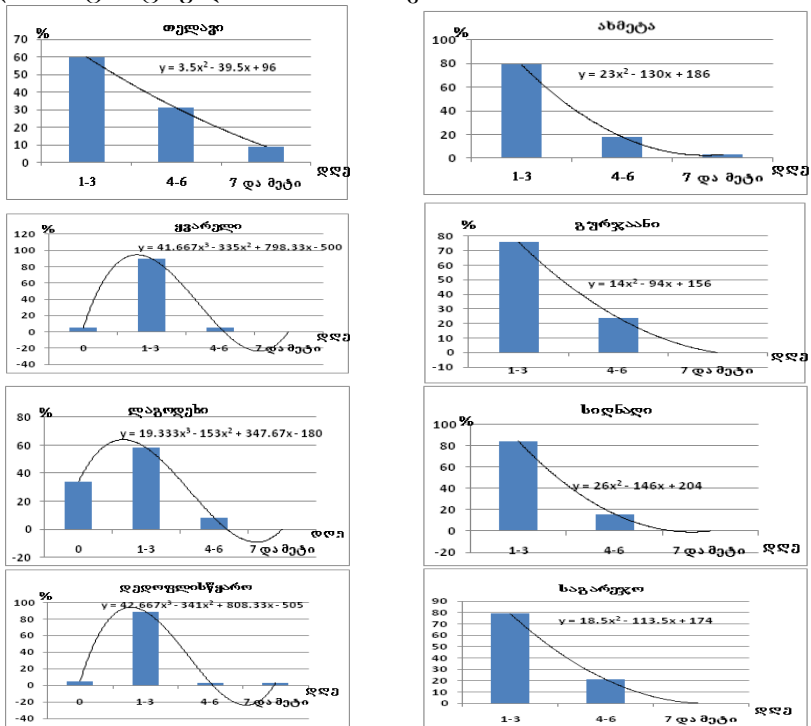


ნახ. 5.6.3 სეტყვიან დღეთა უდიდესი წლიური რიცხვი დარაიონების მიხედვით

ნახ.5.6.2-დან ჩანს, რომ სეტყვის პროცესები ყველაზე აქტიურია თელავისა და გურჯაანის რაიონებში, სადაც სეტყვიან დღეთა რიცხვი წელიწადის განმავლობაში საშუალოდ 3.0-ია. ახმეტის, საგარეჯოს და სიღნაღის რაიონებში სეტყვიან დღეთა საშუალო რიცხვი შეადგენს 2.1-2,5-ს, ყვარლისა და დედოფლისწყაროს რაიონებში 1.6-2.0-ს, ხოლო ლაგოდეხის რაიონში სეტყვიან დღეთა საშუალო რიცხვი 1.5-ზე ნაკლებია.

ნახ. 5.6.3 თანახმად წლის განმავლობაში ყველაზე მეტი სეტყვიან დღეთა უდიდესი რიცხვი აგრეთვე თელავის რაიონშია და შეადგენს 13-ს, ახმეტის რაიონისთვის შეადგენს 8-ს, დედოფლისწყაროს რაიონისთვის 7-ს, გურჯაანის და ლაგოდეხის რაიონებისთვის 6-ს, ხოლო სიღნაღის, საგარეჯოსა და ყვარლის რაიონებისთვის სეტყვიან დღეთა უდიდესი რიცხვი არ აღემატება 5-ს.

ნახ.5.6.4-ზე წარმოდგენილია სხვადასხვა გრადაციის სეტყვიან დღეთა რიცხვის განმეორადობათა ჰისტოგრამები და მათი აღმწერი შესაბამისი ფუნქციები კახეთის რეგიონის 8 ადმინისტრაციული რაიონისათვის.



ნახ.5.6.4. სხვადასხვა გრადაციის სეტყვიან დღეთა რიცხვის განმეორადობათა ჰისტოგრამები და მათი აღმწერი შესაბამისი ფუნქციები.

ჰისტოგრამების განხილვიდან გამოიკვეთება მათი 2 ტიპი. პირველი, როდესაც სეტყვა ყოველწლიური მოვლენაა,

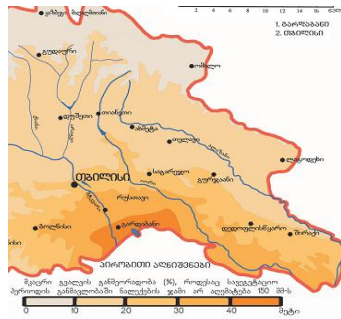
ანუ მას არ გააჩნია ნულოვანი გრადაცია. ეს თვისება დამახასიათებელია თელავის, ახმეტის, გურჯაანის, სიღნაღის და საგარეჯოს რაიონებისთვის. აქ სექციის ყველაზე მაღალი ალბათობა შეესაბამება პირველ გრადაციას, ამ შემთხვევაში 1-3 დღეს. ამ გრადაციის განმეორადობა დაახლოებით 80%-ია, მხოლოდ თელავში შეადგენს 60%-ს. შესაბამისად თელავში 30%-მდე გაზრდილია მეორე გრადაციის, ანუ 4-6 სექციის დღეთა რიცხვის განმეორადობა, რაც დანარჩენ რაიონებში გაცილებით ნაკლებია. 7 და მეტი სექციის დღეთა რიცხვის განმეორადობა იშვიათი მოვლენაა და აღინიშნება მხოლოდ თელავის, დედოფლისწყაროს და ახმეტის რაიონებში სადაც შესაბამისა შეადგენს 9%, 3% და 3%-ს. ასეთი ტიპის ჰისტოგრამები კარგად აღიწერება კვადრატული ფუნქციებით, რომელთა სახეები კონკრეტული რაიონებისათვის წარმოდგენილია გრაფიკზე.

ჰისტოგრამების მეორე ტიპი შეიცავს სექციის დღეთა რიცხვის ნულოვან გრადაციას, ანუ ამ შემთხვევაში შეიძლება მთელი წლის განმავლობაში სექცია არ მოვიდეს. ასეთი პირობებია ყვარლის, დედოფლისწყაროს და ლაგოდეხის რაიონებში. უსექციო დღეთა რიცხვის განმეორადობა შეადგენს ლაგოდეხის რაიონში 34%-ს, ხოლო ყვარლის და დედოფლისწყაროს რაიონებში - 5-5%-ა. თუმცა სექციისობის უდიდესი განმეორადობა მაინც 1-3 დღეს შეესაბამება და შეადგენს ყვარლისა და დედოფლისწყაროს რაიონებში 90%-ს, ხოლო ლაგოდეხის რაიონში -60% -ს. მეორე ტიპის ჰისტოგრამები კარგად აღიწერება მესამე რიგის პოლინომებით, რაც აგრეთვე წარმოდგენილია გრაფიკებზე.

5.7. გვალება

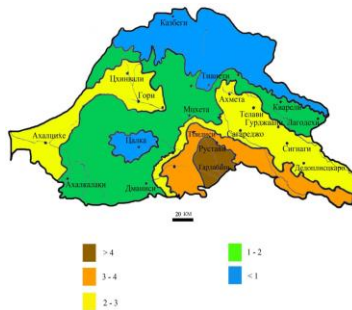
კახეთისათვის გვალება აგრეთვე საშიშ და ხშირად სტიქიურ მოვლენას წარმოადგენს. მას დიდი ზარალი მოაქვს ქვეყნის ეკონომიკისათვის და მოსახლეობისათვის (Э.И.Эл-избарашвили др., 2009). ნახ.5.7.1-ზე წარმოდგენილია მკაცრი გვალების განმეორადობის რუკა. ეს ისეთი გვალებებია, როდესაც სავეგეტაციო პერიოდის განმავლობაში მოსული ნალექების ჯამი არ აღემატება 150 მმ-ს.

რუკიდან ჩანს, რომ კახეთის ტერიტორიაზე მკაცრი გვალვები ყველაზე ხშირია მდინარე იორის ქვემო წელში და იორის ზეგანი უკიდურეს სამხრეთში, სადაც მისი განმეორადობა 30-40%-ია და ზოგ ადგილებში უფრო მეტიც. ეს იმას ნიშნავს, რომ აღნიშნულ რაიონებში მკაცრი გვალვები საშუალოდ 2 წელიწადში ერთხელაა. იორის ზეგანის დანარჩენ ტერიტორიაზე, აგრეთვე საგარეჯოს და გურჯაანის რაიონების მნიშვნელოვან ტერიტორიებზე მკაცრი გვალვების განმეორადობა 20-30%-ს, ხოლო დანარჩენ ტერიტორიაზე 10-20%-ს შეადგენს.



ნახ. 5.7.1. მკაცრი გვალვების განმეორადობა (%)

ნახ.5.7.2-ზე წარმოდგენილია წელიწადში გვალვიან თვეთა საშუალო რიცხვების რუკა მთლიანად აღმოსავლეთ საქართველოსთვის [67].

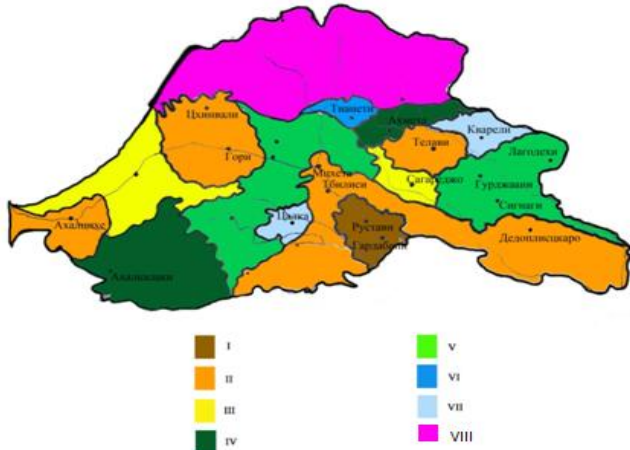


ნახ. 5.7.2 გვალვიან თვეთა საშუალო რიცხვი წელიწადში

რუკიდან ჩანს, რომ აღმოსავლეთ საქართველოს ტერიტორიაზე გვალვიან თვეთა საშუალო რიცხვი სავეგეტაციო

პერიოდის განმავლობაში მერყეობს 0-დან 5-მდე ფარგლებში. მისი უმცირესი მნიშვნელობები შეესაბამება კავკასიონის მაღალმთიან ზონას, ხოლო თვეთა უდიდესი რაოდენობა ფიქსირდება ქვემო ქართლის მნიშვნელოვან ნაწილზე. კავკასიონის მაღალმთიან ზონაში გვაღვიან თვეთა რიცხვი სავეგეტაციო პერიოდის განმავლობაში არსად არ აღემატება 1-ს. მდინარე ალაზნის აუზის ქვემო წელში და გომბორის ქედზე ეს მაჩვენებელი აღემატება 2-ს და არ აღწევს 3-ს. მდინარე ივრის აუზის ქვედა წელში გვაღვიან თვეთა საშუალო ხანგრძლივობა სავეგეტაციო პერიოდის განმავლობაში შეადგენს 3-4-ს.

ნახ. 5.7.3-ზე წარმოდგენილია საქართველოს დარაიონების რუკა ყველაზე ალბათურ გვაღვიან თვეთა მიხედვით.



ნახ. 5.7.3. აღმოსავლეთ საქართველოს დარაიონება ყველაზე ალბათურ გვაღვიან თვეთა მიხედვით

გვაღვის ალბათობის ხასიათის მიხედვით აღმოსავლეთ საქართველოს ტერიტორიაზე გამოიყოფა 7 რაიონი. I რაიონს არ მიეკუთვნება კახეთის ტერიტორია, მას მიეკუთვნება ქვემო ქართლი, კერძოდ, გარდაბნის და რუსთავის მიმდებარე ტერიტორიები, სადაც გვაღვის მაღალი ალბათობა მოდის სავეგეტაციო პერიოდის უკანასკნელ 4 თვეზე (ივნისი–სექტემბერი). მეორე რაიონი გავრცელებულია სხვადასხვა ტერიტორიებზე. აქ უკანასკნელ 3 თვეზე (ივლისი-

სექტემბერი) გვალვების მაღალი ალბათობა ფიქსირდება თბილისის შემოგარენში და ქვემო ქართლის მნიშვნელოვან ნაწილზე, აგრეთვე მდინარე ივრის ქვემო წელის აუზში, მთლიანად დედოფლისწყაროს რაიონში, გომბორის ქედის სამხრეთ აღმოსავლეთ კალთაზე, შიდა ქართლის ჩრდილო დასავლეთ ნაწილში და ახალციხის მიმდებარე ტერიტორიაზე. აღნიშნულ რაიონებში გვალვა ყველაზე ალბათურია ივლის-სექტემბრის განმავლობაში. მესამე რაიონში გვალვის მაღალი ალბათობა დამახასიათებელია ზაფხულის უკანასკნელ 2 თვეში (ივლისი-აგვისტო). მას მიეკუთვნება საგარეჯოს რაიონი და ბორჯომის ხეობა. გვალვიანობის ალბათობა ივლისსა და სექტემბერში მოდის ახმეტის რაიონში და სამხრეთ საქართველოს მნიშვნელოვან ნაწილზე ახალქალაქის ჩათვლით. ეს ტერიტორიები მიეკუთვნება მეოთხე რაიონს.

სავეგეტაციო პერიოდის უკანასკნელ 2 თვეზე გვალვების უდიდესი ალბათობა აღინიშნება დუშეთის, კასპის და წალკის რაიონებში, აგრეთვე მდინარე ალაზნის ქვემო წელის აუზში მთლიანად. ეს ტერიტორიები მივაკუთვნეთ მე-5 რაიონს. თიანეთის რაიონში გვალვის მაღალი ალბათობა შეიმჩნევა მხოლოდ ივნისში, ხოლო ყვარელსა და თეთრი წყაროს რაიონში მხოლოდ ივლისის თვეში. შესაბამისად თიანეთის და ყვარლისა და თეთრი წყაროს რაიონები გვალვის ალბათობის დარაიონების რუკაზე მივაკუთვნეთ მე-6 და მე-7 რაიონებს. ამრიგად აღმოსავლეთ საქართველოს ტერიტორიის უმეტეს ნაწილზე, ყველაზე ალბათურ გვალვიან თვეთა რაოდენობა სავეგეტაციო პერიოდის განმავლობაში შეადგენს 3-4 თვეს. ეს მაჩვენებელი ყველაზე დიდია ქვემო ქართლში, რუსთავისა და გარდაბნის მიმდებარე ტერიტორიაზე, სადაც გვალვიან თვეთა ალბათობა შეადგენს 4 თვეს და მოდის ივნის-სექტემბრის პერიოდზე.

ცხრილში 5.7.1 წარმოდგენილია გვალვების განმეორებადობა თვეების მიხედვით კახეთის ძირითად პუნქტებში. ცხრილი საშუალებას გვაძლევს ვიმსჯელოთ იმაზე, თუ რა ხასიათის სეზონური სვლა გააჩნია გვალვების განმეორებადობას ამა თუ იმ პუნქტში, ან ამა თუ იმ რაიონში. ცხრილის განხილვიდან აშკარაა, რომ გვალვიანობის განმეორებადობის შიდასეზონურ სვლაში მაქსიმუმები ყველგან სავეგეტაციო პერიოდის მეორე ნახევარში აღინიშნება. ამავე

დროს, აბსოლუტური მაქსიმუმი, სხვადასხვა პუნქტში და სხვადასხვა გეოგრაფიულ რაიონში განსხვავებულ თვეებზე მოდის.

ცხრილი 5.7.1. გვალვების განმეორებადობა თვეების მიხედვით %-ში

№	სადგური	თ ვ ე					
		IV	V	VI	VII	VIII	IX
1	თელავი	16	9	13	52	52	54
2	ახმეტა	17	7	17	57	50	53
3	ყვარელი	4	4	16	40	45	24
4	ლაგოდეხი	10	13	30	43	47	47
5	გურჯაანი	20	13	23	47	53	53
6	სგარეჯო	13	10	13	57	57	50
7	შირაქი	23	23	33	60	70	73

ყველაზე გვალვიან რაიონში – ქვემო ქართლში გვალვის მაქსიმუმი სხვადასხვა გეოგრაფიულ პუნქტში სხვადასხვა თვეებზე მოდის. საგარეჯოში და ახმეტაში ეს თვეები ივლისი-აგვისტოა, ხოლო ლაგოდეხში, შირაქში, ყვარელში და თელავში – აგვისტო-სექტემბერია. გვალვის განმეორადობის მინიმუმი სავეგეტაციო პერიოდის პირველ ნახევარზე მოდის, უმთავრესად ეს აპრილი და მაისია.

ცხრილში 5.7.2. წარმოდგენილია გვალვების მოსალოდნელი განმეორადობები თვეების მიხედვით.

ცხრილი 5.7.2 კარგად გამოხატავს კახეთის და აგრეთვე წარმოდგენილი პუნქტების გეოგრაფიულ თავისებურებებს. კერძოდ, რომ რეგიონში არც ერთი თვე არ არის უგვალვო. გვალვის ყველაზე ხშირად ფორმირების რაიონს მიეკუთვნება შირაქი, სადაც სავეგეტაციო პერიოდის პირველ ნახევარში (აპრილი, მაისი, ივნისი) გვალვა ყოველ 2-3 წელიწადში ყალიბდება, ხოლო მეორე ნახევარში (ივლისი, აგვისტო, სექტემბერი) – თითქმის ყოველწლიურად, ან რამოდენიმე წელიწადი ზედიზედ. ამრიგად ყველაზე გვალვიან ადგილად კახეთში შეგვიძლია მივიჩნიოთ შირაქის ვაკე.

ამის გარდა ცხრილი გვაძლევს დეტალურ ინფორმაციას იმის შესახებ, თუ რომელ თვეს რა სიხშირით არის

მოსალოდნელი გვალვა კონკრეტულ პუნქტში. ცხრილი შემოქმედება გამოყენებულ იქნას როგორც გვალვების კალენდარი. თითოეული კონკრეტული თვის დადგომისას ჩვენ უკვე ვიცით, თუ რომელ პუნქტში (ან რაიონში) არ არის გვალვა მოსალოდნელი, რომელ პუნქტებში აუცილებლად არის მოსალოდნელი, აგრეთვე რომელ პუნქტებში რა ალბათობა აქვს მას – წელიწადგამოშვებით, 2-3 წელიწადში ერთხელ, 5 წელიწადში ერთხელ თუ სხვა. და ა.შ.

ცხრილი 5.7.2 გვალვის მოსალოდნელი შემთხვევა სხვადასხვა დროითი პერიოდების განმავლობაში

გვალვის შემთხვევა სხვადასხვა პერიოდში	თვე					
	IV	V	VI	VII	VIII	IX
გვალვა არ აღინიშნება						
20 წელიწადში ერთხელ	ყვარელი					
10 წელიწადში ერთხელ	ლაგოდეხი	თელავი ახმეტა საგარეჯო				
4 წელიწადში ერთხელ	თელავი ახმეტა გურჯაანი საგარეჯო	ლაგოდეხი გურჯაანი	თელავი ახმეტა ყვარელი საგარეჯო			
2-3 წელიწადში ერთხელ	შირაქი		ლაგოდეხი გურჯაანი შირაქი	ყვარელი ლაგოდეხი გურჯაანი თელავი	ყვარელი ლაგოდეხი თელავი ახმეტა	ყვარელი ლაგოდეხი საგარეჯო
წელიწად გამოშვებით და უფრო ხშირად				ახმეტა საგარეჯო შირაქი	გურჯაანი საგარეჯო	თელავი ახმეტა გურჯაანი
ხშირად რამოდენიმე წელი ზედიზედ					შირაქი	
თითქმის ყოველწლიურად						

5.8. წაყინვები

კახეთის რეგიონს უკავია საქართველოს ტერიტორიის უკიდურესი აღმოსავლეთი ნაწილი. აღნიშნული რეგიონი ხასიათდება რთული ოროგრაფიით, განსხვავებული მცენარეული საფარითა და ვერტიკალური გრადიენტით შირაქის ველიდან კავკასიონის ქედის მარადთოვლიან მწვერვალებამდე. ჩრდილოეთით მთავარი კავკასიონის ქედის

არსებობა საიმედოთ იცავს აღნიშნულ რეგიონს უშუალოდ ჩრდილოეთიდან ჰაერის ცივი მასების შემოჭრისაგან.

კახეთის რეგიონისათვის წაყინვების შესახებ ფაქტიური მასალა მოცემულია მრავალრიცხოვან ცნობარებში. ამ მასალის დეტალური ანალიზი დაგვექმარება ჩვენი კვლევის შესრულებაში. დასკვნები ძირითადად მიღებულია 2 მეტეოროლოგიური სადგურის-თელავი და ყვარელი დაკვირვების მასალების ანალიზის საფუძველებზე. თუ გავითვალისწინებთ, რომ დაახლოებით 1000 მეტრი სიმაღლის ზევით მკვეთრად მცირდება მოსახლეობის სიმჭიდროვე და სახანავ-სათესი სავარგულების ფართობი, შეიძლება გარკვეული დაშვებით ვივარაუდოთ, რომ შევქელით მოგვეცვა კახეთის უმეტესი ნაწილი.

როგორც წესი, წაყინვების ქვეშ იგულისხმება გაზაფხულზე ან შემოდგომაზე, როდესაც ჰაერის საშუალო დღე-ღამური ტემპერატურა დადებითია, ტემპერატურის ხანმოკლე დაცემა 0°C -ზე დაბლა მეტეოროლოგიურ ბუდრუგანის მონაცემების მიხედვით.

წაყინვებისაგან ძვირფასი ტექნიკური კულტურების დაცვის ზომებმა შეიძლება აამაღლოს მათი მოსავლიანობა და უფრო მეტიც ექსტრემალურ მეტეოროლოგიურ პირობებში განადგურებისაგან იხსნას მოსავალი. აქედან გამომდინარე გვიანი გაზაფხულისა და ადრეული შემოდგომის წაყინვების გენეზისის ხანგრძლივობისა და ინტენსივობის შესწავლა კახეთის ზონაში მიზნად ისახავს ისეთი მნიშვნელოვანი პრობლემების გადაჭრას, როგორცაა დაბალი ტემპერატურების მიმართ გამძლე ახალი ტექნიკური კულტურების გამოყვანა - რაც მნიშვნელოვნად გაზრდის მათი გავრცელების არეალს. ცირკულაციური და რადიაციული ფაქტორების გათვალისწინება, თესვის და მორწყვის ვადების კორექტირება ხელს შეუწყობს კონკრეტული ნაკვეთების უფრო რაციონალურად გამოყენებას, მაღალი მოსავლის მიღებას და აღებას.

თავისი წარმოშობის მიხედვით წაყინვები იყოფა ადვექციურ, რადიაციულ და ადვექციურ-რადიაციულ ტიპებად. იმის მიხედვით თუ როგორია სინოპტიკური პროცესების თავისებურება, წაყინვების განსხვავებული ტიპები სხვადასხვა ალბათობით ფიქსირდება სეზონების მიხედვით. მო-

კლედ განვიხილოთ საქართველოში ძირითადად გავრცელებული სინოპტიკური პროცესები და მათი თავისებურებები.

ციურკულაციური პროცესები საქართველოში ხასიათდება მასშტაბურობით და რიგი თავისებურებებით. რადგან კახეთის რეგიონი არ მოიცავს დიდ ფართობს უფრო მართებული იქნება ვიმსჯელოთ აღმოსავლეთ საქართველოს მაგალითზე. სინოპტიკური პროცესების მთელი მრავალფეროვნება პირობითად შეიძლება დაიყოს სამ ძირითად ტიპად. ზონალური პროცესები (აღმოსავლეთის და დასავლეთის მდგენელით); მერიდიონალური პროცესები (უპირატესად ჩრდილოეთის და სამხრეთის მიმართულებით); ანტიციკლონური მდგომარეობა.

ზონალური პროცესები დასავლეთიდან იწვევს ჰაერის ტემპერატურის და სინოტივის მატებას, ქარის სიჩქარის გაძლიერებას, ზაფხულში მთის ფერდობებზე ნალექების მომატებას კახეთში, ამიტომ ჩვენთვის საშიში და საინტერესო არ არის.

თუ პროცესი აღმოსავლეთიდან ვითარდება, მაშინ ადგილი აქვს ციმბირის ანტიციკლონის სამხრეთ-დასავლეთის ღარის გაძლიერებას, ჰაერის ცივი მასების გადატანას აღმოსავლეთიდან-დასავლეთის მიმართულებით, ქარის სიჩქარის ზრდას და ა.შ.

მერიდიანული პროცესების შემთხვევაში მთავარი კავკასიონის ქედი საიმედოდ იცავს კახეთის რეგიონს ჰაერის ცივი მასების შემოჭრისაგან. რაც შეეხება სამხრეთიდან გადმონაცვლებულ ე.წ. სამხრეთის ციკლონებს, ამ დროს ციკლონების გავრცელება ხდება კასპიის ზღვის ტერიტორიის გავლით. საკვლევ ტერიტორიაზე ძირითადად იგრძნობა ხმელთაშუა ზღვის აღმოსავლეთ რეგიონებში ჩამოყალიბებული ციკლონების გავლენა. ამ პროცესის დროს წარმოიქმნება ძირითადად ადვექციურ-რადიაციული ტიპის წაყინვები.

რაც შეეხება ანტიციკლონარულ მდგომარეობას, ამ დროს საკვლევ ტერიტორიაზე ძირითადად ადგილი აქვს უქარო, მოწმენდილი ცის პირობებს, რომელიც ხელსაყრელია რადიაციული ტიპის წაყინვების გავრცელებისათვის შედარებით დიდ ფართობზე.

მეტეოროლოგიურ ბუდრუგანაში ჰაერის ტემპერატურის 0⁰-ზე ქვემოთ დაცემა ჩვენთვის აღიქმებოდა როგორც

წყინვიანი დღე. დაკვირვების 35 წლის პერიოდში ასეთი დღეები (ანუ შემთხვევათა რიცხვი) იყო თელავში-360; ყვარელში-244.

თვეების მიხედვით ეს რიცხვები საშუალოდ შემდეგნაირად ნაწილდება:

ცხრილი 5.8.1. წყინვების საშუალო თვიური რაოდენობა.

სადგური	H, მ	ჯამი	თვე					
			III	IV	. . .	X	XI	
თელავი	562	360	6.3	0.9			0.2	2.8
ყვარელი	449	244	5.9	0.3			0.3	3.2

გარდა წყინვიან დღეთა რიცხვისა, მცენარეთა დაზიანების ხარისხი დამოკიდებულია მისი განვითარების ფაზაზე და წყინვის ინტენსივობაზე. მცენარეთა განვითარების ფაზა სეზონების მიხედვით ყოველ წელს იცვლება. რაც შეეხება წყინვების ინტენსივობის მიხედვით განაწილებას სათანადო მასალა მოგვყავს ცხრილში 5.8.2.

ცხრილი 5.8.2. წყინვების ინტენსივობა სადგურების მიხედვით °C

თელავი						ყვარელი					
გრადუსია		თვე				გრადუსია		თვე			
დან	მდე	III	IV	X	XI	დან	მდე	III	IV	X	XI
0.0	-0.9	104	22	8	46	0.0	-0.9	67	4	3	38
-1.0	-1.9	64	4		27	-1.0	-1.9	47	1	3	19
-2.0	-2.9	28	1		17	-2.0	-2.9	20	1	1	11
-3.0	-3.9	19	1		8	-3.0	-3.9	6	1	1	11
-4.0	-4.9	6	1		2	-4.0	-4.9	6			1
-5.0	-10.0	1	1			-5.0	-10.0	2	1		
Σ		222	30	8	100	Σ		148	8	8	80

როგორც ცხრილის ანალიზიდან შეიძლება დავასკვნათ, წყინვების უდიდესი რაოდენობა არ არის ინტენსიური, შემთხვევათა 50%-ის დროს, ჰაერის ტემპერატურის დაცემა არ ხდება -2.0⁰-ზე დაბლა.

ასევე საინტერესოა წყინვიან დღეთა რიცხვის და მათი საშუალოდან გადახრის ალბათობის ცოდნა. სათანადო სიდიდეები მოგვყავს ცხრილებში 5.8.3. და 5.8.4.

გარდა ინტენსივობისა, მცენარეებისათვის საშიშია წაყინვები, რომლებიც გრძელდება რამდენიმე დღის განმავლობაში. სათანადო მონაცემები მოყვანილია ცხრილში 5.8.5.

ცხრილი 5.8.3. წაყინვიან დღეთა რიცხვის უზრუნველყოფა (%)

სადგური	უზრუნველყოფა						
	5	10	25	50	75	90	95
თელავი	21	17	14	11	5	2	1
ყვარელი	21	17	12	9	4	2	1

ცხრილი 5.8.4. საშუალოდან გადახრის ალბათობა (დღე)

სადგური	ალბათობა %				
	±2	±6	±9	±12	> 12
თელავი	37	40	11	6	6
ყვარელი	24	36	36	4	-

ცხრილი 5.8.5. წაყინვების ხანგრძლივობა (დღე)

სადგური	ხანგრძლივობა								
	1	2	3	4	5	6	7	8	9
თელავი	52	28	12	4	2	1	1	-	-
ყვარელი	55	22	13	3	3	2	1	1	-

ამ ცხრილის ანალიზი საშუალებას გვაძლევს დავასკვნათ, რომ წაყინვების ნახევარზე მეტი არის ეპიზოდური, ერთ დღეზე მეტ ხანს არ გრძელდება, ხოლო ორდღიანი წაყინვების რაოდენობა მერყეობს 77-დან 84%-ის ფარგლებში.

წაყინვების ეპიზოდურობაზე წარმოდგენას გვაძლევს კიდევ ერთი მახასიათებელი, სადაც გამოთვლილია 4 ჯერადი დაკვირვების შემთხვევაში რამდენიმე ვადა ადასტურებს წაყინვის ფაქტს (ცხრ. 5.8.6). ამ ცხრილის მოკლე ანალიზი საშუალებას გვაძლევს დავასკვნათ, რომ შემთხვევათა ერთი მესამედი ეპიზოდურია, მათი ფიქსირება არ ხდება ერთი ვადის დაკვირვების დროსაც კი. 70-76% შემთხვევაში წაყინვების ფაქტს ადასტურებს მხოლოდ ერთი ვადის მონაცემი. შემთხვევათა მხოლოდ 1% აფიქსირებს შედარებით ხანგრძლივ წაყინვის ფაქტს, კერძოდ დაკვირვების სამი ვადის მონაცემი დღე-ღამის განმავლობაში.

მოკლედ განვიხილავთ სხვადასხვა ტიპის წაყინებისათვის დამახასიათებელ ამინდის პირობებს. ადვექციური ტიპის წაყინებისათვის დამახასიათებელია ქარის სიჩქარის ზრდა, 2 მ/წმ და მეტი, ტემპერატურის საგრძნობი დაცემა დროის მცირე მონაკვეთში.

ცხრილი 5.8.6. წაყინების შემთხვევაში უარყოფითი ტემპერატურების განმეორებადობა დაკვირვების ვადების მიხედვით (%)

სადგური	ვადა			
	0	1	2	3
თელავი	42	30	27	1
ყვარელი	43	33	23	1

მოდრუბლულობა 5-6 ბალი და მეტი და ა. შ. ეს პირობები, როგორც წესი დამახასიათებელია ჰაერის ცივი ფრონტის გადაადგილების დროს.

რადიაციული ტიპის წაყინვები დაიმზირება მოწმენდილი ცის პირობებში, უქარო ამინდის შემთხვევაში, მზის ამოსვლის წინ. წაყინვების დანარჩენი შემთხვევები მივაკუთვნეთ ე.წ. შერეულ ანუ ადვექციურ-რადიაციულ ტიპს. სადგურების მიხედვით ამ ტიპის წაყინვების განმეორებადობის მონაცემები მოგვყავს სათანადო ცხრილში.

შედარებისათვის მოგვყავს ამ ტიპის წაყინვების ალბათობა მთელი საქართველოსათვის: ადვექციური-43%; რადიაციული-31% და ადვექციურ-რადიაციული-26%.

ცხრილი 5.8.7. სხვადასხვა ტიპის წაყინვების განმეორებადობა კახეთში %

სადგური	წაყინვის ტიპი		
	ადვექციური	რადიაციული	ადვექციურ-რადიაციული
თელავი	28	42	30
ყვარელი	45	30	25

ჩვენი მსჯელობა არ იქნება სრული, თუ მოკლედ არ შევეხეთ წაყინებისაგან მცენარეთა დაცვის ყველაზე მეტად გავრცელებულ საშუალებებს. მართებული იქნება თუ ამ მეთოდებს გავყოფთ იმის მიხედვით თუ რა არის ჩვენი

მიზანი ბუნების ამ მოვლენას ნებისმიერი მატერიალური დანაკარგების ფასად, თუ შევეცადოთ მივიღოთ სასურველი შედეგი მინიმალური მატერიალური და ფინანსური დანახარჯების ფასად. ეს უკანასკნელი უფრო ეკონომისტების კვლევის საგანი შეიძლება იყოს. რაც შეეხება სასურველი შედეგის მიღწევას, ეს შეიძლება მოხერხდეს რამდენიმე მეთოდით.

პირველი, ყველაზე იაფი და ხელმისაწვდომი, როდესაც გამოყენებულია ხეხილის ყინვაგამძლე ჯიშები ან ბოსტნეულის თესვის ოპტიმალური ვადები.

მეორე, როდესაც ვცდილობთ შევამციროთ მიწისპირა ფენის გადაციება, ვსარგებლობთ ხელოვნური დაწვიმების, ზედაპირის გაფხვიერების ან ხელოვნური საფარის გამოყენებით.

მესამე, მცენარეთა დაცვის ინდივიდუალური ზომები, მათი დაფარვა უქსოვადი ქსოვილით, მიწის მიყრა და სხვა.

მეოთხე, როდესაც ვცდილობთ თუნდაც დროის მცირე მონაკვეთში შევიტანოთ სითბოს დამატებითი წყარო, ჩაღის ან ფინის დაწვა და ა.შ.

მეხუთე, იშვიათ შემთხვევაში, როცა ადგილი აქვს რადიაციული ტიპის წაყინვებს ჰაერის მიწისპირა ფენის აღრევას, ვერტმფრენის ან თვითმფრინავის პროპელერის დახმარებით.

წარმატების იმედს გვაძლევს ის ფაქტი, რომ წაყინვების უმეტესობა კახეთში ლოკალურია, 60% შემთხვევაში დაიშორება მხოლოდ ერთ სადგურზე. ასევე 60% წაყინვებისა ეპიზოდურია, დაიშორება მხოლოდ ერთი დღის განმავლობაში. წაყინვების 50%-ზე მეტი ეპიზოდურია, ფიქსირდება მხოლოდ მეტეოროლოგიურ ბუდრუგანაში t_{\min} თერმომეტრის ჩვენებით.

უმეტეს შემთხვევაში წაყინვები არაინტენსიურია მინიმალური ტემპერატურა ეცემა არაუმეტეს, 0° -ისა. წაყინვების საშუალო რაოდენობა წელიწადში 10-ს არ აღემატება, თითქმის თანაბრად ნაწილდება გაზაფხულზე და შემოდგომაზე.

იმ შემთხვევაში, როცა ადგილი აქვს ადვექციური ტიპის წაყინვებს ტემპერატურის მკვეთრი დაცემით, ძლიერი ქარით დიდ ფართობზე და რამდენიმე დღის ინტერვალით წაყინვებისაგან მცენარეთა დაცვა ძალიან რთული იქნება.

უახლოეს პერიოდში, საყოველთაოდ აღიარებული კლიმატის დათბობის პირობებში, იმედი უნდა ვიქონიოთ წაყინვების რიცხვის, ხანგრძლივობის, ინტენსივობის შემცირებისა, რაც გააადვილებს მათ წინააღმდეგ ბრძოლას.

5.9. თოვლის ზვავები

კახეთი, საქართველოს ერთ-ერთი დიდი რეგიონია და მოიცავს თელავის, ახმეტის, გურჯაანის, დედოფლისწყაროს, ლაგოდეხის, საგარეჯოს, სიღნაღის, ყვარლის მუნიციპალიტეტის ტერიტორიებს, ასევე ისტორიულ-გეოგრაფიულ მხარეს – თუშეთს. ჩამოთვლილი მუნიციპალიტეტებიდან მხოლოდ თუშეთი წარმოადგენს კახეთის ტერიტორიაზე იმ რაიონს, სადაც ზვავების ჩამოსვლა ხდება. თუშეთი მდებარეობს მდ.ივრის შიდა და ქვემო დინებებსა და ალაზნის აუზში, ხოლო გარეკახეთი - მდ. ივრის შუა წელია, ქიზიყი - მდ. ივრის ქვემო წელი, შიგნიკახეთი - მდ.ალაზნის მარჯვენა სანაპირო და გაღმამხარი - მდ.ალაზნის მარცხენა სანაპირო. კახეთის რეგიონი მრავალფეროვნებით გამოირჩევა. აქ კავკასიონის მთავარი ქედის თოვლიანი მთები 3300მ და 4500 მ-ის მწვერვალები და უღელტეხილებია, ვაკეები ველ-მინდვრები და ნახევარუდაბნოცაა დედოფლისწყაროსა და საგარეჯოს რაიონებში. კახეთის კავკასიონი ციცაბო ფერდობებით ეშვება ალაზნის ვაკეზე. მრავალი უღელტეხილთაგან გამოირჩევა აბანოს უღელტეხილი, რომელიც კახეთს თუშეთთან აკავშირებს. რეგიონის შუაგულში გომბორის ქედია გადაჭიმული, სწორედ ამ ორ ქედს შორის მდებარეობს ალაზნის ველი, სადაც მდინარე ალაზანი მიედინება. გომბორის ქედის სამხრეთით კი მდ. იორია.

კახეთის ტყის მასივის 85% ფოთლოვანია და უმეტესად წიფელი, მუხა და რცხილა ხარობს. მდ. ალაზნის ზედა მონაკვეთში ნეკერჩხალი, ვერხვი, მურყანი და წაბლია. ტყე, ძირითადად 500-2000 მ-მდეა, ხოლო უფრო ზემოთ - ალპური ზონაა.

კახეთის ტერიტორიის, დაბალმთიანი ზონის ფერდობების გარკვეულ ნაწილზე, სადაც ზედაპირის დახრილობა 15⁰ და მეტია, არ მოდის ზვავების წარმოქმნისათვის საჭირო თოვლის რაოდენობა, ანუ მოსული თოვლის სიმაღლე, კრიტიკულ სიმაღლეზე ნაკლებია. ე.ი. ამ ტერიტორიაზე ბუნებრივი პირობები: რელიეფი, ფერდობების დახრილობა, მცენარეული და

თოვლის საფარი ზვავების წარმოქმნასა და ჩამოსვლას გამო-
რიცხავს (ლ.ქალდანი, მ.სალუქვაძე, 2015).

ზვავსაშიშროების ხარისხის განსაზღვრისათვის აუცილებ-
ელია ტერიტორიის ზვავაქტიურობის, ზვავშემკრებების სიხში-
რის, ზვავების ჩამოსვლის სიხშირის და ზვავსაშიშროების
განსაზღვრა (ლ.ქალდანი, 2000).

კახეთის ტერიტორიის ფიზიკურ-გეოგრაფიული პირობები
და თოვლის საფარი დეტალურად არის განხილული ბატონი
რევაზ სამუკაშვილის მიერ მონოგრაფიის I და II თავში (§ 1.1;
§ 2.4), ამიტომ ჩვენ შემოვიფარგლებით მხოლოდ იმ მონაცემე-
ბით, რომლებიც ზვავსაშიშროების დასადგენად გვჭირდება.

ზვავსაშიშროების გამოსავლენად საჭიროდ ჩავ-
თვალეთ თიანეთის რაიონის ორი ზვავშემკრების პარამეტრე-
ბის დადგენა, რადგან რაიონის სამხრეთ საზღვარს საგარეჯო
წარმოადგენს. თიანეთის რაიონის ტერიტორია საშუალო მთა-
გორიანია, რომლის დიდი ნაწილი მაღლობს უკავია. დასავლეთი
ნაწილი, ქართლის ქედის აღმოსავლეთ კალთებს წარმო-
ადგენს. გადასასვლელიებიდან მნიშვნელოვანია ფუტკარულის
უღელტეხილი, რომელიც 2300 მ-ის სიმაღლეზე მდებარეობს
და ერთმანეთთან აკავშირებს არაგვისა და ივრის ხეობებს. ჰა-
ვა ზომიერად ნოტიოა, ზომიერად ცივი ზამთრით და თბილი
ზაფხულით. იანვრის საშუალო ტემპერატურა $-4,1^{\circ}$ -დან $+4,7^{\circ}$ -
მდე მერყეობს, ნალექები 790 მმ-დან 880 მმ-მდე. თოვლის სა-
ფარის მაქსიმალური სიმაღლე 117 სმ 1954 წელს დაფიქსირდა.
ზოგადად 50 სმ-ზე მეტი სიმაღლის თოვლის საფარი მ/ს თი-
ანეთის 78 წლიანი დაკვირვების მასალების მიხედვით 23-ჯერ
არის აღრიცხული (ცხრ. 5.9.1). ცხრილში, თიანეთის, კახეთის
და თუშეთის ტერიტორიაზე განლაგებულ მეტეოსადგურების
დაკვირვების მასალების მიხედვით 50 სმ-ზე მეტი თოვლის სი-
მაღლის განმეორადობაა წარმოდგენილი, აქვე მითითებულია
დაკვირვების წლების რაოდენობა და წლების მანძილზე და-
ფიქსირებული თოვლის საფარის მაქსიმალური სიმაღლე.

ცხრილი 5.9.1. თოვლის საფარის მაქსიმალური სიმაღლე და განმეორადობა

მეტეო-სადგური	მს სიმაღლე, მ. (დაკვირვების წლები)	მაქს. სიმაღლე, სმ, /წელი	განმეორადობა	
			50-100	101-200
ლაგოდეხი	362(52)	55/1976	3	-
ყვარელი	449(48)	60/1976	4	-
ასმეტა	567(25)	58/1976	3	-
თელავი	568(26)	56/1992	2	-
საგარეჯო	802(51)	49/1988	<50	-
გომბორი	1085(52)	88/1950	11	-
თიანეთი	1085(78)	117/1954	23	2
ომალო	1880(42)	140/1987	25	9
შენაქო	2080(28)	156/1968	14	4

აქვე აღვნიშნავთ, რომ ფშაველი - ომალოს გზაზე და აბანოს გადასასვლელზე, წლების მანძილზე, ჩვენს მიერ დაფიქსირებული იყო 2-3 მ-ის სიმაღლის თოვლი და ზვავის ისეთი კონუსები, რომლებიც წლიდან-წლამდე ვერ ასწრებდა დნობას (სურ. 5.9.1 - 5.9.4).



სურ. 5.9.1 თოვლის საფარი ფშაველი-ომალოს გზაზე



სურ. 5.9.2 თოვლის საფარი და ზვავის კონუსი ფშაველი-
ომალის გზაზე(აუტორადიო.გე)



სურ. 5.9.3 ზვავის კონუსი თუშეთის გზაზე(წაპზებტ.ცომ)



სურ. 5.9.4 ზვავის კონუსის გაწმენდითი სამუშაოები თუშეთის გზაზე(ტრაველინგეორგია,გე)

საქართველოს ერთ-ერთი ყველაზე მაღალმთიანი და ძნელად მისადგომი მხარე, თუშეთი, საქართველოს ჩრდილო-აღმოსავლეთით, კავკასიონის ქედის სამხრეთ კალთებზე, ზღვის დონიდან 1650 - 4493 მ-ზე მდებარეობს. დასავლეთიდან ხევსურეთი, სამხრეთიდან - კახეთი, ხოლო ჩრდილოეთიდან დაღესტანი და ჩეჩნეთი ესაზღვრება.

თუშეთში მიმავალი ერთადერთი სამანქანო გზა კახეთიდან, სოფ. ფშაველში იწყება და შემდეგ საქართველოს ყველაზე მაღალი გადასასვლელით - აბანოს უღელტეხილით, რომლის სიმაღლე 2826 მ-ია და მდებარეობს ბუღანჩაროსწვერისა და დიდგვერდის მთებს შორის, სოფელ ომალოში ჩადის. მისასაღმებელია, რომ იგეგმება ახალი გზის გაყვანა ომალომდე, რომელიც გაცილებით უსაფრთხოს გახდის ამ რთულ გზას. აქვე აღვნიშნავთ, რომ § 5.9 - ში წარმოდგენილი ფოტომასალა ინტერნეტით არის მოპოვებული და მითითებულია შესაბამისი საიტი.

თუშეთის ტერიტორია მაკრატელას ქედით ორ ნაწილად არის გაყოფილი: ერთ მხარეს გომერწის ხეობაა, სადაც თუშეთის ალაზანი მიედინება, ხოლო მეორე მხარეს პირიქითა თუშეთია, სადაც პირიქითა ალაზანია. ეს ორი მდინარე

ერთმანეთს შენაქოს მიდამოებში უერთდება და დაღესტანში ანდის ყოისუს სახელწოდებითა მიედინება. თუშეთის ბუნება ძალიან ლამაზია, გამოირჩევა ალპური და სუბალპური მდელოებით, მყინვარებით, მრავალი პატარა ტბითა და ჭაობიანი ადგილებით, რომლებიც ალბათ ტბების დაშრობის შედეგად არის წარმოქმნილი. ზამთარში ტბების უმეტესობა იყინება.

თუშეთისკენ მიმავალი გზის დასაწყისში აბანოს უღელტეხილთან, მდინარე სტორის ხეობაში, ერთ ადგილზე 13 მინერალური წყარო გამოდის. ამ ადგილს სახალხო გმირის, თორღვას პატივსაცემად - თორღვას აბანო ეწოდება (სურ.5.9.5).

ლეგენდის თანახმად მტერთან დაჭრილი თორღვა შემთხვევით მოხვდა კლდიდან გადმოსულ თბილ წყაროსთან და განიკურნა. წყაროების დასაცავად მან ციხე ააგო და დაჭრილი თანამებრძოლების სამკურნალოდ იყენებდა ამ ადგილს. წლების მანძილზე ფუნქციონირებს ეს ადგილი და მკურნალობენ სხვადასხვა დაავადებებს.



სურ. 5.9.5 თორღვას აბანო (მდ. სტორის ხეობა)
(ტრაველინგეოგრაფიკი)

თორღვას აბანო ადგილობრივი მნიშვნელობის კურორტია ბულანჩაროსწყერის მთის კალთაზე და ზღვის დონიდან 1750 მ-ზე მდებარეობს. ტერიტორიაზე ზომიერად ნოტიო ჰავაა ცივი ზამთრით და ცხელი ზაფხულით. ნალექების წლიური რაოდენობა 1200-1600 მმ-ია. კურორტ თორღვას აბანოს წყალი თერმიული გოგირდწყალბადიანი, ჰიდრიკარბონატულ-ქლორიდული ნატრიუმიანი მინერალური წყალია (ტემპერატურა 36⁰), წყლის აბაზანების მოხმარების სეზონი ივნისიდან სექტემბრამდე გრძელდება.

ბალნეოლოგიურ კურორტ თორღვას აბანოსთან, მდინარე სტორის მარცხენა ფერდობზე, აბანოს შენობის ორივე მხარეს ჩამოდის ზვავი, რომლის, საკმაოდ დიდი მოცულობის კონუსი ამ გზაზე არაერთხელ გვაქვს დაფიქსირებული. თავად შენობას ზვაგებისგან ფერდობის კლდინი ნაწილი იცავს. ორივე ზვავი გადაკვეთს გზას, მდინარე სტორს და მოპირდაპირე ფერდობზე ჩერდება (ცხრ. 5.9.2 ზვავი 3-4).

ცხრილი 5.9.2. ზვაგშემკრებების მორფომეტრიული და ზვაგების დინამიკური მახასიათებლები თიანეთსა და თუშეთის ტერიტორიაზე

№	სიმაღლე, მ		სიგრძე, მ		ჯამური, მ		ზ ვ ა ვ ი ს							
	აბსოლუტური	შეფარდებითი	ჰორიზონტალური	ფაქტური	ჰორიზონტალური	ფაქტური	კერის ფართობი, ჰა	დახრის კუთხე, გრად.	მოდრაობის სიჩქარე, მ/წმ	დარტკმბის ძალა, ტმ ²	კონუსის მოცულობა, მ ³	მოძრაგის სიმაღლე, მ	სიგრძე, მ	გაჩქარების აბს, სიმაღლე, მ
1	2	3	4	5	6	7	8	9	10	11	12	13	14	15
თიანეთის რაიონი														
მლ. იორი														
1.მდინარის ხეობის მარჯვენა ფერდობი (მწკ. კვარას 2033 სდ-ით), კვირასხევი														
1	1750													
2	1650	100	230	250	230	250	0,4	23	14	9				
3	1450	200	500	540	730	790		22	23	24				
4	1400	50	170	180	900	970		16	19	17				
5	1380	20	100	100	1000	1070		11	13	8				
6	1360	35	110	115	1180	1255		18	16	12				
7	1325	35	110	115	1180	1255		18	16	12				

8	1325	0	25	25	1205	1280		0	10	5						
9	1327	-2	80	80	1285	1360		1	0	0	5	14	1315	1326		
<i>ზევეი ვადაკეთს გზას, ვადაკეთს მდინარეს და ჩერდება ჭალაში</i>																
2.მდინარის ხეობის მარჯვენა ფერდობი (მწკ. კვარას 2033 სდ-ით), კვირიასხევი																
1	2020															
2	1850	170	340	380	340	380	12,0	27	20	18						
3	1680	170	380	415	720	795		24	27	33						
4	1600	80	170	190	890	985		25	30	41						
5	1450	150	400	430	1290	1415		21	32	47						
ცხრილი 5.9.2-ის გაგრძელება																
6	1400	50	230	235	1520	1650		12	23	24						
7	1350	50	200	205	1720	1855		14	19	16						
8	1332	18	120	120	1840	1975		8	7	2						
9	1332	0	25	25	1865	2000		0	0	0	168	18	1990	1332		
<i>ზევეი გაივლის შენობათან, ვადაკეთს მდინარეს და ჩერდება</i>																
თუშმითის ტერიტორია																
მდ. სტორი																
3.მდინარის ხეობის მარცხენა ფერდობი (მწკ.3070 სდ-ით), კურ. თორღვას აბანო																
1	3050															
2	2690	360	630	725	630	725	24,0	30	31	44						
3	2600	90	190	210	820	935		25	32	47						
4	2385	215	400	450	1220	1385		28	40	74						
5	2250	135	360	380	1580	1765		21	38	66						
6	2130	120	270	295	1850	2060		24	42	80						
7	1900	230	540	590	2390	2650		23	47	101						
8	1750	150	290	325	2680	2975		27	52	124						
9	1567	183	290	350	2970	3325		34	63	182						
10	1600	-33	100	105	3070	3430		18	59	160						
11	1650	-50	70	85	3140	3515		36	0	0	178	9	3480	1630		
<i>ზევეი ვადაკეთს გზას, გაივლის შენობათან, ვადაკეთს მდინარეს და ჩერდება</i>																
<i>მოპირდაპირე ფერდობზე</i>																
4.მდინარის ხეობის მარცხენა ფერდობი (მწკ. 2555 სდ-ით), კურ. თორღვას აბანო																
1	2200															
2	2100	100	120	160	120	160	0,3	40	19	16						
3	2050	50	120	130	240	290		23	16	12						
4	2000	50	80	90	320	380		32	22	22						
5	1940	60	120	130	440	510		27	24	26						
6	1780	60	130	140	570	650		25	26	31						
7	1650	130	130	180	700	830		45	40	74						
8	1530	120	150	190	850	1020		39	46	97						
9	1600	-70	120	140	970	1160		30	0	0	2	8	1090	1560		
<i>ზევეი ვადაკეთს გზას, გაივლის შენობათან, ვადაკეთს ბილიკს, მდინარეს და ჩერდება</i>																
<i>მოპირდაპირე ფერდობზე</i>																
მდ. თუშმითის ალაზნაში																
5.მდინარის ხეობის მარჯვენა ფერდობი (მწკ.2572 სა-ით)																
1	2550															
2	2350	200	350	400	350	400	0,8	30	23	24						
3	2100	250	370	450	720	850		34	38	66						
4	2080	20	60	60	780	910		18	34	53						

5	2050	30	70	80	850	990		23	33	55				
6	2010	40	80	90	930	1080		27	34	53				
7	2050	-40	60	70	990	1150		34	0	0	6	9	1120	2030
6.მდინარის ხეობის მარცხენა ფერდობი (მწკ.2325 სა-ით), სოფ. ღოჭუ														
1	2270													
2	2150	120	180	215	180	215	0,3	34	19	17				
3	2080	70	100	120	280	335		35	24	26				
4	2010	70	90	110	370	445		38	29	39				
5	1990	20	44	40	410	485		27	28	36				
6	2000	10	40	40	450	525		14	24	26				
ცხრილი 5.9.2-ის გაგრძელება														
7	2020	-20	70	70	520	595		16	0	0	2	9	560	2010
<i>ზვავი გაივლის შენობებთან, გადაკვეთს ხევს, გაივლის შენობებთან და ჩერდება მოპირდაპირე ფერდობზე</i>														
მლ. პირიძის ალაზნა60														
7.მდინარის ხეობის მარცხენა ფერდობი (მწკ.2538 ს-ით)														
1	2200													
2	2000	200	300	360	300	360	0,7	34	25	29				
3	1980	20	40	45	340	505		27	24	26				
4	1945	35	90	100	430	605		221	23	24				
5	1905	40	160	165	590	770		14	16	12				
6	1900	5	220	220	810	990		1	0	0	5	8	880	1902
<i>ზვავი გაივლის შენობებთან, გადაკვეთს გზას, გაივლის შენობებთან, გადაკვეთს მდინარეს და ჩერდება</i>														
8.მდინარის ხეობის მარჯვენა ფერდობი (მწკ.ვიცილიანთას 2996 ჩა-ით), სოფ.დართლო														
1	2996													
2	2447	549	900	1050	900	1050	48,0	31	39	70				
3	2000	247	400	470	1300	1520		32	48	106				
4	1971	229	440	500	1740	2020		27	50	115				
5	1850	121	210	240	1950	2660		30	54	134				
6	1788	62	120	135	2070	2395		27	55	139				
7	2015	-27	200	200	2270	2595		8	16	12				
8	2050	-35	120	125	2390	2720		16	0	0	355	9	2660	2030
<i>ზვავი გადაკვეთს მდინარეს და ჩერდება შენობებთან</i>														
9.მდინარის ხეობის მარცხენა ფერდობი (მწკ.2604 სდ-ით), სოფ. დართლო														
1	2100													
2	1950	150	300	335	300	335	0,4	27	19	17				
3	1850	100	220	240	520	575		24	23	24				
4	1830	20	50	50	570	625		22	23	24				
5	1815	15	90	90	660	715		11	16	12				
6	1788	27	240	240	900	955		0	0	0	2	7	820	1800
<i>ზვავი გაივლის შენობებთან, გადაკვეთს გზას და ჩერდება მდინარეში</i>														

საკვლევ ტერიტორიის ზეგნისაშიშროების შესასწავლად გამოვიყენეთ წლების განმავლობაში მოპოვებული საველე, კარტოგრაფიული მასალა და თეორიული მეთოდები. გამოვთვაღეთ ყოველი, ჩვენს მიერ დაფიქსირებული, ზვავშემკრების მორფომეტრიული (დასაწყისისა და დასასრულის სიმაღლე,

სიგრძე, კერის ფართობი, ზედაპირის დახრილობა) და ზვავის დინამიკური მახასიათებლები (მაქსიმალური სიჩქარე და დარტყმის ძალა, კონუსის მოცულობა და მოძრავი ზვავის მაქსიმალური სიმაღლე) (ცხრ. 5.9.2). ცხრილში მითითებულია ზვავშემკრების ადგილმდებარეობა მდინარის აუზების მიხედვით და შესაბამისი ნომრით.

ზვავშემკრებების მორფომეტრიულ და ზვავების დინამიკური მახასიათებლების ცხრილის (იხ.ცხრ. 5.9.2) პირველ ნაწილში (გრაფა 2-9) მოცემულია მონაცემები ზვავშემკრებისა და მისი ცალკეული მონაკვეთების აბსოლუტური და შეფარდებითი სიმაღლის შესახებ, ჰორიზონტალურ და ფაქტიურ სიგრძეზე, ზედაპირის დახრილობაზე, ზვავის კერის ფართობზე. ცხრილის პირველ ნაწილში მოყვანილი მონაცემების საფუძველზე ხდება ცხრილის მეორე ნაწილში (გრაფა 10-15) მოყვანილი მონაცემების გამოთვლა, კერძოდ წარმოდგენილია ციფრობრივი მონაცემები, ზვავშემკრების ცალკეულ მონაკვეთზე, ზვავის სიჩქარისა და დარტყმის ძალის სიდიდეებზე, ზვავის კონუსის მოცულობაზე, მოძრავი ზვავის თოვლის სიმაღლეზე, ზვავის სიგრძეზე, ზვავის გაჩერების ადგილის აბსოლუტურ სიმაღლეზე, რომელიც ცხრილში მუქი დახრილი შრიფტითაა ასახული მაგ. **3, 16** 1330, 495; ყოველი ზვავშემკრების დახასიათების ბოლო გრაფაში მითითებულია ადგილი, სადაც გაჩერდება ზვავი. მაგ. გაივლის შენობასთან, გადაკვეთს მდინარეს, გზას და ჩერდება მოპირდაპირე ფერდობზე. გარდა ამ ციფრობრივი მონაცემებისა მოცემულია თვითოეული ზვავშემკრების ნომერი, მდებარეობა (მდინარის ხეობა, იმ მთის ან მწვერვალის სიმაღლე, სადაც იწყება ზვავშემკრები. მითითებულია დასახლებული პუნქტი, სადაც ზვავმა შესაძლებელია გამოიწვიოს ზარალი. აქვე ყურადღება უნდა მივაქციოთ ზვავშემკრების თითოეული წერტილის ნომრებს. პირველი გრაფის ნუმერაცია და ასევე 2-15 გრაფაში წარმოდგენილი სიდიდეები დახრილი მუქი შრიფტით მიუთითებს ზვავის იმ მონაკვეთზე, სადაც ხდება ზვავის უშუალო შეხება გზასთან, მდინარის ხეობასთან, შენობებთან ან მოპირდაპირე ფერდობთან. მესამე გრაფაში რიცხვის წინ მინუს ნიშანი, მაგ. -40, მიუთითებს, რომ ზვავმა გზა, ხევი ან მდინარე გადაკვეთა და გაჩერდა მოპირდაპირე ფერდობზე.

თუშეთი ხუთ თემს: ჭანჭახოვანს, ჩაღმას, გომეწარს, წოვათას და პირიქითას მოიცავს. ამ თემებში 50-ზე მეტი სოფელი იყო გაერთიანებული. სოფლების უმეტესობა დღეს დაცარიელებულია. ყოველ სოფელში თავდაცვითი-სასიგნალო დანიშნულების ციხე-კოშკებია შემორჩენილი, რომლებიც ოდესღაც საცხოვრებლად გამოიყენებოდა. ჩვენ ორ დასახლებულ პუნქტს დართლოს და დოჭუს განვიხილავთ, რადგან ამ სოფლებს, კურორტ თორღვას აბანოს მსგავსად, თოვლის ზეგები ემუქრება.

სოფ. დართლო, ომალოს თემის სოფელია და 15 კმ-ითაა მისგან დაშორებული, მდინარე დიდხევის (პირიქითა ალაზნის მარცხენა შენაკადი) მარჯვენა მხარეს, ზღვის დონიდან 2000 მ-ზე მდებარეობს. სოფელში შემორჩენილია ტრადიციული თუშური არქიტექტურის ნიმუშები: ფიქლებითა და დუღაბით ნაშენები 5-6 სართულიანი, 20 მ-ის სიმაღლის ვიწრო და მაღალი ციხე-კოშკები, რომლებიც შემდეგ აივნიანმა სახლებმა ჩაანაცვლა, ხოლო სოფ. დოჭუ გომეწარის ხეობაში, კლდის ქიმზეა აშენებული.

თიანეთისა და თუშეთის ტერიტორიაზე ჩამოსული ზეგების დინამიკური და ზეგაუმეკრებების მორფომეტრიული მახასიათებლები ცხრილშია წარმოდგენილი (ცხრ. 5.9.2).

გაზაფხულზე თუშეთისაკენ მიმავალ გზაზე ზეგის მრავალი კონუსია. წლების მანძილზე, ამ გზაზე და თუშეთში ჩატარებული საველე სამუშაოების ჩატარებისას ორი-სამი წლის ზეგის კონუსიც გვინახავს, რომელთა დნობა, კლიმატური პირობების გამო, ძალიან ძნელად მიმდინარეობდა. ამ გზაზე გამოსული ზეგის კონუსის გაწმენდა დიდ ძალისხმევას და ტექნიკის გამოყენებასთან ერთად, მრავალი ადამიანის შრომას მოითხოვს,

რაც არც თუ უსაფრთხოა (ნახ. 5.9.4). მაგალითად, 2017 წლის 14 მაისს, გზის მე-40 კმ-ზე ატარებდნენ გაწმენდით სამუშაოებს, რომლის დროსაც შპს „გერალის“ თანამშრომელი, 52 წლის პაატა ბუჟაიძე დაიღუპა. 2016 წლის 9 მაისს თუშეთში „ცოდვიანთ ხევთან“ ჩამოწოლილმა ზეგმა 27 წლის ასმეტის რ-ის სოფ. ქისტაურის მკვიდრი, 27 წლის ახალგაზრდა იმსხვერპლა, საბედნიეროდ მეორე პიროვნების გადარჩენა შეძლეს.

თუშეთის გზაზე ზვავეების ჩამოსვლა, ზამთრის განმავლობაში, რამდენჯერმე არის შესაძლებელი. ჩამოსული ზვავეები გამოირჩევიან დიდი მაქსიმალური სიჩქარით, მოცულობით და დარტყმის ძალით (Абдушелишвили К.Л., Калдани Л.А., Салуквадзе М.Е., Цомая В.Ш. 1998).

თიანეთის რაიონში, მდინარე იორის მარჯვენა ფერდობზე, მწვ. კვარას სამხრეთ-დასავლეთით, ორი ზვავეშემკრებია, საიდ-ანაც უხვოვლიან ზამთარში შესაძლებელია ზვავის ჩამოსვლა.

ერთი ზვავი თუშეთის ალაზნის მარჯვენა ფერდობიდან, ხოლო მეორე მარცხენა ფერდობიდან ჩამოდის. სამი ზვავი კი პირიქითა ალაზნის მარცხენა და მარჯვენა ფერდობებიდან სოფ. დართლოში ჩამოდის.

ჩამოსული ზვავეებიდან მოცულობით, სიგრძით, მაქსიმალური სიჩქარითა და დარტყმის ძალით გამოირჩევა კურორტ თორღვას აბანოსთან და სოფ. დართლოსთან, მწვ. ვიცილიან-იდან ჩამოსული ზვავი.

თუშეთის ურთულეს გზაზე მრავალი ზვაგია და მათი ჩამოსვლა ზამთრის განმავლობაში რამდენჯერმე მეორდება. თანაც გასათვალისწინებელია, რომ ერთი ფერდობიდან ჩამოსული ზვავი გზას სხვადასხვა მონაკვეთზე კვეთს. ეს გზა ოქტომბრიდან მაისის ჩათვლით ჩაკეტილია. წლების მანძილზე ზვავეების ჩამოსვლით გამოწვეული მატერიალური ზარალი ცხრილშია წარმოდგენილი (ცხრ. 5.9.3).

5.10. ამინდის საშიში მოვლენების ერთდროული ჩამოყალიბება

ხშირად ორი, ან რამოდენიმე საშიში მოვლენა ერთდროულად ყალიბდება, რაც ართულებს სიტუაციას. მაგალითად ქარის გაძლიერება თავსხმა წვიმის, თოვის ან სექცვის დროს, ძლიერი ნისლი წვიმის დროს და ა.შ. ამ მოვლენათა კომპლექსის ნეგატიური შედეგების შერბილებისათვის საჭიროა მათი ალბათური მახასიათებლების ცოდნა.

თუ ორი მოვლენა A და B ერთმანეთისაგან დამოუკიდებელია, მაშინ ალბათობის თეორიიდან გამომდინარე მათი ერთდროული წარმოქმნის ალბათობა განისაზღვრება ცნო-

ბილი ალბათობათა გამრავლების თეორემების თანახმად (Агекян Т.А. , 1972):

ცხრილი 5.9.3 ზეგების ჩამოსვლით გამოწვეული მატერიალური ზარალი თიანეთის და თუშეთის ტერიტორიაზე

№	წელი, თვე, რიცხვი	დასახლებული პუნქტი, (მდ. ხეობა)	რ-ბ-ს დაღუბულია	ნგრევა		განადგურდა		საქონელი	
				სახლი	ნაგებობა	ბაღი, პა	ტყე, პა	მსხვილფეხა	წვირილფეხა
1	1976	თინეთი (იორი)			3		0,4		
2	1964	თორღვას აბანო (სტორი)			3		0,3		
3	16.01.1968	დართლო (პირიქითა ალაზანი)		1	1				
4	18.01.1976	—”—	1	2	4		2	7	11
5	01.2002	—”—			3				
6	05.2017	ფშაველი - თუშეთის გზა	2						
ჯამი			3	3	14		2,7	7	11

$$P(AB)=P(A)P(B), \quad (5.10.1)$$

ხოლო ერთერთი მოვლენის განხორციელების ალბათობა განისაზღვრება ალბათობათა შეკრების თეორემის თანახმად:

$$(A+B)=P(A)+P(B)-P(AB), \quad (5.10.2)$$

სადაც $P(A)-A$ მოვლენის ალბათობაა, ხოლო $P(B)-B$ მოვლენის ალბათობა. თუ განვიხილავთ A_i და მოვლენათა სრულ სისტემას სადაც $i= 1,2,3,\dots,n$, მაშინ A_i მოვლენის განხორციელების ალბათობა, თუ ცნობილია, რომ მოხდა B მოვლენა, განისაზღვრება ფორმულით:

$$P(A/B)=[P(A_i)P(B)]/ \sum P(A_i)P(B). \quad (5.10.3)$$

$P(A/B)$ –პირობითი ალბათობაა.

ცხრილში 5.10.1 წარმოდგენილია თელავისათვის დამახასიათებელი ამინდის ზოგიერთი საშიში მოვლენის ემპირიული ალბათობები.

ცხრილიდან გამომდინარეობს, რომ თელავში ყველაზე ალბათური მეტეოროლოგიური მოვლენებია ნისლი და ნალექები, მათ შორის ინტენსიური ნალექები, როდესაც მათი წჯამი აღემატება 20მმ-ს. ნისლის ალბათობა ზამთრის თვეებში 17-23% - მდე იზრდება, რაც 5-7 დღეს შეადგენს, ხოლო ნალექების მოსვლის ალბათობა თვეების განმავლობაში 7-10% -ფარგლებში მერყეობს. დანარჩენი მოვლენების ალბათობა არ არის დიდი, თუმცა მათ მნიშვნელოვანი ზარალი მოაქვთ.

ცხრილი 5.10.1 თელავისათვის დამახასიათებელი ამინდის ზოგიერთი საშიში მოვლენის ემპირიული ალბათობები (%).

თვეები											
I	II	III	IV	V	VI	VI	VIII	IX	X	XI	XII
სეტყვა											
0	0	0.07	1.3	2.7	2	0.3	0.7	0.3	0.3	0.07	0
ნისლი											
20	17	20	10	3	3	2	2	3	10	13	23
ძლიერი ქარი											
3	4	5	3	2	2	0.7	1	2.3	5	2.3	2.7
ნალექები											
10	7	10	10	10	10	10	10	7	7	10	7
ინტენსიური ნალექები											
0.3	1.3	1.3	3	7	7	3	3	3	3	3	1.3

ცხრილში 5.10.2 წარმოდგენილია ცხრილი 5.10.1 მონაცემებით და (1,2,4) ფორმულების საშუალებით გამოთვლილი ამინდის განსაკუთრებით საშიშ მოვლენეთა კომპლექსების ალბათობები.

ცხრილიდან 5.10.2 გამომდინარეობს, რომ ნალექები-ნისლის კომპლექსის განხორციელების ალბათობა $P(AB)$ ზამთრის თვეებში, აგრეთვე გაზაფხულის დასაწყისში და შემოდგომის დასასრულს 1-2% შეადგენს, ხოლო ზაფხულის თვეებში 0.2%-მდე კლებულობს. აღნიშნული კომპლექსიდან ერთერთი მოვლენის განხორციელების ალბათობა $P(A+B)$ (ნალექები თუ ნისლი) -შეადგენს, მაქსიმუმით დეკემბერში, იანვარში და მარტში, ხოლო მინიმუმით სექტემბერში. უკვე ჩამოყალიბებული ნისლის დროს ნალექების მოსვლის

ალბათობა $P(A/B)$ იზრდება და შეადგენს ზამთარში, შემოდგომის დასასრულს და გაზაფხულის დასაწყისში 10-20%, ხოლო დანარჩენ თვეებში -2-7%.

ცხრილი 5.10.2 ამინდის განსაკუთრებით საშიშ მოვლენეთა კომპლექსების ალბათობები (%). თელავი

თვეები	ნალექების			ინტენსიური ნალექები-ძლიერი ქარი			სეტყვა-ძლიერი ქარი		
	$P(AB)$	$P(A+B)$	$P(A/B)$	$P(AB)$	$P(A+B)$	$P(A/B)$	$P(AB)$	$P(A+B)$	$P(A/B)$
I	2	28	20	0.009	3	1	0	3	0
II	1	12	11	0.052	5	6	0	4	0
III	2	28	20	0.065	6	7	0.0035	5	17
IV	1	19	10	0.09	6	10	0.039	4	19
V	0.3	13	3	0.14	9	16	0.054	5	27
VI	0.3	13	3	0.14	9	16	0.04	4	20
VII	0.2	12	2	0.021	4	2	0.002	4	1
VIII	0.2	12	2	0.04	4	4	0.007	1	3
IX	0.2	9	2	0.069	3	6	0.0069	2	3
X	0.6	16	7	0.15	8	17	0.015	3	7
XI	1	22	13	0.069	5	8	0.0161	5	1
XII	2	28	15	0.025	4	3	0	2	0
$\Sigma P(A_i)P(B_i)$	11	-	-	0.9	-	-	0.2	-	-

ცხრილიდან 5.10.2 აგრეთვე გამომდინარეობს, რომ კომპლექსების ინტენსიური ნალექები-ძლიერი ქარი და სეტყვა-ძლიერი ქარი განხორციელების ალბათობები $P(AB)$ ძალიან მცირეა, თუმცა მათ 2012 წლის 19 ივლისს კატასტროფული ხასიათის გამო მნიშვნელოვანი მატერიალური ზარალი გამოიწვიეს. აღნიშნული კომპლექსებიდან ერთერთი მოვლენის განხორციელების ალბათობა $P(A+B)$ შეადგენს პირველის შემთხვევაში 3-9%, ხოლო მეორეს შემთხვევაში - 1-5%. ძლიერი ქარის პირობებში ინტენსიური ნალექებისა და სეტყვის მოსვლის ალბათობები $P(A/B)$ იზრდება და შესაბამისად შეადგენს 1-17%, მაქსიმუმით მაისში, ივნისში და ოქტომბერში, და 17-27%, მაქსიმუმით მაისში.

განსაკუთრებით დაბალი ალბათობით ხასიათდება კომპლექსი სეტყვა-ძლიერი ქარი. მისი მაქსიმალური ალბათობა აპრილ-მაისში 0.04-0.06%-ს შეადგენს. ეს იმას ნიშნავს, რომ

აღნიშნული კომპლექსის განხორციელების სისშირე ამ თვეებში შეადგენს 1-2 შემთხვევას 2000 წელიწადში.

ცხრილი 5.10.2-ის ბოლო სტრიქონში წარმოდგენილია კომპლექსების სრული ალბათობები წლის განმავლობაში. ცხრილის თანაცმად კომპლექსის ნაღვეები-ნისლის განხორციელების წლიური ალბათობა 11%-ია, რაც იმას ნიშნავს, რომ მისი სისშირე ყოველ 100 წელიწადში 11-ია. ინტენსიური ნაღვეების და ძლიერი ქარის ერთდროული წარმოქმნის ალბათობა 0.9%-ია, ანუ ეს კომპლექსი მოსალოდნელია 1000 წელიწადში 9 ჯერ, ხოლო სეტყვის და ქარის ერთდროული წარმოქმნის ალბათობა მხოლოდ 0.2%-ია, რაც იმას ნიშნავს, რომ კომპლექსის განხორციელება მოსალოდნელია 1000 წელიწადში მხოლოდ 2-ჯერ.

ლიტერატურა-REFERENS-ЛИТЕРАТУРА

1. ე. ელიზბარაშვილი. საქართველოს კლიმატური რესურსები. თბილისი, 2007, გვ. 328.
2. ე. ელიზბარაშვილი. საქართველოს ჰავა. თბილისი, 2017, გვ. 360.
3. ე. ელიზბარაშვილი, მ. ტატიშვილი, მ. ელიზბარაშვილი, რ. მესხია, შ. ელიზბარაშვილი. საქართველოს კლიმატის ცვლილება გლობალური დათბობის პირობებში. თბილისი, 2013
4. თავართქილაძე კ, ელიზბარაშვილი ე, მუშლაძე დ, ვაჩნაძე ჯ. საქართველოს მიწისპირა ტემპერატურული ველის ცვლილების ემპირიული მოდელი. საქართველოს მეცნიერებათა აკადემია, ჰიდრომეტეოროლოგიის ინსტიტუტი, თბილისი, 1999.
5. მარუაშვილი ლ., საქართველოს ფიზიკური გეოგრაფია, გამომცემლობა “ცოდნა”, თბილისი 1964.
6. მელაძე მ. კახეთის რეგიონში სასოფლო-სამეურნეო კულტურების ზრდა-განვითარების ძირითადი აგრომეტეოროლოგიური ფაქტორების უზრუნველყოფა. აგრარული მეცნიერების პრობლემები, ტ. XXXVI, 2006, გვ. 20-22
7. მელაძე გ., თუთარაშვილი მ., მელაძე მ. კახეთის რეგიონში ფერმერულ მეურნეობათა განვითარება აგროკლიმატური პირობების გათვალისწინებით. საქართველოს მეცნიერებათა აკადემიის ჰიდრომეტეოროლოგიის ინსტიტუტის შრომები, ტ. 111 თბილისი, 2007, გვ. 160-167
8. მელაძე გ., მელაძე მ. კახეთის რეგიონის აგროეკოლოგიური ზონები. საქართველოს სოფლის მეურნეობის მეცნიერებათა აკადემიის მოამბე, ტ. 33, 2014, გვ
9. მელაძე გ., მელაძე მ. საქართველოს აღმოსავლეთ რეგიონების აგროკლიმატური რესურსები. გამომც. „უნივერსალი“, თბილისი, 2010, გვ. 293
10. მელაძე გ., მელაძე მ., თუთარაშვილი მ. აგრომეტეოროლოგიური ფაქტორების გავლენა საშემოდგომო ხორბლის გამოზამთრებასა და მოსავალზე. საქართველოს ტექნიკური უნი-

- ივერსიტეტის ჰიდრომეტეოროლოგიის ინსტიტუტის შრომები, ტ. 116, 2011 გვ. 26-29
11. მუშლაძე დ. საქართველოს კლიმატის თანამედროვე ცვლილებების მეცნიერება, თბილისი, 1991
 12. საქართველოს გეოგრაფია ნაწილი 1, ფიზიკური გეოგრაფია, გამომცემლობა "მეცნიერება", თბილისი 2000
 13. საქართველოს სამეცნიერო-გამოყენებითი კლიმატური ცნობარი, ნაწ.1, ცალკეული კლიმატური მახასიათებლები, თბილისი 2004, გვ. 130.
 14. საქართველოს კურორტები და საკურორტო რესურსები. ატლასი, მოსკოვი, 1989.
 15. საქართველოს კლიმატური და აგროკლიმატური ატლასი. თბილისი, 2011, გვ. 120.
 16. საქართველოს ქარის ენერგეტიკული ატლასი, თბილისი, 2004.
 17. საქართველოს ჰავა. ტომი. 1, აჭარა. 2003, გვ. 136.
 18. საქართველოს ჰავა. ტომი. 2, აფხაზეთი. 2006, გვ. 154.
 19. საქართველოს ჰავა. ტომი. 3, სამეგრელო-ზემო სვანეთი. 2010, გვ. 83.
 20. საქართველოს ჰავა. ტომი. 4, გურია. 2011, გვ. 91.
 21. საქართველოს ჰავა. ტომი. 5, ქვემო ქართლი. 2016, გვ. 96.
 22. საქართველოს ჰავა. ტომი. 6, იმერეთი. 2017, გვ. 96.
 23. ი. ჭინჭარაშვილი. კახეთის რეგიონის კლიმატური რესურსები. თბილისი, 2009, გვ. 90.
 24. ქაღდანი ლ., სალუქვაძე მ. თოვლის ზედაეტი საქართველოში. საქართველოს ტექნიკური უნივერსიტეტის ჰიდრომეტეოროლოგიის ინსტიტუტი, თბილისი, 2015.
 25. ქაღდანი ლ. საქართველოს ტერიტორიის დარაიონება ზედაეტი შრომების ხარისხის მიხედვით. წგნ.: „აგრარული მეცნიერების პრობლემები“, თბილისი-ბაკო, 2000.
 26. Абдушелишвили К.Л., Калдани Л.А., Салуквадзе М.Е., Цомая В.Ш. Снеголавинный режим Кавказских перевальных дорог и

- картирование лавинной опасности. Тр. 3-его всесоюзного совещания по лавинам. 1998.
27. Агекян Т.А. Основы теории ошибок. Москва, Наука, 1972, 170с.
 28. Агроклиматические ресурсы Грузинской ССР, под. ред. Турманидзе Т.И. Гидрометеиздат, Л., 1978.
 29. Амиранашвили А.Г., Нодия А.Г., Торонджадзе А.Ф., Хуродзе Т.В. Некоторые статистические характеристики числа дней с градом в теплое полугодие в Грузии в 1941-1990 гг. Труды института Геофизики АН Грузии, т.58, 2003, с.133-141.
 30. Балабуев А.Г., Месхи И.С. Ветроэнергетические ресурсы Грузинской ССР, Тбилиси АН ГСССР, 1959.
 31. Берлянд Т.Г. Методика климатологических расчётов суммарной радиации, Метеорология и гидрометеорология №9, 1960.
 32. Биометеорология. Л., Гидрометеиздат, 1965.
 33. Будыко М.И., Берлянд Т.Г., Зубенек Л.И. Методики климатологических расчётов составляющих теплового баланса. Труды ГГО, вып.48(110), Л., Гидрометеиздат, 1951, с.5-16.
 34. Гагуа В.П. Град. Опасные гидрометеорологические явления на Кавказе. Ленинград, Гидрометеиздат, 1971. с. 121-133.
 35. Гигинеишвили В.М. Градобития в Восточной Грузии. Ленинград, Гидрометеиздат, 1960. 123 с
 36. Гогишвили К.С. Исследования циркуляционных факторов генезиса климата Грузии. Тбилиси, „Мецниереба“, 1974, 168с.
 37. Гриневич Г.А. Пути исследования кадастровых характеристик энергии воды, ветра и солнца. Труды энергетического института АН УЗ ССР, вып. 9, 1966, с. 13-2
 38. Гриневич Г.А. Задачи и принципы исследования характеристик возобновляющихся источников энергии, Ташкент, изд., АН УЗБ ССР, 1963, с.6-22.

39. Захашвили М.А. Аэросинортические условия возникновления заморозков на территории Грузинской ССР .Труды ЗакНИГМИ, вып. 15(21), Л ,1964.
40. Климат и климатические ресурсы Грузии. Труды Зак НИГМИ, вып.44(50), Л., Гидрометеиздат, 1971.
41. Меладзе Г.Г., Тутарашвили М.У. Меладзе М.Г. Роль агроклиматических ресурсов Кахетии в аграрном производстве . Кавказский географический журнал, № 10, изд. ТГУ, 2009, (3т. 70-74
42. Мелия Г.Т. Гелиоэнергетические ресурсы Грузинской ССР, Тбилиси, Изд-во. ГССР, 1959, с. 127.
43. Научно-прикладной справочник по климату СССР Серия 3, Многолетные данные, Части 1-6, вып. 14, Грузинская ССР, Л., Гидрометеиздат, 1990.
44. Научно-прикладной справочник по климату, СССР, серия 3, вып. 14, Грузинская ССР, Л., Гидрометеиздат, 1990.
45. Пивоварова З.И. Радиационные характеристики климата СССР Л., Гидрометеиздат, 1977, с. 335.
46. Самукашвили Р.Д. Влияние снежного покрова годовой ход отраженной радиации и алведо в усдовиях Кавказа. Труды ВГИ, вып. 66, 1977.
47. Самукашвили Р.Д. О корреляционныхсвязях между радиационным балансам и его составляющими для территории Кавказа. Труды ВГИ, вып. 46, 1980.
48. Самукашвили Р.Д. Высотные изменения многотных среднимесячных величин альбедо в горных районах Кавказа. Труды ВГИ, вып. 52, 1984, с123-126.
49. Самукашвили Р.Д. К вопросу приближенного расчёта сумм суммарной радиации на склонах в горных районах Кавказа, Труды ВГИ, вып. 57, Л., Гидрометеиздат 1985, с18-89.

50. Самукашвили Р.Д. Прямая солнечная радиация на склонах в условиях Большого Кавказа, Труды ВГИ, вып. 62, Л., Гидрометеоиздат 1985, с. 51-66.
51. Самукашвили Р.Д. Оценка условий практического использования лучистой энергии солнца в условиях Кавказа, Труды ВГИ, вып. 73, Л., Гидрометеоиздат 1988, с. 115-123.
52. Сванидзе Г.Г., Гагуа В.П., Сухишвили Э.В. Возобновляемые энергоресурсы Грузии, Л., Гидрометеоиздат, 1987, с.173.
53. Сивков С.И. Методы расчёта характеристик солнечной радиации, Гидрометеоиздат Л., 1968, с. 231.
54. Справочник по климату СССР вып. 14, часть 1-5, Ветер, Л., Гидрометеоиздат, 1966-1970.
55. Сулаквелидзе Г.К. Ливневые осадки и град. Ленинград, Гидрометеоиздат, 1967.
56. Сухишвили Э.В. Режимы ветра на Колхидской низменности, Труды Зак НИГМИ, вып. 5, Л., Гидрометеоиздат, 1959.
57. Сухишвили Э.В. Град. Климат и климатические ресурсы Грузии. Ленинград, Гидрометеоиздат, 1971. С. 313-318.
58. Цуцкиридзе Я.А. Солнечный кадастр Грузии Труды Зак НИГМИ вып. 12, 1963, с.54-83.
59. Цуцкиридзе Я.А. Ресурсы солнечной энергии.- В кн:- Климат и климатические ресурсы Грузии. Л., Гидрометеоиздат, 1971.
60. Элизбарашвили Э. Ш.; Амиранашвили А.Г.; Варазанашвили О.Ш.; Церетели Н.С.; Элизбарашвили М.Э.; Элизбарашвили Ш.Э.; Пипия М.Г. Градобитие на территории Грузии European Geographical Studies, 2014, Vol. 2, No. 2, pp. 55-69.
61. Элизбарашвили Э.Ш., Варазанашвили О.Ш., Церетели Н.С., Элизбарашвили М.Э., Элизбарашвили Ш.Э.. Опасные туманы на территории Грузии. Метеорология и гидрология, № 2, 2012, (3).52-59.

62. Элизбарашвили Э.Ш., Гонгладзе Н.Ш. Климатография курортов Грузии. Тбилиси, 1980, 246с.
63. Элизбарашвили Э.Ш., Зубиташвили Т.К.. Туманы в Восточной Грузии. Известия РАН, серия географическая, №5, 2007, (3. 112-115.
64. Элизбарашвили Э.Ш., Месхия Р.Ш., Элизбарашвили М.Э. и др. Повторяемость и динамика засух в Восточной Грузии в XX столетии. Метеорология и гидрология № 6 2009, 98-104.
65. Элизбарашвили Э.Ш., Элизбарашвили М.Э. Стихийные метеорологические явления на территории Грузии. Тбилиси, 2012. 104 с.
66. Sh.Elizbarashvili, O. Sh.Varazanashvili, N. S. Tsereteli, M. E. Elizbarashvili, S. E. Elizbarashvili, V. E. Gorgisheli. Droughts in Georgia. European Researcher, Vol.(68), № 2-1, 2014, 308-316